

62580



EXCELENTÍSIMA DIPUTACIÓN
PROVINCIAL DE ALICANTE
DEPARTAMENTO DEL CICLO HÍDRICO

***DETERMINACIÓN DE LAS RESERVAS
HÍDRICAS SUBTERRÁNEAS EN EL
ACUÍFERO DE JIJONA (PROVINCIA DE
ALICANTE)***

MEMORIA

MARZO DE 2001



MINISTERIO
DE CIENCIA
Y TECNOLOGÍA

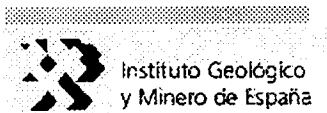


Instituto Geológico
y Minero de España

62580



MINISTERIO
DE CIENCIA
Y TECNOLOGÍA



| | |
|---|---|
| INFORME | Identificación: H2-009-02 Fecha: Marzo de 2001 |
| TÍTULO: Determinación de las reservas hídricas subterráneas en el acuífero de Jijona (provincia de Alicante) | |
| PROYECTO: Determinación de las reservas útiles en acuíferos de abastecimiento público en Alicante. | |
| RESUMEN: Se han determinado las reservas hídricas subterráneas en el acuífero de Jijona con la finalidad de conocer las posibilidades de captación y garantizar el suministro de agua potable a la población. Para ello se ha actualizado tanto la geometría como el modelo hidrogeológico conceptual y se ha realizado una simulación numérica del flujo subterráneo, en régimen estacionario y transitorio, con la finalidad de completar el modelo conceptual y obtener unos parámetros hidráulicos coherentes con el funcionamiento del acuífero. La porosidad drenable calibrada oscila entre 0.0022 y 0.005. Teniendo en cuenta dichos valores se han establecido dos hipótesis de carácter extremo, evaluando las reservas totales entre 2 y 7 hm ³ . Se presentan además las curvas de embalse subterráneo (reservas acumuladas y entre cotas) para las dos hipótesis consideradas. Las simulaciones numéricas realizadas permiten además evaluar las reservas explotables mediante el planteamiento de diferentes escenarios futuros de planificación y gestión. | |
| Revisión Nombre: JUAN A. LÓPEZ GRIÑA Unidad: HIDROGEOLÓGICAS, A. SURT Fecha: 21/5/2003 | Autores: Luis Javier Lambán Jiménez; Ramón Aragón Rueda Responsable: Ramón Aragón Rueda |

CORREO

itge@itge.mma.es

RÍOS ROSAS, 23
 28003-MADRID
 TEL.: 91 349 5700
 FAX: 91 442 6216

ÍNDICE

- 1. INTRODUCCIÓN**
- 2. METODOLOGÍA**
- 3. SÍNTESIS HIDROGEOLÓGICA**
- 4. DETERMINACIÓN DE LAS RESERVAS HÍDRICAS SUBTERRÁNEAS**

4.1 DEFINICIÓN GEOMÉTRICA

4.2 SIMULACIÓN NUMÉRICA DEL FLUJO SUBTERRÁNEO

4.2.1 INTRODUCCIÓN

4.2.2 RELACIÓN ENTRE MODELO CONCEPTUAL Y MODELO NUMÉRICO.

4.2.3. DEFINICIÓN Y DESCRIPCIÓN DEL MODELO NUMÉRICO

4.2.4. SIMULACIÓN NUMÉRICA EN ESTADO ESTACIONARIO

4.2.5 SIMULACIÓN NUMÉRICA EN ESTADO TRANSITORIO

4.3 CÁLCULO DE LAS RESERVAS HÍDRICAS SUBTERRÁNEAS

5. DISCUSIÓN Y CONCLUSIONES

6. REFERENCIAS

El presente Estudio se ha realizado en convenio entre el Instituto Geológico y Minero de España (IGME) y la Diputación Provincial de Alicante (DPA), habiendo intervenido los siguientes técnicos:

- *Ramón Aragón Rueda (IGME). Director del Estudio*
- *Luis Rodríguez Hernández (DPA). Director del Estudio*
- *Luis Javier Lambán Jiménez (IGME).*

1. INTRODUCCIÓN

Continuando con la línea de investigación relacionada con la evaluación de las reservas útiles en los acuíferos de abastecimiento público en la provincia de Alicante, el presente proyecto tiene por objeto completar y mejorar en lo posible la metodología de estudio recientemente aplicada, con la finalidad de conocer las reservas hídricas subterráneas en el acuífero de Jijona.

La infraestructura hidrogeológica básica de las unidades hidrogeológicas de la provincia de Alicante fue establecida por el Instituto Geológico y Minero de España (IGME) en la década de los años 70 dentro del Plan Nacional de Investigación de Aguas Subterráneas (PIAS). Desde entonces el IGME realiza, en convenio con la Diputación de Alicante, estudios encaminados a mejorar el conocimiento de la mayoría de estas unidades. No obstante estas investigaciones, el grado de conocimiento de los acuíferos no siempre es el adecuado como para poder abordar con suficiente garantía el estudio del volumen y distribución espacial de las reservas hídricas subterráneas. Es por ello que la metodología adoptada dependerá del grado de conocimiento que se tenga del acuífero estudiado, obteniéndose diferente calidad o fiabilidad de los resultados en función del mismo.

Uno de los primeros aspectos que conviene señalar es el relacionado con la definición de los términos "*reservas totales*" y "*reservas utilizables o explotables*", proponiendo utilizar en su lugar los de "*recursos hidráulicos potenciales*" y "*recursos hidráulicos disponibles*". Los recursos hidráulicos potenciales se definen como la suma de la recarga media anual más el volumen de agua almacenado dividido por el número de años en que se prevé efectuar la extracción de dicho volumen. Los recursos hidráulicos disponibles son inferiores a los potenciales debido, fundamentalmente, a: 1) cierta parte de la recarga puede perderse por evapotranspiración; 2) con frecuencia los períodos de caudal máximo de las fuentes no coinciden con las demandas máximas y se desaprovechan parte o la totalidad de dichos caudales y 3) las reservas de aguas subterráneas nunca pueden ser extraídas en su totalidad por razones técnicas, económicas o legales (Custodio y Llamas, 1983).

El presente estudio comienza presentando brevemente la metodología que sería deseable aplicar con objeto de cuantificar de una forma razonablemente fiable la distribución espacial tanto de las reservas totales como de las útiles o disponibles en función de los criterios o prioridades previamente establecidos. En dicho apartado se pone un énfasis especial en la necesidad de conocer el funcionamiento hidrogeológico del sistema, con objeto de evaluar adecuadamente las reservas útiles o disponibles en un momento y bajo un escenario determinado. Posteriormente, se presenta una síntesis hidrogeológica para el acuífero Jijona, en la que se realiza una recopilación y tratamiento de la información previa disponible, en especial la relacionada con las características geométricas (cartografía geológica, campañas de prospección geofísica preexistentes, mapas de isohipsas de los principales tramos permeables) e hidrodinámicas (inventario de puntos de agua, piezometría, parámetros hidráulicos). Finalmente, se procede a cuantificar sus reservas hídricas subterráneas.

2. METODOLOGÍA

La definición de los distintos tipos de reservas hídricas subterráneas así como los diversos métodos de cálculo tradicionalmente empleados para su determinación se exponen en el marco del proyecto ITGE-DPA “Determinación de las reservas útiles en los acuíferos de Solana, Maigmó, Sella, Beniardá-Polop y Solana de La Llosa”.

En dicho proyecto se desarrolla y propone la aplicación de un código específico (RESERVAS 1) basado en el método de mallado del acuífero, el cual permite el cálculo tanto de reservas (totales y gravitativas) como de la curva de embalse subterráneo para un acuífero determinado. Por reservas gravitativas se entiende aquellas que se sitúan por encima de una superficie piezométrica mínima. Por curva de embalse subterráneo se entiende la función que relaciona las reservas totales de un acuífero con su distribución vertical en el subsuelo; el valor mínimo de la cota en la curva de explotación coincidirá con la cota más baja del muro de la capa inferior del acuífero y el máximo, con la cota más alta del techo (acuífero confinado) o de la superficie piezométrica (acuífero libre) en un instante dado.

Para la aplicación del código RESERVAS1, el acuífero se conceptualiza en varias capas sobre las que se consideran diversas superficies piezométricas. El cálculo se realiza a partir de la geometría de las capas, las superficies piezométricas y la porosidad eficaz o coeficiente de almacenamiento de cada capa. Una determinada capa se caracteriza por presentar igual valor de porosidad eficaz o coeficiente de almacenamiento en la vertical hasta el contacto con otra capa suprayacente o con la superficie del terreno, pero puede presentar valores diferentes en la horizontal. El código incorpora una opción para el ajuste automático y agregado de la porosidad eficaz o coeficiente de almacenamiento en aquellas capas que experimenten una desaturación significativa entre dos situaciones piezométricas conocidas (periodo de referencia). Dicha opción presupone, sin embargo, la existencia un conocimiento adecuado del resto de términos implicados en el balance. El código incorpora además otra opción para el cálculo de los costes teóricos de extracción del agua y de las reservas extraíbles para un coste máximo (reservas económicamente explotables).

A pesar de que dicho código constituye un indiscutible avance en la determinación de las reservas, presenta las principales limitaciones asociadas al método de mallado en el que se basa. Es decir, no permite validar el modelo conceptual de un determinado acuífero, ni garantiza la obtención de una porosidad eficaz o coeficiente de almacenamiento coherente con el conjunto de la información hidrogeológica disponible (recarga, descarga y permeabilidad fundamentalmente). Con respecto a ésta segunda limitación, es importante destacar la extraordinaria dificultad que supone obtener valores de porosidad eficaz y/o coeficiente de almacenamiento razonablemente representativos únicamente a partir de la interpretación de ensayos de bombeo y/o mediante ajuste a partir del balance supuestamente conocido durante un determinado periodo de referencia. Dicha dificultad se ve además acrecentada si se considera la naturaleza carbonatada y la incertidumbre asociada a la recarga y permeabilidad en la mayor parte de los acuíferos seleccionados. Por otro lado, el código no permite estimar ni calcular las reservas útiles relacionadas, por ejemplo, con la calidad química del agua subterránea, ni permite plantear posibles escenarios futuros de actuación (modificaciones en la función de recarga, número y distribución de las captaciones, régimen de explotación...) esenciales para realizar una adecuada planificación y gestión tanto de los recursos como de las posibles reservas utilizables.

Por todo ello, se considera que la utilidad del código RESERVAS1 radica fundamentalmente en la determinación de una primera estimación de las reservas totales y solo en parte, utilizables, en aquellos casos en los que se disponga de una buena caracterización geométrica del mismo y donde el conocimiento hidrogeológico no sea suficiente como para poder plantear la realización de un modelo matemático de flujo. No obstante, se cree conveniente recordar que para realizar esta primera aproximación o estimación, el código RESERVAS1 no constituye la única alternativa posible, pudiendo utilizarse otro tipo de herramientas más fácilmente manejables o intuitivas.

Conviene no olvidar, sin embargo, que el objetivo final consiste en la determinación de las reservas útiles, es decir, conocer qué volumen de agua se puede extraer de un determinado acuífero considerando una serie de limitaciones (calidad química del agua, profundidad máxima y costes de extracción fundamentalmente). Es por ello que el parámetro esencial a la hora de determinar dichas reservas útiles en el caso de acuíferos cautivos (como gran parte de los acuíferos de la provincia de Alicante) es el coeficiente de almacenamiento y no la porosidad eficaz. En acuíferos cautivos, la porosidad eficaz permite conocer el volumen de agua que se encuentra almacenada en el acuífero (reservas totales), pero el coeficiente de almacenamiento es el que determina cuánta agua y de qué forma se puede extraer del mismo (reservas útiles). Por lo tanto, únicamente desde un punto de vista hidráulico, el volumen de agua utilizable o explotable será, al menos inicialmente, significativamente inferior al almacenado (sin considerar otro tipo de limitaciones adicionales).

Por todo ello y a pesar de que bajo determinadas condiciones, dependiendo del conocimiento previo y/o interés de un determinado acuífero, la única alternativa viable será la aplicación exclusivamente de los métodos anteriormente comentados, la metodología más adecuada a la que se cree debe tenderse es a la de realizar una simulación numérica del flujo subterráneo previamente a la determinación de las reservas. Dicha simulación permitirá obtener una distribución espacial del coeficiente de almacenamiento coherente con el funcionamiento hidrogeológico del acuífero, suficientemente fiable como para poder abordar el cálculo posterior de las reservas mediante la aplicación conjunta con otro tipo de métodos. Dicha simulación permitirá, además, completar la estimación de las reservas útiles que no pueden ser tenidas en cuenta mediante otros métodos, como las relacionadas con la calidad química

del agua (mediante la incorporación por ejemplo de un contaminante o trazador conservativo) o las derivadas del planteamiento de diferentes escenarios futuros de ordenación y gestión.

La simulación numérica del flujo subterráneo plantea, sin embargo, los siguientes inconvenientes principales:

- No siempre se dispone de datos de entrada suficientes (tanto de balance como de permeabilidad y coeficiente de almacenamiento) como para obtener calibraciones de suficiente calidad o predicciones fiables sobre el comportamiento futuro del acuífero. Es importante tener en cuenta, además, la necesidad de calibrar el modelo en estado transitorio para poder obtener valores de coeficiente de almacenamiento representativos.
- Requiere un mayor tiempo de estudio, teniendo en cuenta además que la realización del mismo no exime de la necesidad de utilizar otros métodos complementarios.

No obstante, a pesar de estos inconvenientes, se considera que para obtener una estimación razonablemente coherente y fiable de las reservas útiles en un determinado acuífero, la metodología deseable, tal y como se ha comentado con anterioridad, sería la de realizar una simulación del flujo subterráneo previa a la determinación de las reservas. Ello permitirá, aún con las limitaciones lógicas asociadas a toda simulación, revisar, mejorar y actualizar el modelo hidrogeológico conceptual y, por consiguiente, conocer las reservas totales y utilizables de acuerdo con el grado de conocimiento disponible en cada momento, acercándose de esta forma a valores cada vez más fiables de dichas reservas.

3. SÍNTESIS HIDROGEOLÓGICA

El acuífero Jijona se encuentra situado al N-NE de la población de Jijona e incluido, en su práctica totalidad, en el término municipal de Jijona. Desde un punto de vista geológico, los materiales del acuífero pertenecen al Prebético de Alicante. La formación acuífera está formada por calizas del Mioceno inferior, actuando las margas y margocalizas del Oligoceno como impermeable de base y la formación Tap 1 (margas y calcarenitas del Burdigaliense) como impermeable de techo. En el sector Peñarroja-manantial de Rosset las calcarenitas del

Serravallense (acuífero Carrasqueta) presentan conexión hidráulica con las calizas del Mioceno (acuífero Jijona) formando un tramo permeable único.

Los límites hidrogeológicos del acuífero vienen dados, al Oeste, entre el vértice de Peñarroja y la zona norte del Cabezo de Machet, por el afloramiento del impermeable de base. Hacia el Noreste, el límite presenta estas mismas características aunque no es observable en superficie al encontrarse cubierto por las calcarenitas del Serravallense. Por último, los límites meridional y suroccidental corresponden con el cabalgamiento de la unidad Jijona-Torremanzanas, el cual pone en contacto lateralmente la formación acuífera con las formaciones arcillosas del Cretácico y Eoceno. El acuífero así definido presenta una extensión de unos 35 km² (ITGE, 1988; ITGE-DPA, 1992) (Figura 1).

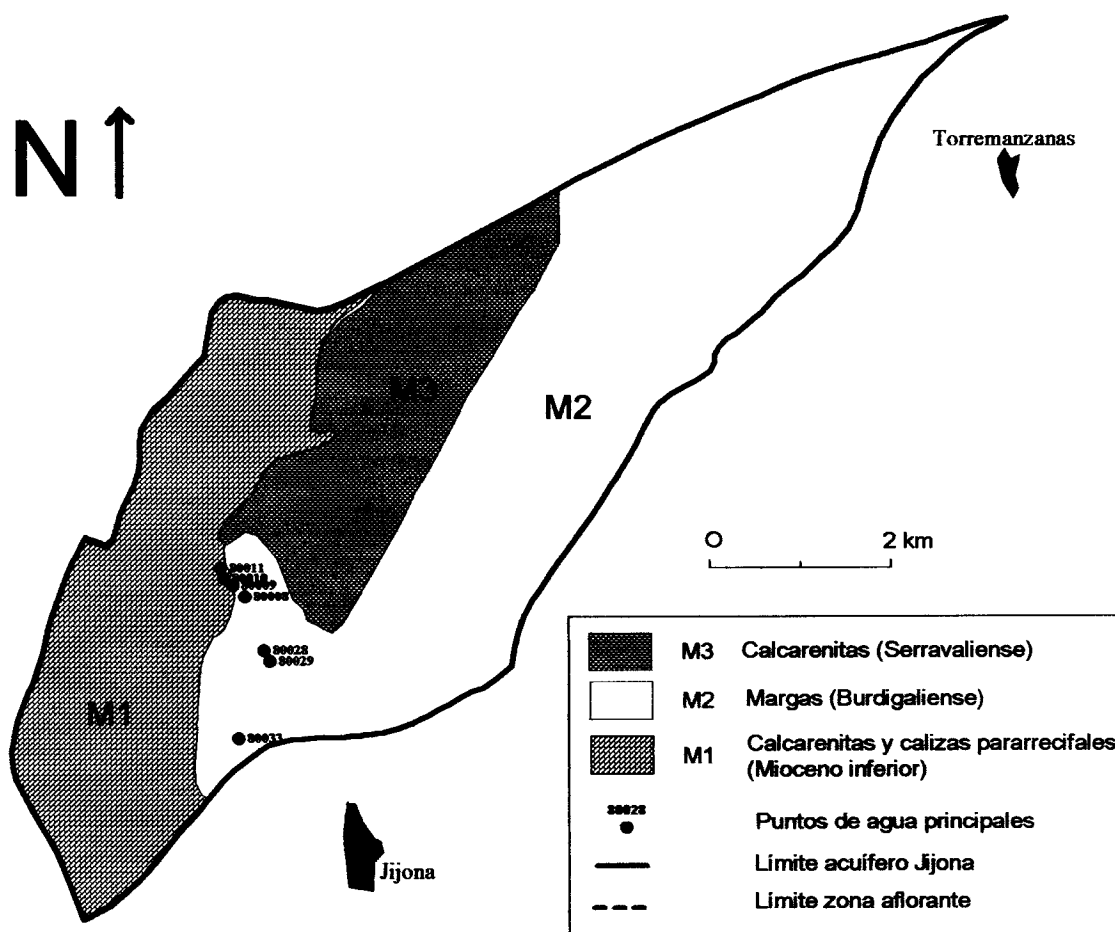


Figura 1. - Cartografía hidrogeológica simplificada del acuífero Jijona (modificado de ITGE, 1992)

Con respecto al funcionamiento hidrogeológico, la recarga se produce por infiltración del agua de lluvia sobre los afloramientos permeables que ocupan una superficie de unos 9,5 km² en la Sierra de Peñarroja (ITGE, 1988). Los valores medios de recarga obtenidos para el periodo 1962-1991 oscilan entre los 0,73 hm³/año (año muy seco) y los 0,83 hm³/año (año muy húmedo) con un valor medio de 0,75 hm³/año, es decir, el 20 % de la precipitación media anual (Murillo et. al., 1995; ITGE, 1995). Estos valores se obtienen mediante la aplicación de un método de cálculo sencillo el cual exige: una respuesta causa-efecto relativamente rápida, una geometría tipo depósito y la ausencia de drenajes naturales, condiciones que en principio parecen cumplirse en el caso del acuífero Jijona. Dicho método se basa en la obtención de la recarga a partir de la variación del nivel, extracciones y precipitación durante el periodo de tiempo considerado.

La descarga se produce de forma natural por el manantial de Rausset (2833-8-0008) y por bombeo de los pozos que abastecen a la localidad de Jijona (Pineta y Sereñat). Antes del inicio de la explotación, el caudal del manantial fluctuaba mucho entre la primavera (donde podía alcanzar los 50 l/s) y el verano (reduciéndose considerablemente aunque sin llegar a agotarse). En la actualidad, dicho manantial se encuentra seco, disponiéndose únicamente de algún dato histórico de caudal.

Se trata de un acuífero de carácter predominantemente confinado, actuando los afloramientos permeables de la Sierra de Peñarroja como zona de recarga. Dichos afloramientos constituyen una zona de transición (zona no saturada) no produciéndose en principio almacenamiento de agua (ITGE-DPA, 1995; ITGE-DPA, 1999). El espesor medio del acuífero varía aproximadamente entre los 50 y 100 m, observándose un cambio brusco de potencia desde los afloramientos situados al NO de Jijona hacia el SE, debido al carácter arrecifal de la formación y como consecuencia de un aumento de la profundidad de la cuenca en dicha dirección (ITGE, 1988; ITGE-DPA, 1992). Con respecto a los parámetros hidráulicos, la interpretación de un ensayo de bombeo escalonado efectuado en marzo de 1994 en un pozo situado a 200 m del Pozo Sereñat permitió ajustar, aunque con ciertas incertidumbres debido a las condiciones en las que tuvo lugar el ensayo, una transmisividad entre 200 y 500 m²/día, así como un coeficiente de almacenamiento entre $1,3 \times 10^{-4}$ y 8×10^{-4} (ITGE-DPA, 1994a; ITGE-DPA, 1994b; De la Orden et al. 1994, ITGE-DPA, 1995). Estos valores resultan en principio coherentes al encontrarse dentro del rango de magnitud correspondiente a este tipo de

acuíferos. La interpretación del ensayo de recuperación dio lugar a valores mayores de transmisividad ($436\text{-}2540 \text{ m}^2/\text{día}$), lo que supone una superficie de acuífero comprendida entre 4 y $24,4 \text{ km}^2$ según el coeficiente de almacenamiento considerado (ITGE-DPA, 1994a; ITGE-DPA, 1995). El segundo valor resulta más coherente con el estimado en estudios previos en los que se estimaba una superficie de acuífero de 23 km^2 tomando la cota 600 m como la de máxima acumulación de las reservas totales (ITGE, 1988)..

Según la base de datos de la Diputación de Alicante, los primeros datos de explotación disponibles corresponden al año 1986. Durante el periodo 1986-1989 los datos de extracciones correspondientes a los pozos Pineta (2833-8-0033) y Sereñat (2833-8-0028) se dan en conjunto, sin especificar que caudal de extracción corresponde a cada pozo y con la especificación de “volúmenes mensuales aproximados”. Para obtener los datos correspondientes a cada pozo por separado, durante este periodo se ha supuesto, siguiendo la metodología adoptada en estudios anteriores, que el pozo de Sereñat bombea el 60 % del total y el de Pineta el 40 % (ITGE-DPA, 1995; 1999). A partir de 1990 se dispone ya de los datos por separado correspondientes a cada uno de los pozos. Además de los pozos anteriormente mencionados, durante el periodo 1990-92 existen datos correspondientes al pozo Rausset (2833-8-0009). Los valores finalmente considerados se presentan en la Tabla 1 y Figura 2.

La representación y estudio de la evolución de los niveles piezométricos en los puntos de control 2833-8-0009 (Pozo de Rausset), 2833-8-0011 (Pozo de Rausset 2), 2833-8-0028 (Pozo Sereñat) y 2833-8-0033 (Pozo Pineta) durante el periodo 1978-2000 (Figura 3) pone de manifiesto la existencia de un descenso continuado y acusado de niveles desde 1990 hasta la actualidad. Sin embargo, dado que los puntos de control corresponden exclusivamente a pozos de bombeo y a pesar de seleccionarse únicamente aquellos niveles medidos durante al menos dos o tres días después de un periodo de bombeo, no se descarta que dichos niveles se encuentren parcialmente influenciados.

El estudio detallado de la evolución piezométrica del pozo Sereñat durante el periodo 1978-1988 permite observar como, inicialmente, la cota piezométrica en el pozo es prácticamente coincidente con la cota del manantial de Rausset (2833-8-0008). A partir de mediados de 1978 y como consecuencia de las extracciones, el manantial queda seco durante largos

Tabla 1. – Datos de explotación correspondientes al acuífero Jijona durante el periodo 1986-2000 (pozos Pineta, Sereñat y Rausset) obtenidos a partir de la base de datos de la Diputación Provincial de Alicante. (No = ausencia de dato)

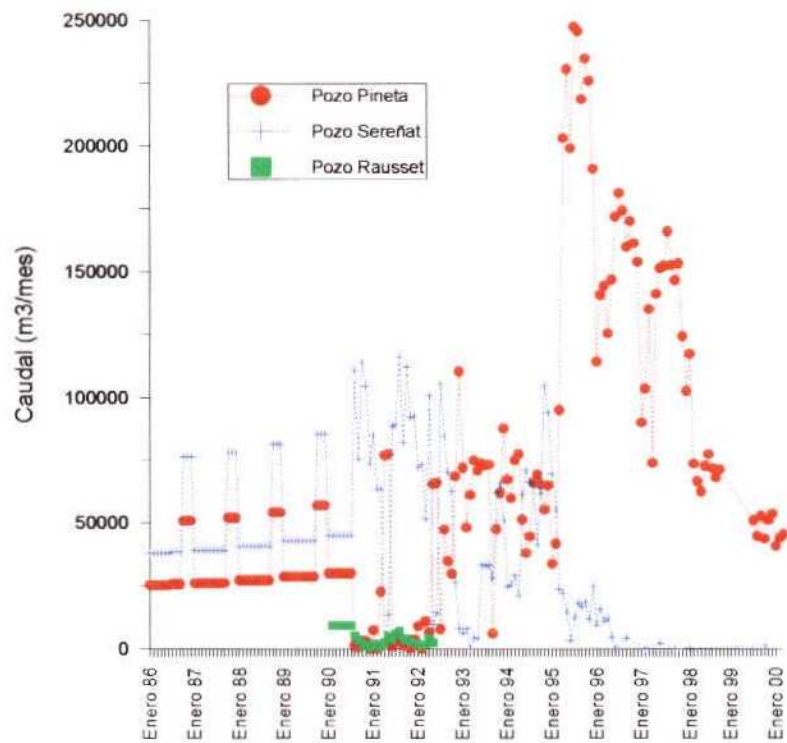


Figura 2. - Representación de los caudales de extracción correspondientes al acuífero Jijona durante 1986-2000 (pozos Pineta, Sereñat y Rausset) obtenidos a partir de la base de datos de la Diputación Provincial de Alicante.

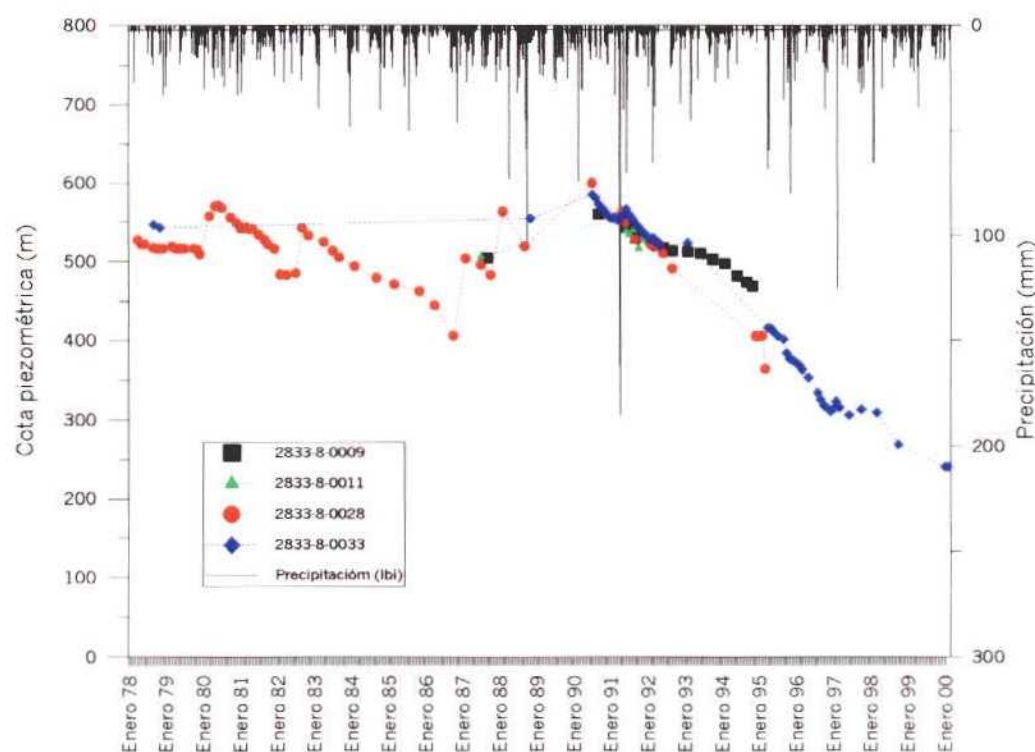


Figura 3. - Evolución piezométrica en los puntos de control de la Diputación Provincial de Alicante en el acuífero Jijona. Precipitación diaria correspondiente a la estación de Ibi (Periodo 1978-2000)

periodos de tiempo, volviendo a surgir tras un evento de lluvia importante como consecuencia de la rápida recuperación experimentada por el acuífero la cual queda claramente reflejada en los niveles piezométricos del pozo Sereñat (enero-marzo 1980, octubre-noviembre 1982 y octubre-noviembre 1986). Posteriormente y como consecuencia de las lluvias experimentadas durante 1990 se observa el máximo piezométrico histórico alcanzándose los 600 ms.n.m (por encima incluso del máximo relativo correspondiente a 1980). La rápida respuesta a la recarga observada durante el periodo 1978-1990, en el que el acuífero se encontraba menos influenciado por las extracciones, resulta coherente con una elevada permeabilidad y un bajo coeficiente almacenamiento (al menos en la zona de recarga del sistema).

4. DETERMINACIÓN DE LAS RESERVAS EN EL ACUÍFERO DE JIJONA

Teniendo en cuenta tanto la metodología propuesta en el apartado 2 como la síntesis hidrogeológica anteriormente presentada, se plantea la determinación de las reservas siguiendo las siguientes etapas:

- Caracterización geométrica mediante la obtención del mapa de isohipsas de muro y techo del acuífero a partir de la información y perfiles geológicos previamente realizados.
- Planteamiento y elaboración de un modelo matemático de flujo con objeto de obtener y calibrar parámetros hidráulicos coherentes con el funcionamiento hidrogeológico del acuífero, así como de estar posteriormente en condiciones de estimar las posibles reservas útiles bajo supuestos escenarios futuros de actuación.
- Cálculo de las reservas hídricas subterráneas a partir de la definición geométrica y de los resultados del modelo numérico realizado.

4.1 DEFINICIÓN GEOMÉTRICA

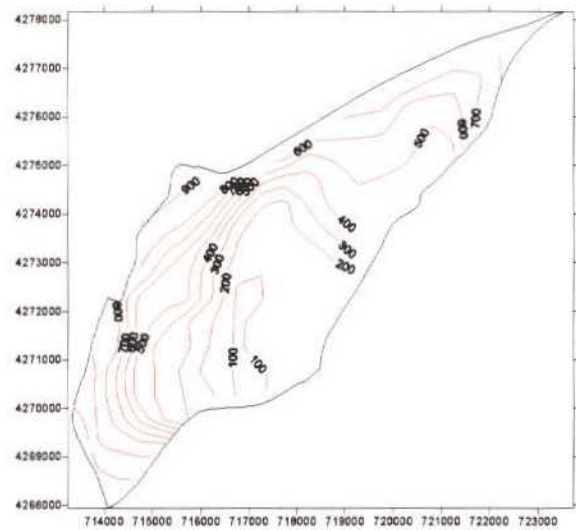
Como se ha comentado en el apartado anterior, el acuífero Jijona se encuentra constituido por las calizas del Mioceno inferior, actuando el Oligoceno como impermeable de base y la formación Tap 1 como impermeable de techo. El espesor medio del acuífero varía aproximadamente entre los 50 y 100 m, observándose un cambio brusco de potencia desde los afloramientos situados al NO de Jijona hacia el SE. Aprovechando estudios previos realizados

hasta el momento (ITGE, 1988) se han utilizado los cortes hidrogeológicos detallados y el mapa de isohipsas de muro elaborado en el marco de dicho proyecto, por lo que tras su revisión, actualización y aprobación se ha procedido a su digitalización y georeferenciación con objeto de definir la geometría del acuífero.

En una primera fase, con objeto de simplificar la geometría del acuífero y siguiendo la metodología adoptada en los modelos numéricos anteriormente realizados (ITGE-DPA, 1994-95; 1999), se ha supuesto un espesor constante, definiendo las isohipsas de techo a partir de las de muro suponiendo un espesor constante de 50 m. Sin embargo, este tipo de simplificación tiene el problema de que, como consecuencia del brusco cambio de potencia anteriormente comentado, la superficie aflorante se ve claramente disminuida con respecto a la real, pasando de unos 9,5 km² a tan sólo 0,5 km².

Es por ello que con la finalidad de obtener una geometría lo más representativa posible, la metodología utilizada ha consistido en considerar por separado la zona aflorante, donde las isohipsas de techo se ha hecho coincidir con la topografía obteniendo mayores espesores del acuífero según el modelo conceptual anteriormente planteado, de la zona no aflorante, en la cual el techo se ha obtenido a partir de las isohipsas de muro manteniendo un espesor aproximadamente constante de unos 50 m. Los resultados finalmente obtenidos se presentan en la Figura 4. En la Figura 5 se presenta además tanto el espesor del acuífero como la diferencia obtenida entre la topografía y el techo del acuífero. Como puede observarse, en la zona aflorante la topografía coincide con el techo, obteniéndose en este caso una superficie de zona aflorante, más coherente con los 9,5 km² tradicionalmente considerados a partir de la cartografía geológica existente. Por otro lado, se observa además que las mayores diferencias obtenidas entre la topografía y el techo del acuífero así como los mayores espesores del mismo corresponden a la zona en la que se superpone el acuífero Carrasqueta. En dicha zona, las mayores diferencias entre la topografía y el techo se atribuyen al hecho de no considerar el acuífero de Carrasqueta, mientras que los mayores espesores se atribuyen fundamentalmente a la limitación relacionada con la discretización espacial realizada durante la simulación numérica presentada en el apartado 2, dados los elevados gradientes topográficos y geométricos existentes en dicha zona.

ISOHIPSAS DE MURO



ISOHIPSAS DE TECHO

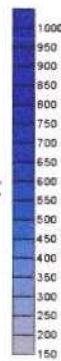
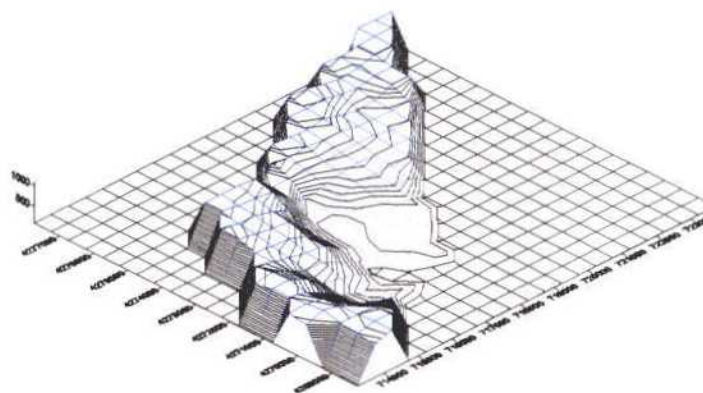
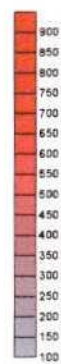
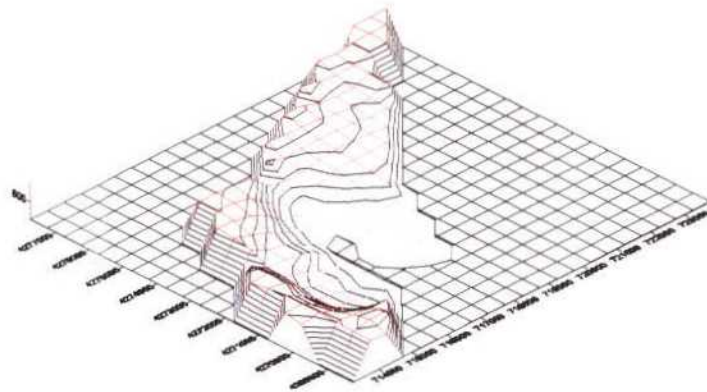
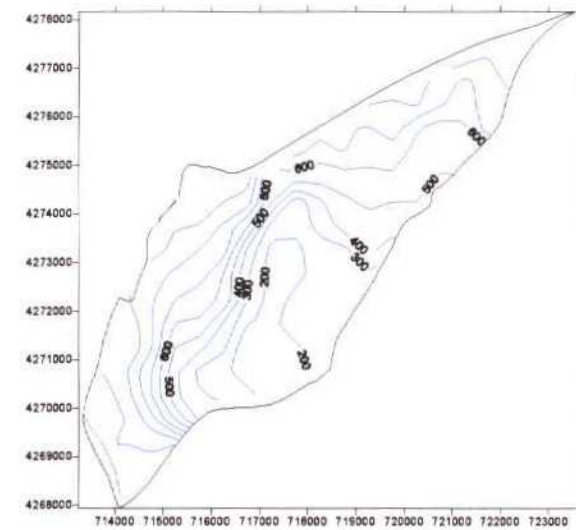
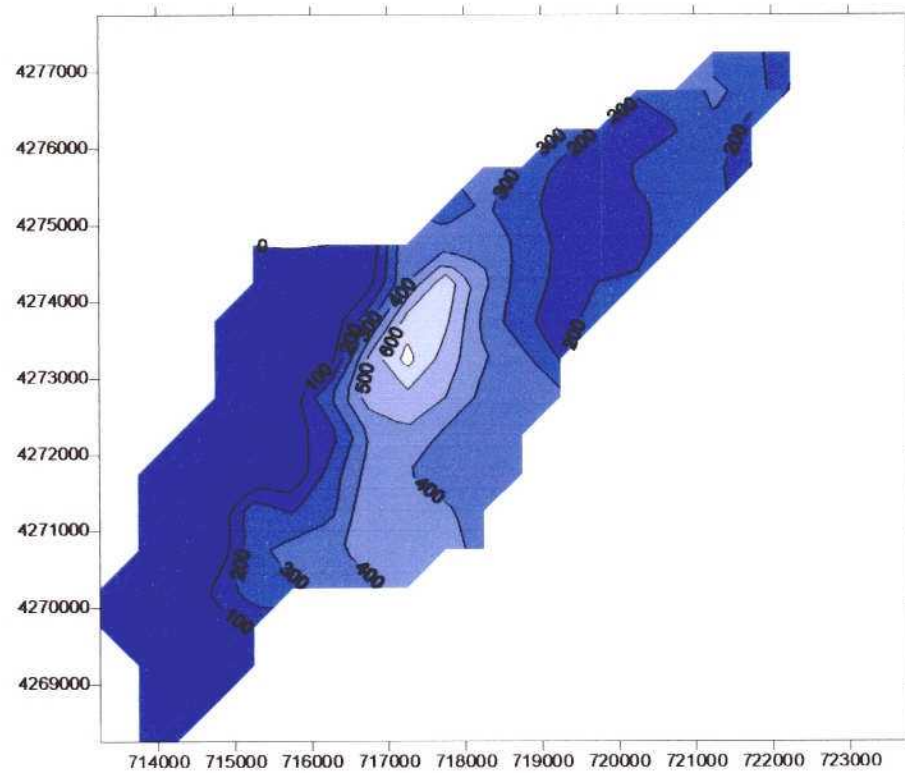


Figura 4.- Mapa de isohipsas de muro y techo obtenidos para el acuífero Jijona.

TOPOGRAFIA – TECHO



ESPESOR

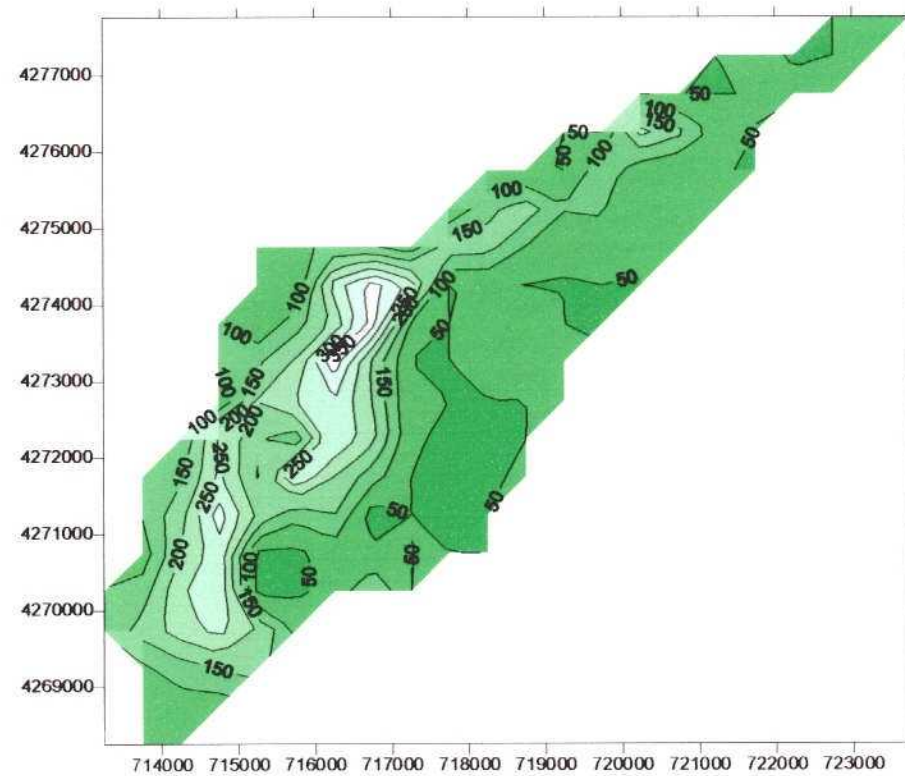


Figura 5. – Espesor y diferencia obtenida entre la topografía y el techo del acuífero Jijón

4.2 SIMULACIÓN NUMÉRICA DEL FLUJO SUBTERRÁNEO.

4.2.1 INTRODUCCIÓN

En el acuífero Jijona se han realizado por parte del IGME diferentes modelos numéricos del flujo subterráneo (ITGE-DPA, 1995; ITGE-DPA, 1999). Dichos modelos han supuesto un avance considerable en el conocimiento hidrogeológico del mismo. Teniendo en cuenta los resultados obtenidos en dichos trabajos, en este apartado se define un nuevo modelo numérico que presenta como novedades más significativas con respecto a los anteriores, una definición más precisa de la geometría, una discretización espacial más detallada y una ampliación significativa del dominio del modelo tanto en extensión superficial como en el número de capas consideradas. Dichas modificaciones y/o ampliaciones se han realizado teniendo en cuenta el objetivo final del presente trabajo, es decir, la evaluación de las reservas hídricas subterráneas. Para ello, se ha elegido resolver la ecuación de flujo aplicando el método de las diferencias finitas utilizando el código MODFLOW (McDonald y Harbaugh, 1988). Las entradas y las salidas al modelo se han realizado mediante el pre- y postprocesador VISUALMODFLOW 2.70 (WHI, 1999).

Los objetivos principales objetivos de este modelo numérico son:

- Confirmar y completar el modelo conceptual que se tiene actualmente del sistema mediante la utilización de una herramienta que permita sintetizar toda la información y conocimientos obtenidos hasta el momento, así como elaborar y/o verificar diversas hipótesis de funcionamiento hidrogeológico.
- Obtener parámetros hidráulicos representativos del sistema con la finalidad de poder evaluar adecuadamente las reservas.

El presente apartado comienza estableciendo una relación entre el modelo conceptual y el modelo numérico adoptado, comentando las simplificaciones realizadas para la simulación teniendo en cuenta la información previa disponible. A continuación se realiza una descripción del modelo numérico, presentando la metodología adoptada para la obtención de la geometría del modelo y, definiendo, tanto la discretización espacial como las condiciones

de contorno. Posteriormente, tras una primera simulación considerando el comportamiento del acuífero bajo condiciones no influenciadas (régimen estacionario) se ha procedido a la fase de ajuste y calibración simulando el comportamiento del acuífero bajo condiciones influenciadas durante el periodo 1986-1996 (régimen transitorio). Finalmente, se realiza una discusión comentando las implicaciones de los resultados obtenidos en el funcionamiento hidrodinámico del sistema y, como consecuencia, en la evaluación de las reservas.

4.2.2. RELACIÓN ENTRE EL MODELO CONCEPTUAL Y EL MODELO NUMÉRICO.

Como ya se ha mencionado, el acuífero presenta un carácter confinado, con una pequeña extensión de comportamiento libre coincidente con los afloramientos permeables que actúan como zona de recarga. Una diferencia sustancial de este modelo con respecto a anteriores (ITGE-DPA, 1999) es que se han considerado dos capas:

Capa 1: activa únicamente en la zona de recarga (roca permeable aflorante) donde el acuífero presenta un carácter libre. En el resto del acuífero esta capa se encuentra inicialmente inactiva, permitiendo simular la piezometría correspondiente a la capa 2, dado que la mayor parte de la misma se encuentra situada por encima del muro de la capa 1. La geometría se ha obtenido a partir de la topografía (zona aflorante) y del muro del acuífero (zona no aflorante) tal y como se comenta en el apartado 4.1. de la presente memoria. Por otro lado, esta capa permite estudiar el posible papel que pudieran presentar las margas de la formación Tap 1 en el funcionamiento del acuífero..

Capa 2: Representa el acuífero propiamente dicho, de manera que el techo y base de la capa coinciden con el techo y muro del acuífero. Por consiguiente, es en esta capa sobre la que se han definido las principales condiciones de contorno, así como los diferentes pozos de extracción y observación considerados. En condiciones no influenciadas esta capa se encuentra completamente saturada. Mientras que bajo condiciones influenciadas la simulación contempla que parte de la misma pueda presentar un carácter libre

En una primera fase, se ha simulado el funcionamiento hidrogeológico del sistema bajo condiciones naturales no influenciadas (régimen estacionario). Una vez ajustado el balance y

considerando como valores iniciales de permeabilidad los resultantes de los ensayos de bombeo y simulaciones anteriores (ITGE-DPA 1995; 1999) se ha obtenido una primera piezometría que se ha supuesto como razonablemente representativa teniendo en cuenta la ausencia de datos suficientes como para poder realizar una calibración de la misma.. Posteriormente, se ha realizado una segunda simulación considerando las principales extracciones existentes en la zona (régimen transitorio) con objeto de terminar de calibrar los principales parámetros hidráulicos del acuífero, fundamentalmente el coeficiente de almacenamiento.

4.2.3. DEFINICIÓN Y DESCRIPCIÓN DEL MODELO NUMÉRICO

Para la resolución del modelo numérico, tal y como se ha comentado anteriormente, se ha utilizado el método de las diferencias finitas mediante la aplicación del código MODFLOW (McDonald y Harbaugh, 1988). Se ha utilizado un modelo bicapa, tridimensional y en régimen tanto estacionario como transitorio.

La geometría considerada en el modelo se ha obtenido directamente a partir de los mapas de techo y muro presentados en el apartado 4.1.1. La interpolación de los datos iniciales obtenidos a partir de los cortes seriados y mapa de isohipsas de muro realizados en estudios anteriores (ITGE, 1988) se ha realizado cada 500 m con objeto de que el valor interpolado coincida con el centro de las celdas del modelo numérico. Los valores de las celdas finalmente introducidos en el modelo correspondientes a la topografía, techo y muro se presentan en las Figuras 7, 8 y 9.

Con respecto a la discretización espacial se ha definido una malla de 20 filas en la dirección X (O-E) y 22 columnas en la dirección Y (N-S). Dicha discretización se ha elegido de tal manera que permita un mínimo de precisión al definir las condiciones de contorno. La superficie total del acuífero corresponde a 155 celdas de 500 x 500 m de lado, lo que representa una superficie de 38,7 km², ligeramente superior a los 35 km² tradicionalmente considerados como consecuencia de la limitación relacionada con la imposibilidad de adaptar completamente las celdas al contorno real del acuífero. La zona aflorante o de recarga corresponde a 39 celdas, lo que representa una superficie de 9,75 km² en coherencia con lo comentado en el apartado 3. La malla finalmente establecida se presenta en la Figura 6.

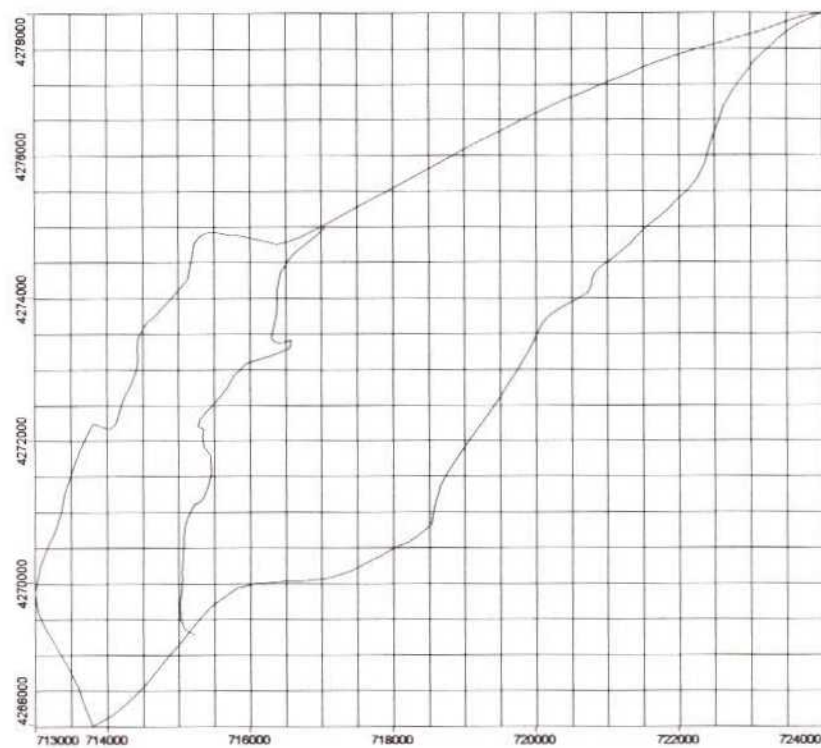


Figura 6 .- Discretización espacial y malla resultante utilizada en el modelo numérico

| filas\col | 1 | 2 | 3 | 4 | 5 | 6 | 7 | 8 | 9 | 10 | 11 | 12 | 13 | 14 | 15 | 16 | 17 | 18 | 19 | 20 | 21 | 22 |
|-----------|------|------|------|------|------|------|------|------|------|------|------|------|------|------|------|------|------|------|------|------|------|------|
| 1 | 1120 | 1120 | 1120 | 1120 | 1120 | 1120 | 1120 | 1120 | 1120 | 1120 | 1120 | 1120 | 1120 | 1120 | 1120 | 1120 | 1120 | 1120 | 1120 | 1000 | 1000 | |
| 2 | 1120 | 1120 | 1120 | 1120 | 1120 | 1120 | 1120 | 1120 | 1120 | 1120 | 1120 | 1120 | 1120 | 1120 | 1120 | 1120 | 1022 | 1003 | 1000 | 1000 | 1120 | |
| 3 | 1120 | 1120 | 1120 | 1120 | 1120 | 1120 | 1120 | 1120 | 1120 | 1120 | 1120 | 1120 | 1120 | 1076 | 1002 | 1000 | 1003 | 943 | 973 | 1120 | 1120 | |
| 4 | 1120 | 1120 | 1120 | 1120 | 1120 | 1120 | 1120 | 1120 | 1120 | 1120 | 1120 | 1120 | 975 | 911 | 902 | 937 | 900 | 909 | 1120 | 1120 | 1120 | |
| 5 | 1120 | 1120 | 1120 | 1120 | 1120 | 1120 | 1120 | 1120 | 1120 | 1120 | 1120 | 1120 | 1005 | 858 | 839 | 835 | 806 | 817 | 845 | 902 | 1120 | 1120 |
| 6 | 1120 | 1120 | 1120 | 1120 | 1120 | 1120 | 1120 | 1120 | 969 | 950 | 934 | 809 | 753 | 749 | 780 | 800 | 817 | 1120 | 1120 | 1120 | 1120 | |
| 7 | 1120 | 1120 | 1120 | 1120 | 1000 | 1000 | 1000 | 951 | 936 | 901 | 913 | 825 | 743 | 700 | 700 | 787 | 800 | 1120 | 1120 | 1120 | 1120 | |
| 8 | 1120 | 1120 | 1120 | 1120 | 1003 | 927 | 1050 | 900 | 900 | 900 | 804 | 730 | 696 | 700 | 725 | 794 | 1120 | 1120 | 1120 | 1120 | 1120 | |
| 9 | 1120 | 1120 | 1120 | 1000 | 908 | 997 | 802 | 880 | 900 | 848 | 704 | 669 | 606 | 700 | 700 | 1120 | 1120 | 1120 | 1120 | 1120 | 1120 | |
| 10 | 1120 | 1120 | 1120 | 950 | 880 | 797 | 805 | 907 | 899 | 726 | 661 | 603 | 609 | 700 | 1120 | 1120 | 1120 | 1120 | 1120 | 1120 | 1120 | |
| 11 | 1120 | 1120 | 1120 | 832 | 782 | 800 | 903 | 958 | 717 | 669 | 613 | 600 | 607 | 1120 | 1120 | 1120 | 1120 | 1120 | 1120 | 1120 | 1120 | |
| 12 | 1120 | 1120 | 908 | 814 | 700 | 685 | 743 | 705 | 630 | 606 | 599 | 600 | 600 | 1120 | 1120 | 1120 | 1120 | 1120 | 1120 | 1120 | 1120 | |
| 13 | 1120 | 900 | 981 | 806 | 594 | 596 | 648 | 642 | 586 | 600 | 600 | 600 | 1120 | 1120 | 1120 | 1120 | 1120 | 1120 | 1120 | 1120 | 1120 | |
| 14 | 1120 | 993 | 1006 | 813 | 781 | 619 | 600 | 600 | 600 | 600 | 1120 | 1120 | 1120 | 1120 | 1120 | 1120 | 1120 | 1120 | 1120 | 1120 | 1120 | |
| 15 | 1120 | 999 | 900 | 700 | 695 | 619 | 600 | 600 | 600 | 600 | 1120 | 1120 | 1120 | 1120 | 1120 | 1120 | 1120 | 1120 | 1120 | 1120 | 1120 | |
| 16 | 1015 | 1046 | 950 | 836 | 697 | 600 | 600 | 1120 | 1120 | 1120 | 1120 | 1120 | 1120 | 1120 | 1120 | 1120 | 1120 | 1120 | 1120 | 1120 | 1120 | |
| 17 | 958 | 1097 | 999 | 906 | 705 | 619 | 1120 | 1120 | 1120 | 1120 | 1120 | 1120 | 1120 | 1120 | 1120 | 1120 | 1120 | 1120 | 1120 | 1120 | 1120 | |
| 18 | 1120 | 1000 | 1000 | 874 | 1120 | 1120 | 1120 | 1120 | 1120 | 1120 | 1120 | 1120 | 1120 | 1120 | 1120 | 1120 | 1120 | 1120 | 1120 | 1120 | 1120 | |
| 19 | 1120 | 956 | 1050 | 1120 | 1120 | 1120 | 1120 | 1120 | 1120 | 1120 | 1120 | 1120 | 1120 | 1120 | 1120 | 1120 | 1120 | 1120 | 1120 | 1120 | 1120 | |
| 20 | 1120 | 877 | 1120 | 1120 | 1120 | 1120 | 1120 | 1120 | 1120 | 1120 | 1120 | 1120 | 1120 | 1120 | 1120 | 1120 | 1120 | 1120 | 1120 | 1120 | 1120 | |

Zona aflorante Zona no aflorante Contorno del modelo (celdas inactivas)

Figura 7. – Valores de topografía considerados para cada una de las celdas del modelo numérico

| file\col | 1 | 2 | 3 | 4 | 5 | 6 | 7 | 8 | 9 | 10 | 11 | 12 | 13 | 14 | 15 | 16 | 17 | 18 | 19 | 20 | 21 | 22 |
|----------|------|------|------|------|------|------|------|------|------|------|------|------|------|------|------|------|------|------|------|------|------|----|
| 1 | 1120 | 1120 | 1120 | 1120 | 1120 | 1120 | 1120 | 1120 | 1120 | 1120 | 1120 | 1120 | 1120 | 1120 | 1120 | 1120 | 1120 | 1120 | 1120 | 850 | 850 | |
| 2 | 1120 | 1120 | 1120 | 1120 | 1120 | 1120 | 1120 | 1120 | 1120 | 1120 | 1120 | 1120 | 1120 | 1120 | 1120 | 1120 | 800 | 854 | 877 | 882 | 1120 | |
| 3 | 1120 | 1120 | 1120 | 1120 | 1120 | 1120 | 1120 | 1120 | 1120 | 1120 | 1120 | 1120 | 1120 | 1120 | 1120 | 1120 | 1120 | 1120 | 1120 | 1120 | 1120 | |
| 4 | 1120 | 1120 | 1120 | 1120 | 1120 | 1120 | 1120 | 1120 | 1120 | 1120 | 1120 | 1120 | 1120 | 1120 | 1120 | 1120 | 1120 | 1120 | 1120 | 1120 | 1120 | |
| 5 | 1120 | 1120 | 1120 | 1120 | 1120 | 1120 | 1120 | 1120 | 1120 | 1120 | 1120 | 1120 | 1120 | 1120 | 1120 | 1120 | 1120 | 1120 | 1120 | 1120 | 1120 | |
| 6 | 1120 | 1120 | 1120 | 1120 | 1120 | 1120 | 1120 | 1120 | 1120 | 1120 | 1120 | 1120 | 1120 | 1120 | 1120 | 1120 | 1120 | 1120 | 1120 | 1120 | 1120 | |
| 7 | 1120 | 1120 | 1120 | 1120 | 1000 | 1000 | 1000 | 947 | 541 | 550 | 540 | 550 | 563 | 580 | 568 | 487 | 500 | 1120 | 1120 | 1120 | 1120 | |
| 8 | 1120 | 1120 | 1120 | 1120 | 1003 | 927 | 1050 | 850 | 500 | 235 | 380 | 481 | 519 | 499 | 500 | 470 | 1120 | 1120 | 1120 | 1120 | 1120 | |
| 9 | 1120 | 1120 | 1120 | 1000 | 908 | 897 | 785 | 600 | 250 | 225 | 335 | 440 | 463 | 440 | 450 | 1120 | 1120 | 1120 | 1120 | 1120 | 1120 | |
| 10 | 1120 | 1120 | 950 | 860 | 797 | 750 | 375 | 161 | 176 | 250 | 270 | 420 | 350 | 1120 | 1120 | 1120 | 1120 | 1120 | 1120 | 1120 | 1120 | |
| 11 | 1120 | 1120 | 832 | 782 | 750 | 600 | 310 | 150 | 168 | 246 | 229 | 275 | 1120 | 1120 | 1120 | 1120 | 1120 | 1120 | 1120 | 1120 | 1120 | |
| 12 | 1120 | 908 | 814 | 700 | 625 | 590 | 500 | 144 | 230 | 240 | 222 | 290 | 1120 | 1120 | 1120 | 1120 | 1120 | 1120 | 1120 | 1120 | 1120 | |
| 13 | 1120 | 900 | 981 | 806 | 594 | 592 | 400 | 205 | 186 | 230 | 240 | 250 | 1120 | 1120 | 1120 | 1120 | 1120 | 1120 | 1120 | 1120 | 1120 | |
| 14 | 1120 | 993 | 1006 | 813 | 500 | 425 | 325 | 108 | 181 | 190 | 230 | 1120 | 1120 | 1120 | 1120 | 1120 | 1120 | 1120 | 1120 | 1120 | 1120 | |
| 15 | 1120 | 999 | 900 | 700 | 425 | 275 | 223 | 150 | 144 | 170 | 228 | 1120 | 1120 | 1120 | 1120 | 1120 | 1120 | 1120 | 1120 | 1120 | 1120 | |
| 16 | 1015 | 1046 | 950 | 710 | 420 | 316 | 278 | 235 | 1120 | 1120 | 1120 | 1120 | 1120 | 1120 | 1120 | 1120 | 1120 | 1120 | 1120 | 1120 | 1120 | |
| 17 | 958 | 1097 | 989 | 950 | 592 | 392 | 1120 | 1120 | 1120 | 1120 | 1120 | 1120 | 1120 | 1120 | 1120 | 1120 | 1120 | 1120 | 1120 | 1120 | 1120 | |
| 18 | 1120 | 1000 | 1000 | 974 | 1120 | 1120 | 1120 | 1120 | 1120 | 1120 | 1120 | 1120 | 1120 | 1120 | 1120 | 1120 | 1120 | 1120 | 1120 | 1120 | 1120 | |
| 19 | 1120 | 955 | 1050 | 1120 | 1120 | 1120 | 1120 | 1120 | 1120 | 1120 | 1120 | 1120 | 1120 | 1120 | 1120 | 1120 | 1120 | 1120 | 1120 | 1120 | 1120 | |
| 20 | 1120 | 877 | 1120 | 1120 | 1120 | 1120 | 1120 | 1120 | 1120 | 1120 | 1120 | 1120 | 1120 | 1120 | 1120 | 1120 | 1120 | 1120 | 1120 | 1120 | 1120 | |

Zona aflorante Zona no aflorante Contorno del modelo (celdas inactivas)

Figura 8. – Valores de techo considerados para cada una de las celdas del modelo numérico (base Capa 1).

| file\col | 1 | 2 | 3 | 4 | 5 | 6 | 7 | 8 | 9 | 10 | 11 | 12 | 13 | 14 | 15 | 16 | 17 | 18 | 19 | 20 | 21 | 22 |
|----------|------|------|------|------|------|------|------|------|------|------|------|------|------|------|------|------|------|------|------|------|------|----|
| 1 | 1120 | 1120 | 1120 | 1120 | 1120 | 1120 | 1120 | 1120 | 1120 | 1120 | 1120 | 1120 | 1120 | 1120 | 1120 | 1120 | 1120 | 1120 | 800 | 800 | | |
| 2 | 1120 | 1120 | 1120 | 1120 | 1120 | 1120 | 1120 | 1120 | 1120 | 1120 | 1120 | 1120 | 1120 | 1120 | 1120 | 1120 | 1120 | 750 | 804 | 827 | 832 | |
| 3 | 1120 | 1120 | 1120 | 1120 | 1120 | 1120 | 1120 | 1120 | 1120 | 1120 | 1120 | 1120 | 1120 | 1120 | 1120 | 1120 | 1120 | 1120 | 1120 | 1120 | 1120 | |
| 4 | 1120 | 1120 | 1120 | 1120 | 1120 | 1120 | 1120 | 1120 | 1120 | 1120 | 1120 | 1120 | 1120 | 1120 | 1120 | 1120 | 1120 | 1120 | 1120 | 1120 | 1120 | |
| 5 | 1120 | 1120 | 1120 | 1120 | 1120 | 1120 | 1120 | 1120 | 1120 | 1120 | 1120 | 1120 | 1120 | 1120 | 1120 | 1120 | 1120 | 1120 | 1120 | 1120 | 1120 | |
| 6 | 1120 | 1120 | 1120 | 1120 | 1120 | 1120 | 1120 | 1120 | 1120 | 1120 | 1120 | 1120 | 1120 | 1120 | 1120 | 1120 | 1120 | 1120 | 1120 | 1120 | 1120 | |
| 7 | 1120 | 1120 | 1120 | 1120 | 916 | 910 | 890 | 840 | 471 | 370 | 370 | 450 | 513 | 500 | 480 | 437 | 459 | 1120 | 1120 | 1120 | 1120 | |
| 8 | 1120 | 1120 | 1120 | 1120 | 910 | 877 | 780 | 480 | 217 | 185 | 330 | 431 | 469 | 449 | 460 | 420 | 1120 | 1120 | 1120 | 1120 | 1120 | |
| 9 | 1120 | 1120 | 900 | 850 | 770 | 575 | 230 | 156 | 175 | 242 | 360 | 413 | 400 | 400 | 400 | 400 | 1120 | 1120 | 1120 | 1120 | 1120 | |
| 10 | 1120 | 1120 | 850 | 720 | 590 | 370 | 189 | 111 | 126 | 175 | 217 | 350 | 300 | 1120 | 1120 | 1120 | 1120 | 1120 | 1120 | 1120 | 1120 | |
| 11 | 1120 | 1120 | 780 | 580 | 500 | 302 | 112 | 100 | 118 | 196 | 179 | 180 | 1120 | 1120 | 1120 | 1120 | 1120 | 1120 | 1120 | 1120 | 1120 | |
| 12 | 1120 | 800 | 560 | 545 | 503 | 292 | 84 | 94 | 190 | 200 | 172 | 170 | 1120 | 1120 | 1120 | 1120 | 1120 | 1120 | 1120 | 1120 | 1120 | |
| 13 | 800 | 840 | 350 | 446 | 295 | 200 | 84 | 136 | 190 | 200 | 190 | 1120 | 1120 | 1120 | 1120 | 1120 | 1120 | 1120 | 1120 | 1120 | 1120 | |
| 14 | 890 | 816 | 496 | 311 | 310 | 176 | 86 | 131 | 150 | 180 | 1120 | 1120 | 1120 | 1120 | 1120 | 1120 | 1120 | 1120 | 1120 | 1120 | 1120 | |
| 15 | 928 | 580 | 420 | 385 | 235 | 153 | 89 | 94 | 120 | 178 | 1120 | 1120 | 1120 | 1120 | 1120 | 1120 | 1120 | 1120 | 1120 | 1120 | 1120 | |
| 16 | 910 | 921 | 700 | 420 | 385 | 276 | 206 | 19 | 1120 | 1120 | 1120 | 1120 | 1120 | 1120 | 1120 | 1120 | 1120 | 1120 | 1120 | 1120 | 1120 | |
| 17 | 850 | 926 | 708 | 580 | 400 | 300 | 1120 | 1120 | 1120 | 1120 | 1120 | 1120 | 1120 | 1120 | 1120 | 1120 | 1120 | 1120 | 1120 | 1120 | 1120 | |
| 18 | 910 | 872 | 823 | 1120 | 1120 | 1120 | 1120 | 1120 | 1120 | 1120 | 1120 | 1120 | 1120 | 1120 | 1120 | 1120 | 1120 | 1120 | 1120 | 1120 | 1120 | |
| 19 | 880 | 975 | 1120 | 1120 | 1120 | 1120 | 1120 | 1120 | 1120 | 1120 | 1120 | 1120 | 1120 | 1120 | 1120 | 1120 | 1120 | 1120 | 1120 | 1120 | 1120 | |
| 20 | 800 | 1120 | 1120 | 1120 | 1120 | 1120 | 1120 | 1120 | 1120 | 1120 | 1120 | 1120 | 1120 | 1120 | 1120 | 1120 | 1120 | 1120 | 1120 | 1120 | 1120 | |

Zona aflorante Zona no aflorante Contorno del modelo (celdas inactivas)

Figura 9. – Valores de muro considerados para cada una de las celdas del modelo numérico (base Capa 2).

Se han definido las siguientes condiciones de contorno:

- a) Condición de caudal nulo: esta condición de contorno corresponde a un caso especial de la condición de Neumann y se ha considerado para definir los límites laterales del modelo. La base del modelo viene dada por los materiales poco permeables del Oligoceno, mientras que los límites laterales representan el contacto con las formaciones arcillosas del Cretácico y Eoceno.
- b) Condición de dren: con la finalidad de representar el manantial de Rausset (2833-8-0008). Dicho manantial anteriormente a la construcción de las primeras captaciones drenaba agua de manera continua según los escasos datos históricos recopilados (ITGE, 1988; ITGE-DPA, 1992). No obstante, no existe una serie de aforos suficiente como para estudiar su hidrograma de descarga y, como consecuencia, obtener un valor representativo de escorrentía subterránea. Tan sólo se conoce que su caudal oscilaba entre unos pocos y 50 l/s. Dado que la condición de dren tiende a tomar agua de todas las celdas activas existentes a su alrededor, se ha definido una permeabilidad más baja entorno a este dren con objeto de que el agua proceda predominantemente de la zona de recarga.

4.2.4. SIMULACIÓN NUMÉRICA EN ESTADO ESTACIONARIO

En una primera fase y con la finalidad de estudiar el funcionamiento hidrogeológico del sistema bajo condiciones no influenciadas, se ha procedido ha realizar una primera simulación representativa del estado del acuífero anteriormente al establecimiento de las primeras captaciones. Los valores de recarga y parámetros hidráulicos utilizados se han obtenido fundamentalmente de los estudios y simulaciones numéricas previamente realizadas. El valor medio de recarga utilizado (77 mm/año) corresponde a los $0.75 \text{ hm}^3/\text{año}$ comentados en el apartado 3, considerando una superficie aflorante de $9,75 \text{ km}^2$, lo que representa aproximadamente el 20% de la precipitación media anual (ITGE-DPA, 1995).

Los valores de permeabilidad se han calculado a partir de las transmisividades obtenidas en simulaciones anteriores (ITGE-DPA, 1995; 1999) así como del espesor medio obtenido a partir de la geometría. Por último, y ante la imposibilidad de disponer de una piezometría

representativa del estado del acuífero en condiciones no influenciadas, se ha supuesto una piezometría inicial constante de 592 m. Dicha cota se ha obtenido a partir de la cota del manantial del Rausset y de los niveles medidos durante 1976 en los puntos 2833-8-0009, 2833-8-0010, 2833-8-0011 y 2833-8-0029.

Como se ha comentado anteriormente, no existen datos de aforo suficientes en el manantial del Rausset como para establecer correctamente el balance del sistema bajo condiciones no influenciadas. Sólo se conoce un rango de valores de descarga para dicho manantial comprendido entre unos pocos y 32 l/s (noviembre de 1976 y octubre de 1986 respectivamente). Es por ello que se ha optado por fijar los valores de recarga y permeabilidad, obteniendo un caudal de descarga razonablemente coherente con los escasos valores disponibles. Para un valor medio de recarga de 0.75 hm³/año el caudal drenado obtenido tras la simulación es de unos 2056 m³/día (23,7 l/s) l/s, lo que representa un valor intermedio entre los caudales aforados. Por otro lado, la superficie de acuífero resultante es de 25,2 km², coherente con los 24,4 km² obtenidos en estudios previos (ITGE-DPA, 1995). Los resultados obtenidos de dicha simulación se presentan en la Figura 10. En la Figura 11 se representa la dirección y magnitud del flujo subterráneo resultante. La máxima velocidad de flujo obtenida es de 0.17 m/d.

4.2.4. SIMULACIÓN NUMÉRICA EN ESTADO TRANSITORIO

Una vez simulado el funcionamiento del acuífero bajo condiciones no influenciadas, se ha realizado una segunda simulación considerando las principales extracciones con objeto de calibrar los parámetros hidráulicos del acuífero. Para ello se ha simulado un periodo de 10 años (1986-1996) considerando un paso de tiempo mensual. Tanto el periodo de simulación como la discretización temporal utilizada se ha establecido teniendo en cuenta los datos disponibles en la Diputación de Alicante.

La función de recarga se ha obtenido a partir de la precipitación mensual registrada en la estación de Tibi, aplicando un peso de 1,18, deducido de la correlación existente entre las estaciones de Jijona y Tibi (ITGE-DPA, 1995). La estación de Tibi presenta un mayor número de datos pero, a diferencia de la de Jijona, se encuentra más alejada de la zona de estudio.

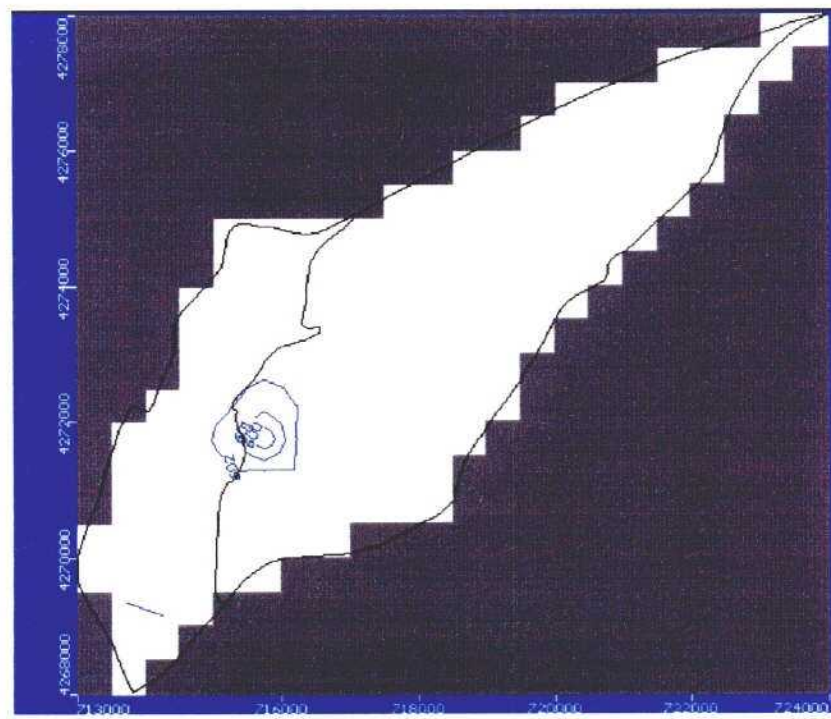


Figura 10. – Piezometría resultante de la simulación realizada en estado estacionario en el acuífero Jijona

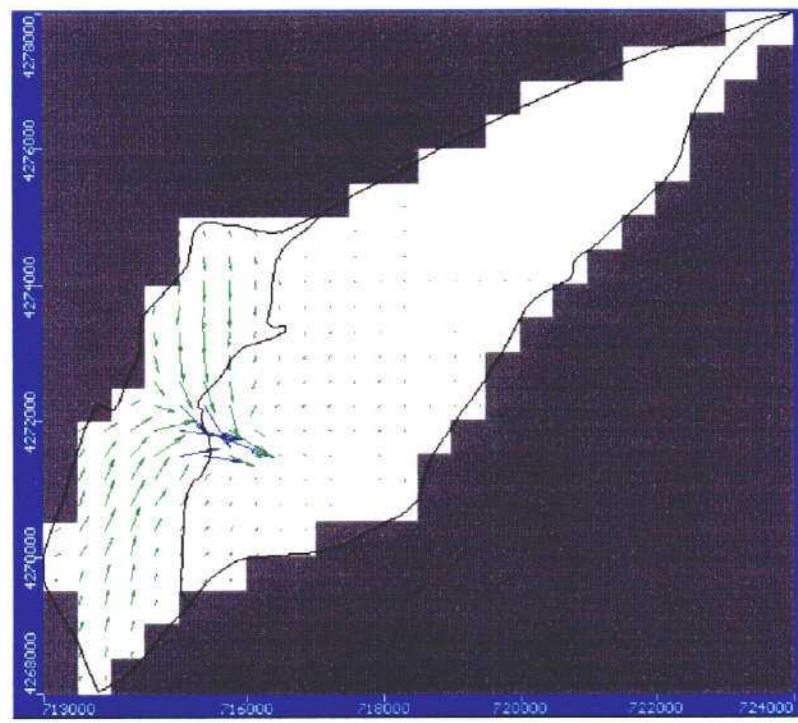


Figura 11. - Dirección y magnitud del flujo subterráneo resultante resultante de la simulación realizada en estado estacionario en el acuífero Jijona

Posteriormente y en función tanto del tipo de año climático como el porcentaje de agua recargada deducidos en dicho estudio (Tabla 2) se han obtenido los valores de recarga finalmente utilizados.

Tabla 2. – Tipo de año climático en función de la pluviometría anual y porcentaje de recarga (ITGE-DPA, 1995)

| TIPO DE AÑO | PLUVIOMETRIA (mm/a) | RECARGA (%) |
|-------------|---------------------|-------------|
| Muy seco | < 300 | 30 |
| Seco | 300-360 | 25.3 |
| Medio | 360-460 | 19.2 |
| Húmedo | 460-600 | 16.8 |
| Muy húmedo | > 600 | 12.5 |

Con respecto a los caudales de extracción se han utilizado los valores mensuales correspondientes a los pozos Sereñat (2833-8-0028) y Pineta (2833-8-0033) obtenidos de la base de datos de la Diputación de Alicante (Tabla 1 y Figura 2). Durante el periodo 1986-90, los datos correspondientes a dichos pozos se dan en conjunto, por lo que siguiendo la metodología adoptada en simulaciones anteriores (ITGE-DPA, 1995; 1999) se ha supuesto que, durante dicho periodo, el pozo Sereñat bombeaba el 60 % y Pineta el 40 % del total. Dichos pozos, dada la ausencia de otros puntos de control, han sido considerados como pozos de observación durante la fase de calibración, por lo que a pesar de seleccionarse únicamente aquellos niveles medidos durante al menos dos o tres días después de un periodo de bombeo no se descarta que puedan encontrarse parcialmente influenciados por la captación.

Teniendo en cuenta las características geológicas e hidrogeológicas del acuífero se han diferenciado dos zonas con permeabilidad y coeficiente de almacenamiento diferentes (zona aflorante y no aflorante de roca permeable). Durante la fase de ajuste y calibración, inicialmente se ha fijado la recarga, los caudales de extracción y la permeabilidad, variando los coeficientes de almacenamiento. Los valores de permeabilidad utilizados (20 m/día para la zona aflorante y 2,5 m/día para la zona no aflorante) se han obtenido a partir de las transmisividades deducidas en simulaciones anteriores (2500 y 190 m²/día respectivamente; ITGE-DPA, 1999) y del espesor medio del acuífero. Los resultados pueden observarse en la Figura 12, obteniéndose un ajuste más que razonable teniendo en cuenta las limitaciones asociadas a la escasez y calidad de los datos disponibles. Dicho ajuste se ha obtenido para

unos coeficientes de almacenamiento de 0.0022 y 0.00001 para la zona aflorante y no aflorante, respectivamente.

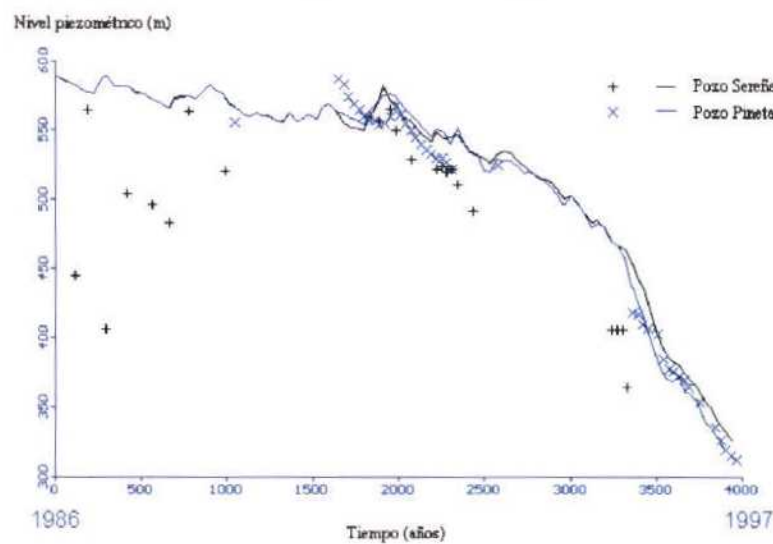


Figura 12. – Comparación entre los niveles medidos y simulados durante 1986-1996 (pozos Sereñat y Pineta).
Permeabilidad y coeficiente de almacenamiento de la zona aflorante 20 m/d y 0.0022.

La realización de un análisis de sensibilidad preliminar permite observar como es posible obtener ajustes también relativamente razonables (aunque ligeramente peores) bajando la permeabilidad (0,2 m/día) y aumentando ligeramente el coeficiente de almacenamiento (0,005) de la zona aflorante (Figura 13).

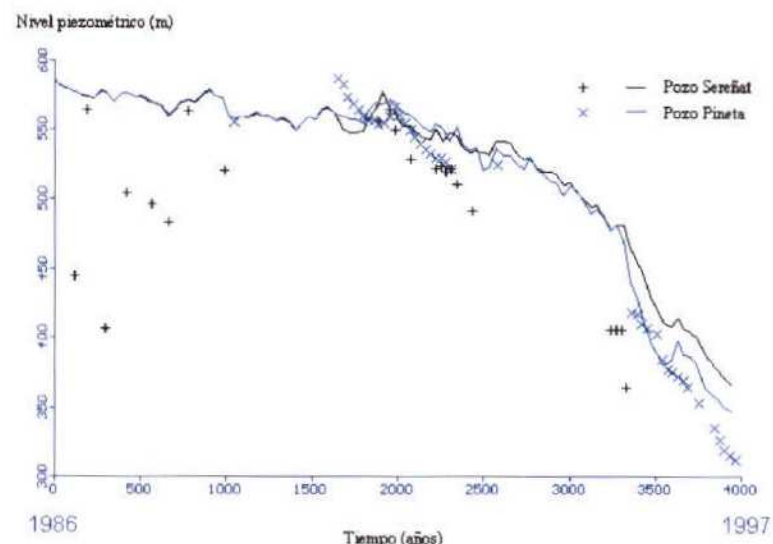


Figura 13. – Comparación entre los niveles medidos y simulados durante 1986-1996 (pozos Sereñat y Pineta).
Permeabilidad y coeficiente de almacenamiento de la zona aflorante 0.5 m/d y 0.005.

Sería deseable realizar un análisis de sensibilidad más detallado con objeto de obtener otros posibles parámetros coherentes con los datos disponibles, dada la gran trascendencia que presentan dichos parámetros en la posterior evaluación de las reservas.

A pesar de los relativamente buenos ajustes logrados, es importante destacar las siguientes limitaciones principales asociadas al modelo numérico empleado:

- Los elevados gradientes existentes tanto en la topografía como en la geometría del acuífero (transición zona aflorante a no aflorante), lo que unido a la discretización espacial utilizada ha llevado a obtener espesores “anómalos” en dicha zona. Esta limitación podría en parte reducirse refinando más la malla.
- La ausencia de un espesor constante en todo el dominio del modelo, unido a la necesidad que presenta el código de definir valores de coeficiente de almacenamiento específico, hace que el considerar únicamente dos zonas de coeficiente de almacenamiento (zona aflorante y no aflorante) suponga una limitación. Esto podría en parte evitarse aumentando el número de zonas con un coeficiente de almacenamiento distinto en función del espesor del acuífero.
- La calidad de los datos de partida, ya que los puntos de observación coinciden con los pozos de bombeo, por lo que es probable que, a pesar de que se han tratado de utilizar niveles medidos tras unos días del bombeo, estos se encuentren en parte influenciados por la captación, no siendo representativos de la evolución general del acuífero. Ello apoyaría la hipótesis de que el coeficiente de almacenamiento en la zona aflorante (porosidad eficaz o drenable) fuera ligeramente superior a la calibrada.

4.3 CÁLCULO DE LAS RESERVAS HÍDRICAS SUBTERRÁNEAS

Teniendo en cuenta por una parte la geometría y modelo hidrogeológico conceptual, y por otra, los coeficientes de almacenamiento calibrados y la piezometría obtenida a partir de las simulaciones realizadas, en este apartado se evalúan las reservas totales en el momento correspondiente al último paso de tiempo simulado (diciembre de 1996). Para ello, y teniendo en cuenta tanto los resultados preliminares obtenidos como las limitaciones comentadas en el apartado anterior, se han definido dos hipótesis de carácter extremo:

- 1) Evaluación de las reservas manteniendo la permeabilidad obtenida en simulaciones anteriores y utilizando los coeficientes de almacenamiento de 0.0022 y 0.00001 resultantes del ajuste presentado en la Figura 4. Esta hipótesis presupone que los niveles estáticos medidos en los pozos de bombeo son representativos de la evolución del acuífero. Permite evaluar las reservas totales mínimas existentes en el acuífero.
- 2) Evaluación de las reservas disminuyendo la permeabilidad a 0.2 m/día y aumentando ligeramente el coeficiente de almacenamiento (0,005) de la zona aflorante. Esta hipótesis presupone que los niveles estáticos medidos se encuentran afectados en parte por el bombeo, por lo que el ajuste es peor, encontrándose los niveles simulados por encima de los medidos. La menor permeabilidad de la zona aflorante podría resultar coherente con la presencia de pequeños manantiales colgados con respecto al nivel piezométrico regional (2833-8-0030, 2933-1-0008 y 2933-5-0005). Esta hipótesis permite evaluar las reservas totales máximas o próximas a las mismas considerando el estado de conocimiento actual.

La metodología aplicada ha consistido en calcular la diferencia entre la piezometría obtenida en cada caso (diciembre de 1996) con el techo y muro del acuífero, lo que ha permitido evaluar, para dicho momento de tiempo, qué parte del acuífero presenta un comportamiento confinado y qué parte presenta un carácter libre. En la parte confinada, las reservas totales corresponden a la suma de: a) volumen delimitado por la superficie piezométrica obtenida y el techo del acuífero multiplicado por el coeficiente de almacenamiento (compresión del agua) y b) volumen de roca delimitado por el techo y muro del acuífero multiplicado por la porosidad drenable (agua almacenada). En este caso y, por el momento, el primer término se ha despreciado dado el bajo coeficiente de almacenamiento obtenido de la calibración. En la parte donde el acuífero presenta un comportamiento libre las reservas totales vienen dadas por el volumen delimitado entre la piezometría y el muro del acuífero multiplicado por la porosidad drenable. En las Tablas 3 y 4 se presenta el volumen de roca saturada obtenido (acumulado y entre cotas) tanto para la parte libre como confinada del acuífero suponiendo la hipótesis 1.

Tabla 3. – Volumen de roca saturada (acumulada y entre cotas) obtenido para la hipótesis 1 (acuífero libre). (V_1 = volumen resultante de restar una determinada cota el muro del acuífero; V_2 = volumen resultante de restar la misma cota a la piezometría correspondiente a diciembre de 1996 según la hipótesis 1).

| | V_1 | V_2 | Volumen roca saturada (m^3) | | Volumen roca saturada (hm^3) | |
|-----|-----------|---------|---------------------------------|-------------|----------------------------------|-------------|
| | | | Acumulado | Entre cotas | Acumulado | Entre cotas |
| 200 | 8696191 | | 8696191 | | 8.696191 | |
| 225 | 29476864 | | 29476864 | 20780673 | 29.476864 | 20.780673 |
| 250 | 61524333 | | 61524333 | 32047469 | 61.524333 | 32.047469 |
| 275 | 99024333 | | 99024333 | 37500000 | 99.024333 | 37.5 |
| 300 | 139774333 | | 139774333 | 40750000 | 139.774333 | 40.75 |
| 325 | 215274333 | 8250125 | 207024208 | 67249875 | 207.024208 | 67.249875 |

Tabla 4. – Volumen de roca saturada (acumulada y entre cotas) obtenido para la hipótesis 1 (acuífero confinado). (V_1 = volumen resultante de restar una determinada cota el muro del acuífero; V_2 = volumen resultante de restar la misma cota al techo del acuífero).

| Cota | V_1 | V_2 | Volumen roca saturada (m^3) | | Volumen roca saturada (hm^3) | |
|------|------------|-----------|---------------------------------|-------------|----------------------------------|-------------|
| | | | Acumulado | Entre cotas | Acumulado | Entre cotas |
| 100 | 20016128 | | 20016128 | | 20.016128 | |
| 125 | 79493557 | 4250000 | 75243557 | 55227429 | 75.243557 | 55.227429 |
| 150 | 168886979 | 13415723 | 155471256 | 80227699 | 155.471256 | 80.227699 |
| 175 | 281528923 | 50979242 | 230549681 | 75078425 | 230.549681 | 75.078425 |
| 200 | 451795230 | 117872652 | 333922578 | 103372897 | 333.922578 | 103.372897 |
| 225 | 664359692 | 199270736 | 465088956 | 131166378 | 465.088956 | 131.166378 |
| 250 | 886859692 | 343374758 | 543484934 | 78395978 | 543.484934 | 78.395978 |
| 275 | 1111859692 | 532124758 | 579734934 | 36250000 | 579.734934 | 36.25 |
| 300 | 1342859692 | 743874758 | 598984934 | 19250000 | 598.984934 | 19.25 |
| 316 | 1490859692 | 885374758 | 605484934 | 6500000 | 605.484934 | 6.5 |

Tabla 5. – Volumen de roca saturada (acumulada y entre cotas) obtenido para la hipótesis 2 (acuífero libre). (V_1 = volumen resultante de restar una determinada cota el muro del acuífero; V_2 = volumen resultante de restar la misma cota a la piezometría correspondiente a diciembre de 1996 según la hipótesis 2).

| | V_1 | V_2 | Volumen roca saturada (m^3) | | Volumen roca saturada (hm^3) | |
|-----|-----------|----------|---------------------------------|-------------|----------------------------------|-------------|
| | | | Acumulado | Entre cotas | Acumulado | Entre cotas |
| 225 | 2030673 | | 2030673 | | 2.030673 | |
| 250 | 13280673 | | 13280673 | 11250000 | 13.280673 | 11.25 |
| 275 | 25780673 | | 25780673 | 12500000 | 25.780673 | 12.5 |
| 300 | 41530673 | | 41530673 | 15750000 | 41.530673 | 15.75 |
| 325 | 75780673 | | 75780673 | 34250000 | 75.780673 | 34.25 |
| 350 | 113280673 | | 113280673 | 37500000 | 113.280673 | 37.5 |
| 375 | 154530673 | | 154530673 | 41250000 | 154.530673 | 41.25 |
| 400 | 210780673 | | 210780673 | 56250000 | 210.780673 | 56.25 |
| 425 | 277030673 | | 277030673 | 66250000 | 277.030673 | 66.25 |
| 450 | 367675394 | 3130325 | 364545069 | 87514396 | 364.545069 | 87.514396 |
| 465 | 439067843 | 20145675 | 418922168 | 54377099 | 418.922168 | 54.377099 |

Tabla 6. – Volumen de roca saturada (acumulada y entre cotas) obtenido para la hipótesis 2 (acuífero confinado). (V_1 = volumen resultante de restar una determinada cota el muro del acuífero; V_2 = volumen resultante de restar la misma cota al techo del acuífero).

| Cota | V_1 | V_2 | Volumen roca saturada (m^3) | | Volumen roca saturada (hm^3) | |
|------|------------|------------|---------------------------------|-------------|----------------------------------|-------------|
| | | | Acumulado | Entre cotas | Acumulado | Entre cotas |
| 100 | 20016127 | | 20016127 | | 20.016127 | |
| 125 | 79493557 | 4250000 | 75243557 | 55227430 | 75.243557 | 55.22743 |
| 150 | 168886978 | 13415722 | 155471256 | 80227699 | 155.471256 | 80.227699 |
| 175 | 281528923 | 50979241 | 230549682 | 75078426 | 230.549682 | 75.078426 |
| 200 | 460491421 | 117872652 | 342618769 | 112069087 | 342.618769 | 112.069087 |
| 225 | 691805883 | 199270736 | 492535147 | 149916378 | 492.535147 | 149.916378 |
| 250 | 935103351 | 343374757 | 591728594 | 99193447 | 591.728594 | 99.193447 |
| 275 | 1185103352 | 532124757 | 652978595 | 61250001 | 652.978595 | 61.250001 |
| 300 | 1441103352 | 743874757 | 697228595 | 44250000 | 697.228595 | 44.25 |
| 325 | 1713603352 | 968624757 | 744978595 | 47750000 | 744.978595 | 47.75 |
| 350 | 1993656234 | 1209874758 | 783781476 | 38802881 | 783.781476 | 38.802881 |
| 375 | 2284888186 | 1459874758 | 825013428 | 41231952 | 825.013428 | 41.231952 |
| 400 | 2586138186 | 1723177695 | 862960491 | 37947063 | 862.960491 | 37.947063 |
| 425 | 2907883533 | 2000677695 | 907205838 | 44245347 | 907.205838 | 44.245347 |
| 450 | 3232883533 | 2305677695 | 927205838 | 20000000 | 927.205838 | 20 |
| 463 | 3401883533 | 2471427695 | 930455838 | 3250000 | 930.455838 | 3.25 |

Tabla 7. – Volumen de roca saturada y reservas totales (acumuladas y entre cotas) obtenidas según la hipótesis 1.

| Cota | CONFINADO | | LIBRE | | TOTAL | | RESERVAS | |
|------|-----------|-------------|-----------|-------------|-----------|-------------|-------------|-------------|
| | Acumulado | Entre cotas | Acumulado | Entre cotas | Acumulado | Entre cotas | Acumulado | Entre cotas |
| 100 | 20016128 | | | | 20016128 | | 44035.4816 | |
| 125 | 75243557 | 55227429 | | | 75243557 | 55227429 | 165535.8254 | 121500.3438 |
| 150 | 155471256 | 80227699 | | | 155471256 | 80227699 | 342036.7632 | 176500.9378 |
| 175 | 230549681 | 75078425 | | | 230549681 | 75078425 | 507209.2982 | 165172.535 |
| 200 | 333922578 | 103372897 | 8696191 | | 342618769 | 103372897 | 753761.2918 | 227420.3734 |
| 225 | 465088956 | 131166378 | 29476864 | 20780673 | 494565820 | 151947051 | 1088044.804 | 334283.5122 |
| 250 | 543484934 | 78395978 | 61524333 | 32047469 | 605009267 | 110443447 | 1331020.387 | 242975.5834 |
| 275 | 579734934 | 36250000 | 99024333 | 37500000 | 678759267 | 73750000 | 1493270.387 | 162250 |
| 300 | 598984934 | 19250000 | 139774333 | 40750000 | 738759267 | 60000000 | 1625270.387 | 132000 |
| 325 | 605484934 | 6500000 | 207024208 | 67249875 | 812509142 | 73749875 | 1787520.112 | 162249.725 |

Tabla 8. – Volumen de roca saturada y reservas totales (acumuladas y entre cotas) obtenidas según la hipótesis 2.

| Cota | CONFINADO | | LIBRE | | TOTAL | | RESERVAS | |
|------|-----------|-------------|-----------|-------------|------------|-------------|-------------|-------------|
| | Acumulado | Entre cotas | Acumulado | Entre cotas | Acumulado | Entre cotas | Acumulado | Entre cotas |
| 100 | 20016127 | | | | 20016127 | | 100080.635 | |
| 125 | 75243557 | 55227430 | | | 75243557 | 55227430 | 376217.785 | 276137.15 |
| 150 | 155471256 | 80227699 | | | 155471256 | 80227699 | 777356.28 | 401138.495 |
| 175 | 230549682 | 75078426 | | | 230549682 | 75078426 | 1152748.41 | 375392.13 |
| 200 | 342618769 | 112069087 | | | 342618769 | 112069087 | 1713093.845 | 560345.435 |
| 225 | 492535147 | 149916378 | 2030673 | | 494565820 | 149916378 | 2472829.1 | 749581.89 |
| 250 | 591728594 | 99193447 | 13280673 | 11250000 | 605009267 | 110443447 | 3025046.335 | 552217.235 |
| 275 | 652978595 | 61250001 | 25780673 | 12500000 | 678759268 | 73750001 | 3393796.34 | 368750.005 |
| 300 | 697228595 | 44250000 | 41530673 | 15750000 | 738759268 | 60000000 | 3693796.34 | 300000 |
| 325 | 744978595 | 47750000 | 75780673 | 34250000 | 820759268 | 82000000 | 4103796.34 | 410000 |
| 350 | 783781476 | 38802881 | 113280673 | 37500000 | 897062149 | 76302881 | 4485310.745 | 381514.405 |
| 375 | 825013428 | 41231952 | 154530673 | 41250000 | 979544101 | 82481952 | 4897720.505 | 412409.76 |
| 400 | 862960491 | 37947063 | 210780673 | 56250000 | 1073741164 | 94197063 | 5368705.82 | 470985.315 |
| 425 | 907205838 | 44245347 | 277030673 | 66250000 | 1184236511 | 110495347 | 5921182.555 | 552476.735 |
| 450 | 927205838 | 20000000 | 364545069 | 87514396 | 1291750907 | 107514396 | 6458754.535 | 537571.98 |
| 463 | 930455838 | 3250000 | 418922168 | 54377099 | 1349378006 | 57627099 | 6746890.03 | 288135.495 |

Tabla 9. – Superficie de acuífero, volumen de roca saturada y estimación de las reservas totales considerando las dos hipótesis planteadas para diciembre de 1996.

| Hipótesis | SUPERFICIE (km ²) | | | VOLUMEN SATURADO (hm ³) | | | RESERVAS (hm ³) | | | |
|-----------|-------------------------------|-------|-------|-------------------------------------|-------|--------|-----------------------------|-----------|-------|---------|
| | Confinado | Libre | Total | Confinado | Libre | Total | Porosidad drenable | Confinado | Libre | Totales |
| 1 | 9.25 | 3.25 | 12.5 | 605.5 | 207 | 812.5 | 0.0022 | 1.33 | 0.45 | 1.78 |
| 2 | 13 | 5,75 | 18.75 | 930.4 | 419 | 1349.4 | 0.005 | 4,65 | 2.09 | 6,74 |

A modo de resumen y con el conocimiento actual, las reservas hídricas subterráneas totales en diciembre de 1996 se encuentran comprendidas entre 2 y 7 hm³ según la hipótesis considerada. Estos valores parecen razonables si se comparan con estimaciones preliminares en las que suponiendo una porosidad drenable del 1% y un espesor medio de 70 m se obtenían unas reservas de 10 hm³ (ITGE-DPA, 1992).

Por otro lado, se han obtenido las curvas de embalse subterráneo para cada una de las hipótesis planteadas. Por curva de embalse subterráneo se entiende la función que relaciona las reservas totales con su distribución vertical en el subsuelo; el valor mínimo de la cota en la curva coincide con la cota más baja del muro del acuífero y el máximo, con la cota más alta del techo (acuífero confinado, caso de despreciar el volumen de descompresión del agua) o de la superficie piezométrica (acuífero libre) en un instante dado. Para ello, se ha calculado el volumen de roca saturada (acumulada y entre cotas) mediante la diferencia entre el volumen obtenido de restar a una determinada cota el muro del acuífero (V_1) y el volumen obtenido al restar dicha cota el techo del acuífero o la piezometría según el caso (V_2) (Tablas 3-6). Una vez conocido el volumen de roca saturada y considerando los valores de porosidad eficaz de 0.0022 y 0.005 anteriormente calibrados se han calculado las curvas de embalse subterráneo presentadas en las Figuras 14 (hipótesis 1) y 15 (hipótesis 2).

Una de las mayores ventajas del método empleado es que se dispone de una hoja de cálculo asociada al modelo numérico en la que se conoce, para cada celda del modelo, tanto los datos correspondientes a geometría, piezometría y parámetros hidráulicos empleados y/o calibrados como las reservas evaluadas, por lo que es posible, a medida que vaya mejorando el conocimiento del acuífero, actualizar de una manera sencilla tanto el modelo numérico como las reservas obtenidas en cada momento.

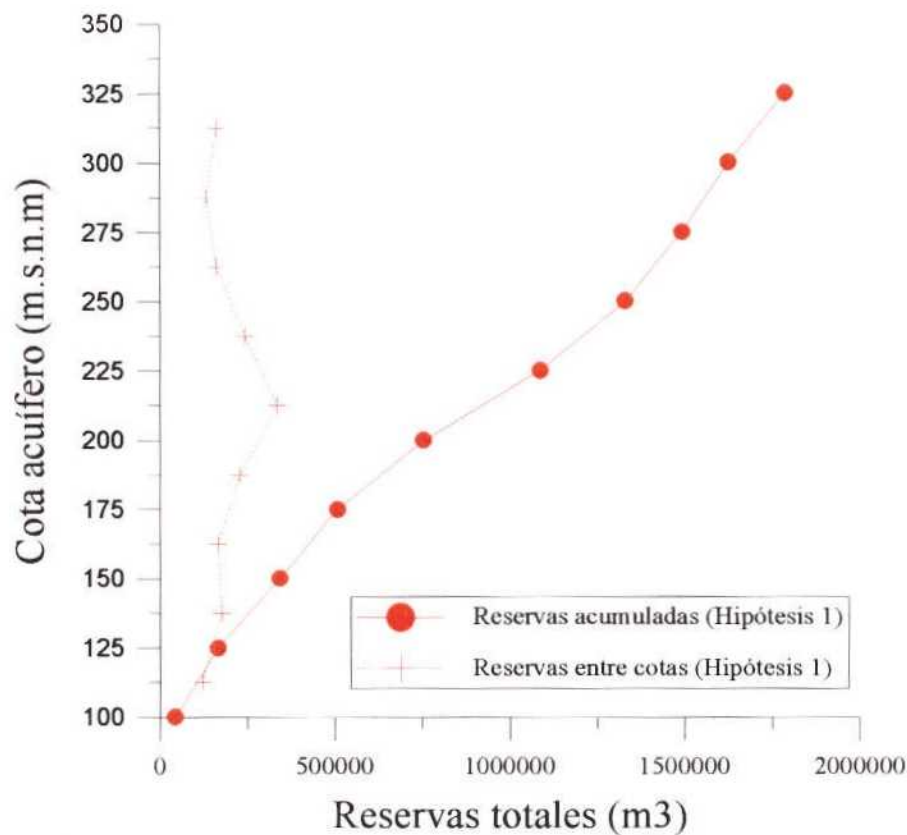


Figura 14. - Curvas de embalse subterráneo (reservas acumuladas y entre cotas) según la hipótesis 1.

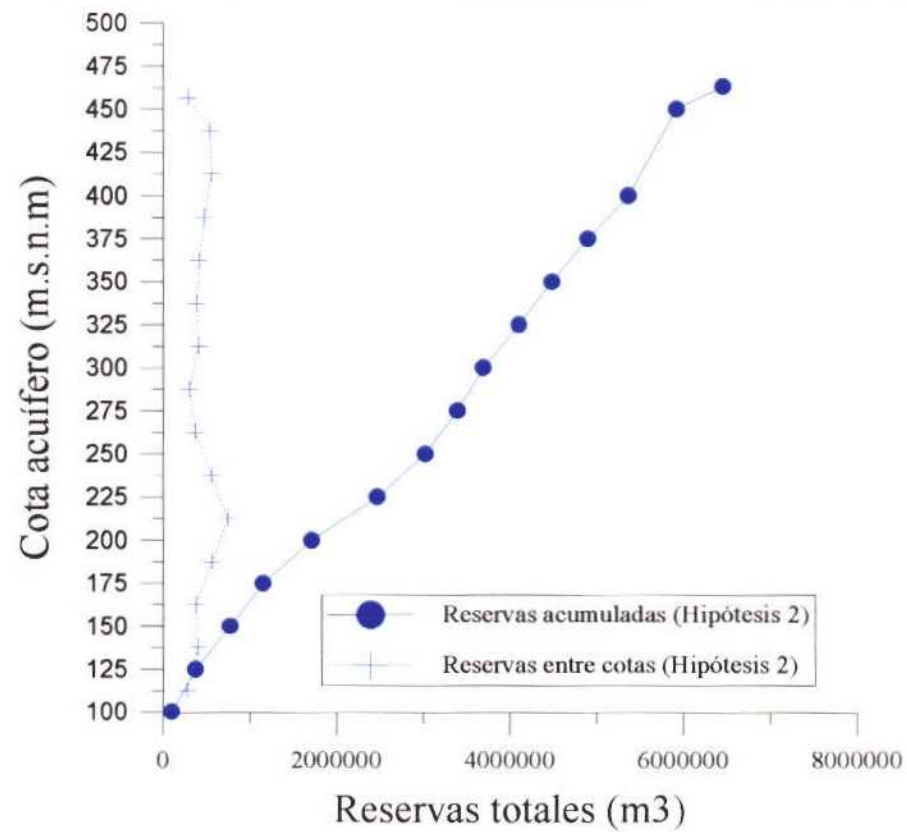


Figura 15. - Curvas de embalse subterráneo (reservas acumuladas y entre cotas) según la hipótesis 2.

5. DISCUSIÓN Y CONCLUSIONES

Para evaluar las reservas hídricas subterráneas, además de disponer de un buen conocimiento geométrico, resulta esencial estimar de la manera más precisa posible los parámetros hidráulicos del acuífero. Por ello se propone realizar, siempre que sea posible, una simulación numérica del flujo subterráneo previa a la determinación de las reservas. Dicha simulación puede permitir, además de obtener unos parámetros coherentes con la información previa disponible, revisar y actualizar el modelo conceptual avanzando en el conocimiento del acuífero y, por consiguiente, evaluar de forma más precisa las reservas. La realización de dicho modelo numérico es todavía más aconsejable cuando el objetivo consiste en estimar las reservas utilizables (recursos hidráulicos disponibles) teniendo en cuenta una serie de criterios o prioridades previamente establecidas, dado que el modelo permite simular y realizar predicciones suponiendo hipotéticos escenarios futuros de planificación y gestión.

La aplicación de esta metodología al acuífero Jijona ha permitido simular y calibrar la evolución experimentada por el acuífero desde el inicio de las extracciones y durante un periodo de diez años, obteniéndose dos posibles soluciones coherentes con los datos disponibles. El coeficiente de almacenamiento obtenido para la parte confinada es de 10^{-5} (próximo al valor de 8×10^{-4} obtenido a partir de los ensayos de bombeo). Los valores de porosidad drenable obtenidos oscilan entre 0.0022 y 0.005 según la hipótesis considerada. A partir de los resultados y parámetros obtenidos se puede concluir que las reservas hídricas subterráneas existentes en el acuífero Jijona se encuentran comprendidas entre 2 y 7 hm^3 según la hipótesis adoptada.

6. REFERENCIAS

Custodio, E; Llamas, M.R. (1983). Hidrología Subterránea. Ediciones Omega, 2 Vols.: 1-2350. Barcelona.

De la Orden, J.A.; Murillo, J.M; Vázquez, M; Rodríguez; L.(1994). Simulación del efecto de una recarga artificial en la formación acuífera Jijona mediante el programa de ordenador FRAD. Congreso Nacional de Agua y Medio Ambiente. Noviembre de 1994. Zaragoza.

De la Orden, J.A.; Murillo, J.M; Rodríguez; L. (1995). Simulación de alternativas de recarga artificial en el acuífero de Jijona mediante la aplicación de un sencillo modelo matemático de flujo". Hidrogeología y Recursos Hídricos. Sevilla. XXI: 175-191.

IGME (1978). Investigación hidrogeológica de la Cuenca Baja del Segura (PIAS). Alicante.

ITGE (1988). Estudio hidrogeológico de las Sierras de Madroñal, Carrasqueta y Plans, para mejorar el abastecimiento público a Jijona.

ITGE (1995). Evaluación de los excedentes hídricos y diseño óptimo de una instalación de recarga artificial en el Barranco del río Coscón, Jijona (Alicante).

ITGE-DPA (1992). Normas de explotación de la unidad de Jijona-Carrasqueta.

ITGE-DPA (1994 a). Determinación de los parámetros hidrogeológicos de la formación acuífera Jijona con vistas a la realización de una recarga artificial.

ITGE-DPA (1994 b). Simulación del efecto de una recarga artificial en la formación acuífera Jijona mediante el programa de ordenador "FRAD".

ITGE-DPA (1995). Modelo matemático de flujo del acuífero Jijona. Simulación de alternativas de recarga artificial.

ITGE-DPA (1999). Análisis previo de los resultados de las operaciones de recarga artificial en Orba, Jijona y Cuenca del Gorgos. Actualización del modelo matemático de flujo del acuífero de Jijona mediante el programa Processing Modflow (PMWIN). Formulación de hipótesis de recarga artificial. Acuífero de Jijona (Alicante).

ITGE-DPA (2001). Determinación de las reservas útiles en acuíferos de abastecimiento público en Alicante. Aplicación a los acuíferos Solana, Maigmó, Sella, Beniardá-Polop y Solana de La Llosa (interno).

Murillo, J.M; De la Orden, J.A.; Rodríguez; L. (1995). Evaluación de los excedentes hídricos y diseño de una instalación de recarga artificial en el acuífero de Jijona (Alicante). Hidrogeología y Recursos Hidráulicos. Sevilla. XXI: 159-174.

McDonald, M.C. and Harbaugh, A.W. (1988). Modflow, a modular three-dimensional finite difference groundwater flow model. U.S. Geological Survey. Open-file report 83-875, Chapter A1. Washington, DC.

Waterloo Hydrogeologic, Inc. (1999). User's manual for Visual MODFLOW: 3-D Groundwater Flow and Transport Modeling. Waterloo. Ontario. Canada.

***DETERMINACIÓN DE LAS RESERVAS HÍDRICAS
SUBTERRÁNEAS EN EL ACUÍFERO DE JIJONA
(PROVINCIA DE ALICANTE)***

ANEJOS

MARZO DE 2001

INDICE DE ANEJOS

ANEJO 1 DEFINICIÓN GEOMÉTRICA

ANEJO 2 NIVELES PIEZOMÉTRICOS

ANEJO 3 CAUDALES DE EXTRACCIÓN

ANEJO 4 RECARGA

ANEJO 5 SIMULACIÓN NUMÉRICA EN TRANSITORIO

ANEJO 6 CÁLCULO DEL VOLUMEN ROCA SATURADA

ANEJO 6.1 HIPÓTESIS 1

ANEJO 6.2 HIPÓTESIS 2

ANEJO I

DEFINICIÓN GEOMÉTRICA

Tabla 1 . - Coordenadas UTM y cotas de muro, techo y topografía correspondientes al acuífero Jijona.
Valores correspondientes al centro de las celdas consideradas posteriormente en el modelo numérico.

| X_UTM | Y_UTM | MURO | TECHO | TOTAL | ESPEJOR | TOPO-TECHO |
|--------|---------|------|-------|-------|---------|------------|
| 713250 | 4277750 | 1120 | 1120 | 1120 | 0 | 0 |
| 713250 | 4277250 | 1120 | 1120 | 1120 | 0 | 0 |
| 713250 | 4276750 | 1120 | 1120 | 1120 | 0 | 0 |
| 713250 | 4276250 | 1120 | 1120 | 1120 | 0 | 0 |
| 713250 | 4275750 | 1120 | 1120 | 1120 | 0 | 0 |
| 713250 | 4275250 | 1120 | 1120 | 1120 | 0 | 0 |
| 713250 | 4274750 | 1120 | 1120 | 1120 | 0 | 0 |
| 713250 | 4274250 | 1120 | 1120 | 1120 | 0 | 0 |
| 713250 | 4273750 | 1120 | 1120 | 1120 | 0 | 0 |
| 713250 | 4273250 | 1120 | 1120 | 1120 | 0 | 0 |
| 713250 | 4272750 | 1120 | 1120 | 1120 | 0 | 0 |
| 713250 | 4272250 | 1120 | 1120 | 1120 | 0 | 0 |
| 713250 | 4271750 | 1120 | 1120 | 1120 | 0 | 0 |
| 713250 | 4271250 | 1120 | 1120 | 1120 | 0 | 0 |
| 713250 | 4270750 | 900 | 1120 | 1120 | 220 | 0 |
| 713250 | 4270250 | 910 | 1015 | 1015 | 105 | 0 |
| 713250 | 4269750 | 850 | 958 | 958 | 108 | 0 |
| 713250 | 4269250 | 1120 | 1120 | 1120 | 0 | 0 |
| 713250 | 4268750 | 1120 | 1120 | 1120 | 0 | 0 |
| 713250 | 4268250 | 1120 | 1120 | 1120 | 0 | 0 |
| 713750 | 4277750 | 1120 | 1120 | 1120 | 0 | 0 |
| 713750 | 4277250 | 1120 | 1120 | 1120 | 0 | 0 |
| 713750 | 4276750 | 1120 | 1120 | 1120 | 0 | 0 |
| 713750 | 4276250 | 1120 | 1120 | 1120 | 0 | 0 |
| 713750 | 4275750 | 1120 | 1120 | 1120 | 0 | 0 |
| 713750 | 4275250 | 1120 | 1120 | 1120 | 0 | 0 |
| 713750 | 4274750 | 1120 | 1120 | 1120 | 0 | 0 |
| 713750 | 4274250 | 1120 | 1120 | 1120 | 0 | 0 |
| 713750 | 4273750 | 1120 | 1120 | 1120 | 0 | 0 |
| 713750 | 4273250 | 1120 | 1120 | 1120 | 0 | 0 |
| 713750 | 4272750 | 1120 | 1120 | 1120 | 0 | 0 |
| 713750 | 4272250 | 1120 | 1120 | 1120 | 0 | 0 |
| 713750 | 4271750 | 800 | 900 | 900 | 100 | 0 |
| 713750 | 4271250 | 890 | 993 | 993 | 103 | 0 |
| 713750 | 4270750 | 928 | 999 | 999 | 71 | 0 |
| 713750 | 4270250 | 921 | 1046 | 1046 | 125 | 0 |
| 713750 | 4269750 | 926 | 1097 | 1097 | 171 | 0 |
| 713750 | 4269250 | 910 | 1000 | 1000 | 90 | 0 |
| 713750 | 4268750 | 880 | 955 | 955 | 75 | 0 |
| 713750 | 4268250 | 800 | 877 | 877 | 77 | 0 |
| 714250 | 4277750 | 1120 | 1120 | 1120 | 0 | 0 |
| 714250 | 4277250 | 1120 | 1120 | 1120 | 0 | 0 |
| 714250 | 4276750 | 1120 | 1120 | 1120 | 0 | 0 |
| 714250 | 4276250 | 1120 | 1120 | 1120 | 0 | 0 |
| 714250 | 4275750 | 1120 | 1120 | 1120 | 0 | 0 |

Tabla 1 .- Coordenadas UTM y cotas de muro, techo y topografía correspondientes al acuífero Jijona.
Valores correspondientes al centro de las celdas consideradas posteriormente en el modelo numérico.

| | | | | | | |
|--------|---------|------|------|------|-----|-----|
| 714250 | 4275250 | 1120 | 1120 | 1120 | 0 | 0 |
| 714250 | 4274750 | 1120 | 1120 | 1120 | 0 | 0 |
| 714250 | 4274250 | 1120 | 1120 | 1120 | 0 | 0 |
| 714250 | 4273750 | 1120 | 1120 | 1120 | 0 | 0 |
| 714250 | 4273250 | 1120 | 1120 | 1120 | 0 | 0 |
| 714250 | 4272750 | 700 | 1120 | 1120 | 420 | 0 |
| 714250 | 4272250 | 800 | 908 | 908 | 108 | 0 |
| 714250 | 4271750 | 840 | 981 | 981 | 141 | 0 |
| 714250 | 4271250 | 816 | 1006 | 1006 | 190 | 0 |
| 714250 | 4270750 | 700 | 900 | 900 | 200 | 0 |
| 714250 | 4270250 | 708 | 950 | 950 | 242 | 0 |
| 714250 | 4269750 | 765 | 989 | 989 | 224 | 0 |
| 714250 | 4269250 | 872 | 1000 | 1000 | 128 | 0 |
| 714250 | 4268750 | 975 | 1050 | 1050 | 75 | 0 |
| 714250 | 4268250 | 1120 | 1120 | 1120 | 0 | 0 |
| 714750 | 4277750 | 1120 | 1120 | 1120 | 0 | 0 |
| 714750 | 4277250 | 1120 | 1120 | 1120 | 0 | 0 |
| 714750 | 4276750 | 1120 | 1120 | 1120 | 0 | 0 |
| 714750 | 4276250 | 1120 | 1120 | 1120 | 0 | 0 |
| 714750 | 4275750 | 1120 | 1120 | 1120 | 0 | 0 |
| 714750 | 4275250 | 1120 | 1120 | 1120 | 0 | 0 |
| 714750 | 4274750 | 1120 | 1120 | 1120 | 0 | 0 |
| 714750 | 4274250 | 1120 | 1120 | 1120 | 0 | 0 |
| 714750 | 4273750 | 900 | 1000 | 1000 | 100 | 0 |
| 714750 | 4273250 | 850 | 950 | 950 | 100 | 0 |
| 714750 | 4272750 | 780 | 832 | 832 | 52 | 0 |
| 714750 | 4272250 | 560 | 814 | 814 | 254 | 0 |
| 714750 | 4271750 | 550 | 806 | 806 | 256 | 0 |
| 714750 | 4271250 | 490 | 813 | 813 | 323 | 0 |
| 714750 | 4270750 | 420 | 700 | 700 | 280 | 0 |
| 714750 | 4270250 | 420 | 710 | 836 | 290 | 126 |
| 714750 | 4269750 | 580 | 850 | 906 | 270 | 56 |
| 714750 | 4269250 | 823 | 974 | 974 | 151 | 0 |
| 714750 | 4268750 | 1120 | 1120 | 1120 | 0 | 0 |
| 714750 | 4268250 | 1120 | 1120 | 1120 | 0 | 0 |
| 715250 | 4277750 | 1120 | 1120 | 1120 | 0 | 0 |
| 715250 | 4277250 | 1120 | 1120 | 1120 | 0 | 0 |
| 715250 | 4276750 | 1120 | 1120 | 1120 | 0 | 0 |
| 715250 | 4276250 | 1120 | 1120 | 1120 | 0 | 0 |
| 715250 | 4275750 | 1120 | 1120 | 1120 | 0 | 0 |
| 715250 | 4275250 | 1120 | 1120 | 1120 | 0 | 0 |
| 715250 | 4274750 | 910 | 1000 | 1000 | 90 | 0 |
| 715250 | 4274250 | 910 | 1003 | 1003 | 93 | 0 |
| 715250 | 4273750 | 850 | 908 | 908 | 58 | 0 |
| 715250 | 4273250 | 720 | 860 | 860 | 140 | 0 |
| 715250 | 4272750 | 580 | 782 | 782 | 202 | 0 |

Tabla 1 .- Coordenadas UTM y cotas de muro, techo y topografía correspondientes al acuífero Jijona.
Valores correspondientes al centro de las celdas consideradas posteriormente en el modelo numérico.

| | | | | | | |
|--------|---------|------|------|------|-----|-----|
| 715250 | 4272250 | 545 | 700 | 700 | 155 | 0 |
| 715250 | 4271750 | 446 | 594 | 594 | 148 | 0 |
| 715250 | 4271250 | 311 | 500 | 781 | 189 | 281 |
| 715250 | 4270750 | 385 | 425 | 695 | 40 | 270 |
| 715250 | 4270250 | 385 | 420 | 697 | 35 | 277 |
| 715250 | 4269750 | 400 | 592 | 705 | 192 | 113 |
| 715250 | 4269250 | 1120 | 1120 | 1120 | 0 | 0 |
| 715250 | 4268750 | 1120 | 1120 | 1120 | 0 | 0 |
| 715250 | 4268250 | 1120 | 1120 | 1120 | 0 | 0 |
| 715750 | 4277750 | 1120 | 1120 | 1120 | 0 | 0 |
| 715750 | 4277250 | 1120 | 1120 | 1120 | 0 | 0 |
| 715750 | 4276750 | 1120 | 1120 | 1120 | 0 | 0 |
| 715750 | 4276250 | 1120 | 1120 | 1120 | 0 | 0 |
| 715750 | 4275750 | 1120 | 1120 | 1120 | 0 | 0 |
| 715750 | 4275250 | 1120 | 1120 | 1120 | 0 | 0 |
| 715750 | 4274750 | 910 | 1000 | 1000 | 90 | 0 |
| 715750 | 4274250 | 877 | 927 | 927 | 50 | 0 |
| 715750 | 4273750 | 770 | 897 | 897 | 127 | 0 |
| 715750 | 4273250 | 590 | 797 | 797 | 207 | 0 |
| 715750 | 4272750 | 500 | 750 | 800 | 250 | 50 |
| 715750 | 4272250 | 503 | 625 | 685 | 122 | 60 |
| 715750 | 4271750 | 295 | 592 | 596 | 297 | 4 |
| 715750 | 4271250 | 310 | 425 | 619 | 115 | 194 |
| 715750 | 4270750 | 235 | 275 | 619 | 40 | 344 |
| 715750 | 4270250 | 276 | 316 | 600 | 40 | 284 |
| 715750 | 4269750 | 300 | 392 | 619 | 92 | 227 |
| 715750 | 4269250 | 1120 | 1120 | 1120 | 0 | 0 |
| 715750 | 4268750 | 1120 | 1120 | 1120 | 0 | 0 |
| 715750 | 4268250 | 1120 | 1120 | 1120 | 0 | 0 |
| 716250 | 4277750 | 1120 | 1120 | 1120 | 0 | 0 |
| 716250 | 4277250 | 1120 | 1120 | 1120 | 0 | 0 |
| 716250 | 4276750 | 1120 | 1120 | 1120 | 0 | 0 |
| 716250 | 4276250 | 1120 | 1120 | 1120 | 0 | 0 |
| 716250 | 4275750 | 1120 | 1120 | 1120 | 0 | 0 |
| 716250 | 4275250 | 1120 | 1120 | 1120 | 0 | 0 |
| 716250 | 4274750 | 890 | 1000 | 1000 | 110 | 0 |
| 716250 | 4274250 | 780 | 1050 | 1050 | 270 | 0 |
| 716250 | 4273750 | 575 | 786 | 802 | 211 | 16 |
| 716250 | 4273250 | 370 | 750 | 805 | 380 | 55 |
| 716250 | 4272750 | 302 | 600 | 903 | 298 | 303 |
| 716250 | 4272250 | 292 | 590 | 743 | 298 | 153 |
| 716250 | 4271750 | 200 | 400 | 648 | 200 | 248 |
| 716250 | 4271250 | 176 | 325 | 600 | 149 | 275 |
| 716250 | 4270750 | 153 | 223 | 600 | 70 | 377 |
| 716250 | 4270250 | 208 | 278 | 600 | 70 | 322 |
| 716250 | 4269750 | 1120 | 1120 | 1120 | 0 | 0 |

Tabla 1 .- Coordenadas UTM y cotas de muro, techo y topografía correspondientes al acuífero Jijona.
Valores correspondientes al centro de las celdas consideradas posteriormente en el modelo numérico.

| | | | | | | |
|--------|---------|------|------|------|-----|-----|
| 716250 | 4269250 | 1120 | 1120 | 1120 | 0 | 0 |
| 716250 | 4268750 | 1120 | 1120 | 1120 | 0 | 0 |
| 716250 | 4268250 | 1120 | 1120 | 1120 | 0 | 0 |
| 716750 | 4277750 | 1120 | 1120 | 1120 | 0 | 0 |
| 716750 | 4277250 | 1120 | 1120 | 1120 | 0 | 0 |
| 716750 | 4276750 | 1120 | 1120 | 1120 | 0 | 0 |
| 716750 | 4276250 | 1120 | 1120 | 1120 | 0 | 0 |
| 716750 | 4275750 | 1120 | 1120 | 1120 | 0 | 0 |
| 716750 | 4275250 | 1120 | 1120 | 1120 | 0 | 0 |
| 716750 | 4274750 | 840 | 947 | 951 | 107 | 4 |
| 716750 | 4274250 | 480 | 850 | 900 | 370 | 50 |
| 716750 | 4273750 | 230 | 600 | 880 | 370 | 280 |
| 716750 | 4273250 | 189 | 375 | 907 | 186 | 532 |
| 716750 | 4272750 | 112 | 310 | 858 | 198 | 548 |
| 716750 | 4272250 | 84 | 300 | 705 | 216 | 405 |
| 716750 | 4271750 | 84 | 205 | 642 | 121 | 437 |
| 716750 | 4271250 | 86 | 108 | 600 | 22 | 492 |
| 716750 | 4270750 | 89 | 150 | 600 | 61 | 450 |
| 716750 | 4270250 | 89 | 235 | 600 | 146 | 365 |
| 716750 | 4269750 | 1120 | 1120 | 1120 | 0 | 0 |
| 716750 | 4269250 | 1120 | 1120 | 1120 | 0 | 0 |
| 716750 | 4268750 | 1120 | 1120 | 1120 | 0 | 0 |
| 716750 | 4268250 | 1120 | 1120 | 1120 | 0 | 0 |
| 717250 | 4277750 | 1120 | 1120 | 1120 | 0 | 0 |
| 717250 | 4277250 | 1120 | 1120 | 1120 | 0 | 0 |
| 717250 | 4276750 | 1120 | 1120 | 1120 | 0 | 0 |
| 717250 | 4276250 | 1120 | 1120 | 1120 | 0 | 0 |
| 717250 | 4275750 | 1120 | 1120 | 1120 | 0 | 0 |
| 717250 | 4275250 | 1120 | 1120 | 1120 | 0 | 0 |
| 717250 | 4274750 | 471 | 541 | 936 | 70 | 395 |
| 717250 | 4274250 | 217 | 500 | 900 | 283 | 400 |
| 717250 | 4273750 | 156 | 250 | 900 | 94 | 650 |
| 717250 | 4273250 | 111 | 161 | 899 | 50 | 737 |
| 717250 | 4272750 | 100 | 150 | 717 | 50 | 567 |
| 717250 | 4272250 | 94 | 144 | 630 | 50 | 486 |
| 717250 | 4271750 | 136 | 186 | 586 | 50 | 401 |
| 717250 | 4271250 | 131 | 181 | 600 | 50 | 419 |
| 717250 | 4270750 | 94 | 144 | 600 | 50 | 456 |
| 717250 | 4270250 | 1120 | 1120 | 1120 | 0 | 0 |
| 717250 | 4269750 | 1120 | 1120 | 1120 | 0 | 0 |
| 717250 | 4269250 | 1120 | 1120 | 1120 | 0 | 0 |
| 717250 | 4268750 | 1120 | 1120 | 1120 | 0 | 0 |
| 717250 | 4268250 | 1120 | 1120 | 1120 | 0 | 0 |
| 717750 | 4277750 | 1120 | 1120 | 1120 | 0 | 0 |
| 717750 | 4277250 | 1120 | 1120 | 1120 | 0 | 0 |
| 717750 | 4276750 | 1120 | 1120 | 1120 | 0 | 0 |

Tabla 1 .- Coordenadas UTM y cotas de muro, techo y topografía correspondientes al acuífero Jijona.
Valores correspondientes al centro de las celdas consideradas posteriormente en el modelo numérico.

| | | | | | | |
|--------|---------|------|------|------|-----|-----|
| 717750 | 4276250 | 1120 | 1120 | 1120 | 0 | 0 |
| 717750 | 4275750 | 1120 | 1120 | 1120 | 0 | 0 |
| 717750 | 4275250 | 674 | 724 | 969 | 50 | 245 |
| 717750 | 4274750 | 370 | 550 | 901 | 180 | 351 |
| 717750 | 4274250 | 185 | 235 | 900 | 50 | 665 |
| 717750 | 4273750 | 175 | 225 | 848 | 50 | 623 |
| 717750 | 4273250 | 126 | 176 | 726 | 50 | 551 |
| 717750 | 4272750 | 118 | 168 | 669 | 50 | 501 |
| 717750 | 4272250 | 190 | 230 | 606 | 40 | 376 |
| 717750 | 4271750 | 190 | 230 | 600 | 40 | 370 |
| 717750 | 4271250 | 150 | 190 | 600 | 40 | 410 |
| 717750 | 4270750 | 120 | 170 | 600 | 50 | 430 |
| 717750 | 4270250 | 1120 | 1120 | 1120 | 0 | 0 |
| 717750 | 4269750 | 1120 | 1120 | 1120 | 0 | 0 |
| 717750 | 4269250 | 1120 | 1120 | 1120 | 0 | 0 |
| 717750 | 4268750 | 1120 | 1120 | 1120 | 0 | 0 |
| 717750 | 4268250 | 1120 | 1120 | 1120 | 0 | 0 |
| 718250 | 4277750 | 1120 | 1120 | 1120 | 0 | 0 |
| 718250 | 4277250 | 1120 | 1120 | 1120 | 0 | 0 |
| 718250 | 4276750 | 1120 | 1120 | 1120 | 0 | 0 |
| 718250 | 4276250 | 1120 | 1120 | 1120 | 0 | 0 |
| 718250 | 4275750 | 1120 | 1120 | 1120 | 0 | 0 |
| 718250 | 4275250 | 500 | 635 | 950 | 135 | 315 |
| 718250 | 4274750 | 370 | 540 | 913 | 170 | 373 |
| 718250 | 4274250 | 330 | 380 | 804 | 50 | 424 |
| 718250 | 4273750 | 242 | 335 | 704 | 93 | 369 |
| 718250 | 4273250 | 175 | 250 | 661 | 75 | 411 |
| 718250 | 4272750 | 196 | 246 | 613 | 50 | 366 |
| 718250 | 4272250 | 200 | 240 | 599 | 40 | 359 |
| 718250 | 4271750 | 200 | 240 | 600 | 40 | 360 |
| 718250 | 4271250 | 180 | 230 | 600 | 50 | 370 |
| 718250 | 4270750 | 178 | 228 | 600 | 50 | 372 |
| 718250 | 4270250 | 1120 | 1120 | 1120 | 0 | 0 |
| 718250 | 4269750 | 1120 | 1120 | 1120 | 0 | 0 |
| 718250 | 4269250 | 1120 | 1120 | 1120 | 0 | 0 |
| 718250 | 4268750 | 1120 | 1120 | 1120 | 0 | 0 |
| 718250 | 4268250 | 1120 | 1120 | 1120 | 0 | 0 |
| 718750 | 4277750 | 1120 | 1120 | 1120 | 0 | 0 |
| 718750 | 4277250 | 1120 | 1120 | 1120 | 0 | 0 |
| 718750 | 4276750 | 1120 | 1120 | 1120 | 0 | 0 |
| 718750 | 4276250 | 1120 | 1120 | 1120 | 0 | 0 |
| 718750 | 4275750 | 665 | 715 | 1005 | 50 | 289 |
| 718750 | 4275250 | 522 | 700 | 936 | 178 | 236 |
| 718750 | 4274750 | 450 | 550 | 825 | 100 | 275 |
| 718750 | 4274250 | 431 | 481 | 730 | 50 | 249 |
| 718750 | 4273750 | 360 | 440 | 669 | 80 | 229 |

Tabla 1 .- Coordenadas UTM y cotas de muro, techo y topografía correspondientes al acuífero Jijona.
Valores correspondientes al centro de las celdas consideradas posteriormente en el modelo numérico.

| | | | | | | |
|--------|---------|------|------|------|-----|-----|
| 718750 | 4273250 | 217 | 270 | 603 | 53 | 333 |
| 718750 | 4272750 | 179 | 229 | 600 | 50 | 371 |
| 718750 | 4272250 | 172 | 222 | 600 | 50 | 378 |
| 718750 | 4271750 | 190 | 250 | 600 | 60 | 350 |
| 718750 | 4271250 | 1120 | 1120 | 1120 | 0 | 0 |
| 718750 | 4270750 | 1120 | 1120 | 1120 | 0 | 0 |
| 718750 | 4270250 | 1120 | 1120 | 1120 | 0 | 0 |
| 718750 | 4269750 | 1120 | 1120 | 1120 | 0 | 0 |
| 718750 | 4269250 | 1120 | 1120 | 1120 | 0 | 0 |
| 718750 | 4268750 | 1120 | 1120 | 1120 | 0 | 0 |
| 718750 | 4268250 | 1120 | 1120 | 1120 | 0 | 0 |
| 719250 | 4277750 | 1120 | 1120 | 1120 | 0 | 0 |
| 719250 | 4277250 | 1120 | 1120 | 1120 | 0 | 0 |
| 719250 | 4276750 | 1120 | 1120 | 1120 | 0 | 0 |
| 719250 | 4276250 | 1120 | 1120 | 1120 | 0 | 0 |
| 719250 | 4275750 | 635 | 685 | 858 | 50 | 173 |
| 719250 | 4275250 | 546 | 650 | 809 | 104 | 159 |
| 719250 | 4274750 | 513 | 563 | 743 | 50 | 180 |
| 719250 | 4274250 | 469 | 519 | 696 | 50 | 177 |
| 719250 | 4273750 | 413 | 463 | 606 | 50 | 143 |
| 719250 | 4273250 | 350 | 420 | 609 | 70 | 189 |
| 719250 | 4272750 | 180 | 275 | 607 | 95 | 332 |
| 719250 | 4272250 | 170 | 230 | 600 | 60 | 370 |
| 719250 | 4271750 | 1120 | 1120 | 1120 | 0 | 0 |
| 719250 | 4271250 | 1120 | 1120 | 1120 | 0 | 0 |
| 719250 | 4270750 | 1120 | 1120 | 1120 | 0 | 0 |
| 719250 | 4270250 | 1120 | 1120 | 1120 | 0 | 0 |
| 719250 | 4269750 | 1120 | 1120 | 1120 | 0 | 0 |
| 719250 | 4269250 | 1120 | 1120 | 1120 | 0 | 0 |
| 719250 | 4268750 | 1120 | 1120 | 1120 | 0 | 0 |
| 719250 | 4268250 | 1120 | 1120 | 1120 | 0 | 0 |
| 719750 | 4277750 | 1120 | 1120 | 1120 | 0 | 0 |
| 719750 | 4277250 | 1120 | 1120 | 1120 | 0 | 0 |
| 719750 | 4276750 | 1120 | 1120 | 1120 | 0 | 0 |
| 719750 | 4276250 | 730 | 780 | 975 | 50 | 195 |
| 719750 | 4275750 | 621 | 750 | 839 | 129 | 89 |
| 719750 | 4275250 | 545 | 650 | 753 | 105 | 103 |
| 719750 | 4274750 | 500 | 580 | 700 | 80 | 120 |
| 719750 | 4274250 | 449 | 499 | 700 | 50 | 201 |
| 719750 | 4273750 | 400 | 440 | 700 | 40 | 260 |
| 719750 | 4273250 | 300 | 350 | 700 | 50 | 350 |
| 719750 | 4272750 | 1120 | 1120 | 1120 | 0 | 0 |
| 719750 | 4272250 | 1120 | 1120 | 1120 | 0 | 0 |
| 719750 | 4271750 | 1120 | 1120 | 1120 | 0 | 0 |
| 719750 | 4271250 | 1120 | 1120 | 1120 | 0 | 0 |
| 719750 | 4270750 | 1120 | 1120 | 1120 | 0 | 0 |

Tabla 1 . - Coordenadas UTM y cotas de muro, techo y topografía correspondientes al acuífero Jijona.
Valores correspondientes al centro de las celdas consideradas posteriormente en el modelo numérico.

| | | | | | | |
|--------|---------|------|------|------|-----|-----|
| 719750 | 4270250 | 1120 | 1120 | 1120 | 0 | 0 |
| 719750 | 4269750 | 1120 | 1120 | 1120 | 0 | 0 |
| 719750 | 4269250 | 1120 | 1120 | 1120 | 0 | 0 |
| 719750 | 4268750 | 1120 | 1120 | 1120 | 0 | 0 |
| 719750 | 4268250 | 1120 | 1120 | 1120 | 0 | 0 |
| 720250 | 4277750 | 1120 | 1120 | 1120 | 0 | 0 |
| 720250 | 4277250 | 1120 | 1120 | 1120 | 0 | 0 |
| 720250 | 4276750 | 802 | 852 | 1076 | 50 | 224 |
| 720250 | 4276250 | 597 | 810 | 911 | 213 | 101 |
| 720250 | 4275750 | 542 | 610 | 835 | 68 | 225 |
| 720250 | 4275250 | 519 | 569 | 749 | 50 | 180 |
| 720250 | 4274750 | 480 | 558 | 700 | 78 | 142 |
| 720250 | 4274250 | 460 | 500 | 725 | 40 | 225 |
| 720250 | 4273750 | 400 | 450 | 700 | 50 | 250 |
| 720250 | 4273250 | 1120 | 1120 | 1120 | 0 | 0 |
| 720250 | 4272750 | 1120 | 1120 | 1120 | 0 | 0 |
| 720250 | 4272250 | 1120 | 1120 | 1120 | 0 | 0 |
| 720250 | 4271750 | 1120 | 1120 | 1120 | 0 | 0 |
| 720250 | 4271250 | 1120 | 1120 | 1120 | 0 | 0 |
| 720250 | 4270750 | 1120 | 1120 | 1120 | 0 | 0 |
| 720250 | 4270250 | 1120 | 1120 | 1120 | 0 | 0 |
| 720250 | 4269750 | 1120 | 1120 | 1120 | 0 | 0 |
| 720250 | 4269250 | 1120 | 1120 | 1120 | 0 | 0 |
| 720250 | 4268750 | 1120 | 1120 | 1120 | 0 | 0 |
| 720250 | 4268250 | 1120 | 1120 | 1120 | 0 | 0 |
| 720750 | 4277750 | 1120 | 1120 | 1120 | 0 | 0 |
| 720750 | 4277250 | 1120 | 1120 | 1120 | 0 | 0 |
| 720750 | 4276750 | 704 | 754 | 1002 | 50 | 248 |
| 720750 | 4276250 | 547 | 710 | 902 | 163 | 192 |
| 720750 | 4275750 | 493 | 543 | 806 | 50 | 262 |
| 720750 | 4275250 | 460 | 541 | 780 | 81 | 239 |
| 720750 | 4274750 | 437 | 487 | 787 | 50 | 301 |
| 720750 | 4274250 | 420 | 470 | 794 | 50 | 324 |
| 720750 | 4273750 | 1120 | 1120 | 1120 | 0 | 0 |
| 720750 | 4273250 | 1120 | 1120 | 1120 | 0 | 0 |
| 720750 | 4272750 | 1120 | 1120 | 1120 | 0 | 0 |
| 720750 | 4272250 | 1120 | 1120 | 1120 | 0 | 0 |
| 720750 | 4271750 | 1120 | 1120 | 1120 | 0 | 0 |
| 720750 | 4271250 | 1120 | 1120 | 1120 | 0 | 0 |
| 720750 | 4270750 | 1120 | 1120 | 1120 | 0 | 0 |
| 720750 | 4270250 | 1120 | 1120 | 1120 | 0 | 0 |
| 720750 | 4269750 | 1120 | 1120 | 1120 | 0 | 0 |
| 720750 | 4269250 | 1120 | 1120 | 1120 | 0 | 0 |
| 720750 | 4268750 | 1120 | 1120 | 1120 | 0 | 0 |
| 720750 | 4268250 | 1120 | 1120 | 1120 | 0 | 0 |
| 721250 | 4277750 | 1120 | 1120 | 1120 | 0 | 0 |

Tabla 1 .- Coordenadas UTM y cotas de muro, techo y topografía correspondientes al acuífero Jijona.
Valores correspondientes al centro de las celdas consideradas posteriormente en el modelo numérico.

| | | | | | | |
|--------|---------|------|------|------|----|-----|
| 721250 | 4277250 | 1120 | 1120 | 1120 | 0 | 0 |
| 721250 | 4276750 | 634 | 684 | 1000 | 50 | 316 |
| 721250 | 4276250 | 571 | 650 | 937 | 79 | 287 |
| 721250 | 4275750 | 509 | 575 | 817 | 66 | 242 |
| 721250 | 4275250 | 494 | 544 | 800 | 50 | 256 |
| 721250 | 4274750 | 459 | 500 | 800 | 41 | 300 |
| 721250 | 4274250 | 1120 | 1120 | 1120 | 0 | 0 |
| 721250 | 4273750 | 1120 | 1120 | 1120 | 0 | 0 |
| 721250 | 4273250 | 1120 | 1120 | 1120 | 0 | 0 |
| 721250 | 4272750 | 1120 | 1120 | 1120 | 0 | 0 |
| 721250 | 4272250 | 1120 | 1120 | 1120 | 0 | 0 |
| 721250 | 4271750 | 1120 | 1120 | 1120 | 0 | 0 |
| 721250 | 4271250 | 1120 | 1120 | 1120 | 0 | 0 |
| 721250 | 4270750 | 1120 | 1120 | 1120 | 0 | 0 |
| 721250 | 4270250 | 1120 | 1120 | 1120 | 0 | 0 |
| 721250 | 4269750 | 1120 | 1120 | 1120 | 0 | 0 |
| 721250 | 4269250 | 1120 | 1120 | 1120 | 0 | 0 |
| 721250 | 4268750 | 1120 | 1120 | 1120 | 0 | 0 |
| 721250 | 4268250 | 1120 | 1120 | 1120 | 0 | 0 |
| 721750 | 4277750 | 1120 | 1120 | 1120 | 0 | 0 |
| 721750 | 4277250 | 750 | 800 | 1022 | 50 | 221 |
| 721750 | 4276750 | 679 | 729 | 1003 | 50 | 274 |
| 721750 | 4276250 | 705 | 755 | 900 | 50 | 145 |
| 721750 | 4275750 | 720 | 750 | 845 | 30 | 95 |
| 721750 | 4275250 | 500 | 550 | 817 | 50 | 267 |
| 721750 | 4274750 | 1120 | 1120 | 1120 | 0 | 0 |
| 721750 | 4274250 | 1120 | 1120 | 1120 | 0 | 0 |
| 721750 | 4273750 | 1120 | 1120 | 1120 | 0 | 0 |
| 721750 | 4273250 | 1120 | 1120 | 1120 | 0 | 0 |
| 721750 | 4272750 | 1120 | 1120 | 1120 | 0 | 0 |
| 721750 | 4272250 | 1120 | 1120 | 1120 | 0 | 0 |
| 721750 | 4271750 | 1120 | 1120 | 1120 | 0 | 0 |
| 721750 | 4271250 | 1120 | 1120 | 1120 | 0 | 0 |
| 721750 | 4270750 | 1120 | 1120 | 1120 | 0 | 0 |
| 721750 | 4270250 | 1120 | 1120 | 1120 | 0 | 0 |
| 721750 | 4269750 | 1120 | 1120 | 1120 | 0 | 0 |
| 721750 | 4269250 | 1120 | 1120 | 1120 | 0 | 0 |
| 721750 | 4268750 | 1120 | 1120 | 1120 | 0 | 0 |
| 721750 | 4268250 | 1120 | 1120 | 1120 | 0 | 0 |
| 722250 | 4277750 | 1120 | 1120 | 1120 | 0 | 0 |
| 722250 | 4277250 | 804 | 854 | 1003 | 50 | 149 |
| 722250 | 4276750 | 804 | 854 | 943 | 50 | 89 |
| 722250 | 4276250 | 706 | 756 | 909 | 50 | 153 |
| 722250 | 4275750 | 700 | 750 | 902 | 50 | 152 |
| 722250 | 4275250 | 1120 | 1120 | 1120 | 0 | 0 |
| 722250 | 4274750 | 1120 | 1120 | 1120 | 0 | 0 |

Tabla 1 . - Coordenadas UTM y cotas de muro, techo y topografía correspondientes al acuífero Jijona.
Valores correspondientes al centro de las celdas consideradas posteriormente en el modelo numérico.

| | | | | | | |
|--------|---------|------|------|------|----|-----|
| 722250 | 4274250 | 1120 | 1120 | 1120 | 0 | 0 |
| 722250 | 4273750 | 1120 | 1120 | 1120 | 0 | 0 |
| 722250 | 4273250 | 1120 | 1120 | 1120 | 0 | 0 |
| 722250 | 4272750 | 1120 | 1120 | 1120 | 0 | 0 |
| 722250 | 4272250 | 1120 | 1120 | 1120 | 0 | 0 |
| 722250 | 4271750 | 1120 | 1120 | 1120 | 0 | 0 |
| 722250 | 4271250 | 1120 | 1120 | 1120 | 0 | 0 |
| 722250 | 4270750 | 1120 | 1120 | 1120 | 0 | 0 |
| 722250 | 4270250 | 1120 | 1120 | 1120 | 0 | 0 |
| 722250 | 4269750 | 1120 | 1120 | 1120 | 0 | 0 |
| 722250 | 4269250 | 1120 | 1120 | 1120 | 0 | 0 |
| 722250 | 4268750 | 1120 | 1120 | 1120 | 0 | 0 |
| 722250 | 4268250 | 1120 | 1120 | 1120 | 0 | 0 |
| 722750 | 4277750 | 1120 | 1120 | 1120 | 0 | 0 |
| 722750 | 4277250 | 827 | 877 | 1000 | 50 | 123 |
| 722750 | 4276750 | 810 | 860 | 973 | 50 | 113 |
| 722750 | 4276250 | 1120 | 1120 | 1120 | 0 | 0 |
| 722750 | 4275750 | 1120 | 1120 | 1120 | 0 | 0 |
| 722750 | 4275250 | 1120 | 1120 | 1120 | 0 | 0 |
| 722750 | 4274750 | 1120 | 1120 | 1120 | 0 | 0 |
| 722750 | 4274250 | 1120 | 1120 | 1120 | 0 | 0 |
| 722750 | 4273750 | 1120 | 1120 | 1120 | 0 | 0 |
| 722750 | 4273250 | 1120 | 1120 | 1120 | 0 | 0 |
| 722750 | 4272750 | 1120 | 1120 | 1120 | 0 | 0 |
| 722750 | 4272250 | 1120 | 1120 | 1120 | 0 | 0 |
| 722750 | 4271750 | 1120 | 1120 | 1120 | 0 | 0 |
| 722750 | 4271250 | 1120 | 1120 | 1120 | 0 | 0 |
| 722750 | 4270750 | 1120 | 1120 | 1120 | 0 | 0 |
| 722750 | 4270250 | 1120 | 1120 | 1120 | 0 | 0 |
| 722750 | 4269750 | 1120 | 1120 | 1120 | 0 | 0 |
| 722750 | 4269250 | 1120 | 1120 | 1120 | 0 | 0 |
| 722750 | 4268750 | 1120 | 1120 | 1120 | 0 | 0 |
| 722750 | 4268250 | 1120 | 1120 | 1120 | 0 | 0 |
| 723250 | 4277750 | 800 | 850 | 1000 | 50 | 150 |
| 723250 | 4277250 | 832 | 882 | 1000 | 50 | 118 |
| 723250 | 4276750 | 1120 | 1120 | 1120 | 0 | 0 |
| 723250 | 4276250 | 1120 | 1120 | 1120 | 0 | 0 |
| 723250 | 4275750 | 1120 | 1120 | 1120 | 0 | 0 |
| 723250 | 4275250 | 1120 | 1120 | 1120 | 0 | 0 |
| 723250 | 4274750 | 1120 | 1120 | 1120 | 0 | 0 |
| 723250 | 4274250 | 1120 | 1120 | 1120 | 0 | 0 |
| 723250 | 4273750 | 1120 | 1120 | 1120 | 0 | 0 |
| 723250 | 4273250 | 1120 | 1120 | 1120 | 0 | 0 |
| 723250 | 4272750 | 1120 | 1120 | 1120 | 0 | 0 |
| 723250 | 4272250 | 1120 | 1120 | 1120 | 0 | 0 |
| 723250 | 4271750 | 1120 | 1120 | 1120 | 0 | 0 |

Tabla 1 .- Coordenadas UTM y cotas de muro, techo y topografía correspondientes al acuífero Jijona.
Valores correspondientes al centro de las celdas consideradas posteriormente en el modelo numérico.

| | | | | | | |
|--------|---------|------|------|------|----|-----|
| 723250 | 4271250 | 1120 | 1120 | 1120 | 0 | 0 |
| 723250 | 4270750 | 1120 | 1120 | 1120 | 0 | 0 |
| 723250 | 4270250 | 1120 | 1120 | 1120 | 0 | 0 |
| 723250 | 4269750 | 1120 | 1120 | 1120 | 0 | 0 |
| 723250 | 4269250 | 1120 | 1120 | 1120 | 0 | 0 |
| 723250 | 4268750 | 1120 | 1120 | 1120 | 0 | 0 |
| 723250 | 4268250 | 1120 | 1120 | 1120 | 0 | 0 |
| 723750 | 4277750 | 800 | 850 | 1000 | 50 | 150 |
| 723750 | 4277250 | 1120 | 1120 | 1120 | 0 | 0 |
| 723750 | 4276750 | 1120 | 1120 | 1120 | 0 | 0 |
| 723750 | 4276250 | 1120 | 1120 | 1120 | 0 | 0 |
| 723750 | 4275750 | 1120 | 1120 | 1120 | 0 | 0 |
| 723750 | 4275250 | 1120 | 1120 | 1120 | 0 | 0 |
| 723750 | 4274750 | 1120 | 1120 | 1120 | 0 | 0 |
| 723750 | 4274250 | 1120 | 1120 | 1120 | 0 | 0 |
| 723750 | 4273750 | 1120 | 1120 | 1120 | 0 | 0 |
| 723750 | 4273250 | 1120 | 1120 | 1120 | 0 | 0 |
| 723750 | 4272750 | 1120 | 1120 | 1120 | 0 | 0 |
| 723750 | 4272250 | 1120 | 1120 | 1120 | 0 | 0 |
| 723750 | 4271750 | 1120 | 1120 | 1120 | 0 | 0 |
| 723750 | 4271250 | 1120 | 1120 | 1120 | 0 | 0 |
| 723750 | 4270750 | 1120 | 1120 | 1120 | 0 | 0 |
| 723750 | 4270250 | 1120 | 1120 | 1120 | 0 | 0 |
| 723750 | 4269750 | 1120 | 1120 | 1120 | 0 | 0 |
| 723750 | 4269250 | 1120 | 1120 | 1120 | 0 | 0 |
| 723750 | 4268750 | 1120 | 1120 | 1120 | 0 | 0 |
| 723750 | 4268250 | 1120 | 1120 | 1120 | 0 | 0 |

ANEJO 2

NIVELES PIEZOMÉTRICOS

Tabla 1.- Niveles piezométricos medidos en el punto de control 2833-8-0033 (pozo Pineta)

| MES | AÑO | DEPARTAMENTO | ESTACIONES | PERÍODO |
|------------|------|--------------|------------|---------|
| Enero | 1986 | | 0 | 30 |
| Febrero | 1986 | | 30 | 60 |
| Marzo | 1986 | | 60 | 90 |
| Abril | 1986 | | 90 | 120 |
| Mayo | 1986 | | 120 | 150 |
| Junio | 1986 | | 150 | 180 |
| Julio | 1986 | | 180 | 210 |
| Agosto | 1986 | | 210 | 240 |
| Septiembre | 1986 | | 240 | 270 |
| Octubre | 1986 | | 270 | 300 |
| Noviembre | 1986 | | 300 | 330 |
| Diciembre | 1986 | | 330 | 360 |
| Enero | 1987 | | 360 | 390 |
| Febrero | 1987 | | 390 | 420 |
| Marzo | 1987 | | 420 | 450 |
| Abril | 1987 | | 450 | 480 |
| Mayo | 1987 | | 480 | 510 |
| Junio | 1987 | | 510 | 540 |
| Julio | 1987 | | 540 | 570 |
| Agosto | 1987 | | 570 | 600 |
| Septiembre | 1987 | | 600 | 630 |
| Octubre | 1987 | | 630 | 660 |
| Noviembre | 1987 | | 660 | 690 |
| Diciembre | 1987 | | 690 | 720 |
| Enero | 1988 | | 720 | 750 |
| Febrero | 1988 | | 750 | 780 |
| Marzo | 1988 | | 780 | 810 |
| Abril | 1988 | | 810 | 840 |
| Mayo | 1988 | | 840 | 870 |
| Junio | 1988 | | 870 | 900 |
| Julio | 1988 | | 900 | 930 |
| Agosto | 1988 | | 930 | 960 |
| Septiembre | 1988 | | 960 | 990 |
| Octubre | 1988 | | 990 | 1020 |
| Noviembre | 1988 | | 1020 | 1050 |
| Diciembre | 1988 | | 1050 | 1080 |
| Enero | 1989 | | 1080 | 1110 |
| Febrero | 1989 | | 1110 | 1140 |
| Marzo | 1989 | | 1140 | 1170 |
| Abril | 1989 | | 1170 | 1200 |
| Mayo | 1989 | | 1200 | 1230 |
| Junio | 1989 | | 1230 | 1260 |
| Julio | 1989 | | 1260 | 1290 |
| Agosto | 1989 | | 1290 | 1320 |
| Septiembre | 1989 | | 1320 | 1350 |
| Octubre | 1989 | | 1350 | 1380 |

Tabla 1.- Niveles piezométricos medidos en el punto de control 2833-8-0033 (pozo Pineta)

| | | | | |
|------------|------|------|------|--------|
| Noviembre | 1989 | 1380 | 1410 | |
| Diciembre | 1989 | 1410 | 1440 | |
| Enero | 1990 | 1440 | 1470 | |
| Febrero | 1990 | 1470 | 1500 | |
| Marzo | 1990 | 1500 | 1530 | |
| Abril | 1990 | 1530 | 1560 | |
| Mayo | 1990 | 1560 | 1590 | |
| Junio | 1990 | 1590 | 1620 | |
| Julio | 1990 | 1620 | 1650 | 586,09 |
| Agosto | 1990 | 1650 | 1680 | 581,93 |
| Septiembre | 1990 | 1680 | 1710 | 573,70 |
| Octubre | 1990 | 1710 | 1740 | 568,41 |
| Noviembre | 1990 | 1740 | 1770 | 564,56 |
| Diciembre | 1990 | 1770 | 1800 | 559,43 |
| Enero | 1991 | 1800 | 1830 | 556,13 |
| Febrero | 1991 | 1830 | 1860 | 556,06 |
| Marzo | 1991 | 1860 | 1890 | 553,10 |
| Abril | 1991 | 1890 | 1920 | 554,64 |
| Mayo | 1991 | 1920 | 1950 | 558,95 |
| Junio | 1991 | 1950 | 1980 | 566,70 |
| Julio | 1991 | 1980 | 2010 | 559,81 |
| Agosto | 1991 | 2010 | 2040 | 554,27 |
| Septiembre | 1991 | 2040 | 2070 | 548,90 |
| Octubre | 1991 | 2070 | 2100 | 544,35 |
| Noviembre | 1991 | 2100 | 2130 | 539,49 |
| Diciembre | 1991 | 2130 | 2160 | 535,37 |
| Enero | 1992 | 2160 | 2190 | 531,65 |
| Febrero | 1992 | 2190 | 2220 | 529,46 |
| Marzo | 1992 | 2220 | 2250 | 529,53 |
| Abril | 1992 | 2250 | 2280 | 525,90 |
| Mayo | 1992 | 2280 | 2310 | 521,25 |
| Junio | 1992 | 2310 | 2340 | |
| Julio | 1992 | 2340 | 2370 | |
| Agosto | 1992 | 2370 | 2400 | |
| Septiembre | 1992 | 2400 | 2430 | |
| Octubre | 1992 | 2430 | 2460 | |
| Noviembre | 1992 | 2460 | 2490 | |
| Diciembre | 1992 | 2490 | 2520 | |
| Enero | 1993 | 2520 | 2550 | |
| Febrero | 1993 | 2550 | 2580 | 523,85 |
| Marzo | 1993 | 2580 | 2610 | |
| Abril | 1993 | 2610 | 2640 | |
| Mayo | 1993 | 2640 | 2670 | |
| Junio | 1993 | 2670 | 2700 | |
| Julio | 1993 | 2700 | 2730 | |
| Agosto | 1993 | 2730 | 2760 | |
| Septiembre | 1993 | 2760 | 2790 | |

Tabla 1.- Niveles piezométricos medidos en el punto de control 2833-8-0033 (pozo Pineta)

| | | | | |
|------------|------|------|------|--------|
| Octubre | 1993 | 2790 | 2820 | |
| Noviembre | 1993 | 2820 | 2850 | |
| Diciembre | 1993 | 2850 | 2880 | |
| Enero | 1994 | 2880 | 2910 | |
| Febrero | 1994 | 2910 | 2940 | |
| Marzo | 1994 | 2940 | 2970 | |
| Abril | 1994 | 2970 | 3000 | |
| Mayo | 1994 | 3000 | 3030 | |
| Junio | 1994 | 3030 | 3060 | |
| Julio | 1994 | 3060 | 3090 | |
| Agosto | 1994 | 3090 | 3120 | |
| Septiembre | 1994 | 3120 | 3150 | |
| Octubre | 1994 | 3150 | 3180 | |
| Noviembre | 1994 | 3180 | 3210 | |
| Diciembre | 1994 | 3210 | 3240 | |
| Enero | 1995 | 3240 | 3270 | |
| Febrero | 1995 | 3270 | 3300 | |
| Marzo | 1995 | 3300 | 3330 | |
| Abril | 1995 | 3330 | 3360 | 416,80 |
| Mayo | 1995 | 3360 | 3390 | 415,80 |
| Junio | 1995 | 3390 | 3420 | 409,70 |
| Julio | 1995 | 3420 | 3450 | 406,10 |
| Agosto | 1995 | 3450 | 3480 | |
| Septiembre | 1995 | 3480 | 3510 | 402,00 |
| Octubre | 1995 | 3510 | 3540 | 384,00 |
| Noviembre | 1995 | 3540 | 3570 | 376,80 |
| Diciembre | 1995 | 3570 | 3600 | 375,00 |
| Enero | 1996 | 3600 | 3630 | 371,90 |
| Febrero | 1996 | 3630 | 3660 | 368,50 |
| Marzo | 1996 | 3660 | 3690 | 363,50 |
| Abril | 1996 | 3690 | 3720 | |
| Mayo | 1996 | 3720 | 3750 | 353,20 |
| Junio | 1996 | 3750 | 3780 | |
| Julio | 1996 | 3780 | 3810 | |
| Agosto | 1996 | 3810 | 3840 | 334,80 |
| Septiembre | 1996 | 3840 | 3870 | 325,90 |
| Octubre | 1996 | 3870 | 3900 | 318,80 |
| Noviembre | 1996 | 3900 | 3930 | 315,00 |
| Diciembre | 1996 | 3930 | 3960 | 311,70 |

Tabla 2.- Niveles piezométricos medidos en el punto de control 2833-8-0028 (pozo Sereñat)

| MES | AÑO | DEPTO (M) | DEPTO (M) | DEPTO (M) |
|------------|------|-----------|-----------|-----------|
| Enero | 1986 | 0 | 30 | |
| Febrero | 1986 | 30 | 60 | |
| Marzo | 1986 | 60 | 90 | |
| Abril | 1986 | 90 | 120 | 444,8 |
| Mayo | 1986 | 120 | 150 | |
| Junio | 1986 | 150 | 180 | |
| Julio | 1986 | 180 | 210 | |
| Agosto | 1986 | 210 | 240 | |
| Septiembre | 1986 | 240 | 270 | |
| Octubre | 1986 | 270 | 300 | 406,1 |
| Noviembre | 1986 | 300 | 330 | |
| Diciembre | 1986 | 330 | 360 | |
| Enero | 1987 | 360 | 390 | |
| Febrero | 1987 | 390 | 420 | 503,85 |
| Marzo | 1987 | 420 | 450 | |
| Abril | 1987 | 450 | 480 | |
| Mayo | 1987 | 480 | 510 | |
| Junio | 1987 | 510 | 540 | |
| Julio | 1987 | 540 | 570 | 495,8 |
| Agosto | 1987 | 570 | 600 | |
| Septiembre | 1987 | 600 | 630 | |
| Octubre | 1987 | 630 | 660 | 483,1 |
| Noviembre | 1987 | 660 | 690 | |
| Diciembre | 1987 | 690 | 720 | |
| Enero | 1988 | 720 | 750 | |
| Febrero | 1988 | 750 | 780 | 563,55 |
| Marzo | 1988 | 780 | 810 | |
| Abril | 1988 | 810 | 840 | |
| Mayo | 1988 | 840 | 870 | |
| Junio | 1988 | 870 | 900 | |
| Julio | 1988 | 900 | 930 | |
| Agosto | 1988 | 930 | 960 | |
| Septiembre | 1988 | 960 | 990 | 519,7 |
| Octubre | 1988 | 990 | 1020 | |
| Noviembre | 1988 | 1020 | 1050 | |
| Diciembre | 1988 | 1050 | 1080 | |
| Enero | 1989 | 1080 | 1110 | |
| Febrero | 1989 | 1110 | 1140 | |
| Marzo | 1989 | 1140 | 1170 | |
| Abril | 1989 | 1170 | 1200 | |
| Mayo | 1989 | 1200 | 1230 | |
| Junio | 1989 | 1230 | 1260 | |
| Julio | 1989 | 1260 | 1290 | |
| Agosto | 1989 | 1290 | 1320 | |
| Septiembre | 1989 | 1320 | 1350 | |
| Octubre | 1989 | 1350 | 1380 | |

Tabla 2.- Niveles piezométricos medidos en el punto de control 2833-8-0028 (pozo Sereñat)

| | | | | |
|------------|------|------|------|--------|
| Noviembre | 1989 | 1380 | 1410 | |
| Diciembre | 1989 | 1410 | 1440 | |
| Enero | 1990 | 1440 | 1470 | |
| Febrero | 1990 | 1470 | 1500 | |
| Marzo | 1990 | 1500 | 1530 | |
| Abril | 1990 | 1530 | 1560 | |
| Mayo | 1990 | 1560 | 1590 | |
| Junio | 1990 | 1590 | 1620 | |
| Julio | 1990 | 1620 | 1650 | |
| Agosto | 1990 | 1650 | 1680 | |
| Septiembre | 1990 | 1680 | 1710 | |
| Octubre | 1990 | 1710 | 1740 | |
| Noviembre | 1990 | 1740 | 1770 | |
| Diciembre | 1990 | 1770 | 1800 | |
| Enero | 1991 | 1800 | 1830 | |
| Febrero | 1991 | 1830 | 1860 | |
| Marzo | 1991 | 1860 | 1890 | 556,3 |
| Abril | 1991 | 1890 | 1920 | |
| Mayo | 1991 | 1920 | 1950 | 564,07 |
| Junio | 1991 | 1950 | 1980 | 549,2 |
| Julio | 1991 | 1980 | 2010 | |
| Agosto | 1991 | 2010 | 2040 | |
| Septiembre | 1991 | 2040 | 2070 | 528,1 |
| Octubre | 1991 | 2070 | 2100 | |
| Noviembre | 1991 | 2100 | 2130 | |
| Diciembre | 1991 | 2130 | 2160 | |
| Enero | 1992 | 2160 | 2190 | |
| Febrero | 1992 | 2190 | 2220 | 521,4 |
| Marzo | 1992 | 2220 | 2250 | 523 |
| Abril | 1992 | 2250 | 2280 | 519,33 |
| Mayo | 1992 | 2280 | 2310 | 521 |
| Junio | 1992 | 2310 | 2340 | 510,3 |
| Julio | 1992 | 2340 | 2370 | |
| Agosto | 1992 | 2370 | 2400 | |
| Septiembre | 1992 | 2400 | 2430 | 490,95 |
| Octubre | 1992 | 2430 | 2460 | |
| Noviembre | 1992 | 2460 | 2490 | |
| Diciembre | 1992 | 2490 | 2520 | |
| Enero | 1993 | 2520 | 2550 | |
| Febrero | 1993 | 2550 | 2580 | |
| Marzo | 1993 | 2580 | 2610 | |
| Abril | 1993 | 2610 | 2640 | |
| Mayo | 1993 | 2640 | 2670 | |
| Junio | 1993 | 2670 | 2700 | |
| Julio | 1993 | 2700 | 2730 | |
| Agosto | 1993 | 2730 | 2760 | |
| Septiembre | 1993 | 2760 | 2790 | |

Tabla 2.- Niveles piezométricos medidos en el punto de control 2833-8-0028 (pozo Sereñat)

| | | | | |
|------------|------|------|------|---------|
| Octubre | 1993 | 2790 | 2820 | |
| Noviembre | 1993 | 2820 | 2850 | |
| Diciembre | 1993 | 2850 | 2880 | |
| Enero | 1994 | 2880 | 2910 | |
| Febrero | 1994 | 2910 | 2940 | |
| Marzo | 1994 | 2940 | 2970 | |
| Abril | 1994 | 2970 | 3000 | |
| Mayo | 1994 | 3000 | 3030 | |
| Junio | 1994 | 3030 | 3060 | |
| Julio | 1994 | 3060 | 3090 | |
| Agosto | 1994 | 3090 | 3120 | |
| Septiembre | 1994 | 3120 | 3150 | |
| Octubre | 1994 | 3150 | 3180 | |
| Noviembre | 1994 | 3180 | 3210 | |
| Diciembre | 1994 | 3210 | 3240 | 405,5 |
| Enero | 1995 | 3240 | 3270 | 405,165 |
| Febrero | 1995 | 3270 | 3300 | 405,61 |
| Marzo | 1995 | 3300 | 3330 | 364,15 |
| Abril | 1995 | 3330 | 3360 | |
| Mayo | 1995 | 3360 | 3390 | |
| Junio | 1995 | 3390 | 3420 | |
| Julio | 1995 | 3420 | 3450 | |
| Agosto | 1995 | 3450 | 3480 | |
| Septiembre | 1995 | 3480 | 3510 | |
| Octubre | 1995 | 3510 | 3540 | |
| Noviembre | 1995 | 3540 | 3570 | |
| Diciembre | 1995 | 3570 | 3600 | |
| Enero | 1996 | 3600 | 3630 | |
| Febrero | 1996 | 3630 | 3660 | |
| Marzo | 1996 | 3660 | 3690 | |
| Abril | 1996 | 3690 | 3720 | |
| Mayo | 1996 | 3720 | 3750 | |
| Junio | 1996 | 3750 | 3780 | |
| Julio | 1996 | 3780 | 3810 | |
| Agosto | 1996 | 3810 | 3840 | |
| Septiembre | 1996 | 3840 | 3870 | |
| Octubre | 1996 | 3870 | 3900 | |
| Noviembre | 1996 | 3900 | 3930 | |
| Diciembre | 1996 | 3930 | 3960 | |

ANEJO 3

CAUDALES DE EXTRACCIÓN

Tabla 1. Caudales de extracción correspondientes al pozo Pineta (punto de control 2833-8-0033)

| MES | AÑO | Tiempo (días) | Tiempo (días) | Pineta (m ³ /mes) | Pineta (m ³ /día) |
|------------|------|---------------|---------------|------------------------------|------------------------------|
| Enero | 1986 | 0 | 30 | 25200 | 840,0 |
| Febrero | 1986 | 30 | 60 | 25200 | 840,0 |
| Marzo | 1986 | 60 | 90 | 25200 | 840,0 |
| Abril | 1986 | 90 | 120 | 25200 | 840,0 |
| Mayo | 1986 | 120 | 150 | 25200 | 840,0 |
| Junio | 1986 | 150 | 180 | 25200 | 840,0 |
| Julio | 1986 | 180 | 210 | 25600 | 853,3 |
| Agosto | 1986 | 210 | 240 | 25600 | 853,3 |
| Septiembre | 1986 | 240 | 270 | 25600 | 853,3 |
| Octubre | 1986 | 270 | 300 | 50800 | 1693,3 |
| Noviembre | 1986 | 300 | 330 | 50800 | 1693,3 |
| Diciembre | 1986 | 330 | 360 | 50800 | 1693,3 |
| Enero | 1987 | 360 | 390 | 26000 | 866,7 |
| Febrero | 1987 | 390 | 420 | 26000 | 866,7 |
| Marzo | 1987 | 420 | 450 | 26000 | 866,7 |
| Abril | 1987 | 450 | 480 | 26000 | 866,7 |
| Mayo | 1987 | 480 | 510 | 26000 | 866,7 |
| Junio | 1987 | 510 | 540 | 26000 | 866,7 |
| Julio | 1987 | 540 | 570 | 26000 | 866,7 |
| Agosto | 1987 | 570 | 600 | 26000 | 866,7 |
| Septiembre | 1987 | 600 | 630 | 26000 | 866,7 |
| Octubre | 1987 | 630 | 660 | 52000 | 1733,3 |
| Noviembre | 1987 | 660 | 690 | 52000 | 1733,3 |
| Diciembre | 1987 | 690 | 720 | 52000 | 1733,3 |
| Enero | 1988 | 720 | 750 | 27120 | 904,0 |
| Febrero | 1988 | 750 | 780 | 27120 | 904,0 |
| Marzo | 1988 | 780 | 810 | 27120 | 904,0 |
| Abril | 1988 | 810 | 840 | 27120 | 904,0 |
| Mayo | 1988 | 840 | 870 | 27120 | 904,0 |
| Junio | 1988 | 870 | 900 | 27120 | 904,0 |
| Julio | 1988 | 900 | 930 | 27120 | 904,0 |
| Agosto | 1988 | 930 | 960 | 27120 | 904,0 |
| Septiembre | 1988 | 960 | 990 | 27120 | 904,0 |
| Octubre | 1988 | 990 | 1020 | 54240 | 1808,0 |
| Noviembre | 1988 | 1020 | 1050 | 54240 | 1808,0 |
| Diciembre | 1988 | 1050 | 1080 | 54240 | 1808,0 |
| Enero | 1989 | 1080 | 1110 | 28480 | 949,3 |
| Febrero | 1989 | 1110 | 1140 | 28480 | 949,3 |
| Marzo | 1989 | 1140 | 1170 | 28480 | 949,3 |
| Abril | 1989 | 1170 | 1200 | 28480 | 949,3 |
| Mayo | 1989 | 1200 | 1230 | 28480 | 949,3 |
| Junio | 1989 | 1230 | 1260 | 28480 | 949,3 |
| Julio | 1989 | 1260 | 1290 | 28480 | 949,3 |
| Agosto | 1989 | 1290 | 1320 | 28480 | 949,3 |
| Septiembre | 1989 | 1320 | 1350 | 28480 | 949,3 |
| Octubre | 1989 | 1350 | 1380 | 56960 | 1898,7 |

Tabla 1. Caudales de extracción correspondientes al pozo Pineta (punto de control 2833-8-0033)

| | | | | | |
|------------|------|------|------|--------|--------|
| Noviembre | 1989 | 1380 | 1410 | 56960 | 1898,7 |
| Diciembre | 1989 | 1410 | 1440 | 56960 | 1898,7 |
| Enero | 1990 | 1440 | 1470 | 29904 | 996,8 |
| Febrero | 1990 | 1470 | 1500 | 29904 | 996,8 |
| Marzo | 1990 | 1500 | 1530 | 29904 | 996,8 |
| Abril | 1990 | 1530 | 1560 | 29904 | 996,8 |
| Mayo | 1990 | 1560 | 1590 | 29904 | 996,8 |
| Junio | 1990 | 1590 | 1620 | 29904 | 996,8 |
| Julio | 1990 | 1620 | 1650 | 29904 | 996,8 |
| Agosto | 1990 | 1650 | 1680 | 1450 | 48,3 |
| Septiembre | 1990 | 1680 | 1710 | 710 | 23,7 |
| Octubre | 1990 | 1710 | 1740 | 2870 | 95,7 |
| Noviembre | 1990 | 1740 | 1770 | 3100 | 103,3 |
| Diciembre | 1990 | 1770 | 1800 | 80 | 2,7 |
| Enero | 1991 | 1800 | 1830 | 7530 | 251,0 |
| Febrero | 1991 | 1830 | 1860 | 30 | 1,0 |
| Marzo | 1991 | 1860 | 1890 | 22520 | 750,7 |
| Abril | 1991 | 1890 | 1920 | 76830 | 2561,0 |
| Mayo | 1991 | 1920 | 1950 | 77220 | 2574,0 |
| Junio | 1991 | 1950 | 1980 | 1280 | 42,7 |
| Julio | 1991 | 1980 | 2010 | 3950 | 131,7 |
| Agosto | 1991 | 2010 | 2040 | 3050 | 101,7 |
| Septiembre | 1991 | 2040 | 2070 | 1780 | 59,3 |
| Octubre | 1991 | 2070 | 2100 | 3040 | 101,3 |
| Noviembre | 1991 | 2100 | 2130 | 340 | 11,3 |
| Diciembre | 1991 | 2130 | 2160 | 3650 | 121,7 |
| Enero | 1992 | 2160 | 2190 | 9010 | 300,3 |
| Febrero | 1992 | 2190 | 2220 | 10 | 0,3 |
| Marzo | 1992 | 2220 | 2250 | 10950 | 365,0 |
| Abril | 1992 | 2250 | 2280 | 6550 | 218,3 |
| Mayo | 1992 | 2280 | 2310 | 65320 | 2177,3 |
| Junio | 1992 | 2310 | 2340 | 65940 | 2198,0 |
| Julio | 1992 | 2340 | 2370 | 7830 | 261,0 |
| Agosto | 1992 | 2370 | 2400 | 47380 | 1579,3 |
| Septiembre | 1992 | 2400 | 2430 | 34780 | 1159,3 |
| Octubre | 1992 | 2430 | 2460 | 29670 | 989,0 |
| Noviembre | 1992 | 2460 | 2490 | 68500 | 2283,3 |
| Diciembre | 1992 | 2490 | 2520 | 110250 | 3675,0 |
| Enero | 1993 | 2520 | 2550 | 71810 | 2393,7 |
| Febrero | 1993 | 2550 | 2580 | 48030 | 1601,0 |
| Marzo | 1993 | 2580 | 2610 | 60980 | 2032,7 |
| Abril | 1993 | 2610 | 2640 | 74680 | 2489,3 |
| Mayo | 1993 | 2640 | 2670 | 70720 | 2357,3 |
| Junio | 1993 | 2670 | 2700 | 73490 | 2449,7 |
| Julio | 1993 | 2700 | 2730 | 72810 | 2427,0 |
| Agosto | 1993 | 2730 | 2760 | 72980 | 2432,7 |
| Septiembre | 1993 | 2760 | 2790 | 6040 | 201,3 |

Tabla 1. Caudales de extracción correspondientes al pozo Pineta (punto de control 2833-8-0033)

| | | | | | |
|------------|------|------|------|---------|--------|
| Octubre | 1993 | 2790 | 2820 | 47441 | 1581,4 |
| Noviembre | 1993 | 2820 | 2850 | 61893,5 | 2063,1 |
| Diciembre | 1993 | 2850 | 2880 | 87562,5 | 2918,8 |
| Enero | 1994 | 2880 | 2910 | 67200 | 2240,0 |
| Febrero | 1994 | 2910 | 2940 | 59830 | 1994,3 |
| Marzo | 1994 | 2940 | 2970 | 74680 | 2489,3 |
| Abril | 1994 | 2970 | 3000 | 77290 | 2576,3 |
| Mayo | 1994 | 3000 | 3030 | 51220 | 1707,3 |
| Junio | 1994 | 3030 | 3060 | 37990 | 1266,3 |
| Julio | 1994 | 3060 | 3090 | 44550 | 1485,0 |
| Agosto | 1994 | 3090 | 3120 | 65870 | 2195,7 |
| Septiembre | 1994 | 3120 | 3150 | 69180 | 2306,0 |
| Octubre | 1994 | 3150 | 3180 | 65212 | 2173,7 |
| Noviembre | 1994 | 3180 | 3210 | 55287 | 1842,9 |
| Diciembre | 1994 | 3210 | 3240 | 64875 | 2162,5 |
| Enero | 1995 | 3240 | 3270 | 33570 | 1119,0 |
| Febrero | 1995 | 3270 | 3300 | 41564 | 1385,5 |
| Marzo | 1995 | 3300 | 3330 | 94993 | 3166,4 |
| Abril | 1995 | 3330 | 3360 | 203071 | 6769,0 |
| Mayo | 1995 | 3360 | 3390 | 230660 | 7688,7 |
| Junio | 1995 | 3390 | 3420 | 199047 | 6634,9 |
| Julio | 1995 | 3420 | 3450 | 247391 | 8246,4 |
| Agosto | 1995 | 3450 | 3480 | 245590 | 8186,3 |
| Septiembre | 1995 | 3480 | 3510 | 218480 | 7282,7 |
| Octubre | 1995 | 3510 | 3540 | 234791 | 7826,4 |
| Noviembre | 1995 | 3540 | 3570 | 225980 | 7532,7 |
| Diciembre | 1995 | 3570 | 3600 | 190846 | 6361,5 |
| Enero | 1996 | 3600 | 3630 | 114244 | 3808,1 |
| Febrero | 1996 | 3630 | 3660 | 140696 | 4689,9 |
| Marzo | 1996 | 3660 | 3690 | 144225 | 4807,5 |
| Abril | 1996 | 3690 | 3720 | 125387 | 4179,6 |
| Mayo | 1996 | 3720 | 3750 | 146771 | 4892,4 |
| Junio | 1996 | 3750 | 3780 | 171747 | 5724,9 |
| Julio | 1996 | 3780 | 3810 | 181263 | 6042,1 |
| Agosto | 1996 | 3810 | 3840 | 174274 | 5809,1 |
| Septiembre | 1996 | 3840 | 3870 | 159615 | 5320,5 |
| Octubre | 1996 | 3870 | 3900 | 170030 | 5667,7 |
| Noviembre | 1996 | 3900 | 3930 | 161182 | 5372,7 |
| Diciembre | 1996 | 3930 | 3960 | 153788 | 5126,3 |

Tabla 2. - Caudales de extracción correspondientes al pozo Sereñat (punto de control 2833-8-0028)

| MES | AÑO | Tiempo (días) | Tiempo (días) | Sereñat (m^3/min) | Sereñat ($m^3/día$) |
|------------|------|---------------|---------------|-----------------------|-----------------------|
| Enero | 1986 | 0 | 30 | 37800 | 1260,0 |
| Febrero | 1986 | 30 | 60 | 37800 | 1260,0 |
| Marzo | 1986 | 60 | 90 | 37800 | 1260,0 |
| Abril | 1986 | 90 | 120 | 37800 | 1260,0 |
| Mayo | 1986 | 120 | 150 | 37800 | 1260,0 |
| Junio | 1986 | 150 | 180 | 37800 | 1260,0 |
| Julio | 1986 | 180 | 210 | 38400 | 1280,0 |
| Agosto | 1986 | 210 | 240 | 38400 | 1280,0 |
| Septiembre | 1986 | 240 | 270 | 38400 | 1280,0 |
| Octubre | 1986 | 270 | 300 | 76200 | 2540,0 |
| Noviembre | 1986 | 300 | 330 | 76200 | 2540,0 |
| Diciembre | 1986 | 330 | 360 | 76200 | 2540,0 |
| Enero | 1987 | 360 | 390 | 39000 | 1300,0 |
| Febrero | 1987 | 390 | 420 | 39000 | 1300,0 |
| Marzo | 1987 | 420 | 450 | 39000 | 1300,0 |
| Abril | 1987 | 450 | 480 | 39000 | 1300,0 |
| Mayo | 1987 | 480 | 510 | 39000 | 1300,0 |
| Junio | 1987 | 510 | 540 | 39000 | 1300,0 |
| Julio | 1987 | 540 | 570 | 39000 | 1300,0 |
| Agosto | 1987 | 570 | 600 | 39000 | 1300,0 |
| Septiembre | 1987 | 600 | 630 | 39000 | 1300,0 |
| Octubre | 1987 | 630 | 660 | 78000 | 2600,0 |
| Noviembre | 1987 | 660 | 690 | 78000 | 2600,0 |
| Diciembre | 1987 | 690 | 720 | 78000 | 2600,0 |
| Enero | 1988 | 720 | 750 | 40680 | 1356,0 |
| Febrero | 1988 | 750 | 780 | 40680 | 1356,0 |
| Marzo | 1988 | 780 | 810 | 40680 | 1356,0 |
| Abril | 1988 | 810 | 840 | 40680 | 1356,0 |
| Mayo | 1988 | 840 | 870 | 40680 | 1356,0 |
| Junio | 1988 | 870 | 900 | 40680 | 1356,0 |
| Julio | 1988 | 900 | 930 | 40680 | 1356,0 |
| Agosto | 1988 | 930 | 960 | 40680 | 1356,0 |
| Septiembre | 1988 | 960 | 990 | 40680 | 1356,0 |
| Octubre | 1988 | 990 | 1020 | 81360 | 2712,0 |
| Noviembre | 1988 | 1020 | 1050 | 81360 | 2712,0 |
| Diciembre | 1988 | 1050 | 1080 | 81360 | 2712,0 |
| Enero | 1989 | 1080 | 1110 | 42720 | 1424,0 |
| Febrero | 1989 | 1110 | 1140 | 42720 | 1424,0 |
| Marzo | 1989 | 1140 | 1170 | 42720 | 1424,0 |
| Abril | 1989 | 1170 | 1200 | 42720 | 1424,0 |
| Mayo | 1989 | 1200 | 1230 | 42720 | 1424,0 |
| Junio | 1989 | 1230 | 1260 | 42720 | 1424,0 |
| Julio | 1989 | 1260 | 1290 | 42720 | 1424,0 |
| Agosto | 1989 | 1290 | 1320 | 42720 | 1424,0 |
| Septiembre | 1989 | 1320 | 1350 | 42720 | 1424,0 |
| Octubre | 1989 | 1350 | 1380 | 85440 | 2848,0 |

Tabla 2. - Caudales de extracción correspondientes al pozo Sereñat (punto de control 2833-8-0028)

| | | | | | |
|------------|------|------|------|--------|--------|
| Noviembre | 1989 | 1380 | 1410 | 85440 | 2848,0 |
| Diciembre | 1989 | 1410 | 1440 | 85440 | 2848,0 |
| Enero | 1990 | 1440 | 1470 | 44856 | 1495,2 |
| Febrero | 1990 | 1470 | 1500 | 44856 | 1495,2 |
| Marzo | 1990 | 1500 | 1530 | 44856 | 1495,2 |
| Abril | 1990 | 1530 | 1560 | 44856 | 1495,2 |
| Mayo | 1990 | 1560 | 1590 | 44856 | 1495,2 |
| Junio | 1990 | 1590 | 1620 | 44856 | 1495,2 |
| Julio | 1990 | 1620 | 1650 | 44856 | 1495,2 |
| Agosto | 1990 | 1650 | 1680 | 110650 | 3688,3 |
| Septiembre | 1990 | 1680 | 1710 | 75370 | 2512,3 |
| Octubre | 1990 | 1710 | 1740 | 113820 | 3794,0 |
| Noviembre | 1990 | 1740 | 1770 | 104440 | 3481,3 |
| Diciembre | 1990 | 1770 | 1800 | 73480 | 2449,3 |
| Enero | 1991 | 1800 | 1830 | 84770 | 2825,7 |
| Febrero | 1991 | 1830 | 1860 | 63310 | 2110,3 |
| Marzo | 1991 | 1860 | 1890 | 63310 | 2110,3 |
| Abril | 1991 | 1890 | 1920 | 1380 | 46,0 |
| Mayo | 1991 | 1920 | 1950 | 13560 | 452,0 |
| Junio | 1991 | 1950 | 1980 | 88450 | 2948,3 |
| Julio | 1991 | 1980 | 2010 | 89100 | 2970,0 |
| Agosto | 1991 | 2010 | 2040 | 115990 | 3866,3 |
| Septiembre | 1991 | 2040 | 2070 | 81950 | 2731,7 |
| Octubre | 1991 | 2070 | 2100 | 112060 | 3735,3 |
| Noviembre | 1991 | 2100 | 2130 | 92040 | 3068,0 |
| Diciembre | 1991 | 2130 | 2160 | 92590 | 3086,3 |
| Enero | 1992 | 2160 | 2190 | 71860 | 2395,3 |
| Febrero | 1992 | 2190 | 2220 | 72930 | 2431,0 |
| Marzo | 1992 | 2220 | 2250 | 51530 | 1717,7 |
| Abril | 1992 | 2250 | 2280 | 100580 | 3352,7 |
| Mayo | 1992 | 2280 | 2310 | 9610 | 320,3 |
| Junio | 1992 | 2310 | 2340 | 14280 | 476,0 |
| Julio | 1992 | 2340 | 2370 | 105260 | 3508,7 |
| Agosto | 1992 | 2370 | 2400 | 84600 | 2820,0 |
| Septiembre | 1992 | 2400 | 2430 | 70130 | 2337,7 |
| Octubre | 1992 | 2430 | 2460 | 62450 | 2081,7 |
| Noviembre | 1992 | 2460 | 2490 | 26300 | 876,7 |
| Diciembre | 1992 | 2490 | 2520 | 8150 | 271,7 |
| Enero | 1993 | 2520 | 2550 | 6220 | 207,3 |
| Febrero | 1993 | 2550 | 2580 | 7820 | 260,7 |
| Marzo | 1993 | 2580 | 2610 | 10 | 0,3 |
| Abril | 1993 | 2610 | 2640 | 4390 | 146,3 |
| Mayo | 1993 | 2640 | 2670 | 4140 | 138,0 |
| Junio | 1993 | 2670 | 2700 | 33240 | 1108,0 |
| Julio | 1993 | 2700 | 2730 | 32570 | 1085,7 |
| Agosto | 1993 | 2730 | 2760 | 33060 | 1102,0 |
| Septiembre | 1993 | 2760 | 2790 | 28040 | 934,7 |

Tabla 2. - Caudales de extracción correspondientes al pozo Sereñat (punto de control 2833-8-0028)

| | | | | | |
|------------|------|------|------|---------|--------|
| Octubre | 1993 | 2790 | 2820 | 61986,5 | 2066,2 |
| Noviembre | 1993 | 2820 | 2850 | 65493 | 2183,1 |
| Diciembre | 1993 | 2850 | 2880 | 50966 | 1698,9 |
| Enero | 1994 | 2880 | 2910 | 24390 | 813,0 |
| Febrero | 1994 | 2910 | 2940 | 25260 | 842,0 |
| Marzo | 1994 | 2940 | 2970 | 28950 | 965,0 |
| Abril | 1994 | 2970 | 3000 | 21100 | 703,3 |
| Mayo | 1994 | 3000 | 3030 | 61350 | 2045,0 |
| Junio | 1994 | 3030 | 3060 | 70870 | 2362,3 |
| Julio | 1994 | 3060 | 3090 | 66080 | 2202,7 |
| Agosto | 1994 | 3090 | 3120 | 64450 | 2148,3 |
| Septiembre | 1994 | 3120 | 3150 | 41160 | 1372,0 |
| Octubre | 1994 | 3150 | 3180 | 61523 | 2050,8 |
| Noviembre | 1994 | 3180 | 3210 | 104686 | 3489,5 |
| Diciembre | 1994 | 3210 | 3240 | 93782 | 3126,1 |
| Enero | 1995 | 3240 | 3270 | 69262 | 2308,7 |
| Febrero | 1995 | 3270 | 3300 | 54989 | 1833,0 |
| Marzo | 1995 | 3300 | 3330 | 23296 | 776,5 |
| Abril | 1995 | 3330 | 3360 | 21764 | 725,5 |
| Mayo | 1995 | 3360 | 3390 | 14461 | 482,0 |
| Junio | 1995 | 3390 | 3420 | 3245 | 108,2 |
| Julio | 1995 | 3420 | 3450 | 12234 | 407,8 |
| Agosto | 1995 | 3450 | 3480 | 18104 | 603,5 |
| Septiembre | 1995 | 3480 | 3510 | 16626 | 554,2 |
| Octubre | 1995 | 3510 | 3540 | 18494 | 616,5 |
| Noviembre | 1995 | 3540 | 3570 | 11812 | 393,7 |
| Diciembre | 1995 | 3570 | 3600 | 24580 | 819,3 |
| Enero | 1996 | 3600 | 3630 | 9440 | 314,7 |
| Febrero | 1996 | 3630 | 3660 | 15916 | 530,5 |
| Marzo | 1996 | 3660 | 3690 | 10932 | 364,4 |
| Abril | 1996 | 3690 | 3720 | 12010 | 400,3 |
| Mayo | 1996 | 3720 | 3750 | 4702 | 156,7 |
| Junio | 1996 | 3750 | 3780 | 3245 | 108,2 |
| Julio | 1996 | 3780 | 3810 | 12234 | 407,8 |
| Agosto | 1996 | 3810 | 3840 | 18104 | 603,5 |
| Septiembre | 1996 | 3840 | 3870 | 16626 | 554,2 |
| Octubre | 1996 | 3870 | 3900 | 18494 | 616,5 |
| Noviembre | 1996 | 3900 | 3930 | 11812 | 393,7 |
| Diciembre | 1996 | 3930 | 3960 | 24580 | 819,3 |

ANEJO 4

RECARGA

RECARGA ACUÍFERO DE JIJONA

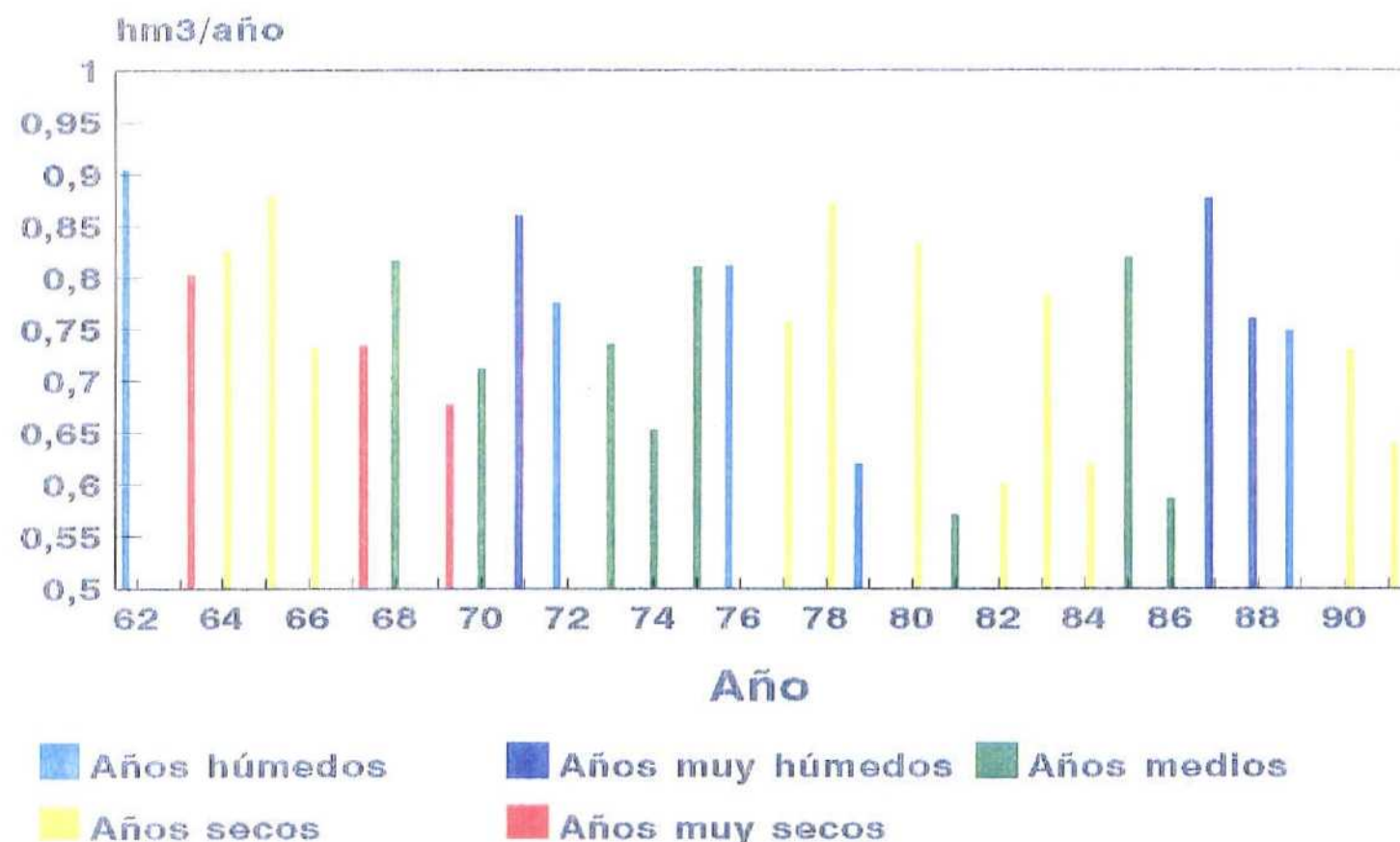


Figura 1. – Tipo de año en función de la pluviometría y valores de recarga obtenidos durante el periodo 1962-1991. Valores en hm³/año (ITGE-DPA, 1995)

RECARGA ACUÍFERO DE JIJONA

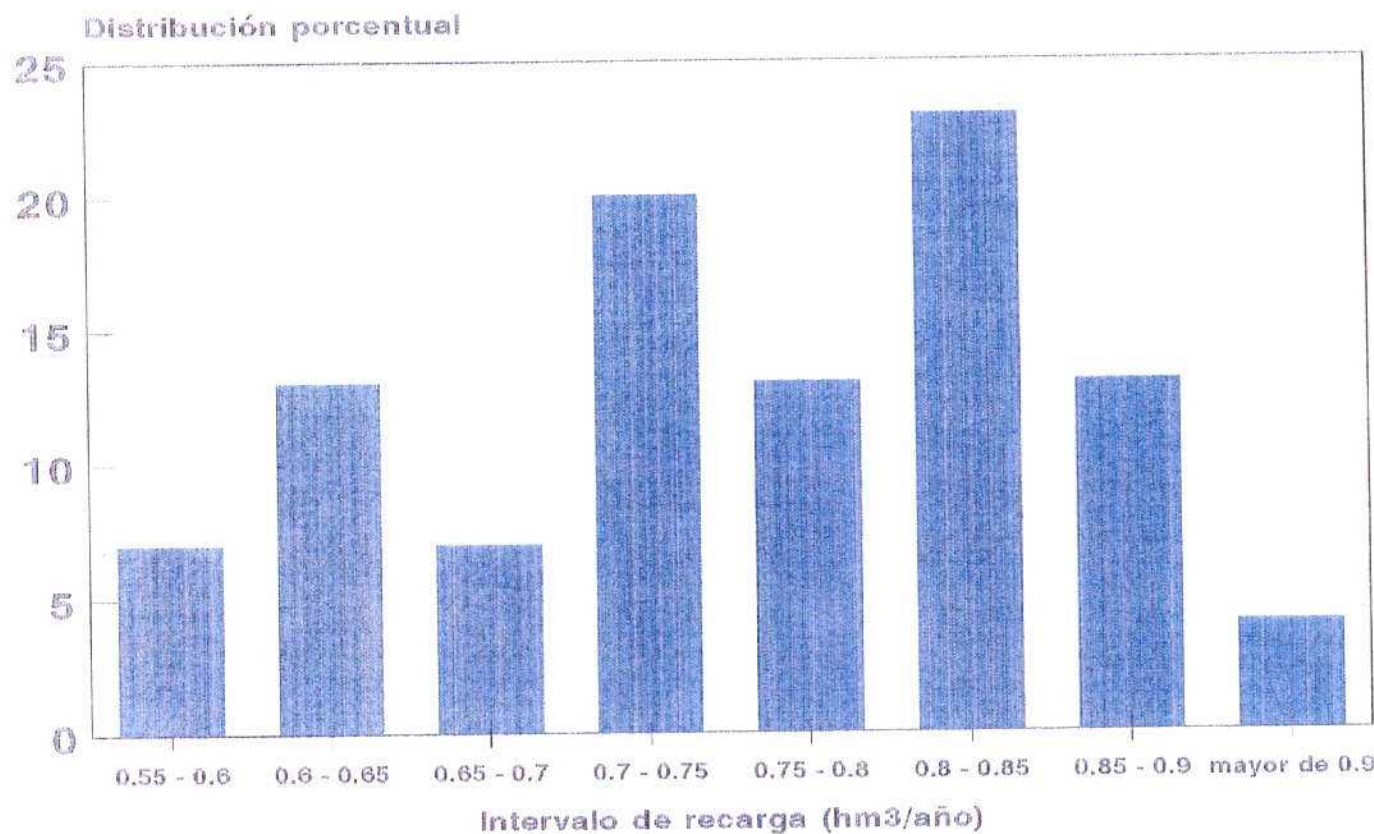


Figura 2. – Distribución de la recarga por intervalos durante el periodo 1962-1991. Valores en hm³/año (ITGE-DPA, 1995)

RECARGA ACUÍFERO DE JIJONA

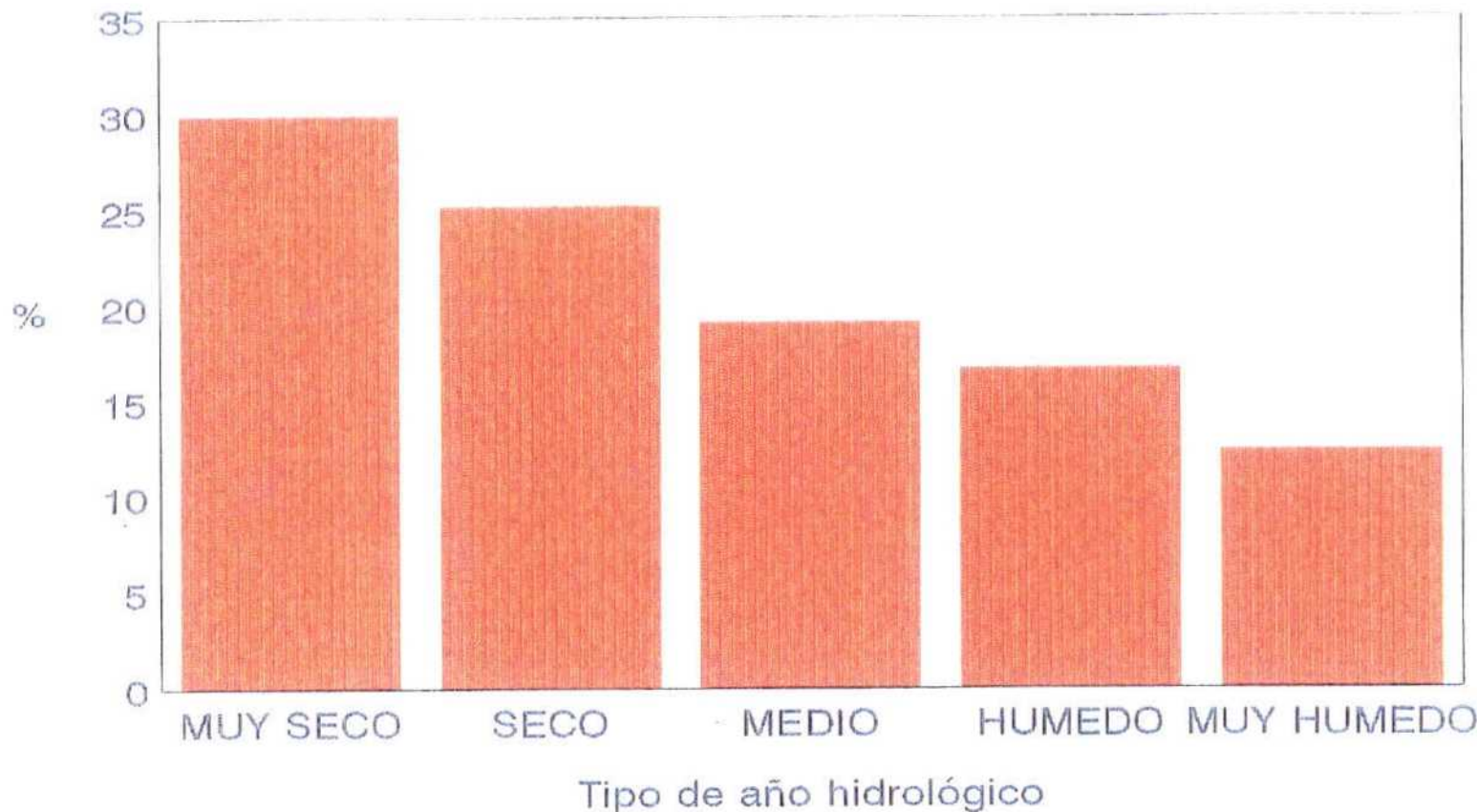


Figura 3. – Porcentaje de recarga obtenida en función del tipo de año hidrogeológico durante el periodo 1962-1991 (ITGE-DPA, 1995)

Tabla 1.- Función de recarga utilizada en la simulación, obtenida a partir de la precipitación en la estación de Tibi (8028E) aplicando un peso de 1,18 y el porcentaje de recarga dependiendo del tipo de año climático (ITGE-DPA, 1995).

| MES | AÑO | P TIBI (mm) | P JIJONA (mm) | Tipo de año | RECARGA (%) | Tiempo (días) | Tiempo (días) | RECARGA (mm) | RECARGA (mm/año) |
|------------|------|-------------|---------------|-------------|-------------|---------------|---------------|--------------|------------------|
| Enero | 1986 | 14,3 | 16,874 | Medio | 19,2 | 0 | 30 | 3,239808 | 38,877696 |
| Febrero | 1986 | 9,4 | 11,092 | Medio | 19,2 | 30 | 60 | 2,129664 | 25,555968 |
| Marzo | 1986 | 10,3 | 12,154 | Medio | 19,2 | 60 | 90 | 2,333568 | 28,002816 |
| Abril | 1986 | 23,9 | 28,202 | Medio | 19,2 | 90 | 120 | 5,414784 | 64,977408 |
| Mayo | 1986 | 5,7 | 6,726 | Medio | 19,2 | 120 | 150 | 1,291392 | 15,496704 |
| Junio | 1986 | 2,9 | 3,422 | Medio | 19,2 | 150 | 180 | 0,657024 | 7,884288 |
| Julio | 1986 | 44,8 | 52,864 | Medio | 19,2 | 180 | 210 | 10,149888 | 121,798656 |
| Agosto | 1986 | 0,5 | 0,59 | Medio | 19,2 | 210 | 240 | 0,11328 | 1,35936 |
| Septiembre | 1986 | 156,3 | 184,434 | Medio | 19,2 | 240 | 270 | 35,411328 | 424,935936 |
| Octubre | 1986 | 91,5 | 107,97 | Medio | 19,2 | 270 | 300 | 20,73024 | 248,76288 |
| Noviembre | 1986 | 23,2 | 27,376 | Medio | 19,2 | 300 | 330 | 5,256192 | 63,074304 |
| Diciembre | 1986 | 4,9 | 5,782 | Medio | 19,2 | 330 | 360 | 1,110144 | 13,321728 |
| Enero | 1987 | 34,3 | 40,474 | Muy húmedo | 12,5 | 360 | 390 | 5,05925 | 61,55420833 |
| Febrero | 1987 | 55,6 | 65,608 | Muy húmedo | 12,5 | 390 | 420 | 8,201 | 99,77883333 |
| Marzo | 1987 | 0 | 0 | Muy húmedo | 12,5 | 420 | 450 | 0 | 0 |
| Abril | 1987 | 2,1 | 2,478 | Muy húmedo | 12,5 | 450 | 480 | 0,30975 | 3,768625 |
| Mayo | 1987 | 64,5 | 76,11 | Muy húmedo | 12,5 | 480 | 510 | 9,51375 | 115,750625 |
| Junio | 1987 | 0 | 0 | Muy húmedo | 12,5 | 510 | 540 | 0 | 0 |
| Julio | 1987 | 37,1 | 43,778 | Muy húmedo | 12,5 | 540 | 570 | 5,47225 | 66,57904167 |
| Agosto | 1987 | 2,1 | 2,478 | Muy húmedo | 12,5 | 570 | 600 | 0,30975 | 3,768625 |
| Septiembre | 1987 | 20,4 | 24,072 | Muy húmedo | 12,5 | 600 | 630 | 3,009 | 36,6095 |
| Octubre | 1987 | 89,1 | 105,138 | Muy húmedo | 12,5 | 630 | 660 | 13,14225 | 159,897375 |
| Noviembre | 1987 | 209,4 | 247,092 | Muy húmedo | 12,5 | 660 | 690 | 30,8865 | 375,78575 |
| Diciembre | 1987 | 56,3 | 66,434 | Muy húmedo | 12,5 | 690 | 720 | 8,30425 | 101,0350417 |
| Enero | 1988 | 36,2 | 42,716 | Húmedo | 16,8 | 720 | 750 | 7,176288 | 87,311504 |
| Febrero | 1988 | 43,3 | 51,094 | Húmedo | 16,8 | 750 | 780 | 8,583792 | 104,436136 |
| Marzo | 1988 | 2,1 | 2,478 | Húmedo | 16,8 | 780 | 810 | 0,416304 | 5,065032 |
| Abril | 1988 | 66,4 | 78,352 | Húmedo | 16,8 | 810 | 840 | 13,163136 | 160,151488 |
| Mayo | 1988 | 76,4 | 90,152 | Húmedo | 16,8 | 840 | 870 | 15,145536 | 184,270688 |
| Junio | 1988 | 72 | 84,96 | Húmedo | 16,8 | 870 | 900 | 14,27328 | 173,65824 |
| Julio | 1988 | 0 | 0 | Húmedo | 16,8 | 900 | 930 | 0 | 0 |
| Agosto | 1988 | 3,7 | 4,366 | Húmedo | 16,8 | 930 | 960 | 0,733488 | 8,924104 |
| Septiembre | 1988 | 45,2 | 53,336 | Húmedo | 16,8 | 960 | 990 | 8,960448 | 109,018784 |
| Octubre | 1988 | 45,3 | 53,454 | Húmedo | 16,8 | 990 | 1020 | 8,980272 | 109,259976 |
| Noviembre | 1988 | 56,5 | 66,67 | Húmedo | 16,8 | 1020 | 1050 | 11,20056 | 136,27348 |
| Diciembre | 1988 | 1,1 | 1,298 | Húmedo | 16,8 | 1050 | 1080 | 0,218064 | 2,653112 |
| Enero | 1989 | 34,1 | 40,238 | Muy húmedo | 12,5 | 1080 | 1110 | 5,02975 | 61,19529167 |

Tabla 1.- Función de recarga utilizada en la simulación, obtenida a partir de la precipitación en la estación de Tibi (8028E) aplicando un peso de 1,18 y el porcentaje de recarga dependiendo del tipo de año climático (ITGE-DPA, 1995).

| | | | | | | | | | |
|------------|------|-------|---------|------------|------|------|------|-----------|-------------|
| Febrero | 1989 | 18,1 | 21,358 | Muy húmedo | 12,5 | 1110 | 1140 | 2,66975 | 32,48195833 |
| Marzo | 1989 | 102 | 120,36 | Muy húmedo | 12,5 | 1140 | 1170 | 15,045 | 183,0475 |
| Abril | 1989 | 23,6 | 27,848 | Muy húmedo | 12,5 | 1170 | 1200 | 3,481 | 42,35216667 |
| Mayo | 1989 | 36,1 | 42,598 | Muy húmedo | 12,5 | 1200 | 1230 | 5,32475 | 64,78445833 |
| Junio | 1989 | 52,5 | 61,95 | Muy húmedo | 12,5 | 1230 | 1260 | 7,74375 | 94,215625 |
| Julio | 1989 | 1 | 1,18 | Muy húmedo | 12,5 | 1260 | 1290 | 0,1475 | 1,794583333 |
| Agosto | 1989 | 14,1 | 16,638 | Muy húmedo | 12,5 | 1290 | 1320 | 2,07975 | 25,303625 |
| Septiembre | 1989 | 239,8 | 282,964 | Muy húmedo | 12,5 | 1320 | 1350 | 35,3705 | 430,3410833 |
| Octubre | 1989 | 17,2 | 20,296 | Muy húmedo | 12,5 | 1350 | 1380 | 2,537 | 30,86683333 |
| Noviembre | 1989 | 59 | 69,62 | Muy húmedo | 12,5 | 1380 | 1410 | 8,7025 | 105,8804167 |
| Diciembre | 1989 | 86 | 101,48 | Muy húmedo | 12,5 | 1410 | 1440 | 12,685 | 154,3341667 |
| Enero | 1990 | 55,2 | 65,136 | Seco | 25,3 | 1440 | 1470 | 16,479408 | 200,499464 |
| Febrero | 1990 | 0 | 0 | Seco | 25,3 | 1470 | 1500 | 0 | 0 |
| Marzo | 1990 | 17,4 | 20,532 | Seco | 25,3 | 1500 | 1530 | 5,194596 | 63,200918 |
| Abril | 1990 | 87,1 | 102,778 | Seco | 25,3 | 1530 | 1560 | 26,002834 | 316,3678137 |
| Mayo | 1990 | 43,2 | 50,976 | Seco | 25,3 | 1560 | 1590 | 12,896928 | 156,912624 |
| Junio | 1990 | 0 | 0 | Seco | 25,3 | 1590 | 1620 | 0 | 0 |
| Julio | 1990 | 1,2 | 1,416 | Seco | 25,3 | 1620 | 1650 | 0,358248 | 4,358684 |
| Agosto | 1990 | 22 | 25,96 | Seco | 25,3 | 1650 | 1680 | 6,56788 | 79,90920667 |
| Septiembre | 1990 | 7,7 | 9,086 | Seco | 25,3 | 1680 | 1710 | 2,298758 | 27,96822233 |
| Octubre | 1990 | 42,2 | 49,796 | Seco | 25,3 | 1710 | 1740 | 12,598388 | 153,2803873 |
| Noviembre | 1990 | 14,1 | 16,638 | Seco | 25,3 | 1740 | 1770 | 4,209414 | 51,214537 |
| Diciembre | 1990 | 11,5 | 13,57 | Seco | 25,3 | 1770 | 1800 | 3,43321 | 41,77072167 |
| Enero | 1991 | 79,9 | 94,282 | Muy Seco | 30 | 1800 | 1830 | 28,2846 | 344,1293 |
| Febrero | 1991 | 31,1 | 36,698 | Muy Seco | 30 | 1830 | 1860 | 11,0094 | 133,9477 |
| Marzo | 1991 | 82,9 | 97,822 | Muy Seco | 30 | 1860 | 1890 | 29,3466 | 357,0503 |
| Abril | 1991 | 9,3 | 10,974 | Muy Seco | 30 | 1890 | 1920 | 3,2922 | 40,0551 |
| Mayo | 1991 | 1 | 1,18 | Muy Seco | 30 | 1920 | 1950 | 0,354 | 4,307 |
| Junio | 1991 | 18,6 | 21,948 | Muy Seco | 30 | 1950 | 1980 | 6,5844 | 80,1102 |
| Julio | 1991 | 0,2 | 0,236 | Muy Seco | 30 | 1980 | 2010 | 0,0708 | 0,8614 |
| Agosto | 1991 | 1 | 1,18 | Muy Seco | 30 | 2010 | 2040 | 0,354 | 4,307 |
| Septiembre | 1991 | 4,7 | 5,546 | Muy Seco | 30 | 2040 | 2070 | 1,6638 | 20,2429 |
| Octubre | 1991 | 11 | 12,98 | Muy Seco | 30 | 2070 | 2100 | 3,894 | 47,377 |
| Noviembre | 1991 | 10 | 11,8 | Muy Seco | 30 | 2100 | 2130 | 3,54 | 43,07 |
| Diciembre | 1991 | 3,2 | 3,776 | Muy Seco | 30 | 2130 | 2160 | 1,1328 | 13,7824 |
| Enero | 1992 | 3,2 | 3,776 | Medio | 19,2 | 2160 | 2190 | 0,724992 | 8,820736 |
| Febrero | 1992 | 86,8 | 102,424 | Medio | 19,2 | 2190 | 2220 | 19,665408 | 239,262464 |
| Marzo | 1992 | 20,4 | 24,072 | Medio | 19,2 | 2220 | 2250 | 4,621824 | 56,232192 |

Tabla 1.- Función de recarga utilizada en la simulación, obtenida a partir de la precipitación en la estación de Tibi (8028E) aplicando un peso de 1,18 y el porcentaje de recarga dependiendo del tipo de año climático (ITGE-DPA, 1995).

| | | | | | | | | | |
|------------|------|-------|---------|----------|------|------|------|-----------|------------|
| Abril | 1992 | 5 | 5,9 | Medio | 19,2 | 2250 | 2280 | 1,1328 | 13,7824 |
| Mayo | 1992 | 26 | 30,68 | Medio | 19,2 | 2280 | 2310 | 5,89056 | 71,86848 |
| Junio | 1992 | 108,2 | 127,676 | Medio | 19,2 | 2310 | 2340 | 24,513792 | 298,251136 |
| Julio | 1992 | 2,6 | 3,068 | Medio | 19,2 | 2340 | 2370 | 0,589056 | 7,166848 |
| Agosto | 1992 | 0 | 0 | Medio | 19,2 | 2370 | 2400 | 0 | 0 |
| Septiembre | 1992 | 0 | 0 | Medio | 19,2 | 2400 | 2430 | 0 | 0 |
| Octubre | 1992 | 38,9 | 45,902 | Medio | 19,2 | 2430 | 2460 | 8,813184 | 107,227072 |
| Noviembre | 1992 | 7 | 8,26 | Medio | 19,2 | 2460 | 2490 | 1,58592 | 19,29536 |
| Diciembre | 1992 | 17,4 | 20,532 | Medio | 19,2 | 2490 | 2520 | 3,942144 | 47,962752 |
| Enero | 1993 | 0 | 0 | Húmedo | 16,8 | 2520 | 2550 | 0 | 0 |
| Febrero | 1993 | 149,4 | 176,292 | Húmedo | 16,8 | 2550 | 2580 | 29,617056 | 360,340848 |
| Marzo | 1993 | 25,4 | 29,972 | Húmedo | 16,8 | 2580 | 2610 | 5,035296 | 61,262768 |
| Abril | 1993 | 37 | 43,66 | Húmedo | 16,8 | 2610 | 2640 | 7,33488 | 89,24104 |
| Mayo | 1993 | 29,6 | 34,928 | Húmedo | 16,8 | 2640 | 2670 | 5,867904 | 71,392832 |
| Junio | 1993 | 8,6 | 10,148 | Húmedo | 16,8 | 2670 | 2700 | 1,704864 | 20,742512 |
| Julio | 1993 | 24,3 | 28,674 | Húmedo | 16,8 | 2700 | 2730 | 4,817232 | 58,609656 |
| Agosto | 1993 | 0,7 | 0,826 | Húmedo | 16,8 | 2730 | 2760 | 0,138768 | 1,688344 |
| Septiembre | 1993 | 32,2 | 37,996 | Húmedo | 16,8 | 2760 | 2790 | 6,383328 | 77,663824 |
| Octubre | 1993 | 29,6 | 34,928 | Húmedo | 16,8 | 2790 | 2820 | 5,867904 | 71,392832 |
| Noviembre | 1993 | 69,3 | 81,774 | Húmedo | 16,8 | 2820 | 2850 | 13,738032 | 167,146056 |
| Diciembre | 1993 | 24,4 | 28,792 | Húmedo | 16,8 | 2850 | 2880 | 4,837056 | 58,850848 |
| Enero | 1994 | 3,5 | 4,13 | Muy Seco | 30 | 2880 | 2910 | 1,239 | 15,0745 |
| Febrero | 1994 | 3 | 3,54 | Muy Seco | 30 | 2910 | 2940 | 1,062 | 12,921 |
| Marzo | 1994 | 0 | 0 | Muy Seco | 30 | 2940 | 2970 | 0 | 0 |
| Abril | 1994 | 61 | 71,98 | Muy Seco | 30 | 2970 | 3000 | 21,594 | 262,727 |
| Mayo | 1994 | 8,3 | 9,794 | Muy Seco | 30 | 3000 | 3030 | 2,9382 | 35,7481 |
| Junio | 1994 | 4,7 | 5,546 | Muy Seco | 30 | 3030 | 3060 | 1,6638 | 20,2429 |
| Julio | 1994 | 0 | 0 | Muy Seco | 30 | 3060 | 3090 | 0 | 0 |
| Agosto | 1994 | 0 | 0 | Muy Seco | 30 | 3090 | 3120 | 0 | 0 |
| Septiembre | 1994 | 44,7 | 52,746 | Muy Seco | 30 | 3120 | 3150 | 15,8238 | 192,5229 |
| Octubre | 1994 | 45,8 | 54,044 | Muy Seco | 30 | 3150 | 3180 | 16,2132 | 197,2606 |
| Noviembre | 1994 | 7,3 | 8,614 | Muy Seco | 30 | 3180 | 3210 | 2,5842 | 31,4411 |
| Diciembre | 1994 | 3,8 | 4,484 | Muy Seco | 30 | 3210 | 3240 | 1,3452 | 16,3666 |
| Enero | 1995 | 0 | 0 | Muy Seco | 30 | 3240 | 3270 | 0 | 0 |
| Febrero | 1995 | 10,3 | 12,154 | Muy Seco | 30 | 3270 | 3300 | 3,6462 | 44,3621 |
| Marzo | 1995 | 25,3 | 29,854 | Muy Seco | 30 | 3300 | 3330 | 8,9562 | 108,9671 |
| Abril | 1995 | 9,2 | 10,856 | Muy Seco | 30 | 3330 | 3360 | 3,2568 | 39,6244 |
| Mayo | 1995 | 2,5 | 2,95 | Muy Seco | 30 | 3360 | 3390 | 0,885 | 10,7675 |

Tabla 1.- Función de recarga utilizada en la simulación, obtenida a partir de la precipitación en la estación de Tibi (8028E) aplicando un peso de 1,18 y el porcentaje de recarga dependiendo del tipo de año climático (ITGE-DPA, 1995).

| | | | | | | | | | |
|------------|------|------|--------|----------|------|------|------|-----------|------------|
| Junio | 1995 | 46,8 | 55,224 | Muy Seco | 30 | 3390 | 3420 | 16,5672 | 201,5676 |
| Julio | 1995 | 0 | 0 | Muy Seco | 30 | 3420 | 3450 | 0 | 0 |
| Agosto | 1995 | 11,9 | 14,042 | Muy Seco | 30 | 3450 | 3480 | 4,2126 | 51,2533 |
| Septiembre | 1995 | 3,5 | 4,13 | Muy Seco | 30 | 3480 | 3510 | 1,239 | 15,0745 |
| Octubre | 1995 | 6,4 | 7,552 | Muy Seco | 30 | 3510 | 3540 | 2,2656 | 27,5648 |
| Noviembre | 1995 | 41 | 48,38 | Muy Seco | 30 | 3540 | 3570 | 14,514 | 176,587 |
| Diciembre | 1995 | 44,5 | 52,51 | Muy Seco | 30 | 3570 | 3600 | 15,753 | 191,6615 |
| Enero | 1996 | 34,2 | 40,356 | Húmedo | 16,8 | 3600 | 3630 | 6,779808 | 82,487664 |
| Febrero | 1996 | 23,5 | 27,73 | Húmedo | 16,8 | 3630 | 3660 | 4,65864 | 56,68012 |
| Marzo | 1996 | 33,2 | 39,176 | Húmedo | 16,8 | 3660 | 3690 | 6,581588 | 80,075744 |
| Abril | 1996 | 30,5 | 35,99 | Húmedo | 16,8 | 3690 | 3720 | 6,04632 | 73,56356 |
| Mayo | 1996 | 41,3 | 48,734 | Húmedo | 16,8 | 3720 | 3750 | 8,187312 | 99,612296 |
| Junio | 1996 | 6,1 | 7,198 | Húmedo | 16,8 | 3750 | 3780 | 1,209264 | 14,712712 |
| Julio | 1996 | 84,3 | 99,474 | Húmedo | 16,8 | 3780 | 3810 | 16,711632 | 203,324856 |
| Agosto | 1996 | 0 | 0 | Húmedo | 16,8 | 3810 | 3840 | 0 | 0 |
| Septiembre | 1996 | 48,1 | 56,758 | Húmedo | 16,8 | 3840 | 3870 | 9,535344 | 116,013352 |
| Octubre | 1996 | 35,1 | 41,418 | Húmedo | 16,8 | 3870 | 3900 | 6,958224 | 84,658392 |
| Noviembre | 1996 | 51,8 | 61,124 | Húmedo | 16,8 | 3900 | 3930 | 10,268832 | 124,937456 |
| Diciembre | 1996 | 22,7 | 26,786 | Húmedo | 16,8 | 3930 | 3960 | 4,500048 | 54,750584 |

ANEJO 5

SIMULACIÓN NUMÉRICA EN ESTADO TRANSITORIO

Tabla 1. - Niveles piezométricos simulados en los pozos Sereñat y Pineta durante 1986-1996 (permeabilidad y coeficiente de almacenamiento de la zona aflorante 20 m/d y 0.0022

| MES | AÑO | DIAS | PIEZOMETRICO | ESTIMADA |
|------------|------|------|--------------|----------|
| Enero | 1986 | 30 | 587,3527 | 587,4545 |
| Febrero | 1986 | 60 | 585,1613 | 585,2576 |
| Marzo | 1986 | 90 | 583,0816 | 583,1786 |
| Abril | 1986 | 120 | 582,5214 | 582,6286 |
| Mayo | 1986 | 150 | 579,9191 | 580,0127 |
| Junio | 1986 | 180 | 577,0085 | 577,0999 |
| Julio | 1986 | 210 | 578,6938 | 578,8182 |
| Agosto | 1986 | 240 | 575,4543 | 575,5456 |
| Septiembre | 1986 | 270 | 589,5472 | 589,7838 |
| Octubre | 1986 | 300 | 589,4228 | 589,753 |
| Noviembre | 1986 | 330 | 584,9528 | 585,1589 |
| Diciembre | 1986 | 360 | 578,9799 | 579,1637 |
| Enero | 1987 | 390 | 580,9251 | 581,0338 |
| Febrero | 1987 | 420 | 581,6924 | 581,812 |
| Marzo | 1987 | 450 | 578,3501 | 578,4422 |
| Abril | 1987 | 480 | 575,1693 | 575,2623 |
| Mayo | 1987 | 510 | 576,601 | 576,7249 |
| Junio | 1987 | 540 | 573,2573 | 573,3494 |
| Julio | 1987 | 570 | 572,6629 | 572,7732 |
| Agosto | 1987 | 600 | 569,476 | 569,5691 |
| Septiembre | 1987 | 630 | 567,6499 | 567,752 |
| Octubre | 1987 | 660 | 564,6822 | 564,9109 |
| Noviembre | 1987 | 690 | 573,4741 | 573,7621 |
| Diciembre | 1987 | 720 | 570,933 | 571,1455 |
| Enero | 1988 | 750 | 573,7982 | 573,9181 |
| Febrero | 1988 | 780 | 574,613 | 574,738 |
| Marzo | 1988 | 810 | 571,3328 | 571,4303 |
| Abril | 1988 | 840 | 574,4492 | 574,5894 |
| Mayo | 1988 | 870 | 578,5441 | 578,6912 |
| Junio | 1988 | 900 | 582,2003 | 582,3445 |
| Julio | 1988 | 930 | 578,7076 | 578,8039 |
| Agosto | 1988 | 960 | 575,5975 | 575,696 |
| Septiembre | 1988 | 990 | 576,6091 | 576,7352 |
| Octubre | 1988 | 1020 | 567,433 | 567,6308 |
| Noviembre | 1988 | 1050 | 566,0873 | 566,317 |
| Diciembre | 1988 | 1080 | 559,2292 | 559,422 |
| Enero | 1989 | 1110 | 560,9476 | 561,0651 |
| Febrero | 1989 | 1140 | 558,6257 | 558,7356 |
| Marzo | 1989 | 1170 | 562,5081 | 562,6597 |
| Abril | 1989 | 1200 | 560,5826 | 560,6954 |
| Mayo | 1989 | 1230 | 559,5925 | 559,7113 |
| Junio | 1989 | 1260 | 559,8151 | 559,9421 |
| Julio | 1989 | 1290 | 556,2262 | 556,3276 |
| Agosto | 1989 | 1320 | 553,6176 | 553,7254 |
| Septiembre | 1989 | 1350 | 567,6841 | 567,904 |

Tabla 1. - Niveles piezométricos simulados en los pozos Sereñat y Pineta durante 1986-1996 (permeabilidad y coeficiente de almacenamiento de la zona aflorante 20 m/d y 0.0022

| | | | | |
|------------|------|------|----------|----------|
| Octubre | 1989 | 1380 | 558,4572 | 558,668 |
| Noviembre | 1989 | 1410 | 555,5101 | 555,7409 |
| Diciembre | 1989 | 1440 | 554,5533 | 554,7977 |
| Enero | 1990 | 1470 | 561,955 | 562,1161 |
| Febrero | 1990 | 1500 | 558,1035 | 558,2095 |
| Marzo | 1990 | 1530 | 556,873 | 556,9963 |
| Abril | 1990 | 1560 | 566,0594 | 566,2527 |
| Mayo | 1990 | 1590 | 568,6585 | 568,8081 |
| Junio | 1990 | 1620 | 564,8108 | 564,9168 |
| Julio | 1990 | 1650 | 561,1547 | 561,2617 |
| Agosto | 1990 | 1680 | 554,4185 | 561,0064 |
| Septiembre | 1990 | 1710 | 554,0829 | 558,5868 |
| Octubre | 1990 | 1740 | 551,7546 | 558,431 |
| Noviembre | 1990 | 1770 | 549,1562 | 555,4797 |
| Diciembre | 1990 | 1800 | 548,7758 | 552,5753 |
| Enero | 1991 | 1830 | 557,4357 | 562,0016 |
| Febrero | 1991 | 1860 | 561,2004 | 565,0643 |
| Marzo | 1991 | 1890 | 578,7217 | 580,7361 |
| Abril | 1991 | 1920 | 580,116 | 573,5133 |
| Mayo | 1991 | 1950 | 574,7969 | 568,8859 |
| Junio | 1991 | 1980 | 568,973 | 574,2322 |
| Julio | 1991 | 2010 | 564,1613 | 569,2063 |
| Agosto | 1991 | 2040 | 556,4001 | 563,1508 |
| Septiembre | 1991 | 2070 | 555,2806 | 560,0876 |
| Octubre | 1991 | 2100 | 549,253 | 555,7789 |
| Noviembre | 1991 | 2130 | 547,6761 | 553,2253 |
| Diciembre | 1991 | 2160 | 543,2382 | 548,5239 |
| Enero | 1992 | 2190 | 540,8305 | 544,3939 |
| Febrero | 1992 | 2220 | 546,9383 | 551,4148 |
| Marzo | 1992 | 2250 | 547,4056 | 549,5835 |
| Abril | 1992 | 2280 | 539,1481 | 544,6642 |
| Mayo | 1992 | 2310 | 544,0137 | 538,9205 |
| Junio | 1992 | 2340 | 551,8483 | 547,0456 |
| Julio | 1992 | 2370 | 540,5496 | 546,2348 |
| Agosto | 1992 | 2400 | 534,8813 | 535,8686 |
| Septiembre | 1992 | 2430 | 530,5958 | 531,8049 |
| Octubre | 1992 | 2460 | 530,8542 | 532,074 |
| Noviembre | 1992 | 2490 | 528,9404 | 524,5646 |
| Diciembre | 1992 | 2520 | 525,7501 | 516,6442 |
| Enero | 1993 | 2550 | 522,1858 | 516,3004 |
| Febrero | 1993 | 2580 | 534,2382 | 530,6232 |
| Marzo | 1993 | 2610 | 534,0294 | 528,7306 |
| Abril | 1993 | 2640 | 533,2332 | 527,0125 |
| Mayo | 1993 | 2670 | 532,3718 | 526,4762 |
| Junio | 1993 | 2700 | 525,7308 | 521,3395 |
| Julio | 1993 | 2730 | 522,7913 | 518,4292 |

Tabla 1. - Niveles piezométricos simulados en los pozos Sereñat y Pineta durante 1986-1996 (permeabilidad y coeficiente de almacenamiento de la zona aflorante 20 m/d y 0.0022

| | | | | |
|------------|------|------|----------|----------|
| Agosto | 1993 | 2760 | 517,3808 | 513,0178 |
| Septiembre | 1993 | 2790 | 519,709 | 520,899 |
| Octubre | 1993 | 2820 | 514,3708 | 514,004 |
| Noviembre | 1993 | 2850 | 514,3582 | 512,9697 |
| Diciembre | 1993 | 2880 | 510,4521 | 505,9168 |
| Enero | 1994 | 2910 | 508,3529 | 503,9729 |
| Febrero | 1994 | 2940 | 504,5204 | 500,8353 |
| Marzo | 1994 | 2970 | 498,8356 | 494,0756 |
| Abril | 1994 | 3000 | 505,1245 | 499,7349 |
| Mayo | 1994 | 3030 | 498,2518 | 497,5066 |
| Junio | 1994 | 3060 | 492,9539 | 493,9336 |
| Julio | 1994 | 3090 | 487,5562 | 487,6687 |
| Agosto | 1994 | 3120 | 480,8161 | 478,9713 |
| Septiembre | 1994 | 3150 | 484,6546 | 481,1658 |
| Octubre | 1994 | 3180 | 484,8965 | 482,9868 |
| Noviembre | 1994 | 3210 | 475,0931 | 476,6132 |
| Diciembre | 1994 | 3240 | 468,2985 | 468,3191 |
| Enero | 1995 | 3270 | 464,9566 | 466,2184 |
| Febrero | 1995 | 3300 | 462,7452 | 462,4593 |
| Marzo | 1995 | 3330 | 462,9042 | 456,0619 |
| Abril | 1995 | 3360 | 452,2397 | 435,8629 |
| Mayo | 1995 | 3390 | 440,3929 | 421,1596 |
| Junio | 1995 | 3420 | 439,3409 | 422,238 |
| Julio | 1995 | 3450 | 425,0161 | 404,1885 |
| Agosto | 1995 | 3480 | 413,2253 | 392,9233 |
| Septiembre | 1995 | 3510 | 402,1107 | 384,0727 |
| Octubre | 1995 | 3540 | 390,0049 | 370,6622 |
| Noviembre | 1995 | 3570 | 385,6104 | 366,6717 |
| Diciembre | 1995 | 3600 | 381,848 | 366,7486 |
| Enero | 1996 | 3630 | 380,5342 | 371,1671 |
| Febrero | 1996 | 3660 | 374,1758 | 362,8884 |
| Marzo | 1996 | 3690 | 369,8264 | 357,9359 |
| Abril | 1996 | 3720 | 365,8807 | 355,6956 |
| Mayo | 1996 | 3750 | 362,5408 | 350,0569 |
| Junio | 1996 | 3780 | 354,0698 | 339,2975 |
| Julio | 1996 | 3810 | 351,8288 | 336,8216 |
| Agosto | 1996 | 3840 | 341,6064 | 327,5085 |
| Septiembre | 1996 | 3870 | 337,5688 | 324,6906 |
| Octubre | 1996 | 3900 | 331,1689 | 317,4874 |
| Noviembre | 1996 | 3930 | 327,9659 | 314,6625 |
| Diciembre | 1996 | 3960 | 320,2505 | 308,3451 |

Tabla 2. - Niveles piezométricos simulados en los pozos Sereñat y Pineta durante 1986-1996 (permeabilidad y coeficiente de almacenamiento de la zona aflorante 0.5 m/d y 0.0028)

| MES | ANO | DIAS | SEREÑAT | PINETA |
|------------|------|------|----------|----------|
| Enero | 1986 | 30 | 582,5839 | 582,4910 |
| Febrero | 1986 | 60 | 580,0214 | 579,9809 |
| Marzo | 1986 | 90 | 578,0628 | 578,0641 |
| Abril | 1986 | 120 | 577,6138 | 577,7296 |
| Mayo | 1986 | 150 | 575,2513 | 575,2793 |
| Junio | 1986 | 180 | 572,8321 | 572,8487 |
| Julio | 1986 | 210 | 574,5142 | 574,8106 |
| Agosto | 1986 | 240 | 571,4249 | 571,4767 |
| Septiembre | 1986 | 270 | 584,4831 | 585,5450 |
| Octubre | 1986 | 300 | 578,2097 | 578,8588 |
| Noviembre | 1986 | 330 | 573,5538 | 573,8019 |
| Diciembre | 1986 | 360 | 568,2005 | 568,3177 |
| Enero | 1987 | 390 | 575,9849 | 576,3301 |
| Febrero | 1987 | 420 | 577,3215 | 577,7485 |
| Marzo | 1987 | 450 | 574,4758 | 574,6621 |
| Abril | 1987 | 480 | 572,0441 | 572,2065 |
| Mayo | 1987 | 510 | 573,7214 | 574,1375 |
| Junio | 1987 | 540 | 570,6499 | 570,8123 |
| Julio | 1987 | 570 | 570,4650 | 570,7618 |
| Agosto | 1987 | 600 | 567,7043 | 567,8575 |
| Septiembre | 1987 | 630 | 566,3989 | 566,6133 |
| Octubre | 1987 | 660 | 558,0474 | 558,4309 |
| Noviembre | 1987 | 690 | 565,3253 | 566,2933 |
| Diciembre | 1987 | 720 | 561,9175 | 562,3386 |
| Enero | 1988 | 750 | 570,1658 | 570,6586 |
| Febrero | 1988 | 780 | 571,4252 | 571,9315 |
| Marzo | 1988 | 810 | 568,6154 | 568,8663 |
| Abril | 1988 | 840 | 571,8317 | 572,4141 |
| Mayo | 1988 | 870 | 575,2955 | 575,9611 |
| Junio | 1988 | 900 | 578,2105 | 578,8680 |
| Julio | 1988 | 930 | 574,7101 | 574,9554 |
| Agosto | 1988 | 960 | 572,2272 | 572,4420 |
| Septiembre | 1988 | 990 | 573,4572 | 573,8879 |
| Octubre | 1988 | 1020 | 558,9922 | 559,0871 |
| Noviembre | 1988 | 1050 | 557,6896 | 558,0698 |
| Diciembre | 1988 | 1080 | 551,3990 | 551,5080 |
| Enero | 1989 | 1110 | 559,3127 | 559,6784 |
| Febrero | 1989 | 1140 | 557,9594 | 558,2477 |
| Marzo | 1989 | 1170 | 561,9352 | 562,5641 |
| Abril | 1989 | 1200 | 559,9814 | 560,3059 |
| Mayo | 1989 | 1230 | 559,3293 | 559,6801 |
| Junio | 1989 | 1260 | 559,6791 | 560,0944 |
| Julio | 1989 | 1290 | 556,4745 | 556,6705 |
| Agosto | 1989 | 1320 | 554,4999 | 554,7232 |
| Septiembre | 1989 | 1350 | 567,4358 | 568,6254 |
| Octubre | 1989 | 1380 | 551,3720 | 551,5792 |

Tabla 2. - Niveles piezométricos simulados en los pozos Sereñat y Pineta durante 1986-1996 (permeabilidad y coeficiente de almacenamiento de la zona aflorante 0.5 m/d y 0.0028)

| | | | | |
|------------|------|------|----------|----------|
| Noviembre | 1989 | 1410 | 548,4932 | 548,8465 |
| Diciembre | 1989 | 1440 | 547,6086 | 548,1042 |
| Enero | 1990 | 1470 | 560,3428 | 561,1167 |
| Febrero | 1990 | 1500 | 557,0610 | 557,3611 |
| Marzo | 1990 | 1530 | 556,5375 | 556,9245 |
| Abril | 1990 | 1560 | 565,0494 | 566,0318 |
| Mayo | 1990 | 1590 | 566,5867 | 567,2540 |
| Junio | 1990 | 1620 | 562,8591 | 563,1322 |
| Julio | 1990 | 1650 | 559,9294 | 560,1569 |
| Agosto | 1990 | 1680 | 549,5141 | 559,3152 |
| Septiembre | 1990 | 1710 | 552,6845 | 559,7204 |
| Octubre | 1990 | 1740 | 546,9324 | 557,3107 |
| Noviembre | 1990 | 1770 | 545,3676 | 555,2435 |
| Diciembre | 1990 | 1800 | 547,9479 | 554,2207 |
| Enero | 1991 | 1830 | 555,0632 | 562,9661 |
| Febrero | 1991 | 1860 | 560,2945 | 566,9570 |
| Marzo | 1991 | 1890 | 574,4398 | 579,0312 |
| Abril | 1991 | 1920 | 576,3752 | 567,2700 |
| Mayo | 1991 | 1950 | 570,6202 | 561,9354 |
| Junio | 1991 | 1980 | 563,5058 | 571,2969 |
| Julio | 1991 | 2010 | 558,8790 | 566,5027 |
| Agosto | 1991 | 2040 | 549,5336 | 559,6950 |
| Septiembre | 1991 | 2070 | 552,3734 | 559,9771 |
| Octubre | 1991 | 2100 | 544,3626 | 554,4459 |
| Noviembre | 1991 | 2130 | 545,3578 | 554,1812 |
| Diciembre | 1991 | 2160 | 541,5295 | 549,9059 |
| Enero | 1992 | 2190 | 541,5884 | 547,4658 |
| Febrero | 1992 | 2220 | 548,2189 | 555,8730 |
| Marzo | 1992 | 2250 | 549,6781 | 553,6711 |
| Abril | 1992 | 2280 | 537,7997 | 546,3517 |
| Mayo | 1992 | 2310 | 547,4025 | 540,5554 |
| Junio | 1992 | 2340 | 554,4012 | 548,0297 |
| Julio | 1992 | 2370 | 538,4022 | 546,7316 |
| Agosto | 1992 | 2400 | 532,6173 | 534,1520 |
| Septiembre | 1992 | 2430 | 531,5293 | 533,4380 |
| Octubre | 1992 | 2460 | 533,6201 | 535,7891 |
| Noviembre | 1992 | 2490 | 533,0975 | 526,7986 |
| Diciembre | 1992 | 2520 | 529,6691 | 516,0690 |
| Enero | 1993 | 2550 | 529,8142 | 520,7453 |
| Febrero | 1993 | 2580 | 542,9844 | 538,0146 |
| Marzo | 1993 | 2610 | 541,9302 | 533,9636 |
| Abril | 1993 | 2640 | 539,9260 | 530,4558 |
| Mayo | 1993 | 2670 | 539,4182 | 530,3212 |
| Junio | 1993 | 2700 | 530,3652 | 523,2153 |
| Julio | 1993 | 2730 | 527,9651 | 520,9570 |
| Agosto | 1993 | 2760 | 523,2391 | 516,1290 |
| Septiembre | 1993 | 2790 | 531,1540 | 532,7074 |

Tabla 2. - Niveles piezométricos simulados en los pozos Sereñat y Pineta durante 1986-1996 (permeabilidad y coeficiente de almacenamiento de la zona aflorante 0.5 m/d y 0.0028)

| | | | | |
|------------|------|------|----------|----------|
| Octubre | 1993 | 2820 | 520,3752 | 519,5175 |
| Noviembre | 1993 | 2850 | 518,7308 | 516,5410 |
| Diciembre | 1993 | 2880 | 514,4965 | 507,4337 |
| Enero | 1994 | 2910 | 517,0497 | 510,2086 |
| Febrero | 1994 | 2940 | 514,8396 | 508,9788 |
| Marzo | 1994 | 2970 | 508,8935 | 501,3151 |
| Abril | 1994 | 3000 | 515,6498 | 507,6243 |
| Mayo | 1994 | 3030 | 506,7528 | 505,1164 |
| Junio | 1994 | 3060 | 502,1542 | 503,1878 |
| Julio | 1994 | 3090 | 497,7189 | 497,5538 |
| Agosto | 1994 | 3120 | 490,8243 | 487,7172 |
| Septiembre | 1994 | 3150 | 496,9406 | 491,8253 |
| Octubre | 1994 | 3180 | 495,3416 | 492,4853 |
| Noviembre | 1994 | 3210 | 482,5100 | 484,3291 |
| Diciembre | 1994 | 3240 | 477,0313 | 476,7396 |
| Enero | 1995 | 3270 | 479,4012 | 481,1617 |
| Febrero | 1995 | 3300 | 479,3323 | 478,9624 |
| Marzo | 1995 | 3330 | 479,5331 | 469,4599 |
| Abril | 1995 | 3360 | 462,5568 | 437,5305 |
| Mayo | 1995 | 3390 | 450,8056 | 420,9061 |
| Junio | 1995 | 3420 | 454,0635 | 427,4977 |
| Julio | 1995 | 3450 | 437,2933 | 404,4649 |
| Agosto | 1995 | 3480 | 427,1228 | 394,8617 |
| Septiembre | 1995 | 3510 | 420,2341 | 391,2356 |
| Octubre | 1995 | 3540 | 409,3677 | 378,3550 |
| Noviembre | 1995 | 3570 | 407,9122 | 377,7743 |
| Diciembre | 1995 | 3600 | 406,4777 | 382,1517 |
| Enero | 1996 | 3630 | 412,9908 | 397,4555 |
| Febrero | 1996 | 3660 | 405,9811 | 387,6449 |
| Marzo | 1996 | 3690 | 403,0415 | 383,9016 |
| Abril | 1996 | 3720 | 401,3726 | 384,8390 |
| Mayo | 1996 | 3750 | 398,2638 | 378,3980 |
| Junio | 1996 | 3780 | 389,4347 | 365,8728 |
| Julio | 1996 | 3810 | 386,4978 | 362,7665 |
| Agosto | 1996 | 3840 | 377,2148 | 354,4200 |
| Septiembre | 1996 | 3870 | 375,6848 | 354,9618 |
| Octubre | 1996 | 3900 | 369,5885 | 347,6191 |
| Noviembre | 1996 | 3930 | 368,6250 | 347,3458 |
| Diciembre | 1996 | 3960 | 361,4663 | 342,1139 |

ANEJO 6

*EVALUACIÓN DE LAS RESERVAS TOTALES:
CÁLCULO DEL VOLUMEN DE ROCA SATURADA*

ANEJO 6.1

*CÁLCULO DEL VOLUMEN DE ROCA SATURADA
(HIPÓTESIS 1)*

Tabla 1. – Volumen de roca saturada obtenido para la hipótesis 1 (acuífero libre) para cada una de las celdas del modelo numérico por debajo de la cota 200 m (V_1 = volumen resultante de restar una determinada cota el muro del acuífero; V_2 = volumen resultante de restar la misma cota al techo del acuífero).

| X_UTM | Y_UTM | ELEVATION | WATERLEVEL | V1 | V1 (m3) | V2 | V2 (m3) |
|--------|---------|-----------|------------|------|-----------|------|-----------|
| 715250 | 4271250 | 322.1153 | 311 | -111 | -27750000 | -122 | -30528825 |
| 715750 | 4271750 | 322.9861 | 295 | -95 | -23750000 | -123 | -30746525 |
| 715750 | 4271250 | 320.2505 | 310 | -110 | -27500000 | -120 | -30062625 |
| 715750 | 4269750 | 318.0544 | 300 | -100 | -25000000 | -118 | -29513600 |
| 716250 | 4272750 | 323.3772 | 302 | -102 | -25500000 | -123 | -30844300 |
| 716250 | 4272250 | 322.9649 | 292 | -92 | -23000000 | -123 | -30741225 |
| 716250 | 4271750 | 322.3045 | 200 | 0 | 0 | -122 | -30576125 |
| 716250 | 4271250 | 321.1693 | 176 | 24 | 5912166.1 | -121 | -30292325 |
| 716750 | 4273750 | 323.8772 | 230 | -30 | -7500000 | -124 | -30969300 |
| 716750 | 4273250 | 323.6497 | 189 | 11 | 2784025.2 | -124 | -30912425 |
| 717250 | 4274250 | 323.9487 | 217 | -17 | -4219327 | -124 | -30987175 |
| 718250 | 4273750 | 323.6729 | 242 | -42 | -10452531 | -124 | -30918225 |
| 719750 | 4273250 | 323.6288 | 300 | -100 | -25000000 | -124 | -30907200 |

Tabla 2. – Volumen de roca saturada obtenido para la hipótesis 1 (acuífero libre) para cada una de las celdas del modelo numérico por debajo de la cota 225 m (V_1 = volumen resultante de restar una determinada cota el muro del acuífero; V_2 = volumen resultante de restar la misma cota al techo del acuífero).

| XUTM | YUTM | ELEVATION | MURO | V1 | V1 (m) | V2 | V2 (m3) |
|--------|---------|-----------|------|-----|------------|-----|-----------|
| 715250 | 4271250 | 322.1153 | 311 | -86 | -21500000 | -97 | -24278825 |
| 715750 | 4271750 | 322.9861 | 295 | -70 | -17500000 | -98 | -24496525 |
| 715750 | 4271250 | 320.2505 | 310 | -85 | -21250000 | -95 | -23812625 |
| 715750 | 4269750 | 318.0544 | 300 | -75 | -18750000 | -93 | -23263600 |
| 716250 | 4272750 | 323.3772 | 302 | -77 | -19250000 | -98 | -24594300 |
| 716250 | 4272250 | 322.9649 | 292 | -67 | -16750000 | -98 | -24491225 |
| 716250 | 4271750 | 322.3045 | 200 | 25 | 6250000 | -97 | -24326125 |
| 716250 | 4271250 | 321.1693 | 176 | 49 | 12162166.1 | -96 | -24042325 |
| 716750 | 4273750 | 323.8772 | 230 | -5 | -1250000 | -99 | -24719300 |
| 716750 | 4273250 | 323.6497 | 189 | 36 | 9034025.25 | -99 | -24662425 |
| 717250 | 4274250 | 323.9487 | 217 | 8 | 2030673.07 | -99 | -24737175 |
| 718250 | 4273750 | 323.6729 | 242 | -17 | -4202531.3 | -99 | -24668225 |
| 719750 | 4273250 | 323.6288 | 300 | -75 | -18750000 | -99 | -24657200 |

Tabla 3. – Volumen de roca saturada obtenido para la hipótesis 1 (acuífero libre) para cada una de las celdas del modelo numérico por debajo de la cota 250 m (V_1 = volumen resultante de restar una determinada cota el muro del acuífero; V_2 = volumen resultante de restar la misma cota al techo del acuífero).

| XUTM | YUTM | EW (m) | NS (m) | MUNI | V1 | V1 (m3) | V2 | V2 (m3) |
|--------|---------|----------|--------|------|-----|------------|-----|-----------|
| 715250 | 4271250 | 322.1153 | | 311 | -61 | -15250000 | -72 | -18028825 |
| 715750 | 4271750 | 322.9861 | | 295 | -45 | -11250000 | -73 | -18246525 |
| 715750 | 4271250 | 320.2505 | | 310 | -60 | -15000000 | -70 | -17562625 |
| 715750 | 4269750 | 318.0544 | | 300 | -50 | -12500000 | -68 | -17013600 |
| 716250 | 4272750 | 323.3772 | | 302 | -52 | -13000000 | -73 | -18344300 |
| 716250 | 4272250 | 322.9649 | | 292 | -42 | -10500000 | -73 | -18241225 |
| 716250 | 4271750 | 322.3045 | | 200 | 50 | 12500000 | -72 | -18076125 |
| 716250 | 4271250 | 321.1693 | | 176 | 74 | 18412166.1 | -71 | -17792325 |
| 716750 | 4273750 | 323.8772 | | 230 | 20 | 5000000 | -74 | -18469300 |
| 716750 | 4273250 | 323.6497 | | 189 | 61 | 15284025.2 | -74 | -18412425 |
| 717250 | 4274250 | 323.9487 | | 217 | 33 | 8280673.07 | -74 | -18487175 |
| 718250 | 4273750 | 323.6729 | | 242 | 8 | 2047468.72 | -74 | -18418225 |
| 719750 | 4273250 | 323.6288 | | 300 | -50 | -12500000 | -74 | -18407200 |

Tabla 4. – Volumen de roca saturada obtenido para la hipótesis 1 (acuífero libre) para cada una de las celdas del modelo numérico por debajo de la cota 275 m (V_1 = volumen resultante de restar una determinada cota el muro del acuífero; V_2 = volumen resultante de restar la misma cota al techo del acuífero).

| XUTM | YUTM | ZUTM (m) | MURO | V1 | V1 (m3) | V2 | V2 (m3) |
|--------|---------|----------|------|-----|------------|-----|-----------|
| 715250 | 4271250 | 322.1153 | 311 | -36 | -9000000 | -47 | -11778825 |
| 715750 | 4271750 | 322.9861 | 295 | -20 | -5000000 | -48 | -11996525 |
| 715750 | 4271250 | 320.2505 | 310 | -35 | -8750000 | -45 | -11312625 |
| 715750 | 4269750 | 318.0544 | 300 | -25 | -6250000 | -43 | -10763600 |
| 716250 | 4272750 | 323.3772 | 302 | -27 | -6750000 | -48 | -12094300 |
| 716250 | 4272250 | 322.9649 | 292 | -17 | -4250000 | -48 | -11991225 |
| 716250 | 4271750 | 322.3045 | 200 | 75 | 18750000 | -47 | -11826125 |
| 716250 | 4271250 | 321.1693 | 176 | 99 | 24662166.1 | -46 | -11542325 |
| 716750 | 4273750 | 323.8772 | 230 | 45 | 11250000 | -49 | -12219300 |
| 716750 | 4273250 | 323.6497 | 189 | 86 | 21534025.2 | -49 | -12162425 |
| 717250 | 4274250 | 323.9487 | 217 | 58 | 14530673.1 | -49 | -12237175 |
| 718250 | 4273750 | 323.6729 | 242 | 33 | 8297468.72 | -49 | -12168225 |
| 719750 | 4273250 | 323.6288 | 300 | -25 | -6250000 | -49 | -12157200 |

Tabla 5. – Volumen de roca saturada obtenido para la hipótesis 1 (acuífero libre) para cada una de las celdas del modelo numérico por debajo de la cota 300 m (V_1 = volumen resultante de restar una determinada cota el muro del acuífero; V_2 = volumen resultante de restar la misma cota al techo del acuífero).

| XUTM | YUTM | PUNTO (m) | MURO | V_1 | $V_1 (m^3)$ | V_2 | $V_2 (m^3)$ |
|--------|---------|-----------|------|-------|-------------|-------|-------------|
| 715250 | 4271250 | 322.1153 | 311 | -11 | -2750000 | -22 | -5528825 |
| 715750 | 4271750 | 322.9861 | 295 | 5 | 1250000 | -23 | -5746525 |
| 715750 | 4271250 | 320.2505 | 310 | -10 | -2500000 | -20 | -5062625 |
| 715750 | 4269750 | 318.0544 | 300 | 0 | 0 | -18 | -4513600 |
| 716250 | 4272750 | 323.3772 | 302 | -2 | -500000 | -23 | -5844300 |
| 716250 | 4272250 | 322.9649 | 292 | 8 | 2000000 | -23 | -5741225 |
| 716250 | 4271750 | 322.3045 | 200 | 100 | 25000000 | -22 | -5576125 |
| 716250 | 4271250 | 321.1693 | 176 | 124 | 30912166.1 | -21 | -5292325 |
| 716750 | 4273750 | 323.8772 | 230 | 70 | 17500000 | -24 | -5969300 |
| 716750 | 4273250 | 323.6497 | 189 | 111 | 27784025.2 | -24 | -5912425 |
| 717250 | 4274250 | 323.9487 | 217 | 83 | 20780673.1 | -24 | -5987175 |
| 718250 | 4273750 | 323.6729 | 242 | 58 | 14547468.7 | -24 | -5918225 |
| 719750 | 4273250 | 323.6288 | 300 | 0 | 0 | -24 | -5907200 |

139774333

Tabla 6. – Volumen de roca saturada obtenido para la hipótesis 1 (acuífero libre) para cada una de las celdas del modelo numérico por debajo de la cota 325 m (V_1 = volumen resultante de restar una determinada cota el muro del acuífero; V_2 = volumen resultante de restar la misma cota al techo del acuífero).

| XUTM | YUTM | PUNTO (m) | MURO | V_1 | $V_1 (m^3)$ | V_2 | $V_2 (m^3)$ |
|--------|---------|-----------|------|-------|-------------|-------|-------------|
| 715250 | 4271250 | 322.1153 | 311 | 14 | 3500000 | 3 | 721175 |
| 715750 | 4271750 | 322.9861 | 295 | 30 | 7500000 | 2 | 503475 |
| 715750 | 4271250 | 320.2505 | 310 | 15 | 3750000 | 5 | 1187375 |
| 715750 | 4269750 | 318.0544 | 300 | 25 | 6250000 | 7 | 1736400 |
| 716250 | 4272750 | 323.3772 | 302 | 23 | 5750000 | 2 | 405700 |
| 716250 | 4272250 | 322.9649 | 292 | 33 | 8250000 | 2 | 508775 |
| 716250 | 4271750 | 322.3045 | 200 | 125 | 31250000 | 3 | 673875 |
| 716250 | 4271250 | 321.1693 | 176 | 149 | 37162166.1 | 4 | 957675 |
| 716750 | 4273750 | 323.8772 | 230 | 95 | 23750000 | 1 | 280700 |
| 716750 | 4273250 | 323.6497 | 189 | 136 | 34034025.2 | 1 | 337575 |
| 717250 | 4274250 | 323.9487 | 217 | 108 | 27030673.1 | 1 | 262825 |
| 718250 | 4273750 | 323.6729 | 242 | 83 | 20797468.7 | 1 | 331775 |
| 719750 | 4273250 | 323.6288 | 300 | 25 | 6250000 | 1 | 342800 |

215274333

8250125

Tabla 7. – Volumen de roca saturada obtenido para la hipótesis 1 (acuífero confinado) para cada una de las celdas del modelo numérico por debajo de la cota 100 m (V_1 = volumen resultante de restar una determinada cota el muro del acuífero; V_2 = volumen resultante de restar la misma cota al techo del acuífero).

| XUTM | YUTM | TECHO | MURO | V1 | V1 (m3) | V2 | V2 (m3) |
|--------|---------|-------|------|------|-----------|------|-----------|
| 715750 | 4270750 | 275 | 235 | -135 | -33750000 | -175 | -43750000 |
| 715750 | 4270250 | 316 | 276 | -176 | -44000000 | -216 | -54000000 |
| 716250 | 4270750 | 223 | 153 | -53 | -13178057 | -123 | -30750000 |
| 716250 | 4270250 | 278 | 208 | -108 | -27028549 | -178 | -44500000 |
| 716750 | 4272750 | 310 | 112 | -12 | -3086034 | -210 | -52500000 |
| 716750 | 4272250 | 300 | 84 | 16 | 4043671 | -200 | -50000000 |
| 716750 | 4271750 | 205 | 84 | 16 | 4046226 | -105 | -26250000 |
| 716750 | 4271250 | 108 | 86 | 14 | 3483986 | -8 | -2000000 |
| 716750 | 4270750 | 150 | 89 | 11 | 2776499 | -50 | -12500000 |
| 716750 | 4270250 | 235 | 89 | 11 | 2750000 | -135 | -33662352 |
| 717250 | 4273750 | 250 | 156 | -56 | -13922475 | -150 | -37500000 |
| 717250 | 4273250 | 161 | 111 | -11 | -2848521 | -61 | -15348514 |
| 717250 | 4272750 | 150 | 100 | 0 | 18 | -50 | -12499999 |
| 717250 | 4272250 | 144 | 94 | 6 | 1494404 | -44 | -11005595 |
| 717250 | 4271750 | 186 | 136 | -36 | -8878121 | -86 | -21378134 |
| 717250 | 4271250 | 181 | 131 | -31 | -7798583 | -81 | -20298580 |
| 717250 | 4270750 | 144 | 94 | 6 | 1421322 | -44 | -11078683 |
| 717750 | 4274250 | 235 | 185 | -85 | -21357675 | -135 | -33857662 |
| 717750 | 4273750 | 225 | 175 | -75 | -18691710 | -125 | -31191711 |
| 717750 | 4273250 | 176 | 126 | -26 | -6429875 | -76 | -18929876 |
| 717750 | 4272750 | 168 | 118 | -18 | -4553350 | -68 | -17053318 |
| 717750 | 4272250 | 230 | 190 | -90 | -22500000 | -130 | -32500000 |
| 717750 | 4271750 | 230 | 190 | -90 | -22500000 | -130 | -32500000 |
| 717750 | 4271250 | 190 | 150 | -50 | -12500000 | -90 | -22500000 |
| 717750 | 4270750 | 170 | 120 | -20 | -5034665 | -70 | -17534650 |
| 718250 | 4273250 | 250 | 175 | -75 | -18655623 | -150 | -37500000 |
| 718250 | 4272750 | 246 | 196 | -96 | -24123491 | -146 | -36623483 |
| 718250 | 4272250 | 240 | 200 | -100 | -25000000 | -140 | -35000000 |
| 718250 | 4271750 | 240 | 200 | -100 | -25000000 | -140 | -35000000 |
| 718250 | 4271250 | 230 | 180 | -80 | -20000000 | -130 | -32500000 |
| 718250 | 4270750 | 228 | 178 | -78 | -19509757 | -128 | -32009716 |
| 718750 | 4273250 | 270 | 217 | -117 | -29156989 | -170 | -42500000 |
| 718750 | 4272750 | 229 | 179 | -79 | -19742771 | -129 | -32242766 |
| 718750 | 4272250 | 222 | 172 | -72 | -17910190 | -122 | -30410205 |
| 718750 | 4271750 | 250 | 190 | -90 | -22500000 | -150 | -37500000 |
| 719250 | 4272750 | 275 | 180 | -80 | -20000000 | -175 | -43750000 |
| 719250 | 4272250 | 230 | 170 | -70 | -17500000 | -130 | -32500000 |

20016128

Tabla 8. – Volumen de roca saturada obtenido para la hipótesis 1 (acuífero confinado) para cada una de las celdas del modelo numérico por debajo de la cota 125 m (V_1 = volumen resultante de restar una determinada cota el muro del acuífero; V_2 = volumen resultante de restar la misma cota al techo del acuífero).

| XUTM | YUTM | TECHO | MURG | V1 | V1 (m3) | V2 | V2 (m3) |
|--------|---------|-------|------|------|-----------|------|-----------|
| 715750 | 4270750 | 275 | 235 | -110 | -27500000 | -150 | -37500000 |
| 715750 | 4270250 | 316 | 276 | -151 | -37750000 | -191 | -47750000 |
| 716250 | 4270750 | 223 | 153 | -28 | -6928057 | -98 | -24500000 |
| 716250 | 4270250 | 278 | 208 | -83 | -20778549 | -153 | -38250000 |
| 716750 | 4272750 | 310 | 112 | 13 | 3163966 | -185 | -46250000 |
| 716750 | 4272250 | 300 | 84 | 41 | 10293671 | -175 | -43750000 |
| 716750 | 4271750 | 205 | 84 | 41 | 10296226 | -80 | -20000000 |
| 716750 | 4271250 | 108 | 86 | 39 | 9733986 | 17 | 4250000 |
| 716750 | 4270750 | 150 | 89 | 36 | 9026499 | -25 | -6250000 |
| 716750 | 4270250 | 235 | 89 | 36 | 9000000 | -110 | -27412352 |
| 717250 | 4273750 | 250 | 156 | -31 | -7672475 | -125 | -31250000 |
| 717250 | 4273250 | 161 | 111 | 14 | 3401479 | -36 | -9098514 |
| 717250 | 4272750 | 150 | 100 | 25 | 6250018 | -25 | -6249999 |
| 717250 | 4272250 | 144 | 94 | 31 | 7744404 | -19 | -4755595 |
| 717250 | 4271750 | 186 | 136 | -11 | -2628121 | -61 | -15128134 |
| 717250 | 4271250 | 181 | 131 | -6 | -1548583 | -56 | -14048580 |
| 717250 | 4270750 | 144 | 94 | 31 | 7671322 | -19 | -4828683 |
| 717750 | 4274250 | 235 | 185 | -60 | -15107675 | -110 | -27607662 |
| 717750 | 4273750 | 225 | 175 | -50 | -12441710 | -100 | -24941711 |
| 717750 | 4273250 | 176 | 126 | -1 | -179875 | -51 | -12679876 |
| 717750 | 4272750 | 168 | 118 | 7 | 1696650 | -43 | -10803318 |
| 717750 | 4272250 | 230 | 190 | -65 | -16250000 | -105 | -26250000 |
| 717750 | 4271750 | 230 | 190 | -65 | -16250000 | -105 | -26250000 |
| 717750 | 4271250 | 190 | 150 | -25 | -6250000 | -65 | -16250000 |
| 717750 | 4270750 | 170 | 120 | 5 | 1215335 | -45 | -11284650 |
| 718250 | 4273250 | 250 | 175 | -50 | -12405623 | -125 | -31250000 |
| 718250 | 4272750 | 246 | 196 | -71 | -17873491 | -121 | -30373483 |
| 718250 | 4272250 | 240 | 200 | -75 | -18750000 | -115 | -28750000 |
| 718250 | 4271750 | 240 | 200 | -75 | -18750000 | -115 | -28750000 |
| 718250 | 4271250 | 230 | 180 | -55 | -13750000 | -105 | -26250000 |
| 718250 | 4270750 | 228 | 178 | -53 | -13259757 | -103 | -25759716 |
| 718750 | 4273250 | 270 | 217 | -92 | -22906989 | -145 | -36250000 |
| 718750 | 4272750 | 229 | 179 | -54 | -13492771 | -104 | -25992766 |
| 718750 | 4272250 | 222 | 172 | -47 | -11660190 | -97 | -24160205 |
| 718750 | 4271750 | 250 | 190 | -65 | -16250000 | -125 | -31250000 |
| 719250 | 4272750 | 275 | 180 | -55 | -13750000 | -150 | -37500000 |
| 719250 | 4272250 | 230 | 170 | -45 | -11250000 | -105 | -26250000 |

Tabla 9. – Volumen de roca saturada obtenido para la hipótesis 1 (acuífero confinado) para cada una de las celdas del modelo numérico por debajo de la cota 150 m (V_1 = volumen resultante de restar una determinada cota el muro del acuífero; V_2 = volumen resultante de restar la misma cota al techo del acuífero).

| XUTM | YUTM | TECHO | MURO | V1 | V1 (m ³) | V2 | V2 (m ³) |
|--------|---------|-------|------|------|----------------------|------|----------------------|
| 715750 | 4270750 | 275 | 235 | -85 | -21250000 | -125 | -31250000 |
| 715750 | 4270250 | 316 | 276 | -126 | -31500000 | -166 | -41500000 |
| 716250 | 4270750 | 223 | 153 | -3 | -678057 | -73 | -18250000 |
| 716250 | 4270250 | 278 | 208 | -58 | -14528549 | -128 | -32000000 |
| 716750 | 4272750 | 310 | 112 | 38 | 9413966 | -160 | -40000000 |
| 716750 | 4272250 | 300 | 84 | 66 | 16543671 | -150 | -37500000 |
| 716750 | 4271750 | 205 | 84 | 66 | 16546226 | -55 | -13750000 |
| 716750 | 4271250 | 108 | 86 | 64 | 15983986 | 42 | 10500000 |
| 716750 | 4270750 | 150 | 89 | 61 | 15276499 | 0 | 0 |
| 716750 | 4270250 | 235 | 89 | 61 | 15250000 | -85 | -21162352 |
| 717250 | 4273750 | 250 | 156 | -6 | -1422475 | -100 | -25000000 |
| 717250 | 4273250 | 161 | 111 | 39 | 9651479 | -11 | -2848514 |
| 717250 | 4272750 | 150 | 100 | 50 | 12500018 | 0 | 1 |
| 717250 | 4272250 | 144 | 94 | 56 | 13994404 | 6 | 1494405 |
| 717250 | 4271750 | 186 | 136 | 14 | 3621879 | -36 | -8878134 |
| 717250 | 4271250 | 181 | 131 | 19 | 4701417 | -31 | -7798580 |
| 717250 | 4270750 | 144 | 94 | 56 | 13921322 | 6 | 1421317 |
| 717750 | 4274250 | 235 | 185 | -35 | -8857675 | -85 | -21357662 |
| 717750 | 4273750 | 225 | 175 | -25 | -6191710 | -75 | -18691711 |
| 717750 | 4273250 | 176 | 126 | 24 | 6070125 | -26 | -6429876 |
| 717750 | 4272750 | 168 | 118 | 32 | 7946650 | -18 | -4553318 |
| 717750 | 4272250 | 230 | 190 | -40 | -10000000 | -80 | -20000000 |
| 717750 | 4271750 | 230 | 190 | -40 | -10000000 | -80 | -20000000 |
| 717750 | 4271250 | 190 | 150 | 0 | 0 | -40 | -10000000 |
| 717750 | 4270750 | 170 | 120 | 30 | 7465335 | -20 | -5034650 |
| 718250 | 4273250 | 250 | 175 | -25 | -6155623 | -100 | -25000000 |
| 718250 | 4272750 | 246 | 196 | -46 | -11623491 | -96 | -24123483 |
| 718250 | 4272250 | 240 | 200 | -50 | -12500000 | -90 | -22500000 |
| 718250 | 4271750 | 240 | 200 | -50 | -12500000 | -90 | -22500000 |
| 718250 | 4271250 | 230 | 180 | -30 | -7500000 | -80 | -20000000 |
| 718250 | 4270750 | 228 | 178 | -28 | -7009757 | -78 | -19509716 |
| 718750 | 4273250 | 270 | 217 | -67 | -16656989 | -120 | -30000000 |
| 718750 | 4272750 | 229 | 179 | -29 | -7242771 | -79 | -19742766 |
| 718750 | 4272250 | 222 | 172 | -22 | -5410190 | -72 | -17910205 |
| 718750 | 4271750 | 250 | 190 | -40 | -10000000 | -100 | -25000000 |
| 719250 | 4272750 | 275 | 180 | -30 | -7500000 | -125 | -31250000 |
| 719250 | 4272250 | 230 | 170 | -20 | -5000000 | -80 | -20000000 |

168886979

13415723

Tabla 10. – Volumen de roca saturada obtenido para la hipótesis 1 (acuífero confinado) para cada una de las celdas del modelo numérico por debajo de la cota 175 m (V_1 = volumen resultante de restar una determinada cota el muro del acuífero; V_2 = volumen resultante de restar la misma cota al techo del acuífero).

| XUTM | YUTM | TECHO | MUNIC | V1 | V1 (m3) | V2 | V2 (m3) |
|-------------|-------------|--------------|--------------|-----------|----------------|-----------|----------------|
| 715750 | 4270750 | 275 | 235 | -60 | -15000000 | -100 | -25000000 |
| 715750 | 4270250 | 316 | 276 | -101 | -25250000 | -141 | -35250000 |
| 716250 | 4270750 | 223 | 153 | 22 | 5571943 | -48 | -12000000 |
| 716250 | 4270250 | 278 | 208 | -33 | -8278549 | -103 | -25750000 |
| 716750 | 4272750 | 310 | 112 | 63 | 15663966 | -135 | -33750000 |
| 716750 | 4272250 | 300 | 84 | 91 | 22793671 | -125 | -31250000 |
| 716750 | 4271750 | 205 | 84 | 91 | 22796226 | -30 | -7500000 |
| 716750 | 4271250 | 108 | 86 | 89 | 22233986 | 67 | 16750000 |
| 716750 | 4270750 | 150 | 89 | 86 | 21526499 | 25 | 6250000 |
| 716750 | 4270250 | 235 | 89 | 86 | 21500000 | -60 | -14912352 |
| 717250 | 4273750 | 250 | 156 | 19 | 4827525 | -75 | -18750000 |
| 717250 | 4273250 | 161 | 111 | 64 | 15901479 | 14 | 3401486 |
| 717250 | 4272750 | 150 | 100 | 75 | 18750018 | 25 | 6250001 |
| 717250 | 4272250 | 144 | 94 | 81 | 20244404 | 31 | 7744405 |
| 717250 | 4271750 | 186 | 136 | 39 | 9871879 | -11 | -2628134 |
| 717250 | 4271250 | 181 | 131 | 44 | 10951417 | -6 | -1548580 |
| 717250 | 4270750 | 144 | 94 | 81 | 20171322 | 31 | 7671317 |
| 717750 | 4274250 | 235 | 185 | -10 | -2607675 | -60 | -15107662 |
| 717750 | 4273750 | 225 | 175 | 0 | 58290 | -50 | -12441711 |
| 717750 | 4273250 | 176 | 126 | 49 | 12320125 | -1 | -179876 |
| 717750 | 4272750 | 168 | 118 | 57 | 14196650 | 7 | 1696682 |
| 717750 | 4272250 | 230 | 190 | -15 | -3750000 | -55 | -13750000 |
| 717750 | 4271750 | 230 | 190 | -15 | -3750000 | -55 | -13750000 |
| 717750 | 4271250 | 190 | 150 | 25 | 6250000 | -15 | -3750000 |
| 717750 | 4270750 | 170 | 120 | 55 | 13715335 | 5 | 1215350 |
| 718250 | 4273250 | 250 | 175 | 0 | 94377 | -75 | -18750000 |
| 718250 | 4272750 | 246 | 196 | -21 | -5373491 | -71 | -17873483 |
| 718250 | 4272250 | 240 | 200 | -25 | -6250000 | -65 | -16250000 |
| 718250 | 4271750 | 240 | 200 | -25 | -6250000 | -65 | -16250000 |
| 718250 | 4271250 | 230 | 180 | -5 | -1250000 | -55 | -13750000 |
| 718250 | 4270750 | 228 | 178 | -3 | -759757 | -53 | -13259716 |
| 718750 | 4273250 | 270 | 217 | -42 | -10406989 | -95 | -23750000 |
| 718750 | 4272750 | 229 | 179 | -4 | -992771 | -54 | -13492766 |
| 718750 | 4272250 | 222 | 172 | 3 | 839810 | -47 | -11660205 |
| 718750 | 4271750 | 250 | 190 | -15 | -3750000 | -75 | -18750000 |
| 719250 | 4272750 | 275 | 180 | -5 | -1250000 | -100 | -25000000 |
| 719250 | 4272250 | 230 | 170 | 5 | 1250000 | -55 | -13750000 |

281528923

50979242

Tabla 11. – Volumen de roca saturada obtenido para la hipótesis 1 (acuífero confinado) para cada una de las celdas del modelo numérico por debajo de la cota 200 m (V_1 = volumen resultante de restar una determinada cota el muro del acuífero; V_2 = volumen resultante de restar la misma cota al techo del acuífero).

| XUTM | YUTM | TECHO | MIREO | V1 | V1 (m ³) | V2 | V2 (m ³) |
|--------|---------|-------|-------|-----|----------------------|------|----------------------|
| 715750 | 4270750 | 275 | 235 | -35 | -8750000 | -75 | -18750000 |
| 715750 | 4270250 | 316 | 276 | -76 | -19000000 | -116 | -29000000 |
| 716250 | 4270750 | 223 | 153 | 47 | 11821943 | -23 | -5750000 |
| 716250 | 4270250 | 278 | 208 | -8 | -2028549 | -78 | -19500000 |
| 716750 | 4272750 | 310 | 112 | 88 | 21913966 | -110 | -27500000 |
| 716750 | 4272250 | 300 | 84 | 116 | 29043671 | -100 | -25000000 |
| 716750 | 4271750 | 205 | 84 | 116 | 29046226 | -5 | -1250000 |
| 716750 | 4271250 | 108 | 86 | 114 | 28483986 | 92 | 23000000 |
| 716750 | 4270750 | 150 | 89 | 111 | 27776499 | 50 | 12500000 |
| 716750 | 4270250 | 235 | 89 | 111 | 27750000 | -35 | -8662352 |
| 717250 | 4273750 | 250 | 156 | 44 | 11077525 | -50 | -12500000 |
| 717250 | 4273250 | 161 | 111 | 89 | 22151479 | 39 | 9651486 |
| 717250 | 4272750 | 150 | 100 | 100 | 25000018 | 50 | 12500001 |
| 717250 | 4272250 | 144 | 94 | 106 | 26494404 | 56 | 13994405 |
| 717250 | 4271750 | 186 | 136 | 64 | 16121879 | 14 | 3621866 |
| 717250 | 4271250 | 181 | 131 | 69 | 17201417 | 19 | 4701420 |
| 717250 | 4270750 | 144 | 94 | 106 | 26421322 | 56 | 13921317 |
| 717750 | 4274250 | 235 | 185 | 15 | 3642325 | -35 | -8857662 |
| 717750 | 4273750 | 225 | 175 | 25 | 6308290 | -25 | -6191711 |
| 717750 | 4273250 | 176 | 126 | 74 | 18570125 | 24 | 6070124 |
| 717750 | 4272750 | 168 | 118 | 82 | 20446650 | 32 | 7946682 |
| 717750 | 4272250 | 230 | 190 | 10 | 2500000 | -30 | -7500000 |
| 717750 | 4271750 | 230 | 190 | 10 | 2500000 | -30 | -7500000 |
| 717750 | 4271250 | 190 | 150 | 50 | 12500000 | 10 | 2500000 |
| 717750 | 4270750 | 170 | 120 | 80 | 19965335 | 30 | 7465350 |
| 718250 | 4273250 | 250 | 175 | 25 | 6344377 | -50 | -12500000 |
| 718250 | 4272750 | 246 | 196 | 4 | 876509 | -46 | -11623483 |
| 718250 | 4272250 | 240 | 200 | 0 | 0 | -40 | -10000000 |
| 718250 | 4271750 | 240 | 200 | 0 | 0 | -40 | -10000000 |
| 718250 | 4271250 | 230 | 180 | 20 | 5000000 | -30 | -7500000 |
| 718250 | 4270750 | 228 | 178 | 22 | 5490243 | -28 | -7009716 |
| 718750 | 4273250 | 270 | 217 | -17 | -4156989 | -70 | -17500000 |
| 718750 | 4272750 | 229 | 179 | 21 | 5257229 | -29 | -7242766 |
| 718750 | 4272250 | 222 | 172 | 28 | 7089810 | -22 | -5410205 |
| 718750 | 4271750 | 250 | 190 | 10 | 2500000 | -50 | -12500000 |
| 719250 | 4272750 | 275 | 180 | 20 | 5000000 | -75 | -18750000 |
| 719250 | 4272250 | 230 | 170 | 30 | 7500000 | -30 | -7500000 |

451795230

117872652

Tabla 12. – Volumen de roca saturada obtenido para la hipótesis 1 (acuífero confinado) para cada una de las celdas del modelo numérico por debajo de la cota 225 m (V_1 = volumen resultante de restar una determinada cota el muro del acuífero; V_2 = volumen resultante de restar la misma cota al techo del acuífero).

| XUTM | YUTM | ZUTM | MURO | | V_1 | V_1 (m ³) | V_2 | V_2 (m ³) |
|--------|---------|------|------|-----|-----------|-------------------------|-------|-------------------------|
| 715750 | 4270750 | 275 | 235 | -10 | -2500000 | | -50 | -12500000 |
| 715750 | 4270250 | 316 | 276 | -51 | -12750000 | | -91 | -22750000 |
| 716250 | 4270750 | 223 | 153 | 72 | 18071943 | | 2 | 500000 |
| 716250 | 4270250 | 278 | 208 | 17 | 4221451 | | -53 | -13250000 |
| 716750 | 4272750 | 310 | 112 | 113 | 28163966 | | -85 | -21250000 |
| 716750 | 4272250 | 300 | 84 | 141 | 35293671 | | -75 | -18750000 |
| 716750 | 4271750 | 205 | 84 | 141 | 35296226 | | 20 | 5000000 |
| 716750 | 4271250 | 108 | 86 | 139 | 34733986 | | 117 | 29250000 |
| 716750 | 4270750 | 150 | 89 | 136 | 34026499 | | 75 | 18750000 |
| 716750 | 4270250 | 235 | 89 | 136 | 34000000 | | -10 | -2412352 |
| 717250 | 4273750 | 250 | 156 | 69 | 17327525 | | -25 | -6250000 |
| 717250 | 4273250 | 161 | 111 | 114 | 28401479 | | 64 | 15901486 |
| 717250 | 4272750 | 150 | 100 | 125 | 31250018 | | 75 | 18750001 |
| 717250 | 4272250 | 144 | 94 | 131 | 32744404 | | 81 | 20244405 |
| 717250 | 4271750 | 186 | 136 | 89 | 22371879 | | 39 | 9871866 |
| 717250 | 4271250 | 181 | 131 | 94 | 23451417 | | 44 | 10951420 |
| 717250 | 4270750 | 144 | 94 | 131 | 32671322 | | 81 | 20171317 |
| 717750 | 4274250 | 235 | 185 | 40 | 9892325 | | -10 | -2607662 |
| 717750 | 4273750 | 225 | 175 | 50 | 12558290 | | 0 | 58289 |
| 717750 | 4273250 | 176 | 126 | 99 | 24820125 | | 49 | 12320124 |
| 717750 | 4272750 | 168 | 118 | 107 | 26696650 | | 57 | 14196682 |
| 717750 | 4272250 | 230 | 190 | 35 | 8750000 | | -5 | -1250000 |
| 717750 | 4271750 | 230 | 190 | 35 | 8750000 | | -5 | -1250000 |
| 717750 | 4271250 | 190 | 150 | 75 | 18750000 | | 35 | 8750000 |
| 717750 | 4270750 | 170 | 120 | 105 | 26215335 | | 55 | 13715350 |
| 718250 | 4273250 | 250 | 175 | 50 | 12594377 | | -25 | -6250000 |
| 718250 | 4272750 | 246 | 196 | 29 | 7126509 | | -21 | -5373483 |
| 718250 | 4272250 | 240 | 200 | 25 | 6250000 | | -15 | -3750000 |
| 718250 | 4271750 | 240 | 200 | 25 | 6250000 | | -15 | -3750000 |
| 718250 | 4271250 | 230 | 180 | 45 | 11250000 | | -5 | -1250000 |
| 718250 | 4270750 | 228 | 178 | 47 | 11740243 | | -3 | -759716 |
| 718750 | 4273250 | 270 | 217 | 8 | 2093011 | | -45 | -11250000 |
| 718750 | 4272750 | 229 | 179 | 46 | 11507229 | | -4 | -992766 |
| 718750 | 4272250 | 222 | 172 | 53 | 13339810 | | 3 | 839795 |
| 718750 | 4271750 | 250 | 190 | 35 | 8750000 | | -25 | -6250000 |
| 719250 | 4272750 | 275 | 180 | 45 | 11250000 | | -50 | -12500000 |
| 719250 | 4272250 | 230 | 170 | 55 | 13750000 | | -5 | -12500000 |

664359692

199270736

Tabla 13. – Volumen de roca saturada obtenido para la hipótesis 1 (acuífero confinado) para cada una de las celdas del modelo numérico por debajo de la cota 250 m (V_1 = volumen resultante de restar una determinada cota el muro del acuífero; V_2 = volumen resultante de restar la misma cota al techo del acuífero).

| XUTM | YUTM | TECHO | MURO | V1 | V1 (m3) | V2 | V2 (m3) |
|-------------|-------------|--------------|-------------|-----------|----------------|-----------|----------------|
| 715750 | 4270750 | 275 | 235 | 15 | 3750000 | -25 | -6250000 |
| 715750 | 4270250 | 316 | 276 | -26 | -6500000 | -66 | -16500000 |
| 716250 | 4270750 | 223 | 153 | 97 | 24321943 | 27 | 6750000 |
| 716250 | 4270250 | 278 | 208 | 42 | 10471451 | -28 | -7000000 |
| 716750 | 4272750 | 310 | 112 | 138 | 34413966 | -60 | -15000000 |
| 716750 | 4272250 | 300 | 84 | 166 | 41543671 | -50 | -12500000 |
| 716750 | 4271750 | 205 | 84 | 166 | 41546226 | 45 | 11250000 |
| 716750 | 4271250 | 108 | 86 | 164 | 40983986 | 142 | 35500000 |
| 716750 | 4270750 | 150 | 89 | 161 | 40276499 | 100 | 25000000 |
| 716750 | 4270250 | 235 | 89 | 161 | 40250000 | 15 | 3837648 |
| 717250 | 4273750 | 250 | 156 | 94 | 23577525 | 0 | 0 |
| 717250 | 4273250 | 161 | 111 | 139 | 34651479 | 89 | 22151486 |
| 717250 | 4272750 | 150 | 100 | 150 | 37500018 | 100 | 25000001 |
| 717250 | 4272250 | 144 | 94 | 156 | 38994404 | 106 | 26494405 |
| 717250 | 4271750 | 186 | 136 | 114 | 28621879 | 64 | 16121866 |
| 717250 | 4271250 | 181 | 131 | 119 | 29701417 | 69 | 17201420 |
| 717250 | 4270750 | 144 | 94 | 156 | 38921322 | 106 | 26421317 |
| 717750 | 4274250 | 235 | 185 | 65 | 16142325 | 15 | 3642338 |
| 717750 | 4273750 | 225 | 175 | 75 | 18808290 | 25 | 6308289 |
| 717750 | 4273250 | 176 | 126 | 124 | 31070125 | 74 | 18570124 |
| 717750 | 4272750 | 168 | 118 | 132 | 32946650 | 82 | 20446682 |
| 717750 | 4272250 | 230 | 190 | 60 | 15000000 | 20 | 5000000 |
| 717750 | 4271750 | 230 | 190 | 60 | 15000000 | 20 | 5000000 |
| 717750 | 4271250 | 190 | 150 | 100 | 25000000 | 60 | 15000000 |
| 717750 | 4270750 | 170 | 120 | 130 | 32465335 | 80 | 19965350 |
| 718250 | 4273250 | 250 | 175 | 75 | 18844377 | 0 | 0 |
| 718250 | 4272750 | 246 | 196 | 54 | 13376509 | 4 | 876517 |
| 718250 | 4272250 | 240 | 200 | 50 | 12500000 | 10 | 2500000 |
| 718250 | 4271750 | 240 | 200 | 50 | 12500000 | 10 | 2500000 |
| 718250 | 4271250 | 230 | 180 | 70 | 17500000 | 20 | 5000000 |
| 718250 | 4270750 | 228 | 178 | 72 | 17990243 | 22 | 5490284 |
| 718750 | 4273250 | 270 | 217 | 33 | 8343011 | -20 | -5000000 |
| 718750 | 4272750 | 229 | 179 | 71 | 17757229 | 21 | 5257234 |
| 718750 | 4272250 | 222 | 172 | 78 | 19589810 | 28 | 7089795 |
| 718750 | 4271750 | 250 | 190 | 60 | 15000000 | 0 | 0 |
| 719250 | 4272750 | 275 | 180 | 70 | 17500000 | -25 | -6250000 |
| 719250 | 4272250 | 230 | 170 | 80 | 20000000 | 20 | 5000000 |

886859692

343374758

Tabla 14. – Volumen de roca saturada obtenido para la hipótesis 1 (acuífero confinado) para cada una de las celdas del modelo numérico por debajo de la cota 275 m (V_1 = volumen resultante de restar una determinada cota el muro del acuífero; V_2 = volumen resultante de restar la misma cota al techo del acuífero).

| XUTM | YUTM | TECHO | MURO | V1 | V1 (m3) | V2 | V2 (m3) |
|--------|---------|-------|------|-----|----------|-----|-----------|
| 715750 | 4270750 | 275 | 235 | 40 | 10000000 | 0 | 0 |
| 715750 | 4270250 | 316 | 276 | -1 | -250000 | -41 | -10250000 |
| 716250 | 4270750 | 223 | 153 | 122 | 30571943 | 52 | 13000000 |
| 716250 | 4270250 | 278 | 208 | 67 | 16721451 | -3 | -750000 |
| 716750 | 4272750 | 310 | 112 | 163 | 40663966 | -35 | -8750000 |
| 716750 | 4272250 | 300 | 84 | 191 | 47793671 | -25 | -6250000 |
| 716750 | 4271750 | 205 | 84 | 191 | 47796226 | 70 | 17500000 |
| 716750 | 4271250 | 108 | 86 | 189 | 47233986 | 167 | 41750000 |
| 716750 | 4270750 | 150 | 89 | 186 | 46526499 | 125 | 31250000 |
| 716750 | 4270250 | 235 | 89 | 186 | 46500000 | 40 | 10087648 |
| 717250 | 4273750 | 250 | 156 | 119 | 29827525 | 25 | 6250000 |
| 717250 | 4273250 | 161 | 111 | 164 | 40901479 | 114 | 28401486 |
| 717250 | 4272750 | 150 | 100 | 175 | 43750018 | 125 | 31250001 |
| 717250 | 4272250 | 144 | 94 | 181 | 45244404 | 131 | 32744405 |
| 717250 | 4271750 | 186 | 136 | 139 | 34871879 | 89 | 22371866 |
| 717250 | 4271250 | 181 | 131 | 144 | 35951417 | 94 | 23451420 |
| 717250 | 4270750 | 144 | 94 | 181 | 45171322 | 131 | 32671317 |
| 717750 | 4274250 | 235 | 185 | 90 | 22392325 | 40 | 9892338 |
| 717750 | 4273750 | 225 | 175 | 100 | 25058290 | 50 | 12558289 |
| 717750 | 4273250 | 176 | 126 | 149 | 37320125 | 99 | 24820124 |
| 717750 | 4272750 | 168 | 118 | 157 | 39196650 | 107 | 26696682 |
| 717750 | 4272250 | 230 | 190 | 85 | 21250000 | 45 | 11250000 |
| 717750 | 4271750 | 230 | 190 | 85 | 21250000 | 45 | 11250000 |
| 717750 | 4271250 | 190 | 150 | 125 | 31250000 | 85 | 21250000 |
| 717750 | 4270750 | 170 | 120 | 155 | 38715335 | 105 | 26215350 |
| 718250 | 4273250 | 250 | 175 | 100 | 25094377 | 25 | 6250000 |
| 718250 | 4272750 | 246 | 196 | 79 | 19626509 | 29 | 7126517 |
| 718250 | 4272250 | 240 | 200 | 75 | 18750000 | 35 | 8750000 |
| 718250 | 4271750 | 240 | 200 | 75 | 18750000 | 35 | 8750000 |
| 718250 | 4271250 | 230 | 180 | 95 | 23750000 | 45 | 11250000 |
| 718250 | 4270750 | 228 | 178 | 97 | 24240243 | 47 | 11740284 |
| 718750 | 4273250 | 270 | 217 | 58 | 14593011 | 5 | 1250000 |
| 718750 | 4272750 | 229 | 179 | 96 | 24007229 | 46 | 11507234 |
| 718750 | 4272250 | 222 | 172 | 103 | 25839810 | 53 | 13339795 |
| 718750 | 4271750 | 250 | 190 | 85 | 21250000 | 25 | 6250000 |
| 719250 | 4272750 | 275 | 180 | 95 | 23750000 | 0 | 0 |
| 719250 | 4272250 | 230 | 170 | 105 | 26250000 | 45 | 11250000 |

1111859692

532124758

Tabla 15. – Volumen de roca saturada obtenido para la hipótesis 1 (acuífero confinado) para cada una de las celdas del modelo numérico por debajo de la cota 300 m (V_1 = volumen resultante de restar una determinada cota el muro del acuífero; V_2 = volumen resultante de restar la misma cota al techo del acuífero).

| XUTM | YUTM | TECHO | MURO | V1 | V1 (m3) | V2 | V2 (m3) |
|--------|---------|-------|------|-----|----------|-----|----------|
| 715750 | 4270750 | 275 | 235 | 65 | 16250000 | 25 | 6250000 |
| 715750 | 4270250 | 316 | 276 | 24 | 6000000 | -16 | -4000000 |
| 716250 | 4270750 | 223 | 153 | 147 | 36821943 | 77 | 19250000 |
| 716250 | 4270250 | 278 | 208 | 92 | 22971451 | 22 | 5500000 |
| 716750 | 4272750 | 310 | 112 | 188 | 46913966 | -10 | -2500000 |
| 716750 | 4272250 | 300 | 84 | 216 | 54043671 | 0 | 0 |
| 716750 | 4271750 | 205 | 84 | 216 | 54046226 | 95 | 23750000 |
| 716750 | 4271250 | 108 | 86 | 214 | 53483986 | 192 | 48000000 |
| 716750 | 4270750 | 150 | 89 | 211 | 52776499 | 150 | 37500000 |
| 716750 | 4270250 | 235 | 89 | 211 | 52750000 | 65 | 16337648 |
| 717250 | 4273750 | 250 | 156 | 144 | 36077525 | 50 | 12500000 |
| 717250 | 4273250 | 161 | 111 | 189 | 47151479 | 139 | 34651486 |
| 717250 | 4272750 | 150 | 100 | 200 | 50000018 | 150 | 37500001 |
| 717250 | 4272250 | 144 | 94 | 206 | 51494404 | 156 | 38994405 |
| 717250 | 4271750 | 186 | 136 | 164 | 41121879 | 114 | 28621866 |
| 717250 | 4271250 | 181 | 131 | 169 | 42201417 | 119 | 29701420 |
| 717250 | 4270750 | 144 | 94 | 206 | 51421322 | 156 | 38921317 |
| 717750 | 4274250 | 235 | 185 | 115 | 28642325 | 65 | 16142338 |
| 717750 | 4273750 | 225 | 175 | 125 | 31308290 | 75 | 18808289 |
| 717750 | 4273250 | 176 | 126 | 174 | 43570125 | 124 | 31070124 |
| 717750 | 4272750 | 168 | 118 | 182 | 45446650 | 132 | 32946682 |
| 717750 | 4272250 | 230 | 190 | 110 | 27500000 | 70 | 17500000 |
| 717750 | 4271750 | 230 | 190 | 110 | 27500000 | 70 | 17500000 |
| 717750 | 4271250 | 190 | 150 | 150 | 37500000 | 110 | 27500000 |
| 717750 | 4270750 | 170 | 120 | 180 | 44965335 | 130 | 32465350 |
| 718250 | 4273250 | 250 | 175 | 125 | 31344377 | 50 | 12500000 |
| 718250 | 4272750 | 246 | 196 | 104 | 25876509 | 54 | 13376517 |
| 718250 | 4272250 | 240 | 200 | 100 | 25000000 | 60 | 15000000 |
| 718250 | 4271750 | 240 | 200 | 100 | 25000000 | 60 | 15000000 |
| 718250 | 4271250 | 230 | 180 | 120 | 30000000 | 70 | 17500000 |
| 718250 | 4270750 | 228 | 178 | 122 | 30490243 | 72 | 17990284 |
| 718750 | 4273250 | 270 | 217 | 83 | 20843011 | 30 | 7500000 |
| 718750 | 4272750 | 229 | 179 | 121 | 30257229 | 71 | 17757234 |
| 718750 | 4272250 | 222 | 172 | 128 | 32089810 | 78 | 19589795 |
| 718750 | 4271750 | 250 | 190 | 110 | 27500000 | 50 | 12500000 |
| 719250 | 4272750 | 275 | 180 | 120 | 30000000 | 25 | 6250000 |
| 719250 | 4272250 | 230 | 170 | 130 | 32500000 | 70 | 17500000 |

1342859692

743874758

Tabla 16. – Volumen de roca saturada obtenido para la hipótesis 1 (acuífero confinado) para cada una de las celdas del modelo numérico por debajo de la cota 316 m (V_1 = volumen resultante de restar una determinada cota el muro del acuífero; V_2 = volumen resultante de restar la misma cota al techo del acuífero).

| XUTM | YUTM | TECHO | MURO | V1 | V1 (m³) | V2 | V2 (m³) |
|-------------|-------------|--------------|-------------|-----------|---------------------------|-----------|---------------------------|
| 715750 | 4270750 | 275 | 235 | 81 | 20250000 | 41 | 10250000 |
| 715750 | 4270250 | 316 | 276 | 40 | 10000000 | 0 | 0 |
| 716250 | 4270750 | 223 | 153 | 163 | 40821943 | 93 | 23250000 |
| 716250 | 4270250 | 278 | 208 | 108 | 26971451 | 38 | 9500000 |
| 716750 | 4272750 | 310 | 112 | 204 | 50913966 | 6 | 1500000 |
| 716750 | 4272250 | 300 | 84 | 232 | 58043671 | 16 | 4000000 |
| 716750 | 4271750 | 205 | 84 | 232 | 58046226 | 111 | 27750000 |
| 716750 | 4271250 | 108 | 86 | 230 | 57483986 | 208 | 52000000 |
| 716750 | 4270750 | 150 | 89 | 227 | 56776499 | 166 | 41500000 |
| 716750 | 4270250 | 235 | 89 | 227 | 56750000 | 81 | 20337648 |
| 717250 | 4273750 | 250 | 156 | 160 | 40077525 | 66 | 16500000 |
| 717250 | 4273250 | 161 | 111 | 205 | 51151479 | 155 | 38651486 |
| 717250 | 4272750 | 150 | 100 | 216 | 54000018 | 166 | 41500001 |
| 717250 | 4272250 | 144 | 94 | 222 | 55494404 | 172 | 42994405 |
| 717250 | 4271750 | 186 | 136 | 180 | 45121879 | 130 | 32621866 |
| 717250 | 4271250 | 181 | 131 | 185 | 46201417 | 135 | 33701420 |
| 717250 | 4270750 | 144 | 94 | 222 | 55421322 | 172 | 42921317 |
| 717750 | 4274250 | 235 | 185 | 131 | 32642325 | 81 | 20142338 |
| 717750 | 4273750 | 225 | 175 | 141 | 35308290 | 91 | 22808289 |
| 717750 | 4273250 | 176 | 126 | 190 | 47570125 | 140 | 35070124 |
| 717750 | 4272750 | 168 | 118 | 198 | 49446650 | 148 | 36946682 |
| 717750 | 4272250 | 230 | 190 | 126 | 31500000 | 86 | 21500000 |
| 717750 | 4271750 | 230 | 190 | 126 | 31500000 | 86 | 21500000 |
| 717750 | 4271250 | 190 | 150 | 166 | 41500000 | 126 | 31500000 |
| 717750 | 4270750 | 170 | 120 | 196 | 48965335 | 146 | 36465350 |
| 718250 | 4273250 | 250 | 175 | 141 | 35344377 | 66 | 16500000 |
| 718250 | 4272750 | 246 | 196 | 120 | 29876509 | 70 | 17376517 |
| 718250 | 4272250 | 240 | 200 | 116 | 29000000 | 76 | 19000000 |
| 718250 | 4271750 | 240 | 200 | 116 | 29000000 | 76 | 19000000 |
| 718250 | 4271250 | 230 | 180 | 136 | 34000000 | 86 | 21500000 |
| 718250 | 4270750 | 228 | 178 | 138 | 34490243 | 88 | 21990284 |
| 718750 | 4273250 | 270 | 217 | 99 | 24843011 | 46 | 11500000 |
| 718750 | 4272750 | 229 | 179 | 137 | 34257229 | 87 | 21757234 |
| 718750 | 4272250 | 222 | 172 | 144 | 36089810 | 94 | 23589795 |
| 718750 | 4271750 | 250 | 190 | 126 | 31500000 | 66 | 16500000 |
| 719250 | 4272750 | 275 | 180 | 136 | 34000000 | 41 | 10250000 |
| 719250 | 4272250 | 230 | 170 | 146 | 36500000 | 86 | 21500000 |

1490859692

885374758

ANEJO 6.2

*CÁLCULO DEL VOLUMEN DE ROCA SATURADA
(HIPÓTESIS 2)*

Tabla 1. – Volumen de roca saturada obtenido para la hipótesis 2 (acuífero libre) para cada una de las celdas del modelo numérico por debajo de la cota 225 m (V_1 = volumen resultante de restar una determinada cota el muro del acuífero; V_2 = volumen resultante de restar la misma cota al techo del acuífero).

| X_UTM | Y_UTM | PLZ_20_1996 | MURG | V1 | V1 (m3) | V2 | V2 (m3) |
|--------|---------|-------------|------|------|------------|------|-----------|
| 714750 | 4270750 | 450.2125 | 420 | -195 | -48750000 | -225 | -56303125 |
| 714750 | 4270250 | 444.4921 | 420 | -195 | -48750000 | -219 | -54873025 |
| 715250 | 4271750 | 462.4712 | 446 | -221 | -55250000 | -237 | -59367800 |
| 715250 | 4271250 | 453.3779 | 311 | -86 | -21500000 | -228 | -57094475 |
| 715250 | 4269750 | 442.9866 | 400 | -175 | -43750000 | -218 | -54496650 |
| 715750 | 4271750 | 463.6061 | 295 | -70 | -17500000 | -239 | -59651525 |
| 716250 | 4273250 | 464.6821 | 370 | -145 | -36250000 | -240 | -59920525 |
| 716250 | 4272750 | 463.907 | 302 | -77 | -19250000 | -239 | -59726750 |
| 716250 | 4272250 | 462.6903 | 292 | -67 | -16750000 | -238 | -59422575 |
| 716750 | 4273750 | 465.1316 | 230 | -5 | -1250000 | -240 | -60032900 |
| 717250 | 4274250 | 465.2455 | 217 | 8 | 2030673.07 | -240 | -60061375 |
| 717750 | 4274750 | 464.9355 | 370 | -145 | -36250000 | -240 | -59983875 |
| 718250 | 4274750 | 464.7726 | 370 | -145 | -36250000 | -240 | -59943150 |
| 718750 | 4274750 | 464.6611 | 450 | -225 | -56250000 | -240 | -59915275 |
| 718750 | 4274250 | 464.4952 | 431 | -206 | -51527045 | -239 | -59873800 |
| 719750 | 4274250 | 464.4435 | 449 | -224 | -55900332 | -239 | -59860875 |
| 720250 | 4274250 | 464.4728 | 460 | -235 | -58750000 | -239 | -59868200 |
| 720750 | 4275250 | 464.5761 | 460 | -235 | -58750000 | -240 | -59894025 |
| 720750 | 4274750 | 464.5506 | 437 | -212 | -52927902 | -240 | -59887650 |
| 720750 | 4274250 | 464.5153 | 420 | -195 | -48750000 | -240 | -59878825 |
| 721250 | 4274750 | 464.5688 | 459 | -234 | -58607551 | -240 | -59892200 |

2030673

Tabla 2. – Volumen de roca saturada obtenido para la hipótesis 2 (acuífero libre) para cada una de las celdas del modelo numérico por debajo de la cota 250 m (V_1 = volumen resultante de restar una determinada cota el muro del acuífero; V_2 = volumen resultante de restar la misma cota al techo del acuífero).

| X_UTM | Y_UTM | ELEV_1996 | MIRC | V1 | V1 (m3) | V2 | V2 (m3) |
|--------|---------|-----------|------|------|------------|------|-----------|
| 714750 | 4270750 | 450.2125 | 420 | -170 | -42500000 | -200 | -50053125 |
| 714750 | 4270250 | 444.4921 | 420 | -170 | -42500000 | -194 | -48623025 |
| 715250 | 4271750 | 462.4712 | 446 | -196 | -49000000 | -212 | -53117800 |
| 715250 | 4271250 | 453.3779 | 311 | -61 | -15250000 | -203 | -50844475 |
| 715250 | 4269750 | 442.9866 | 400 | -150 | -37500000 | -193 | -48246650 |
| 715750 | 4271750 | 463.6061 | 295 | -45 | -11250000 | -214 | -53401525 |
| 716250 | 4273250 | 464.6821 | 370 | -120 | -30000000 | -215 | -53670525 |
| 716250 | 4272750 | 463.907 | 302 | -52 | -13000000 | -214 | -53476750 |
| 716250 | 4272250 | 462.6903 | 292 | -42 | -10500000 | -213 | -53172575 |
| 716750 | 4273750 | 465.1316 | 230 | 20 | 5000000 | -215 | -53782900 |
| 717250 | 4274250 | 465.2455 | 217 | 33 | 8280673.07 | -215 | -53811375 |
| 717750 | 4274750 | 464.9355 | 370 | -120 | -30000000 | -215 | -53733875 |
| 718250 | 4274750 | 464.7726 | 370 | -120 | -30000000 | -215 | -53693150 |
| 718750 | 4274750 | 464.6611 | 450 | -200 | -50000000 | -215 | -53665275 |
| 718750 | 4274250 | 464.4952 | 431 | -181 | -45277045 | -214 | -53623800 |
| 719750 | 4274250 | 464.4435 | 449 | -199 | -49650332 | -214 | -53610875 |
| 720250 | 4274250 | 464.4728 | 460 | -210 | -52500000 | -214 | -53618200 |
| 720750 | 4275250 | 464.5761 | 460 | -210 | -52500000 | -215 | -53644025 |
| 720750 | 4274750 | 464.5506 | 437 | -187 | -46677902 | -215 | -53637650 |
| 720750 | 4274250 | 464.5153 | 420 | -170 | -42500000 | -215 | -53628825 |
| 721250 | 4274750 | 464.5688 | 459 | -209 | -52357551 | -215 | -53642200 |

13280673

Tabla 3. – Volumen de roca saturada obtenido para la hipótesis 2 (acuífero libre) para cada una de las celdas del modelo numérico por debajo de la cota 275 m (V_1 = volumen resultante de restar una determinada cota el muro del acuífero; V_2 = volumen resultante de restar la misma cota al techo del acuífero).

| XUTM | YUTM | PIE/1 1996 | MURO | VI | V1 (m) | V2 | V2 (m) |
|--------|---------|------------|------|------|------------|------|-----------|
| 714750 | 4270750 | 450.2125 | 420 | -145 | -36250000 | -175 | -43803125 |
| 714750 | 4270250 | 444.4921 | 420 | -145 | -36250000 | -169 | -42373025 |
| 715250 | 4271750 | 462.4712 | 446 | -171 | -42750000 | -187 | -46867800 |
| 715250 | 4271250 | 453.3779 | 311 | -36 | -9000000 | -178 | -44594475 |
| 715250 | 4269750 | 442.9866 | 400 | -125 | -31250000 | -168 | -41996650 |
| 715750 | 4271750 | 463.6061 | 295 | -20 | -5000000 | -189 | -47151525 |
| 716250 | 4273250 | 464.6821 | 370 | -95 | -23750000 | -190 | -47420525 |
| 716250 | 4272750 | 463.907 | 302 | -27 | -6750000 | -189 | -47226750 |
| 716250 | 4272250 | 462.6903 | 292 | -17 | -4250000 | -188 | -46922575 |
| 716750 | 4273750 | 465.1316 | 230 | 45 | 11250000 | -190 | -47532900 |
| 717250 | 4274250 | 465.2455 | 217 | 58 | 14530673.1 | -190 | -47561375 |
| 717750 | 4274750 | 464.9355 | 370 | -95 | -23750000 | -190 | -47483875 |
| 718250 | 4274750 | 464.7726 | 370 | -95 | -23750000 | -190 | -47443150 |
| 718750 | 4274750 | 464.6611 | 450 | -175 | -43750000 | -190 | -47415275 |
| 718750 | 4274250 | 464.4952 | 431 | -156 | -39027045 | -189 | -47373800 |
| 719750 | 4274250 | 464.4435 | 449 | -174 | -43400332 | -189 | -47360875 |
| 720250 | 4274250 | 464.4728 | 460 | -185 | -46250000 | -189 | -47368200 |
| 720750 | 4275250 | 464.5761 | 460 | -185 | -46250000 | -190 | -47394025 |
| 720750 | 4274750 | 464.5506 | 437 | -162 | -40427902 | -190 | -47387650 |
| 720750 | 4274250 | 464.5153 | 420 | -145 | -36250000 | -190 | -47378825 |
| 721250 | 4274750 | 464.5688 | 459 | -184 | -46107551 | -190 | -47392200 |

25780673

Tabla 3. – Volumen de roca saturada obtenido para la hipótesis 2 (acuífero libre) para cada una de las celdas del modelo numérico por debajo de la cota 300 m (V_1 = volumen resultante de restar una determinada cota el muro del acuífero; V_2 = volumen resultante de restar la misma cota al techo del acuífero).

| XUTM | YUTM | PIEZO 1996 | MURO | V1 | V1 (m) | V2 | V2 (m) |
|--------|---------|------------|------|------|------------|------|-----------|
| 714750 | 4270750 | 450.2125 | 420 | -120 | -30000000 | -150 | -37553125 |
| 714750 | 4270250 | 444.4921 | 420 | -120 | -30000000 | -144 | -36123025 |
| 715250 | 4271750 | 462.4712 | 446 | -146 | -36500000 | -162 | -40617800 |
| 715250 | 4271250 | 453.3779 | 311 | -11 | -2750000 | -153 | -38344475 |
| 715250 | 4269750 | 442.9866 | 400 | -100 | -25000000 | -143 | -35746650 |
| 715750 | 4271750 | 463.6061 | 295 | 5 | 1250000 | -164 | -40901525 |
| 716250 | 4273250 | 464.6821 | 370 | -70 | -17500000 | -165 | -41170525 |
| 716250 | 4272750 | 463.907 | 302 | -2 | -500000 | -164 | -40976750 |
| 716250 | 4272250 | 462.6903 | 292 | 8 | 2000000 | -163 | -40672575 |
| 716750 | 4273750 | 465.1316 | 230 | 70 | 17500000 | -165 | -41282900 |
| 717250 | 4274250 | 465.2455 | 217 | 83 | 20780673.1 | -165 | -41311375 |
| 717750 | 4274750 | 464.9355 | 370 | -70 | -17500000 | -165 | -41233875 |
| 718250 | 4274750 | 464.7726 | 370 | -70 | -17500000 | -165 | -41193150 |
| 718750 | 4274750 | 464.6611 | 450 | -150 | -37500000 | -165 | -41165275 |
| 718750 | 4274250 | 464.4952 | 431 | -131 | -32777045 | -164 | -41123800 |
| 719750 | 4274250 | 464.4435 | 449 | -149 | -37150332 | -164 | -41110875 |
| 720250 | 4274250 | 464.4728 | 460 | -160 | -40000000 | -164 | -41118200 |
| 720750 | 4275250 | 464.5761 | 460 | -160 | -40000000 | -165 | -41144025 |
| 720750 | 4274750 | 464.5506 | 437 | -137 | -34177902 | -165 | -41137650 |
| 720750 | 4274250 | 464.5153 | 420 | -120 | -30000000 | -165 | -41128825 |
| 721250 | 4274750 | 464.5688 | 459 | -159 | -39857551 | -165 | -41142200 |

41530673

Tabla 4. – Volumen de roca saturada obtenido para la hipótesis 2 (acuífero libre) para cada una de las celdas del modelo numérico por debajo de la cota 325 m (V_1 = volumen resultante de restar una determinada cota el muro del acuífero; V_2 = volumen resultante de restar la misma cota al techo del acuífero).

| X_UTM | Y_UTM | Z_PIZZ_1996 | MURO | V1 | V1 (m) | V2 | V2 (m) |
|--------|---------|-------------|------|------|------------|------|-----------|
| 714750 | 4270750 | 450.2125 | 420 | -95 | -23750000 | -125 | -31303125 |
| 714750 | 4270250 | 444.4921 | 420 | -95 | -23750000 | -119 | -29873025 |
| 715250 | 4271750 | 462.4712 | 446 | -121 | -30250000 | -137 | -34367800 |
| 715250 | 4271250 | 453.3779 | 311 | 14 | 3500000 | -128 | -32094475 |
| 715250 | 4269750 | 442.9866 | 400 | -75 | -18750000 | -118 | -29496650 |
| 715750 | 4271750 | 463.6061 | 295 | 30 | 7500000 | -139 | -34651525 |
| 716250 | 4273250 | 464.6821 | 370 | -45 | -11250000 | -140 | -34920525 |
| 716250 | 4272750 | 463.907 | 302 | 23 | 5750000 | -139 | -34726750 |
| 716250 | 4272250 | 462.6903 | 292 | 33 | 8250000 | -138 | -34422575 |
| 716750 | 4273750 | 465.1316 | 230 | 95 | 23750000 | -140 | -35032900 |
| 717250 | 4274250 | 465.2455 | 217 | 108 | 27030673.1 | -140 | -35061375 |
| 717750 | 4274750 | 464.9355 | 370 | -45 | -11250000 | -140 | -34983875 |
| 718250 | 4274750 | 464.7726 | 370 | -45 | -11250000 | -140 | -34943150 |
| 718750 | 4274750 | 464.6611 | 450 | -125 | -31250000 | -140 | -34915275 |
| 718750 | 4274250 | 464.4952 | 431 | -106 | -26527045 | -139 | -34873800 |
| 719750 | 4274250 | 464.4435 | 449 | -124 | -30900332 | -139 | -34860875 |
| 720250 | 4274250 | 464.4728 | 460 | -135 | -33750000 | -139 | -34868200 |
| 720750 | 4275250 | 464.5761 | 460 | -135 | -33750000 | -140 | -34894025 |
| 720750 | 4274750 | 464.5506 | 437 | -112 | -27927902 | -140 | -34887650 |
| 720750 | 4274250 | 464.5153 | 420 | -95 | -23750000 | -140 | -34878825 |
| 721250 | 4274750 | 464.5688 | 459 | -134 | -33607551 | -140 | -34892200 |

75780673

Tabla 5. – Volumen de roca saturada obtenido para la hipótesis 2 (acuífero libre) para cada una de las celdas del modelo numérico por debajo de la cota 350 m (V_1 = volumen resultante de restar una determinada cota el muro del acuífero; V_2 = volumen resultante de restar la misma cota al techo del acuífero).

| XUTM | YUTM | ZUTM | TIPO | MURO | V1 | V1 (m3) | V2 | V2 (m3) |
|--------|---------|----------|------|------|------|------------|------|-----------|
| 714750 | 4270750 | 450.2125 | | 420 | -70 | -17500000 | -100 | -25053125 |
| 714750 | 4270250 | 444.4921 | | 420 | -70 | -17500000 | -94 | -23623025 |
| 715250 | 4271750 | 462.4712 | | 446 | -96 | -24000000 | -112 | -28117800 |
| 715250 | 4271250 | 453.3779 | | 311 | 39 | 9750000 | -103 | -25844475 |
| 715250 | 4269750 | 442.9866 | | 400 | -50 | -12500000 | -93 | -23246650 |
| 715750 | 4271750 | 463.6061 | | 295 | 55 | 13750000 | -114 | -28401525 |
| 716250 | 4273250 | 464.6821 | | 370 | -20 | -5000000 | -115 | -28670525 |
| 716250 | 4272750 | 463.907 | | 302 | 48 | 12000000 | -114 | -28476750 |
| 716250 | 4272250 | 462.6903 | | 292 | 58 | 14500000 | -113 | -28172575 |
| 716750 | 4273750 | 465.1316 | | 230 | 120 | 30000000 | -115 | -28782900 |
| 717250 | 4274250 | 465.2455 | | 217 | 133 | 33280673.1 | -115 | -28811375 |
| 717750 | 4274750 | 464.9355 | | 370 | -20 | -5000000 | -115 | -28733875 |
| 718250 | 4274750 | 464.7726 | | 370 | -20 | -5000000 | -115 | -28693150 |
| 718750 | 4274750 | 464.6611 | | 450 | -100 | -25000000 | -115 | -28665275 |
| 718750 | 4274250 | 464.4952 | | 431 | -81 | -20277045 | -114 | -28623800 |
| 719750 | 4274250 | 464.4435 | | 449 | -99 | -24650332 | -114 | -28610875 |
| 720250 | 4274250 | 464.4728 | | 460 | -110 | -27500000 | -114 | -28618200 |
| 720750 | 4275250 | 464.5761 | | 460 | -110 | -27500000 | -115 | -28644025 |
| 720750 | 4274750 | 464.5506 | | 437 | -87 | -21677902 | -115 | -28637650 |
| 720750 | 4274250 | 464.5153 | | 420 | -70 | -17500000 | -115 | -28628825 |
| 721250 | 4274750 | 464.5688 | | 459 | -109 | -27357551 | -115 | -28642200 |

113280673

Tabla 6. – Volumen de roca saturada obtenido para la hipótesis 2 (acuífero libre) para cada una de las celdas del modelo numérico por debajo de la cota 375 m (V_1 = volumen resultante de restar una determinada cota el muro del acuífero; V_2 = volumen resultante de restar la misma cota al techo del acuífero).

| XUTM | YUTM | HEI/O 1996 | MURO | V1 | V1 (m3) | V2 | V2 (m3) |
|--------|---------|------------|------|-----|------------|-----|-----------|
| 714750 | 4270750 | 450.2125 | 420 | -45 | -11250000 | -75 | -18803125 |
| 714750 | 4270250 | 444.4921 | 420 | -45 | -11250000 | -69 | -17373025 |
| 715250 | 4271750 | 462.4712 | 446 | -71 | -17750000 | -87 | -21867800 |
| 715250 | 4271250 | 453.3779 | 311 | 64 | 16000000 | -78 | -19594475 |
| 715250 | 4269750 | 442.9866 | 400 | -25 | -6250000 | -68 | -16996650 |
| 715750 | 4271750 | 463.6061 | 295 | 80 | 20000000 | -89 | -22151525 |
| 716250 | 4273250 | 464.6821 | 370 | 5 | 1250000 | -90 | -22420525 |
| 716250 | 4272750 | 463.907 | 302 | 73 | 18250000 | -89 | -22226750 |
| 716250 | 4272250 | 462.6903 | 292 | 83 | 20750000 | -88 | -21922575 |
| 716750 | 4273750 | 465.1316 | 230 | 145 | 36250000 | -90 | -22532900 |
| 717250 | 4274250 | 465.2455 | 217 | 158 | 39530673.1 | -90 | -22561375 |
| 717750 | 4274750 | 464.9355 | 370 | 5 | 1250000 | -90 | -22483875 |
| 718250 | 4274750 | 464.7726 | 370 | 5 | 1250000 | -90 | -22443150 |
| 718750 | 4274750 | 464.6611 | 450 | -75 | -18750000 | -90 | -22415275 |
| 718750 | 4274250 | 464.4952 | 431 | -56 | -14027045 | -89 | -22373800 |
| 719750 | 4274250 | 464.4435 | 449 | -74 | -18400332 | -89 | -22360875 |
| 720250 | 4274250 | 464.4728 | 460 | -85 | -21250000 | -89 | -22368200 |
| 720750 | 4275250 | 464.5761 | 460 | -85 | -21250000 | -90 | -22394025 |
| 720750 | 4274750 | 464.5506 | 437 | -62 | -15427902 | -90 | -22387650 |
| 720750 | 4274250 | 464.5153 | 420 | -45 | -11250000 | -90 | -22378825 |
| 721250 | 4274750 | 464.5688 | 459 | -84 | -21107551 | -90 | -22392200 |

154530673

Tabla 7. – Volumen de roca saturada obtenido para la hipótesis 2 (acuífero libre) para cada una de las celdas del modelo numérico por debajo de la cota 400 m (V_1 = volumen resultante de restar una determinada cota el muro del acuífero; V_2 = volumen resultante de restar la misma cota al techo del acuífero).

| XUTM | YUTM | PIEZO 1996 | MURO | V1 | V1 (m) | V2 | V2 (m) |
|--------|---------|------------|------|-----|------------|-----|-----------|
| 714750 | 4270750 | 450.2125 | 420 | -20 | -5000000 | -50 | -12553125 |
| 714750 | 4270250 | 444.4921 | 420 | -20 | -5000000 | -44 | -11123025 |
| 715250 | 4271750 | 462.4712 | 446 | -46 | -11500000 | -62 | -15617800 |
| 715250 | 4271250 | 453.3779 | 311 | 89 | 22250000 | -53 | -13344475 |
| 715250 | 4269750 | 442.9866 | 400 | 0 | 0 | -43 | -10746650 |
| 715750 | 4271750 | 463.6061 | 295 | 105 | 26250000 | -64 | -15901525 |
| 716250 | 4273250 | 464.6821 | 370 | 30 | 7500000 | -65 | -16170525 |
| 716250 | 4272750 | 463.907 | 302 | 98 | 24500000 | -64 | -15976750 |
| 716250 | 4272250 | 462.6903 | 292 | 108 | 27000000 | -63 | -15672575 |
| 716750 | 4273750 | 465.1316 | 230 | 170 | 42500000 | -65 | -16282900 |
| 717250 | 4274250 | 465.2455 | 217 | 183 | 45780673.1 | -65 | -16311375 |
| 717750 | 4274750 | 464.9355 | 370 | 30 | 7500000 | -65 | -16233875 |
| 718250 | 4274750 | 464.7726 | 370 | 30 | 7500000 | -65 | -16193150 |
| 718750 | 4274750 | 464.6611 | 450 | -50 | -12500000 | -65 | -16165275 |
| 718750 | 4274250 | 464.4952 | 431 | -31 | -7777044.5 | -64 | -16123800 |
| 719750 | 4274250 | 464.4435 | 449 | -49 | -12150332 | -64 | -16110875 |
| 720250 | 4274250 | 464.4728 | 460 | -60 | -15000000 | -64 | -16118200 |
| 720750 | 4275250 | 464.5761 | 460 | -60 | -15000000 | -65 | -16144025 |
| 720750 | 4274750 | 464.5506 | 437 | -37 | -9177902.1 | -65 | -16137650 |
| 720750 | 4274250 | 464.5153 | 420 | -20 | -5000000 | -65 | -16128825 |
| 721250 | 4274750 | 464.5688 | 459 | -59 | -14857551 | -65 | -16142200 |

210780673

Tabla 8. – Volumen de roca saturada obtenido para la hipótesis 2 (acuífero libre) para cada una de las celdas del modelo numérico por debajo de la cota 425 m (V_1 = volumen resultante de restar una determinada cota el muro del acuífero; V_2 = volumen resultante de restar la misma cota al techo del acuífero).

| X_UTM | Y_UTM | ZUTM | 1996 | MERC | V1 | V1 (m3) | V2 | V2 (m3) |
|--------|---------|------|----------|------|-----|------------|-----|-----------|
| 714750 | 4270750 | | 450.2125 | 420 | 5 | 1250000 | -25 | -6303125 |
| 714750 | 4270250 | | 444.4921 | 420 | 5 | 1250000 | -19 | -4873025 |
| 715250 | 4271750 | | 462.4712 | 446 | -21 | -5250000 | -37 | -9367800 |
| 715250 | 4271250 | | 453.3779 | 311 | 114 | 28500000 | -28 | -7094475 |
| 715250 | 4269750 | | 442.9866 | 400 | 25 | 6250000 | -18 | -4496650 |
| 715750 | 4271750 | | 463.6061 | 295 | 130 | 32500000 | -39 | -9651525 |
| 716250 | 4273250 | | 464.6821 | 370 | 55 | 13750000 | -40 | -9920525 |
| 716250 | 4272750 | | 463.907 | 302 | 123 | 30750000 | -39 | -9726750 |
| 716250 | 4272250 | | 462.6903 | 292 | 133 | 33250000 | -38 | -9422575 |
| 716750 | 4273750 | | 465.1316 | 230 | 195 | 48750000 | -40 | -10032900 |
| 717250 | 4274250 | | 465.2455 | 217 | 208 | 52030673.1 | -40 | -10061375 |
| 717750 | 4274750 | | 464.9355 | 370 | 55 | 13750000 | -40 | -9983875 |
| 718250 | 4274750 | | 464.7726 | 370 | 55 | 13750000 | -40 | -9943150 |
| 718750 | 4274750 | | 464.6611 | 450 | -25 | -6250000 | -40 | -9915275 |
| 718750 | 4274250 | | 464.4952 | 431 | -6 | -1527044.5 | -39 | -9873800 |
| 719750 | 4274250 | | 464.4435 | 449 | -24 | -5900331.9 | -39 | -9860875 |
| 720250 | 4274250 | | 464.4728 | 460 | -35 | -8750000 | -39 | -9868200 |
| 720750 | 4275250 | | 464.5761 | 460 | -35 | -8750000 | -40 | -9894025 |
| 720750 | 4274750 | | 464.5506 | 437 | -12 | -2927902.1 | -40 | -9887650 |
| 720750 | 4274250 | | 464.5153 | 420 | 5 | 1250000 | -40 | -9878825 |
| 721250 | 4274750 | | 464.5688 | 459 | -34 | -8607551.4 | -40 | -9892200 |

Tabla 9. – Volumen de roca saturada obtenido para la hipótesis 2 (acuífero libre) para cada una de las celdas del modelo numérico por debajo de la cota 450 m (V_1 = volumen resultante de restar una determinada cota el muro del acuífero; V_2 = volumen resultante de restar la misma cota al techo del acuífero).

| XUEM | YUEM | PIEZO | 1996 | MURO | V1 | V1 (m3) | V2 | V2 (m3) |
|--------|---------|----------|------|------|-----|------------|-----|----------|
| 714750 | 4270750 | 450.2125 | | 420 | 30 | 7500000 | 0 | -53125 |
| 714750 | 4270250 | 444.4921 | | 420 | 30 | 7500000 | 6 | 1376975 |
| 715250 | 4271750 | 462.4712 | | 446 | 4 | 1000000 | -12 | -3117800 |
| 715250 | 4271250 | 453.3779 | | 311 | 139 | 34750000 | -3 | -844475 |
| 715250 | 4269750 | 442.9866 | | 400 | 50 | 12500000 | 7 | 1753350 |
| 715750 | 4271750 | 463.6061 | | 295 | 155 | 38750000 | -14 | -3401525 |
| 716250 | 4273250 | 464.6821 | | 370 | 80 | 20000000 | -15 | -3670525 |
| 716250 | 4272750 | 463.907 | | 302 | 148 | 37000000 | -14 | -3476750 |
| 716250 | 4272250 | 462.6903 | | 292 | 158 | 39500000 | -13 | -3172575 |
| 716750 | 4273750 | 465.1316 | | 230 | 220 | 55000000 | -15 | -3782900 |
| 717250 | 4274250 | 465.2455 | | 217 | 233 | 58280673.1 | -15 | -3811375 |
| 717750 | 4274750 | 464.9355 | | 370 | 80 | 20000000 | -15 | -3733875 |
| 718250 | 4274750 | 464.7726 | | 370 | 80 | 20000000 | -15 | -3693150 |
| 718750 | 4274750 | 464.6611 | | 450 | 0 | 0 | -15 | -3665275 |
| 718750 | 4274250 | 464.4952 | | 431 | 19 | 4722955.49 | -14 | -3623800 |
| 719750 | 4274250 | 464.4435 | | 449 | 1 | 349668.145 | -14 | -3610875 |
| 720250 | 4274250 | 464.4728 | | 460 | -10 | -2500000 | -14 | -3618200 |
| 720750 | 4275250 | 464.5761 | | 460 | -10 | -2500000 | -15 | -3644025 |
| 720750 | 4274750 | 464.5506 | | 437 | 13 | 3322097.9 | -15 | -3637650 |
| 720750 | 4274250 | 464.5153 | | 420 | 30 | 7500000 | -15 | -3628825 |
| 721250 | 4274750 | 464.5688 | | 459 | -9 | -2357551.4 | -15 | -3642200 |

Tabla 10. – Volumen de roca saturada obtenido para la hipótesis 2 (acuífero libre) para cada una de las celdas del modelo numérico por debajo de la cota 465 m (V_1 = volumen resultante de restar una determinada cota el muro del acuífero; V_2 = volumen resultante de restar la misma cota al techo del acuífero).

| X | Y | Z | PIEZA | MURO | V_1 | V_1 (m ³) | V_2 | V_2 (m ³) |
|--------|---------|----------|-------|------|------------|-------------------------|----------|-------------------------|
| 714750 | 4270750 | 450.2125 | 420 | 45 | 11250000 | 15 | 3696875 | |
| 714750 | 4270250 | 444.4921 | 420 | 45 | 11250000 | 21 | 5126975 | |
| 715250 | 4271750 | 462.4712 | 446 | 19 | 4750000 | 3 | 632200 | |
| 715250 | 4271250 | 453.3779 | 311 | 154 | 38500000 | 12 | 2905525 | |
| 715250 | 4269750 | 442.9866 | 400 | 65 | 16250000 | 22 | 5503350 | |
| 715750 | 4271750 | 463.6061 | 295 | 170 | 42500000 | 1 | 348475 | |
| 716250 | 4273250 | 464.6821 | 370 | 95 | 23750000 | 0 | 79475 | |
| 716250 | 4272750 | 463.907 | 302 | 163 | 40750000 | 1 | 273250 | |
| 716250 | 4272250 | 462.6903 | 292 | 173 | 43250000 | 2 | 577425 | |
| 716750 | 4273750 | 465.1316 | 230 | 235 | 58750000 | 0 | -32900 | |
| 717250 | 4274250 | 465.2455 | 217 | 248 | 62030673.1 | 0 | -61375 | |
| 717750 | 4274750 | 464.9355 | 370 | 95 | 23750000 | 0 | 16125 | |
| 718250 | 4274750 | 464.7726 | 370 | 95 | 23750000 | 0 | 56850 | |
| 718750 | 4274750 | 464.6611 | 450 | 15 | 3750000 | 0 | 84725 | |
| 718750 | 4274250 | 464.4952 | 431 | 34 | 8472955.49 | 1 | 126200 | |
| 719750 | 4274250 | 464.4435 | 449 | 16 | 4099668.15 | 1 | 139125 | |
| 720250 | 4274250 | 464.4728 | 460 | 5 | 1250000 | 1 | 131800 | |
| 720750 | 4275250 | 464.5761 | 460 | 5 | 1250000 | 0 | 105975 | |
| 720750 | 4274750 | 464.5506 | 437 | 28 | 7072097.9 | 0 | 112350 | |
| 720750 | 4274250 | 464.5153 | 420 | 45 | 11250000 | 0 | 121175 | |
| 721250 | 4274750 | 464.5688 | 459 | 6 | 1392448.64 | 0 | 107800 | |
| | | | | | 439067843 | | 20145675 | |

Tabla 11. – Volumen de roca saturada obtenido para la hipótesis 2 (acuífero confinado) para cada una de las celdas del modelo numérico por debajo de la cota 100 m (V_1 = volumen resultante de restar una determinada cota el muro del acuífero; V_2 = volumen resultante de restar la misma cota al techo del acuífero).

| XUTM | YUTM | FEZQ_1996 | MURO | | V_1 | V_1 (m ³) | V_2 | V_2 (m ³) |
|--------|---------|-----------|------|------|------------|-------------------------|------------|-------------------------|
| 715250 | 4270750 | 425 | 385 | -285 | -71250000 | -325 | -81250000 | |
| 715250 | 4270250 | 420 | 385 | -285 | -71250000 | -320 | -80000000 | |
| 715750 | 4271250 | 425 | 310 | -210 | -52500000 | -325 | -81250000 | |
| 715750 | 4270750 | 275 | 235 | -135 | -33750000 | -175 | -43750000 | |
| 715750 | 4270250 | 316 | 276 | -176 | -44000000 | -216 | -54000000 | |
| 715750 | 4269750 | 392 | 300 | -200 | -50000000 | -292 | -73000000 | |
| 716250 | 4271750 | 400 | 200 | -100 | -25000000 | -300 | -75000000 | |
| 716250 | 4271250 | 325 | 176 | -76 | -19087834 | -225 | -56250000 | |
| 716250 | 4270750 | 223 | 153 | -53 | -13178057 | -123 | -30750000 | |
| 716250 | 4270250 | 278 | 208 | -108 | -27028549 | -178 | -44500000 | |
| 716750 | 4273250 | 375 | 189 | -89 | -22215975 | -275 | -68750000 | |
| 716750 | 4272750 | 310 | 112 | -12 | -3086033.6 | -210 | -52500000 | |
| 716750 | 4272250 | 300 | 84 | 16 | 4043671.36 | -200 | -50000000 | |
| 716750 | 4271750 | 205 | 84 | 16 | 4046226.39 | -105 | -26250000 | |
| 716750 | 4271250 | 108 | 86 | 14 | 3483986.38 | -8 | -2000000 | |
| 716750 | 4270750 | 150 | 89 | 11 | 2776499.37 | -50 | -12500000 | |
| 716750 | 4270250 | 235 | 89 | 11 | 2750000 | -135 | -33662352 | |
| 717250 | 4273750 | 250 | 156 | -56 | -13922475 | -150 | -37500000 | |
| 717250 | 4273250 | 161 | 111 | -11 | -2848521.4 | -61 | -15348514 | |
| 717250 | 4272750 | 150 | 100 | 0 | 18.3033645 | -50 | -124999999 | |
| 717250 | 4272250 | 144 | 94 | 6 | 1494403.84 | -44 | -11005595 | |
| 717250 | 4271750 | 186 | 136 | -36 | -8878120.6 | -86 | -21378134 | |
| 717250 | 4271250 | 181 | 131 | -31 | -7798582.9 | -81 | -20298580 | |
| 717250 | 4270750 | 144 | 94 | 6 | 1421321.99 | -44 | -11078683 | |
| 717750 | 4274250 | 235 | 185 | -85 | -21357675 | -135 | -33857662 | |
| 717750 | 4273750 | 225 | 175 | -75 | -18691710 | -125 | -31191711 | |
| 717750 | 4273250 | 176 | 126 | -26 | -6429875.2 | -76 | -18929876 | |
| 717750 | 4272750 | 168 | 118 | -18 | -4553350.2 | -68 | -17053318 | |
| 717750 | 4272250 | 230 | 190 | -90 | -22500000 | -130 | -32500000 | |
| 717750 | 4271750 | 230 | 190 | -90 | -22500000 | -130 | -32500000 | |
| 717750 | 4271250 | 190 | 150 | -50 | -12500000 | -90 | -22500000 | |
| 717750 | 4270750 | 170 | 120 | -20 | -5034665.2 | -70 | -17534650 | |
| 718250 | 4274250 | 380 | 330 | -230 | -57447117 | -280 | -69947062 | |
| 718250 | 4273750 | 335 | 242 | -142 | -35452531 | -235 | -58750000 | |
| 718250 | 4273250 | 250 | 175 | -75 | -18655623 | -150 | -37500000 | |
| 718250 | 4272750 | 246 | 196 | -96 | -24123491 | -146 | -36623483 | |
| 718250 | 4272250 | 240 | 200 | -100 | -25000000 | -140 | -35000000 | |
| 718250 | 4271750 | 240 | 200 | -100 | -25000000 | -140 | -35000000 | |
| 718250 | 4271250 | 230 | 180 | -80 | -20000000 | -130 | -32500000 | |
| 718250 | 4270750 | 228 | 178 | -78 | -19509757 | -128 | -32009716 | |
| 718750 | 4273750 | 440 | 360 | -260 | -65018049 | -340 | -85000000 | |
| 718750 | 4273250 | 270 | 217 | -117 | -29156989 | -170 | -42500000 | |
| 718750 | 4272750 | 229 | 179 | -79 | -19742771 | -129 | -32242766 | |
| 718750 | 4272250 | 222 | 172 | -72 | -17910190 | -122 | -30410205 | |
| 718750 | 4271750 | 250 | 190 | -90 | -22500000 | -150 | -37500000 | |
| 719250 | 4273750 | 463 | 413 | -313 | -78254652 | -363 | -90754659 | |
| 719250 | 4273250 | 420 | 350 | -250 | -62500000 | -320 | -80000000 | |
| 719250 | 4272750 | 275 | 180 | -80 | -20000000 | -175 | -43750000 | |
| 719250 | 4272250 | 230 | 170 | -70 | -17500000 | -130 | -32500000 | |
| 719750 | 4273750 | 440 | 400 | -300 | -75000000 | -340 | -85000000 | |
| 719750 | 4273250 | 350 | 300 | -200 | -50000000 | -250 | -62500000 | |
| 720250 | 4273750 | 450 | 400 | -300 | -75000000 | -350 | -87500000 | |

Tabla 12. – Volumen de roca saturada obtenido para la hipótesis 2 (acuífero confinado) para cada una de las celdas del modelo numérico por debajo de la cota 125 m (V_1 = volumen resultante de restar una determinada cota el muro del acuífero; V_2 = volumen resultante de estar la misma cota al techo del acuífero).

| XUTM | YUTM | PIEZO 1996 | MURO | V_1 | V_1 (m ³) | V_2 | V_2 (m ³) |
|--------|---------|------------|------|-------|-------------------------|-------|-------------------------|
| 715250 | 4270750 | 425 | 385 | -260 | -65000000 | -300 | -75000000 |
| 715250 | 4270250 | 420 | 385 | -260 | -65000000 | -295 | -73750000 |
| 715750 | 4271250 | 425 | 310 | -185 | -46250000 | -300 | -75000000 |
| 715750 | 4270750 | 275 | 235 | -110 | -27500000 | -150 | -37500000 |
| 715750 | 4270250 | 316 | 276 | -151 | -37750000 | -191 | -47750000 |
| 715750 | 4269750 | 392 | 300 | -175 | -43750000 | -267 | -66750000 |
| 716250 | 4271750 | 400 | 200 | -75 | -18750000 | -275 | -68750000 |
| 716250 | 4271250 | 325 | 176 | -51 | -12837834 | -200 | -50000000 |
| 716250 | 4270750 | 223 | 153 | -28 | -6928057 | -98 | -24500000 |
| 716250 | 4270250 | 278 | 208 | -83 | -20778549 | -153 | -38250000 |
| 716750 | 4273250 | 375 | 189 | -64 | -15965975 | -250 | -62500000 |
| 716750 | 4272750 | 310 | 112 | 13 | 3163966.41 | -185 | -46250000 |
| 716750 | 4272250 | 300 | 84 | 41 | 10293671.4 | -175 | -43750000 |
| 716750 | 4271750 | 205 | 84 | 41 | 10296226.4 | -80 | -20000000 |
| 716750 | 4271250 | 108 | 86 | 39 | 9733986.38 | 17 | 4250000 |
| 716750 | 4270750 | 150 | 89 | 36 | 9026499.37 | -25 | -6250000 |
| 716750 | 4270250 | 235 | 89 | 36 | 9000000 | -110 | -27412352 |
| 717250 | 4273750 | 250 | 156 | -31 | -7672475.2 | -125 | -31250000 |
| 717250 | 4273250 | 161 | 111 | 14 | 3401478.55 | -36 | -9098513.6 |
| 717250 | 4272750 | 150 | 100 | 25 | 6250018.3 | -25 | -6249999.1 |
| 717250 | 4272250 | 144 | 94 | 31 | 7744403.84 | -19 | -4755595.2 |
| 717250 | 4271750 | 186 | 136 | -11 | -2628120.6 | -61 | -15128134 |
| 717250 | 4271250 | 181 | 131 | -6 | -1548582.9 | -56 | -14048580 |
| 717250 | 4270750 | 144 | 94 | 31 | 7671321.99 | -19 | -4828682.8 |
| 717750 | 4274250 | 235 | 185 | -60 | -15107675 | -110 | -27607662 |
| 717750 | 4273750 | 225 | 175 | -50 | -12441710 | -100 | -24941711 |
| 717750 | 4273250 | 176 | 126 | -1 | -179875.19 | -51 | -12679876 |
| 717750 | 4272750 | 168 | 118 | 7 | 1696649.83 | -43 | -10803318 |
| 717750 | 4272250 | 230 | 190 | -65 | -16250000 | -105 | -26250000 |
| 717750 | 4271750 | 230 | 190 | -65 | -16250000 | -105 | -26250000 |
| 717750 | 4271250 | 190 | 150 | -25 | -6250000 | -65 | -16250000 |
| 717750 | 4270750 | 170 | 120 | 5 | 1215334.81 | -45 | -11284650 |
| 718250 | 4274250 | 380 | 330 | -205 | -51197117 | -255 | -63697062 |
| 718250 | 4273750 | 335 | 242 | -117 | -29202531 | -210 | -52500000 |
| 718250 | 4273250 | 250 | 175 | -50 | -12405623 | -125 | -31250000 |
| 718250 | 4272750 | 246 | 196 | -71 | -17873491 | -121 | -30373483 |
| 718250 | 4272250 | 240 | 200 | -75 | -18750000 | -115 | -28750000 |
| 718250 | 4271750 | 240 | 200 | -75 | -18750000 | -115 | -28750000 |
| 718250 | 4271250 | 230 | 180 | -55 | -13750000 | -105 | -26250000 |
| 718250 | 4270750 | 228 | 178 | -53 | -13259757 | -103 | -25759716 |
| 718750 | 4273750 | 440 | 360 | -235 | -58768049 | -315 | -78750000 |
| 718750 | 4273250 | 270 | 217 | -92 | -22906989 | -145 | -36250000 |
| 718750 | 4272750 | 229 | 179 | -54 | -13492771 | -104 | -25992766 |
| 718750 | 4272250 | 222 | 172 | -47 | -11660190 | -97 | -24160205 |
| 718750 | 4271750 | 250 | 190 | -65 | -16250000 | -125 | -31250000 |
| 719250 | 4273750 | 463 | 413 | -288 | -72004652 | -338 | -84504659 |
| 719250 | 4273250 | 420 | 350 | -225 | -56250000 | -295 | -73750000 |
| 719250 | 4272750 | 275 | 180 | -55 | -13750000 | -150 | -37500000 |
| 719250 | 4272250 | 230 | 170 | -45 | -11250000 | -105 | -26250000 |
| 719750 | 4273750 | 440 | 400 | -275 | -68750000 | -315 | -78750000 |
| 719750 | 4273250 | 350 | 300 | -175 | -43750000 | -225 | -56250000 |
| 720250 | 4273750 | 450 | 400 | -275 | -68750000 | -325 | -81250000 |

79493557

4250000

Tabla 13. – Volumen de roca saturada obtenido para la hipótesis 2 (acuífero confinado) para cada una de las celdas del modelo numérico por debajo de la cota 150 m (V_1 = volumen resultante de restar una determinada cota el muro del acuífero; V_2 = volumen resultante de estar la misma cota al techo del acuífero).

| NUM | YUTM | PIEZO 1996 | MURO | V1 | V1 (m3) | V2 | V2 (m3) |
|--------|---------|------------|------|------|------------|------|------------|
| 715250 | 4270750 | 425 | 385 | -235 | -58750000 | -275 | -68750000 |
| 715250 | 4270250 | 420 | 385 | -235 | -58750000 | -270 | -67500000 |
| 715750 | 4271250 | 425 | 310 | -160 | -40000000 | -275 | -68750000 |
| 715750 | 4270750 | 275 | 235 | -85 | -21250000 | -125 | -31250000 |
| 715750 | 4270250 | 316 | 276 | -126 | -31500000 | -166 | -41500000 |
| 715750 | 4269750 | 392 | 300 | -150 | -37500000 | -242 | -60500000 |
| 716250 | 4271750 | 400 | 200 | -50 | -12500000 | -250 | -62500000 |
| 716250 | 4271250 | 325 | 176 | -26 | -6587833.9 | -175 | -43750000 |
| 716250 | 4270750 | 223 | 153 | -3 | -678057.03 | -73 | -18250000 |
| 716250 | 4270250 | 278 | 208 | -58 | -14528549 | -128 | -32000000 |
| 716750 | 4273250 | 375 | 189 | -39 | -9715974.8 | -225 | -56250000 |
| 716750 | 4272750 | 310 | 112 | 38 | 9413966.41 | -160 | -40000000 |
| 716750 | 4272250 | 300 | 84 | 66 | 16543671.4 | -150 | -37500000 |
| 716750 | 4271750 | 205 | 84 | 66 | 16546226.4 | -55 | -13750000 |
| 716750 | 4271250 | 108 | 86 | 64 | 15983986.4 | 42 | 10500000 |
| 716750 | 4270750 | 150 | 89 | 61 | 15276499.4 | 0 | 0 |
| 716750 | 4270250 | 235 | 89 | 61 | 15250000 | -85 | -21162352 |
| 717250 | 4273750 | 250 | 156 | -6 | -1422475.2 | -100 | -25000000 |
| 717250 | 4273250 | 161 | 111 | 39 | 9651478.55 | -11 | -2848513.6 |
| 717250 | 4272750 | 150 | 100 | 50 | 12500018.3 | 0 | 0.9395375 |
| 717250 | 4272250 | 144 | 94 | 56 | 13994403.8 | 6 | 1494404.82 |
| 717250 | 4271750 | 186 | 136 | 14 | 3621879.38 | -36 | -8878133.7 |
| 717250 | 4271250 | 181 | 131 | 19 | 4701417.07 | -31 | -7798579.9 |
| 717250 | 4270750 | 144 | 94 | 56 | 13921322 | 6 | 1421317.23 |
| 717750 | 4274250 | 235 | 185 | -35 | -8857674.8 | -85 | -21357662 |
| 717750 | 4273750 | 225 | 175 | -25 | -6191710.4 | -75 | -18691711 |
| 717750 | 4273250 | 176 | 126 | 24 | 6070124.81 | -26 | -6429875.9 |
| 717750 | 4272750 | 168 | 118 | 32 | 7946649.83 | -18 | -4553317.6 |
| 717750 | 4272250 | 230 | 190 | -40 | -10000000 | -80 | -20000000 |
| 717750 | 4271750 | 230 | 190 | -40 | -10000000 | -80 | -20000000 |
| 717750 | 4271250 | 190 | 150 | 0 | 0 | -40 | -10000000 |
| 717750 | 4270750 | 170 | 120 | 30 | 7465334.81 | -20 | -5034650 |
| 718250 | 4274250 | 380 | 330 | -180 | -44947117 | -230 | -57447062 |
| 718250 | 4273750 | 335 | 242 | -92 | -22952531 | -185 | -46250000 |
| 718250 | 4273250 | 250 | 175 | -25 | -6155622.5 | -100 | -25000000 |
| 718250 | 4272750 | 246 | 196 | -46 | -11623491 | -96 | -24123483 |
| 718250 | 4272250 | 240 | 200 | -50 | -12500000 | -90 | -22500000 |
| 718250 | 4271750 | 240 | 200 | -50 | -12500000 | -90 | -22500000 |
| 718250 | 4271250 | 230 | 180 | -30 | -7500000 | -80 | -20000000 |
| 718250 | 4270750 | 228 | 178 | -28 | -7009756.7 | -78 | -19509716 |
| 718750 | 4273750 | 440 | 360 | -210 | -52518049 | -290 | -72500000 |
| 718750 | 4273250 | 270 | 217 | -67 | -16656989 | -120 | -30000000 |
| 718750 | 4272750 | 229 | 179 | -29 | -7242770.7 | -79 | -19742766 |
| 718750 | 4272250 | 222 | 172 | -22 | -5410190 | -72 | -17910205 |
| 718750 | 4271750 | 250 | 190 | -40 | -10000000 | -100 | -25000000 |
| 719250 | 4273750 | 463 | 413 | -263 | -65754652 | -313 | -78254659 |
| 719250 | 4273250 | 420 | 350 | -200 | -50000000 | -270 | -67500000 |
| 719250 | 4272750 | 275 | 180 | -30 | -7500000 | -125 | -31250000 |
| 719250 | 4272250 | 230 | 170 | -20 | -5000000 | -80 | -20000000 |
| 719750 | 4273750 | 440 | 400 | -250 | -62500000 | -290 | -72500000 |
| 719750 | 4273250 | 350 | 300 | -150 | -37500000 | -200 | -50000000 |
| 720250 | 4273750 | 450 | 400 | -250 | -62500000 | -300 | -75000000 |

Tabla 14. – Volumen de roca saturada obtenido para la hipótesis 2 (acuífero confinado) para cada una de las celdas del modelo numérico por debajo de la cota 175 m (V_1 = volumen resultante de restar una determinada cota el muro del acuífero; V_2 = volumen resultante de estar la misma cota al techo del acuífero).

| XUTM | YUTM | PIEZO 1996 | MURO | V1 | V1 (m3) | V2 | V2 (m3) |
|--------|---------|------------|------|------|------------|------|------------|
| 715250 | 4270750 | 425 | 385 | -210 | -52500000 | -250 | -62500000 |
| 715250 | 4270250 | 420 | 385 | -210 | -52500000 | -245 | -61250000 |
| 715750 | 4271250 | 425 | 310 | -135 | -33750000 | -250 | -62500000 |
| 715750 | 4270750 | 275 | 235 | -60 | -15000000 | -100 | -25000000 |
| 715750 | 4270250 | 316 | 276 | -101 | -25250000 | -141 | -35250000 |
| 715750 | 4269750 | 392 | 300 | -125 | -31250000 | -217 | -54250000 |
| 716250 | 4271750 | 400 | 200 | -25 | -6250000 | -225 | -56250000 |
| 716250 | 4271250 | 325 | 176 | -1 | -337833.92 | -150 | -37500000 |
| 716250 | 4270750 | 223 | 153 | 22 | 5571942.97 | -48 | -12000000 |
| 716250 | 4270250 | 278 | 208 | -33 | -8278549.3 | -103 | -25750000 |
| 716750 | 4273250 | 375 | 189 | -14 | -3465974.8 | -200 | -50000000 |
| 716750 | 4272750 | 310 | 112 | 63 | 15663966.4 | -135 | -33750000 |
| 716750 | 4272250 | 300 | 84 | 91 | 22793671.4 | -125 | -31250000 |
| 716750 | 4271750 | 205 | 84 | 91 | 22796226.4 | -30 | -7500000 |
| 716750 | 4271250 | 108 | 86 | 89 | 22233986.4 | 67 | 16750000 |
| 716750 | 4270750 | 150 | 89 | 86 | 21526499.4 | 25 | 6250000 |
| 716750 | 4270250 | 235 | 89 | 86 | 21500000 | -60 | -14912352 |
| 717250 | 4273750 | 250 | 156 | 19 | 4827524.84 | -75 | -18750000 |
| 717250 | 4273250 | 161 | 111 | 64 | 15901478.6 | 14 | 3401486.36 |
| 717250 | 4272750 | 150 | 100 | 75 | 18750018.3 | 25 | 6250000.94 |
| 717250 | 4272250 | 144 | 94 | 81 | 20244403.8 | 31 | 7744404.82 |
| 717250 | 4271750 | 186 | 136 | 39 | 9871879.38 | -11 | -2628133.7 |
| 717250 | 4271250 | 181 | 131 | 44 | 10951417.1 | -6 | -1548579.9 |
| 717250 | 4270750 | 144 | 94 | 81 | 20171322 | 31 | 7671317.23 |
| 717750 | 4274250 | 235 | 185 | -10 | -2607674.8 | -60 | -15107662 |
| 717750 | 4273750 | 225 | 175 | 0 | 58289.595 | -50 | -12441711 |
| 717750 | 4273250 | 176 | 126 | 49 | 12320124.8 | -1 | -179875.87 |
| 717750 | 4272750 | 168 | 118 | 57 | 14196649.8 | 7 | 1696682.41 |
| 717750 | 4272250 | 230 | 190 | -15 | -3750000 | -55 | -13750000 |
| 717750 | 4271750 | 230 | 190 | -15 | -3750000 | -55 | -13750000 |
| 717750 | 4271250 | 190 | 150 | 25 | 6250000 | -15 | -3750000 |
| 717750 | 4270750 | 170 | 120 | 55 | 13715334.8 | 5 | 1215349.99 |
| 718250 | 4274250 | 380 | 330 | -155 | -38697117 | -205 | -51197062 |
| 718250 | 4273750 | 335 | 242 | -67 | -16702531 | -160 | -40000000 |
| 718250 | 4273250 | 250 | 175 | 0 | 94377.492 | -75 | -18750000 |
| 718250 | 4272750 | 246 | 196 | -21 | -5373491 | -71 | -17873483 |
| 718250 | 4272250 | 240 | 200 | -25 | -6250000 | -65 | -16250000 |
| 718250 | 4271750 | 240 | 200 | -25 | -6250000 | -65 | -16250000 |
| 718250 | 4271250 | 230 | 180 | -5 | -1250000 | -55 | -13750000 |
| 718250 | 4270750 | 228 | 178 | -3 | -759756.68 | -53 | -13259716 |
| 718750 | 4273750 | 440 | 360 | -185 | -46268049 | -265 | -66250000 |
| 718750 | 4273250 | 270 | 217 | -42 | -10406989 | -95 | -23750000 |
| 718750 | 4272750 | 229 | 179 | -4 | -992770.7 | -54 | -13492766 |
| 718750 | 4272250 | 222 | 172 | 3 | 839809.956 | -47 | -11660205 |
| 718750 | 4271750 | 250 | 190 | -15 | -3750000 | -75 | -18750000 |
| 719250 | 4273750 | 463 | 413 | -238 | -59504652 | -288 | -72004659 |
| 719250 | 4273250 | 420 | 350 | -175 | -43750000 | -245 | -61250000 |
| 719250 | 4272750 | 275 | 180 | -5 | -1250000 | -100 | -25000000 |
| 719250 | 4272250 | 230 | 170 | 5 | 1250000 | -55 | -13750000 |
| 719750 | 4273750 | 440 | 400 | -225 | -56250000 | -265 | -66250000 |
| 719750 | 4273250 | 350 | 300 | -125 | -31250000 | -175 | -43750000 |
| 720250 | 4273750 | 450 | 400 | -225 | -56250000 | -275 | -68750000 |

281528923

50979241

Tabla 15. – Volumen de roca saturada obtenido para la hipótesis 2 (acuífero confinado) para cada una de las celdas del modelo numérico por debajo de la cota 200 m (V_1 = volumen resultante de restar una determinada cota el muro del acuífero; V_2 = volumen resultante de estar la misma cota al techo del acuífero).

| XUTM | YUTM | EPOZO 1996 | MURO | V1 | V1 (m3) | V2 | V2 (m3) |
|--------|---------|------------|------|------|------------|------|------------|
| 715250 | 4270750 | 425 | 385 | -185 | -46250000 | -225 | -56250000 |
| 715250 | 4270250 | 420 | 385 | -185 | -46250000 | -220 | -55000000 |
| 715750 | 4271250 | 425 | 310 | -110 | -27500000 | -225 | -56250000 |
| 715750 | 4270750 | 275 | 235 | -35 | -8750000 | -75 | -18750000 |
| 715750 | 4270250 | 316 | 276 | -76 | -19000000 | -116 | -29000000 |
| 715750 | 4269750 | 392 | 300 | -100 | -25000000 | -192 | -48000000 |
| 716250 | 4271750 | 400 | 200 | 0 | 0 | -200 | -50000000 |
| 716250 | 4271250 | 325 | 176 | 24 | 5912166.08 | -125 | -31250000 |
| 716250 | 4270750 | 223 | 153 | 47 | 11821943 | -23 | -5750000 |
| 716250 | 4270250 | 278 | 208 | -8 | -2028549.3 | -78 | -19500000 |
| 716750 | 4273250 | 375 | 189 | 11 | 2784025.25 | -175 | -43750000 |
| 716750 | 4272750 | 310 | 112 | 88 | 21913966.4 | -110 | -27500000 |
| 716750 | 4272250 | 300 | 84 | 116 | 29043671.4 | -100 | -25000000 |
| 716750 | 4271750 | 205 | 84 | 116 | 29046226.4 | -5 | -1250000 |
| 716750 | 4271250 | 108 | 86 | 114 | 28483986.4 | 92 | 23000000 |
| 716750 | 4270750 | 150 | 89 | 111 | 27776499.4 | 50 | 12500000 |
| 716750 | 4270250 | 235 | 89 | 111 | 27750000 | -35 | -8662352.3 |
| 717250 | 4273750 | 250 | 156 | 44 | 11077524.8 | -50 | -12500000 |
| 717250 | 4273250 | 161 | 111 | 89 | 22151478.6 | 39 | 9651486.36 |
| 717250 | 4272750 | 150 | 100 | 100 | 25000018.3 | 50 | 12500000.9 |
| 717250 | 4272250 | 144 | 94 | 106 | 26494403.8 | 56 | 13994404.8 |
| 717250 | 4271750 | 186 | 136 | 64 | 16121879.4 | 14 | 3621866.27 |
| 717250 | 4271250 | 181 | 131 | 69 | 17201417.1 | 19 | 4701420.13 |
| 717250 | 4270750 | 144 | 94 | 106 | 26421322 | 56 | 13921317.2 |
| 717750 | 4274250 | 235 | 185 | 15 | 3642325.19 | -35 | -8857662.1 |
| 717750 | 4273750 | 225 | 175 | 25 | 6308289.6 | -25 | -6191710.5 |
| 717750 | 4273250 | 176 | 126 | 74 | 18570124.8 | 24 | 6070124.13 |
| 717750 | 4272750 | 168 | 118 | 82 | 20446649.8 | 32 | 7946682.41 |
| 717750 | 4272250 | 230 | 190 | 10 | 2500000 | -30 | -7500000 |
| 717750 | 4271750 | 230 | 190 | 10 | 2500000 | -30 | -7500000 |
| 717750 | 4271250 | 190 | 150 | 50 | 12500000 | 10 | 2500000 |
| 717750 | 4270750 | 170 | 120 | 80 | 19965334.8 | 30 | 7465349.99 |
| 718250 | 4274250 | 380 | 330 | -130 | -32447117 | -180 | -44947062 |
| 718250 | 4273750 | 335 | 242 | -42 | -10452531 | -135 | -33750000 |
| 718250 | 4273250 | 250 | 175 | 25 | 6344377.49 | -50 | -12500000 |
| 718250 | 4272750 | 246 | 196 | 4 | 876509.001 | -46 | -11623483 |
| 718250 | 4272250 | 240 | 200 | 0 | 0 | -40 | -10000000 |
| 718250 | 4271750 | 240 | 200 | 0 | 0 | -40 | -10000000 |
| 718250 | 4271250 | 230 | 180 | 20 | 5000000 | -30 | -7500000 |
| 718250 | 4270750 | 228 | 178 | 22 | 5490243.32 | -28 | -7009716.3 |
| 718750 | 4273750 | 440 | 360 | -160 | -40018049 | -240 | -60000000 |
| 718750 | 4273250 | 270 | 217 | -17 | -4156989.1 | -70 | -17500000 |
| 718750 | 4272750 | 229 | 179 | 21 | 5257229.3 | -29 | -7242765.5 |
| 718750 | 4272250 | 222 | 172 | 28 | 7089809.96 | -22 | -5410205.4 |
| 718750 | 4271750 | 250 | 190 | 10 | 2500000 | -50 | -12500000 |
| 719250 | 4273750 | 463 | 413 | -213 | -53254652 | -263 | -65754659 |
| 719250 | 4273250 | 420 | 350 | -150 | -37500000 | -220 | -55000000 |
| 719250 | 4272750 | 275 | 180 | 20 | 5000000 | -75 | -18750000 |
| 719250 | 4272250 | 230 | 170 | 30 | 7500000 | -30 | -7500000 |
| 719750 | 4273750 | 440 | 400 | -200 | -50000000 | -240 | -60000000 |
| 719750 | 4273250 | 350 | 300 | -100 | -25000000 | -150 | -37500000 |
| 720250 | 4273750 | 450 | 400 | -200 | -50000000 | -250 | -62500000 |

Tabla 16. – Volumen de roca saturada obtenido para la hipótesis 2 (acuífero confinado) para cada una de las celdas del modelo numérico por debajo de la cota 225 m (V_1 = volumen resultante de restar una determinada cota el muro del acuífero; V_2 = volumen resultante de estar la misma cota al techo del acuífero).

| XUTM | YUTM | PIZO 1996 | MURO | V_1 | V_1 (m ³) | V_2 | V_2 (m ³) |
|--------|---------|-----------|------|-------|-------------------------|-------|-------------------------|
| 715250 | 4270750 | 425 | 385 | -160 | -40000000 | -200 | -50000000 |
| 715250 | 4270250 | 420 | 385 | -160 | -40000000 | -195 | -48750000 |
| 715750 | 4271250 | 425 | 310 | -85 | -21250000 | -200 | -50000000 |
| 715750 | 4270750 | 275 | 235 | -10 | -2500000 | -50 | -12500000 |
| 715750 | 4270250 | 316 | 276 | -51 | -12750000 | -91 | -22750000 |
| 715750 | 4269750 | 392 | 300 | -75 | -18750000 | -167 | -41750000 |
| 716250 | 4271750 | 400 | 200 | 25 | 6250000 | -175 | -43750000 |
| 716250 | 4271250 | 325 | 176 | 49 | 12162166.1 | -100 | -25000000 |
| 716250 | 4270750 | 223 | 153 | 72 | 18071943 | 2 | 500000 |
| 716250 | 4270250 | 278 | 208 | 17 | 4221450.7 | -53 | -13250000 |
| 716750 | 4273250 | 375 | 189 | 36 | 9034025.25 | -150 | -37500000 |
| 716750 | 4272750 | 310 | 112 | 113 | 28163966.4 | -85 | -21250000 |
| 716750 | 4272250 | 300 | 84 | 141 | 35293671.4 | -75 | -18750000 |
| 716750 | 4271750 | 205 | 84 | 141 | 35296226.4 | 20 | 5000000 |
| 716750 | 4271250 | 108 | 86 | 139 | 34733986.4 | 117 | 29250000 |
| 716750 | 4270750 | 150 | 89 | 136 | 34026499.4 | 75 | 18750000 |
| 716750 | 4270250 | 235 | 89 | 136 | 34000000 | -10 | -2412352.3 |
| 717250 | 4273750 | 250 | 156 | 69 | 17327524.8 | -25 | -6250000 |
| 717250 | 4273250 | 161 | 111 | 114 | 28401478.6 | 64 | 15901486.4 |
| 717250 | 4272750 | 150 | 100 | 125 | 31250018.3 | 75 | 18750000.9 |
| 717250 | 4272250 | 144 | 94 | 131 | 32744403.8 | 81 | 20244404.8 |
| 717250 | 4271750 | 186 | 136 | 89 | 22371879.4 | 39 | 9871866.27 |
| 717250 | 4271250 | 181 | 131 | 94 | 23451417.1 | 44 | 10951420.1 |
| 717250 | 4270750 | 144 | 94 | 131 | 32671322 | 81 | 20171317.2 |
| 717750 | 4274250 | 235 | 185 | 40 | 9892325.19 | -10 | -2607662.1 |
| 717750 | 4273750 | 225 | 175 | 50 | 12558289.6 | 0 | 58289.4578 |
| 717750 | 4273250 | 176 | 126 | 99 | 24820124.8 | 49 | 12320124.1 |
| 717750 | 4272750 | 168 | 118 | 107 | 26696649.8 | 57 | 14196682.4 |
| 717750 | 4272250 | 230 | 190 | 35 | 8750000 | -5 | -1250000 |
| 717750 | 4271750 | 230 | 190 | 35 | 8750000 | -5 | -1250000 |
| 717750 | 4271250 | 190 | 150 | 75 | 18750000 | 35 | 8750000 |
| 717750 | 4270750 | 170 | 120 | 105 | 26215334.8 | 55 | 13715350 |
| 718250 | 4274250 | 380 | 330 | -105 | -26197117 | -155 | -38697062 |
| 718250 | 4273750 | 335 | 242 | -17 | -4202531.3 | -110 | -27500000 |
| 718250 | 4273250 | 250 | 175 | 50 | 12594377.5 | -25 | -6250000 |
| 718250 | 4272750 | 246 | 196 | 29 | 7126509 | -21 | -5373482.5 |
| 718250 | 4272250 | 240 | 200 | 25 | 6250000 | -15 | -3750000 |
| 718250 | 4271750 | 240 | 200 | 25 | 6250000 | -15 | -3750000 |
| 718250 | 4271250 | 230 | 180 | 45 | 11250000 | -5 | -1250000 |
| 718250 | 4270750 | 228 | 178 | 47 | 11740243.3 | -3 | -759716.3 |
| 718750 | 4273750 | 440 | 360 | -135 | -33768049 | -215 | -53750000 |
| 718750 | 4273250 | 270 | 217 | 8 | 2093010.92 | -45 | -11250000 |
| 718750 | 4272750 | 229 | 179 | 46 | 11507229.3 | -4 | -992765.51 |
| 718750 | 4272250 | 222 | 172 | 53 | 13339810 | 3 | 839794.584 |
| 718750 | 4271750 | 250 | 190 | 35 | 8750000 | -25 | -6250000 |
| 719250 | 4273750 | 463 | 413 | -188 | -47004652 | -238 | -59504659 |
| 719250 | 4273250 | 420 | 350 | -125 | -31250000 | -195 | -48750000 |
| 719250 | 4272750 | 275 | 180 | 45 | 11250000 | -50 | -12500000 |
| 719250 | 4272250 | 230 | 170 | 55 | 13750000 | -5 | -1250000 |
| 719750 | 4273750 | 440 | 400 | -175 | -43750000 | -215 | -53750000 |
| 719750 | 4273250 | 350 | 300 | -75 | -18750000 | -125 | -31250000 |
| 720250 | 4273750 | 450 | 400 | -175 | -43750000 | -225 | -56250000 |

691805883

199270736

Tabla 17. – Volumen de roca saturada obtenido para la hipótesis 2 (acuífero confinado) para cada una de las celdas del modelo numérico por debajo de la cota 250 m (V₁= volumen resultante de restar una determinada cota el muro del acuífero; V₂ = volumen resultante de estar la misma cota al techo del acuífero).

| X (m) | Y (m) | PIEZO 1996 | MUR | V1 | V1 (m ³) | V2 | V2 (m ³) |
|--------|---------|------------|-----|------|----------------------|------|----------------------|
| 715250 | 4270750 | 425 | 385 | -135 | -33750000 | -175 | -43750000 |
| 715250 | 4270250 | 420 | 385 | -135 | -33750000 | -170 | -42500000 |
| 715750 | 4271250 | 425 | 310 | -60 | -15000000 | -175 | -43750000 |
| 715750 | 4270750 | 275 | 235 | 15 | 3750000 | -25 | -6250000 |
| 715750 | 4270250 | 316 | 276 | -26 | -6500000 | -66 | -16500000 |
| 715750 | 4269750 | 392 | 300 | -50 | -12500000 | -142 | -35500000 |
| 716250 | 4271750 | 400 | 200 | 50 | 12500000 | -150 | -37500000 |
| 716250 | 4271250 | 325 | 176 | 74 | 18412166.1 | -75 | -18750000 |
| 716250 | 4270750 | 223 | 153 | 97 | 24321943 | 27 | 6750000 |
| 716250 | 4270250 | 278 | 208 | 42 | 10471450.7 | -28 | -7000000 |
| 716750 | 4273250 | 375 | 189 | 61 | 15284025.2 | -125 | -31250000 |
| 716750 | 4272750 | 310 | 112 | 138 | 34413966.4 | -60 | -15000000 |
| 716750 | 4272250 | 300 | 84 | 166 | 41543671.4 | -50 | -12500000 |
| 716750 | 4271750 | 205 | 84 | 166 | 41546226.4 | 45 | 11250000 |
| 716750 | 4271250 | 108 | 86 | 164 | 40983986.4 | 142 | 35500000 |
| 716750 | 4270750 | 150 | 89 | 161 | 40276499.4 | 100 | 25000000 |
| 716750 | 4270250 | 235 | 89 | 161 | 40250000 | 15 | 3837647.68 |
| 717250 | 4273750 | 250 | 156 | 94 | 23577524.8 | 0 | 0 |
| 717250 | 4273250 | 161 | 111 | 139 | 34651478.6 | 89 | 22151486.4 |
| 717250 | 4272750 | 150 | 100 | 150 | 37500018.3 | 100 | 25000000.9 |
| 717250 | 4272250 | 144 | 94 | 156 | 38994403.8 | 106 | 26494404.8 |
| 717250 | 4271750 | 186 | 136 | 114 | 28621879.4 | 64 | 16121866.3 |
| 717250 | 4271250 | 181 | 131 | 119 | 29701417.1 | 69 | 17201420.1 |
| 717250 | 4270750 | 144 | 94 | 156 | 38921322 | 106 | 26421317.2 |
| 717750 | 4274250 | 235 | 185 | 65 | 16142325.2 | 15 | 3642337.95 |
| 717750 | 4273750 | 225 | 175 | 75 | 18808289.6 | 25 | 6308289.46 |
| 717750 | 4273250 | 176 | 126 | 124 | 31070124.8 | 74 | 18570124.1 |
| 717750 | 4272750 | 168 | 118 | 132 | 32946649.8 | 82 | 20446682.4 |
| 717750 | 4272250 | 230 | 190 | 60 | 15000000 | 20 | 5000000 |
| 717750 | 4271750 | 230 | 190 | 60 | 15000000 | 20 | 5000000 |
| 717750 | 4271250 | 190 | 150 | 100 | 25000000 | 60 | 15000000 |
| 717750 | 4270750 | 170 | 120 | 130 | 32465334.8 | 80 | 19965350 |
| 718250 | 4274250 | 380 | 330 | -80 | -19947117 | -130 | -32447062 |
| 718250 | 4273750 | 335 | 242 | 8 | 2047468.72 | -85 | -21250000 |
| 718250 | 4273250 | 250 | 175 | 75 | 18844377.5 | 0 | 0 |
| 718250 | 4272750 | 246 | 196 | 54 | 13376509 | 4 | 876517.458 |
| 718250 | 4272250 | 240 | 200 | 50 | 12500000 | 10 | 2500000 |
| 718250 | 4271750 | 240 | 200 | 50 | 12500000 | 10 | 2500000 |
| 718250 | 4271250 | 230 | 180 | 70 | 17500000 | 20 | 5000000 |
| 718250 | 4270750 | 228 | 178 | 72 | 17990243.3 | 22 | 5490283.7 |
| 718750 | 4273750 | 440 | 360 | -110 | -27518049 | -190 | -47500000 |
| 718750 | 4273250 | 270 | 217 | 33 | 8343010.92 | -20 | -5000000 |
| 718750 | 4272750 | 229 | 179 | 71 | 17757229.3 | 21 | 5257234.49 |
| 718750 | 4272250 | 222 | 172 | 78 | 19589810 | 28 | 7089794.58 |
| 718750 | 4271750 | 250 | 190 | 60 | 15000000 | 0 | 0 |
| 719250 | 4273750 | 463 | 413 | -163 | -40754652 | -213 | -53254659 |
| 719250 | 4273250 | 420 | 350 | -100 | -25000000 | -170 | -42500000 |
| 719250 | 4272750 | 275 | 180 | 70 | 17500000 | -25 | -6250000 |
| 719250 | 4272250 | 230 | 170 | 80 | 20000000 | 20 | 50000000 |
| 719750 | 4273750 | 440 | 400 | -150 | -37500000 | -190 | -47500000 |
| 719750 | 4273250 | 350 | 300 | -50 | -12500000 | -100 | -25000000 |
| 720250 | 4273750 | 450 | 400 | -150 | -37500000 | -200 | -50000000 |

Tabla 18. – Volumen de roca saturada obtenido para la hipótesis 2 (acuífero confinado) para cada una de las celdas del modelo numérico por debajo de la cota 275 m (V_1 = volumen resultante de restar una determinada cota el muro del acuífero; V_2 = volumen resultante de estar la misma cota al techo del acuífero).

| XUTM | YUTM | PIEZÓ 1996 | MURO | V1 | V1 (m3) | V2 | V2 (m3) |
|--------|---------|------------|------|------|------------|------|------------|
| 715250 | 4270750 | 425 | 385 | -110 | -27500000 | -150 | -37500000 |
| 715250 | 4270250 | 420 | 385 | -110 | -27500000 | -145 | -36250000 |
| 715750 | 4271250 | 425 | 310 | -35 | -8750000 | -150 | -37500000 |
| 715750 | 4270750 | 275 | 235 | 40 | 10000000 | 0 | 0 |
| 715750 | 4270250 | 316 | 276 | -1 | -250000 | -41 | -10250000 |
| 715750 | 4269750 | 392 | 300 | -25 | -6250000 | -117 | -29250000 |
| 716250 | 4271750 | 400 | 200 | 75 | 18750000 | -125 | -31250000 |
| 716250 | 4271250 | 325 | 176 | 99 | 24662166.1 | -50 | -12500000 |
| 716250 | 4270750 | 223 | 153 | 122 | 30571943 | 52 | 13000000 |
| 716250 | 4270250 | 278 | 208 | 67 | 16721450.7 | -3 | -750000 |
| 716750 | 4273250 | 375 | 189 | 86 | 21534025.2 | -100 | -25000000 |
| 716750 | 4272750 | 310 | 112 | 163 | 40663966.4 | -35 | -8750000 |
| 716750 | 4272250 | 300 | 84 | 191 | 47793671.4 | -25 | -6250000 |
| 716750 | 4271750 | 205 | 84 | 191 | 47796226.4 | 70 | 17500000 |
| 716750 | 4271250 | 108 | 86 | 189 | 47233986.4 | 167 | 41750000 |
| 716750 | 4270750 | 150 | 89 | 186 | 46526499.4 | 125 | 31250000 |
| 716750 | 4270250 | 235 | 89 | 186 | 46500000 | 40 | 10087647.7 |
| 717250 | 4273750 | 250 | 156 | 119 | 29827524.8 | 25 | 6250000 |
| 717250 | 4273250 | 161 | 111 | 164 | 40901478.6 | 114 | 28401486.4 |
| 717250 | 4272750 | 150 | 100 | 175 | 43750018.3 | 125 | 31250000.9 |
| 717250 | 4272250 | 144 | 94 | 181 | 45244403.8 | 131 | 32744404.8 |
| 717250 | 4271750 | 186 | 136 | 139 | 34871879.4 | 89 | 22371866.3 |
| 717250 | 4271250 | 181 | 131 | 144 | 35951417.1 | 94 | 23451420.1 |
| 717250 | 4270750 | 144 | 94 | 181 | 45171322 | 131 | 32671317.2 |
| 717750 | 4274250 | 235 | 185 | 90 | 22392325.2 | 40 | 9892337.95 |
| 717750 | 4273750 | 225 | 175 | 100 | 25058289.6 | 50 | 12558289.5 |
| 717750 | 4273250 | 176 | 126 | 149 | 37320124.8 | 99 | 24820124.1 |
| 717750 | 4272750 | 168 | 118 | 157 | 39196649.8 | 107 | 26696682.4 |
| 717750 | 4272250 | 230 | 190 | 85 | 21250000 | 45 | 11250000 |
| 717750 | 4271750 | 230 | 190 | 85 | 21250000 | 45 | 11250000 |
| 717750 | 4271250 | 190 | 150 | 125 | 31250000 | 85 | 21250000 |
| 717750 | 4270750 | 170 | 120 | 155 | 38715334.8 | 105 | 26215350 |
| 718250 | 4274250 | 380 | 330 | -55 | -13697117 | -105 | -26197062 |
| 718250 | 4273750 | 335 | 242 | 33 | 8297468.72 | -60 | -15000000 |
| 718250 | 4273250 | 250 | 175 | 100 | 25094377.5 | 25 | 6250000 |
| 718250 | 4272750 | 246 | 196 | 79 | 19626509 | 29 | 7126517.46 |
| 718250 | 4272250 | 240 | 200 | 75 | 18750000 | 35 | 8750000 |
| 718250 | 4271750 | 240 | 200 | 75 | 18750000 | 35 | 8750000 |
| 718250 | 4271250 | 230 | 180 | 95 | 23750000 | 45 | 11250000 |
| 718250 | 4270750 | 228 | 178 | 97 | 24240243.3 | 47 | 11740283.7 |
| 718750 | 4273750 | 440 | 360 | -85 | -21268049 | -165 | -41250000 |
| 718750 | 4273250 | 270 | 217 | 58 | 14593010.9 | 5 | 1250000 |
| 718750 | 4272750 | 229 | 179 | 96 | 24007229.3 | 46 | 11507234.5 |
| 718750 | 4272250 | 222 | 172 | 103 | 25839810 | 53 | 13339794.6 |
| 718750 | 4271750 | 250 | 190 | 85 | 21250000 | 25 | 6250000 |
| 719250 | 4273750 | 463 | 413 | -138 | -34504652 | -188 | -47004659 |
| 719250 | 4273250 | 420 | 350 | -75 | -18750000 | -145 | -36250000 |
| 719250 | 4272750 | 275 | 180 | 95 | 23750000 | 0 | 0 |
| 719250 | 4272250 | 230 | 170 | 105 | 26250000 | 45 | 11250000 |
| 719750 | 4273750 | 440 | 400 | -125 | -31250000 | -165 | -41250000 |
| 719750 | 4273250 | 350 | 300 | -25 | -6250000 | -75 | -18750000 |
| 720250 | 4273750 | 450 | 400 | -125 | -31250000 | -175 | -43750000 |

Tabla 19. – Volumen de roca saturada obtenido para la hipótesis 2 (acuífero confinado) para cada una de las celdas del modelo numérico por debajo de la cota 300 m (V_1 = volumen resultante de restar una determinada cota el muro del acuífero; V_2 = volumen resultante de estar la misma cota al techo del acuífero).

| XUTM | YUTM | PIEZO | 1996 (MURG) | | V_1 | V_1 (m ³) | | V_2 | V_2 (m ³) |
|--------|---------|-------|-------------|------|------------|-------------------------|------|------------|-------------------------|
| 715250 | 4270750 | 425 | 385 | -85 | -21250000 | | -125 | -31250000 | |
| 715250 | 4270250 | 420 | 385 | -85 | -21250000 | | -120 | -30000000 | |
| 715750 | 4271250 | 425 | 310 | -10 | -2500000 | | -125 | -31250000 | |
| 715750 | 4270750 | 275 | 235 | 65 | 16250000 | | 25 | 6250000 | |
| 715750 | 4270250 | 316 | 276 | 24 | 6000000 | | -16 | -4000000 | |
| 715750 | 4269750 | 392 | 300 | 0 | 0 | | -92 | -23000000 | |
| 716250 | 4271750 | 400 | 200 | 100 | 25000000 | | -100 | -25000000 | |
| 716250 | 4271250 | 325 | 176 | 124 | 30912166.1 | | -25 | -6250000 | |
| 716250 | 4270750 | 223 | 153 | 147 | 36821943 | | 77 | 19250000 | |
| 716250 | 4270250 | 278 | 208 | 92 | 22971450.7 | | 22 | 5500000 | |
| 716750 | 4273250 | 375 | 189 | 111 | 27784025.2 | | -75 | -18750000 | |
| 716750 | 4272750 | 310 | 112 | 188 | 46913966.4 | | -10 | -2500000 | |
| 716750 | 4272250 | 300 | 84 | 216 | 54043671.4 | | 0 | 0 | |
| 716750 | 4271750 | 205 | 84 | 216 | 54046226.4 | | 95 | 23750000 | |
| 716750 | 4271250 | 108 | 86 | 214 | 53483986.4 | | 192 | 48000000 | |
| 716750 | 4270750 | 150 | 89 | 211 | 52776499.4 | | 150 | 37500000 | |
| 716750 | 4270250 | 235 | 89 | 211 | 52750000 | | 65 | 16337647.7 | |
| 717250 | 4273750 | 250 | 156 | 144 | 36077524.8 | | 50 | 12500000 | |
| 717250 | 4273250 | 161 | 111 | 189 | 47151478.6 | | 139 | 34651486.4 | |
| 717250 | 4272750 | 150 | 100 | 200 | 50000018.3 | | 150 | 37500000.9 | |
| 717250 | 4272250 | 144 | 94 | 206 | 51494403.8 | | 156 | 38994404.8 | |
| 717250 | 4271750 | 186 | 136 | 164 | 41121879.4 | | 114 | 28621866.3 | |
| 717250 | 4271250 | 181 | 131 | 169 | 42201417.1 | | 119 | 29701420.1 | |
| 717250 | 4270750 | 144 | 94 | 206 | 51421322 | | 156 | 38921317.2 | |
| 717750 | 4274250 | 235 | 185 | 115 | 28642325.2 | | 65 | 16142337.9 | |
| 717750 | 4273750 | 225 | 175 | 125 | 31308289.6 | | 75 | 18808289.5 | |
| 717750 | 4273250 | 176 | 126 | 174 | 43570124.8 | | 124 | 31070124.1 | |
| 717750 | 4272750 | 168 | 118 | 182 | 45446649.8 | | 132 | 32946682.4 | |
| 717750 | 4272250 | 230 | 190 | 110 | 27500000 | | 70 | 17500000 | |
| 717750 | 4271750 | 230 | 190 | 110 | 27500000 | | 70 | 17500000 | |
| 717750 | 4271250 | 190 | 150 | 150 | 37500000 | | 110 | 27500000 | |
| 717750 | 4270750 | 170 | 120 | 180 | 44965334.8 | | 130 | 32465350 | |
| 718250 | 4274250 | 380 | 330 | -30 | -7447117.4 | | -80 | -19947062 | |
| 718250 | 4273750 | 335 | 242 | 58 | 14547468.7 | | -35 | -8750000 | |
| 718250 | 4273250 | 250 | 175 | 125 | 31344377.5 | | 50 | 12500000 | |
| 718250 | 4272750 | 246 | 196 | 104 | 25876509 | | 54 | 13376517.5 | |
| 718250 | 4272250 | 240 | 200 | 100 | 25000000 | | 60 | 15000000 | |
| 718250 | 4271750 | 240 | 200 | 100 | 25000000 | | 60 | 15000000 | |
| 718250 | 4271250 | 230 | 180 | 120 | 30000000 | | 70 | 17500000 | |
| 718250 | 4270750 | 228 | 178 | 122 | 30490243.3 | | 72 | 17990283.7 | |
| 718750 | 4273750 | 440 | 360 | -60 | -15018049 | | -140 | -35000000 | |
| 718750 | 4273250 | 270 | 217 | 83 | 20843010.9 | | 30 | 7500000 | |
| 718750 | 4272750 | 229 | 179 | 121 | 30257229.3 | | 71 | 17757234.5 | |
| 718750 | 4272250 | 222 | 172 | 128 | 32089810 | | 78 | 19589794.6 | |
| 718750 | 4271750 | 250 | 190 | 110 | 27500000 | | 50 | 12500000 | |
| 719250 | 4273750 | 463 | 413 | -113 | -28254652 | | -163 | -40754659 | |
| 719250 | 4273250 | 420 | 350 | -50 | -12500000 | | -120 | -30000000 | |
| 719250 | 4272750 | 275 | 180 | 120 | 30000000 | | 25 | 6250000 | |
| 719250 | 4272250 | 230 | 170 | 130 | 32500000 | | 70 | 17500000 | |
| 719750 | 4273750 | 440 | 400 | -100 | -25000000 | | -140 | -35000000 | |
| 719750 | 4273250 | 350 | 300 | 0 | 0 | | -50 | -12500000 | |
| 720250 | 4273750 | 450 | 400 | -100 | -25000000 | | -150 | -37500000 | |

1441103352

743874757

Tabla 20. – Volumen de roca saturada obtenido para la hipótesis 2 (acuífero confinado) para cada una de las celdas del modelo numérico por debajo de la cota 325 m (V_1 = volumen resultante de restar una determinada cota el muro del acuífero; V_2 = volumen resultante de estar la misma cota al techo del acuífero).

| XUTM | YUTM | PIEZO 1996 | MURO | V_1 | V_1 (m ³) | V_2 | V_2 (m ³) |
|--------|---------|------------|------|-------|-------------------------|-------|-------------------------|
| 715250 | 4270750 | 425 | 385 | -60 | -15000000 | -100 | -25000000 |
| 715250 | 4270250 | 420 | 385 | -60 | -15000000 | -95 | -23750000 |
| 715750 | 4271250 | 425 | 310 | 15 | 3750000 | -100 | -25000000 |
| 715750 | 4270750 | 275 | 235 | 90 | 22500000 | 50 | 12500000 |
| 715750 | 4270250 | 316 | 276 | 49 | 12250000 | 9 | 2250000 |
| 715750 | 4269750 | 392 | 300 | 25 | 6250000 | -67 | -16750000 |
| 716250 | 4271750 | 400 | 200 | 125 | 31250000 | -75 | -18750000 |
| 716250 | 4271250 | 325 | 176 | 149 | 37162166.1 | 0 | 0 |
| 716250 | 4270750 | 223 | 153 | 172 | 43071943 | 102 | 25500000 |
| 716250 | 4270250 | 278 | 208 | 117 | 29221450.7 | 47 | 11750000 |
| 716750 | 4273250 | 375 | 189 | 136 | 34034025.2 | -50 | -12500000 |
| 716750 | 4272750 | 310 | 112 | 213 | 53163966.4 | 15 | 3750000 |
| 716750 | 4272250 | 300 | 84 | 241 | 60293671.4 | 25 | 6250000 |
| 716750 | 4271750 | 205 | 84 | 241 | 60296226.4 | 120 | 30000000 |
| 716750 | 4271250 | 108 | 86 | 239 | 59733986.4 | 217 | 54250000 |
| 716750 | 4270750 | 150 | 89 | 236 | 59026499.4 | 175 | 43750000 |
| 716750 | 4270250 | 235 | 89 | 236 | 59000000 | 90 | 22587647.7 |
| 717250 | 4273750 | 250 | 156 | 169 | 42327524.8 | 75 | 18750000 |
| 717250 | 4273250 | 161 | 111 | 214 | 53401478.6 | 164 | 40901486.4 |
| 717250 | 4272750 | 150 | 100 | 225 | 56250018.3 | 175 | 43750000.9 |
| 717250 | 4272250 | 144 | 94 | 231 | 57744403.8 | 181 | 45244404.8 |
| 717250 | 4271750 | 186 | 136 | 189 | 47371879.4 | 139 | 34871866.3 |
| 717250 | 4271250 | 181 | 131 | 194 | 48451417.1 | 144 | 35951420.1 |
| 717250 | 4270750 | 144 | 94 | 231 | 57671322 | 181 | 45171317.2 |
| 717750 | 4274250 | 235 | 185 | 140 | 34892325.2 | 90 | 22392337.9 |
| 717750 | 4273750 | 225 | 175 | 150 | 37558289.6 | 100 | 25058289.5 |
| 717750 | 4273250 | 176 | 126 | 199 | 49820124.8 | 149 | 37320124.1 |
| 717750 | 4272750 | 168 | 118 | 207 | 51696649.8 | 157 | 39196682.4 |
| 717750 | 4272250 | 230 | 190 | 135 | 33750000 | 95 | 23750000 |
| 717750 | 4271750 | 230 | 190 | 135 | 33750000 | 95 | 23750000 |
| 717750 | 4271250 | 190 | 150 | 175 | 43750000 | 135 | 33750000 |
| 717750 | 4270750 | 170 | 120 | 205 | 51215334.8 | 155 | 38715350 |
| 718250 | 4274250 | 380 | 330 | -5 | -1197117.4 | -55 | -13697062 |
| 718250 | 4273750 | 335 | 242 | 83 | 20797468.7 | -10 | -2500000 |
| 718250 | 4273250 | 250 | 175 | 150 | 37594377.5 | 75 | 18750000 |
| 718250 | 4272750 | 246 | 196 | 129 | 32126509 | 79 | 19626517.5 |
| 718250 | 4272250 | 240 | 200 | 125 | 31250000 | 85 | 21250000 |
| 718250 | 4271750 | 240 | 200 | 125 | 31250000 | 85 | 21250000 |
| 718250 | 4271250 | 230 | 180 | 145 | 36250000 | 95 | 23750000 |
| 718250 | 4270750 | 228 | 178 | 147 | 36740243.3 | 97 | 24240283.7 |
| 718750 | 4273750 | 440 | 360 | -35 | -8768048.8 | -115 | -28750000 |
| 718750 | 4273250 | 270 | 217 | 108 | 27093010.9 | 55 | 13750000 |
| 718750 | 4272750 | 229 | 179 | 146 | 36507229.3 | 96 | 24007234.5 |
| 718750 | 4272250 | 222 | 172 | 153 | 38339810 | 103 | 25839794.6 |
| 718750 | 4271750 | 250 | 190 | 135 | 33750000 | 75 | 18750000 |
| 719250 | 4273750 | 463 | 413 | -88 | -22004652 | -138 | -34504659 |
| 719250 | 4273250 | 420 | 350 | -25 | -6250000 | -95 | -23750000 |
| 719250 | 4272750 | 275 | 180 | 145 | 36250000 | 50 | 12500000 |
| 719250 | 4272250 | 230 | 170 | 155 | 38750000 | 95 | 23750000 |
| 719750 | 4273750 | 440 | 400 | -75 | -18750000 | -115 | -28750000 |
| 719750 | 4273250 | 350 | 300 | 25 | 6250000 | -25 | -6250000 |
| 720250 | 4273750 | 450 | 400 | -75 | -18750000 | -125 | -31250000 |

Tabla 21. – Volumen de roca saturada obtenido para la hipótesis 2 (acuífero confinado) para cada una de las celdas del modelo numérico por debajo de la cota 350 m (V_1 = volumen resultante de restar una determinada cota el muro del acuífero; V_2 = volumen resultante de estar la misma cota al techo del acuífero).

| XUTM | YUTM | H(73) | 1926 | NUEVOS | V1 | V1 (m3) | V2 | V2 (m3) |
|--------|---------|-------|------|--------|------------|---------|------------|---------|
| 715250 | 4270750 | 425 | 385 | -35 | -8750000 | -75 | -18750000 | |
| 715250 | 4270250 | 420 | 385 | -35 | -8750000 | -70 | -17500000 | |
| 715750 | 4271250 | 425 | 310 | 40 | 10000000 | -75 | -18750000 | |
| 715750 | 4270750 | 275 | 235 | 115 | 28750000 | 75 | 18750000 | |
| 715750 | 4270250 | 316 | 276 | 74 | 18500000 | 34 | 8500000 | |
| 715750 | 4269750 | 392 | 300 | 50 | 12500000 | -42 | -10500000 | |
| 716250 | 4271750 | 400 | 200 | 150 | 37500000 | -50 | -12500000 | |
| 716250 | 4271250 | 325 | 176 | 174 | 43412166.1 | 25 | 6250000 | |
| 716250 | 4270750 | 223 | 153 | 197 | 49321943 | 127 | 31750000 | |
| 716250 | 4270250 | 278 | 208 | 142 | 35471450.7 | 72 | 18000000 | |
| 716750 | 4273250 | 375 | 189 | 161 | 40284025.2 | -25 | -6250000 | |
| 716750 | 4272750 | 310 | 112 | 238 | 59413966.4 | 40 | 10000000 | |
| 716750 | 4272250 | 300 | 84 | 266 | 66543671.4 | 50 | 12500000 | |
| 716750 | 4271750 | 205 | 84 | 266 | 66546226.4 | 145 | 36250000 | |
| 716750 | 4271250 | 108 | 86 | 264 | 65983986.4 | 242 | 60500000 | |
| 716750 | 4270750 | 150 | 89 | 261 | 65276499.4 | 200 | 50000000 | |
| 716750 | 4270250 | 235 | 89 | 261 | 65250000 | 115 | 28837647.7 | |
| 717250 | 4273750 | 250 | 156 | 194 | 48577524.8 | 100 | 25000000 | |
| 717250 | 4273250 | 161 | 111 | 239 | 59651478.6 | 189 | 47151486.4 | |
| 717250 | 4272750 | 150 | 100 | 250 | 62500018.3 | 200 | 50000000.9 | |
| 717250 | 4272250 | 144 | 94 | 256 | 63994403.8 | 206 | 51494404.8 | |
| 717250 | 4271750 | 186 | 136 | 214 | 53621879.4 | 164 | 41121866.3 | |
| 717250 | 4271250 | 181 | 131 | 219 | 54701417.1 | 169 | 42201420.1 | |
| 717250 | 4270750 | 144 | 94 | 256 | 63921322 | 206 | 51421317.2 | |
| 717750 | 4274250 | 235 | 185 | 165 | 41142325.2 | 115 | 28642337.9 | |
| 717750 | 4273750 | 225 | 175 | 175 | 43808289.6 | 125 | 31308289.5 | |
| 717750 | 4273250 | 176 | 126 | 224 | 56070124.8 | 174 | 43570124.1 | |
| 717750 | 4272750 | 168 | 118 | 232 | 57946649.8 | 182 | 45446682.4 | |
| 717750 | 4272250 | 230 | 190 | 160 | 40000000 | 120 | 30000000 | |
| 717750 | 4271750 | 230 | 190 | 160 | 40000000 | 120 | 30000000 | |
| 717750 | 4271250 | 190 | 150 | 200 | 50000000 | 160 | 40000000 | |
| 717750 | 4270750 | 170 | 120 | 230 | 57465334.8 | 180 | 44965350 | |
| 718250 | 4274250 | 380 | 330 | 20 | 5052882.61 | -30 | -7447062.3 | |
| 718250 | 4273750 | 335 | 242 | 108 | 27047468.7 | 15 | 3750000 | |
| 718250 | 4273250 | 250 | 175 | 175 | 43844377.5 | 100 | 25000000 | |
| 718250 | 4272750 | 246 | 196 | 154 | 38376509 | 104 | 25876517.5 | |
| 718250 | 4272250 | 240 | 200 | 150 | 37500000 | 110 | 27500000 | |
| 718250 | 4271750 | 240 | 200 | 150 | 37500000 | 110 | 27500000 | |
| 718250 | 4271250 | 230 | 180 | 170 | 42500000 | 120 | 30000000 | |
| 718250 | 4270750 | 228 | 178 | 172 | 42990243.3 | 122 | 30490283.7 | |
| 718750 | 4273750 | 440 | 360 | -10 | -2518048.8 | -90 | -22500000 | |
| 718750 | 4273250 | 270 | 217 | 133 | 33343010.9 | 80 | 20000000 | |
| 718750 | 4272750 | 229 | 179 | 171 | 42757229.3 | 121 | 30257234.5 | |
| 718750 | 4272250 | 222 | 172 | 178 | 44589810 | 128 | 32089794.6 | |
| 718750 | 4271750 | 250 | 190 | 160 | 40000000 | 100 | 25000000 | |
| 719250 | 4273750 | 463 | 413 | -63 | -15754652 | -113 | -28254659 | |
| 719250 | 4273250 | 420 | 350 | 0 | 0 | -70 | -17500000 | |
| 719250 | 4272750 | 275 | 180 | 170 | 42500000 | 75 | 18750000 | |
| 719250 | 4272250 | 230 | 170 | 180 | 45000000 | 120 | 30000000 | |
| 719750 | 4273750 | 440 | 400 | -50 | -12500000 | -90 | -22500000 | |
| 719750 | 4273250 | 350 | 300 | 50 | 12500000 | 0 | 0 | |
| 720250 | 4273750 | 450 | 400 | -50 | -12500000 | -100 | -25000000 | |

Tabla 22. – Volumen de roca saturada obtenido para la hipótesis 2 (acuífero confinado) para cada una de las celdas del modelo numérico por debajo de la cota 375 m (V_1 = volumen resultante de restar una determinada cota el muro del acuífero; V_2 = volumen resultante de estar la misma cota al techo del acuífero).

| XUTM | YUTM | PIEZÓ 1996 | MURO | V_1 | V_1 (m ³) | V_2 | V_2 (m ³) |
|--------|---------|------------|------|-------|-------------------------|-------|-------------------------|
| 715250 | 4270750 | 425 | 385 | -10 | -2500000 | -50 | -12500000 |
| 715250 | 4270250 | 420 | 385 | -10 | -2500000 | -45 | -11250000 |
| 715750 | 4271250 | 425 | 310 | 65 | 16250000 | -50 | -12500000 |
| 715750 | 4270750 | 275 | 235 | 140 | 35000000 | 100 | 25000000 |
| 715750 | 4270250 | 316 | 276 | 99 | 24750000 | 59 | 14750000 |
| 715750 | 4269750 | 392 | 300 | 75 | 18750000 | -17 | -4250000 |
| 716250 | 4271750 | 400 | 200 | 175 | 43750000 | -25 | -6250000 |
| 716250 | 4271250 | 325 | 176 | 199 | 49662166.1 | 50 | 12500000 |
| 716250 | 4270750 | 223 | 153 | 222 | 55571943 | 152 | 38000000 |
| 716250 | 4270250 | 278 | 208 | 167 | 41721450.7 | 97 | 24250000 |
| 716750 | 4273250 | 375 | 189 | 186 | 46534025.2 | 0 | 0 |
| 716750 | 4272750 | 310 | 112 | 263 | 65663966.4 | 65 | 16250000 |
| 716750 | 4272250 | 300 | 84 | 291 | 72793671.4 | 75 | 18750000 |
| 716750 | 4271750 | 205 | 84 | 291 | 72796226.4 | 170 | 42500000 |
| 716750 | 4271250 | 108 | 86 | 289 | 72233986.4 | 267 | 66750000 |
| 716750 | 4270750 | 150 | 89 | 286 | 71526499.4 | 225 | 56250000 |
| 716750 | 4270250 | 235 | 89 | 286 | 71500000 | 140 | 35087647.7 |
| 717250 | 4273750 | 250 | 156 | 219 | 54827524.8 | 125 | 31250000 |
| 717250 | 4273250 | 161 | 111 | 264 | 65901478.6 | 214 | 53401486.4 |
| 717250 | 4272750 | 150 | 100 | 275 | 68750018.3 | 225 | 56250000.9 |
| 717250 | 4272250 | 144 | 94 | 281 | 70244403.8 | 231 | 57744404.8 |
| 717250 | 4271750 | 186 | 136 | 239 | 59871879.4 | 189 | 47371866.3 |
| 717250 | 4271250 | 181 | 131 | 244 | 60951417.1 | 194 | 48451420.1 |
| 717250 | 4270750 | 144 | 94 | 281 | 70171322 | 231 | 57671317.2 |
| 717750 | 4274250 | 235 | 185 | 190 | 47392325.2 | 140 | 34892337.9 |
| 717750 | 4273750 | 225 | 175 | 200 | 50058289.6 | 150 | 37558289.5 |
| 717750 | 4273250 | 176 | 126 | 249 | 62320124.8 | 199 | 49820124.1 |
| 717750 | 4272750 | 168 | 118 | 257 | 64196649.8 | 207 | 51696682.4 |
| 717750 | 4272250 | 230 | 190 | 185 | 46250000 | 145 | 36250000 |
| 717750 | 4271750 | 230 | 190 | 185 | 46250000 | 145 | 36250000 |
| 717750 | 4271250 | 190 | 150 | 225 | 56250000 | 185 | 46250000 |
| 717750 | 4270750 | 170 | 120 | 255 | 63715334.8 | 205 | 51215350 |
| 718250 | 4274250 | 380 | 330 | 45 | 11302882.6 | -5 | -1197062.3 |
| 718250 | 4273750 | 335 | 242 | 133 | 33297468.7 | 40 | 10000000 |
| 718250 | 4273250 | 250 | 175 | 200 | 50094377.5 | 125 | 31250000 |
| 718250 | 4272750 | 246 | 196 | 179 | 44626509 | 129 | 32126517.5 |
| 718250 | 4272250 | 240 | 200 | 175 | 43750000 | 135 | 33750000 |
| 718250 | 4271750 | 240 | 200 | 175 | 43750000 | 135 | 33750000 |
| 718250 | 4271250 | 230 | 180 | 195 | 48750000 | 145 | 36250000 |
| 718250 | 4270750 | 228 | 178 | 197 | 49240243.3 | 147 | 36740283.7 |
| 718750 | 4273750 | 440 | 360 | 15 | 3731951.21 | -65 | -16250000 |
| 718750 | 4273250 | 270 | 217 | 158 | 39593010.9 | 105 | 26250000 |
| 718750 | 4272750 | 229 | 179 | 196 | 49007229.3 | 146 | 36507234.5 |
| 718750 | 4272250 | 222 | 172 | 203 | 50839810 | 153 | 38339794.6 |
| 718750 | 4271750 | 250 | 190 | 185 | 46250000 | 125 | 31250000 |
| 719250 | 4273750 | 463 | 413 | -38 | -9504652.5 | -88 | -22004659 |
| 719250 | 4273250 | 420 | 350 | 25 | 6250000 | -45 | -11250000 |
| 719250 | 4272750 | 275 | 180 | 195 | 48750000 | 100 | 25000000 |
| 719250 | 4272250 | 230 | 170 | 205 | 51250000 | 145 | 36250000 |
| 719750 | 4273750 | 440 | 400 | -25 | -6250000 | -65 | -16250000 |
| 719750 | 4273250 | 350 | 300 | 75 | 18750000 | 25 | 6250000 |
| 720250 | 4273750 | 450 | 400 | -25 | -6250000 | -75 | -18750000 |

Tabla 23. – Volumen de roca saturada obtenido para la hipótesis 2 (acuífero confinado) para cada una de las celdas del modelo numérico por debajo de la cota 400 m (V_1 = volumen resultante de restar una determinada cota el muro del acuífero; V_2 = volumen resultante de estar la misma cota al techo del acuífero).

| XUTM | YUTM | PIEZO 1996 | MURO | V_1 | V_1 (m ³) | V_2 | V_2 (m ³) |
|--------|---------|------------|------|-------|-------------------------|-------|-------------------------|
| 715250 | 4270750 | 425 | 385 | 15 | 3750000 | -25 | -6250000 |
| 715250 | 4270250 | 420 | 385 | 15 | 3750000 | -20 | -5000000 |
| 715750 | 4271250 | 425 | 310 | 90 | 22500000 | -25 | -6250000 |
| 715750 | 4270750 | 275 | 235 | 165 | 41250000 | 125 | 31250000 |
| 715750 | 4270250 | 316 | 276 | 124 | 31000000 | 84 | 21000000 |
| 715750 | 4269750 | 392 | 300 | 100 | 25000000 | 8 | 2000000 |
| 716250 | 4271750 | 400 | 200 | 200 | 50000000 | 0 | 0 |
| 716250 | 4271250 | 325 | 176 | 224 | 55912166.1 | 75 | 18750000 |
| 716250 | 4270750 | 223 | 153 | 247 | 61821943 | 177 | 44250000 |
| 716250 | 4270250 | 278 | 208 | 192 | 47971450.7 | 122 | 30500000 |
| 716750 | 4273250 | 375 | 189 | 211 | 52784025.2 | 25 | 6250000 |
| 716750 | 4272750 | 310 | 112 | 288 | 71913966.4 | 90 | 22500000 |
| 716750 | 4272250 | 300 | 84 | 316 | 79043671.4 | 100 | 25000000 |
| 716750 | 4271750 | 205 | 84 | 316 | 79046226.4 | 195 | 48750000 |
| 716750 | 4271250 | 108 | 86 | 314 | 78483986.4 | 292 | 73000000 |
| 716750 | 4270750 | 150 | 89 | 311 | 77776499.4 | 250 | 62500000 |
| 716750 | 4270250 | 235 | 89 | 311 | 77750000 | 165 | 41337647.7 |
| 717250 | 4273750 | 250 | 156 | 244 | 61077524.8 | 150 | 37500000 |
| 717250 | 4273250 | 161 | 111 | 289 | 72151478.6 | 239 | 59651486.4 |
| 717250 | 4272750 | 150 | 100 | 300 | 75000018.3 | 250 | 62500000.9 |
| 717250 | 4272250 | 144 | 94 | 306 | 76494403.8 | 256 | 63994404.8 |
| 717250 | 4271750 | 186 | 136 | 264 | 66121879.4 | 214 | 53621866.3 |
| 717250 | 4271250 | 181 | 131 | 269 | 67201417.1 | 219 | 54701420.1 |
| 717250 | 4270750 | 144 | 94 | 306 | 76421322 | 256 | 63921317.2 |
| 717750 | 4274250 | 235 | 185 | 215 | 53642325.2 | 165 | 41142337.9 |
| 717750 | 4273750 | 225 | 175 | 225 | 56308289.6 | 175 | 43808289.5 |
| 717750 | 4273250 | 176 | 126 | 274 | 68570124.8 | 224 | 56070124.1 |
| 717750 | 4272750 | 168 | 118 | 282 | 70446649.8 | 232 | 57946682.4 |
| 717750 | 4272250 | 230 | 190 | 210 | 52500000 | 170 | 42500000 |
| 717750 | 4271750 | 230 | 190 | 210 | 52500000 | 170 | 42500000 |
| 717750 | 4271250 | 190 | 150 | 250 | 62500000 | 210 | 52500000 |
| 717750 | 4270750 | 170 | 120 | 280 | 69965334.8 | 230 | 57465350 |
| 718250 | 4274250 | 380 | 330 | 70 | 17552882.6 | 20 | 5052937.68 |
| 718250 | 4273750 | 335 | 242 | 158 | 39547468.7 | 65 | 16250000 |
| 718250 | 4273250 | 250 | 175 | 225 | 56344377.5 | 150 | 37500000 |
| 718250 | 4272750 | 246 | 196 | 204 | 50876509 | 154 | 38376517.5 |
| 718250 | 4272250 | 240 | 200 | 200 | 50000000 | 160 | 40000000 |
| 718250 | 4271750 | 240 | 200 | 200 | 50000000 | 160 | 40000000 |
| 718250 | 4271250 | 230 | 180 | 220 | 55000000 | 170 | 42500000 |
| 718250 | 4270750 | 228 | 178 | 222 | 55490243.3 | 172 | 42990283.7 |
| 718750 | 4273750 | 440 | 360 | 40 | 9981951.21 | -40 | -10000000 |
| 718750 | 4273250 | 270 | 217 | 183 | 45843010.9 | 130 | 32500000 |
| 718750 | 4272750 | 229 | 179 | 221 | 55257229.3 | 171 | 42757234.5 |
| 718750 | 4272250 | 222 | 172 | 228 | 57089810 | 178 | 44589794.6 |
| 718750 | 4271750 | 250 | 190 | 210 | 52500000 | 150 | 37500000 |
| 719250 | 4273750 | 463 | 413 | -13 | -3254652.5 | -63 | -15754659 |
| 719250 | 4273250 | 420 | 350 | 50 | 12500000 | -20 | -5000000 |
| 719250 | 4272750 | 275 | 180 | 220 | 55000000 | 125 | 31250000 |
| 719250 | 4272250 | 230 | 170 | 230 | 57500000 | 170 | 42500000 |
| 719750 | 4273750 | 440 | 400 | 0 | 0 | -40 | -10000000 |
| 719750 | 4273250 | 350 | 300 | 100 | 25000000 | 50 | 12500000 |
| 720250 | 4273750 | 450 | 400 | 0 | 0 | -50 | -12500000 |

2586138186

1723177695

Tabla 24. – Volumen de roca saturada obtenido para la hipótesis 2 (acuífero confinado) para cada una de las celdas del modelo numérico por debajo de la cota 425 m (V_1 = volumen resultante de restar una determinada cota el muro del acuífero; V_2 = volumen resultante de estar la misma cota al techo del acuífero).

| XUTM | YUTM | PIEZÓ 1996 | MURC | V_1 | V_1 (m ³) | V_2 | V_2 (m ³) |
|--------|---------|------------|------|-------|-------------------------|-------|-------------------------|
| 715250 | 4270750 | 425 | 385 | 40 | 10000000 | 0 | 0 |
| 715250 | 4270250 | 420 | 385 | 40 | 10000000 | 5 | 1250000 |
| 715750 | 4271250 | 425 | 310 | 115 | 28750000 | 0 | 0 |
| 715750 | 4270750 | 275 | 235 | 190 | 47500000 | 150 | 37500000 |
| 715750 | 4270250 | 316 | 276 | 149 | 37250000 | 109 | 27250000 |
| 715750 | 4269750 | 392 | 300 | 125 | 31250000 | 33 | 8250000 |
| 716250 | 4271750 | 400 | 200 | 225 | 56250000 | 25 | 6250000 |
| 716250 | 4271250 | 325 | 176 | 249 | 62162166.1 | 100 | 25000000 |
| 716250 | 4270750 | 223 | 153 | 272 | 68071943 | 202 | 50500000 |
| 716250 | 4270250 | 278 | 208 | 217 | 54221450.7 | 147 | 36750000 |
| 716750 | 4273250 | 375 | 189 | 236 | 59034025.2 | 50 | 12500000 |
| 716750 | 4272750 | 310 | 112 | 313 | 78163966.4 | 115 | 28750000 |
| 716750 | 4272250 | 300 | 84 | 341 | 85293671.4 | 125 | 31250000 |
| 716750 | 4271750 | 205 | 84 | 341 | 85296226.4 | 220 | 55000000 |
| 716750 | 4271250 | 108 | 86 | 339 | 84733986.4 | 317 | 79250000 |
| 716750 | 4270750 | 150 | 89 | 336 | 84026499.4 | 275 | 68750000 |
| 716750 | 4270250 | 235 | 89 | 336 | 84000000 | 190 | 47587647.7 |
| 717250 | 4273750 | 250 | 156 | 269 | 67327524.8 | 175 | 43750000 |
| 717250 | 4273250 | 161 | 111 | 314 | 78401478.6 | 264 | 65901486.4 |
| 717250 | 4272750 | 150 | 100 | 325 | 81250018.3 | 275 | 68750000.9 |
| 717250 | 4272250 | 144 | 94 | 331 | 82744403.8 | 281 | 70244404.8 |
| 717250 | 4271750 | 186 | 136 | 289 | 72371879.4 | 239 | 59871866.3 |
| 717250 | 4271250 | 181 | 131 | 294 | 73451417.1 | 244 | 60951420.1 |
| 717250 | 4270750 | 144 | 94 | 331 | 82671322 | 281 | 70171317.2 |
| 717750 | 4274250 | 235 | 185 | 240 | 59892325.2 | 190 | 47392337.9 |
| 717750 | 4273750 | 225 | 175 | 250 | 62558289.6 | 200 | 50058289.5 |
| 717750 | 4273250 | 176 | 126 | 299 | 74820124.8 | 249 | 62320124.1 |
| 717750 | 4272750 | 168 | 118 | 307 | 76696649.8 | 257 | 64196682.4 |
| 717750 | 4272250 | 230 | 190 | 235 | 58750000 | 195 | 48750000 |
| 717750 | 4271750 | 230 | 190 | 235 | 58750000 | 195 | 48750000 |
| 717750 | 4271250 | 190 | 150 | 275 | 68750000 | 235 | 58750000 |
| 717750 | 4270750 | 170 | 120 | 305 | 76215334.8 | 255 | 63715350 |
| 718250 | 4274250 | 380 | 330 | 95 | 23802882.6 | 45 | 11302937.7 |
| 718250 | 4273750 | 335 | 242 | 183 | 45797468.7 | 90 | 22500000 |
| 718250 | 4273250 | 250 | 175 | 250 | 62594377.5 | 175 | 43750000 |
| 718250 | 4272750 | 246 | 196 | 229 | 57126509 | 179 | 44626517.5 |
| 718250 | 4272250 | 240 | 200 | 225 | 56250000 | 185 | 46250000 |
| 718250 | 4271750 | 240 | 200 | 225 | 56250000 | 185 | 46250000 |
| 718250 | 4271250 | 230 | 180 | 245 | 61250000 | 195 | 48750000 |
| 718250 | 4270750 | 228 | 178 | 247 | 61740243.3 | 197 | 49240283.7 |
| 718750 | 4273750 | 440 | 360 | 65 | 16231951.2 | -15 | -3750000 |
| 718750 | 4273250 | 270 | 217 | 208 | 52093010.9 | 155 | 38750000 |
| 718750 | 4272750 | 229 | 179 | 246 | 61507229.3 | 196 | 49007234.5 |
| 718750 | 4272250 | 222 | 172 | 253 | 63339810 | 203 | 50839794.6 |
| 718750 | 4271750 | 250 | 190 | 235 | 58750000 | 175 | 43750000 |
| 719250 | 4273750 | 463 | 413 | 12 | 2995347.54 | -38 | -9504659.3 |
| 719250 | 4273250 | 420 | 350 | 75 | 18750000 | 5 | 1250000 |
| 719250 | 4272750 | 275 | 180 | 245 | 61250000 | 150 | 37500000 |
| 719250 | 4272250 | 230 | 170 | 255 | 63750000 | 195 | 48750000 |
| 719750 | 4273750 | 440 | 400 | 25 | 6250000 | -15 | -3750000 |
| 719750 | 4273250 | 350 | 300 | 125 | 31250000 | 75 | 18750000 |
| 720250 | 4273750 | 450 | 400 | 25 | 6250000 | -25 | -6250000 |

Tabla 25. – Volumen de roca saturada obtenido para la hipótesis 2 (acuífero confinado) para cada una de las celdas del modelo numérico por debajo de la cota 450 m (V_1 = volumen resultante de restar una determinada cota el muro del acuífero; V_2 = volumen resultante de estar la misma cota al techo del acuífero).

| XUTM | YUTM | PIEZÓ 1996 | MURO | V_1 | V_1 (m ³) | V_2 | V_2 (m ³) |
|--------|---------|------------|------|-------|-------------------------|-------|-------------------------|
| 715250 | 4270750 | 425 | 385 | 65 | 16250000 | 25 | 6250000 |
| 715250 | 4270250 | 420 | 385 | 65 | 16250000 | 30 | 7500000 |
| 715750 | 4271250 | 425 | 310 | 140 | 35000000 | 25 | 6250000 |
| 715750 | 4270750 | 275 | 235 | 215 | 53750000 | 175 | 43750000 |
| 715750 | 4270250 | 316 | 276 | 174 | 43500000 | 134 | 33500000 |
| 715750 | 4269750 | 392 | 300 | 150 | 37500000 | 58 | 14500000 |
| 716250 | 4271750 | 400 | 200 | 250 | 62500000 | 50 | 12500000 |
| 716250 | 4271250 | 325 | 176 | 274 | 68412166.1 | 125 | 31250000 |
| 716250 | 4270750 | 223 | 153 | 297 | 74321943 | 227 | 56750000 |
| 716250 | 4270250 | 278 | 208 | 242 | 60471450.7 | 172 | 43000000 |
| 716750 | 4273250 | 375 | 189 | 261 | 65284025.2 | 75 | 18750000 |
| 716750 | 4272750 | 310 | 112 | 338 | 84413966.4 | 140 | 35000000 |
| 716750 | 4272250 | 300 | 84 | 366 | 91543671.4 | 150 | 37500000 |
| 716750 | 4271750 | 205 | 84 | 366 | 91546226.4 | 245 | 61250000 |
| 716750 | 4271250 | 108 | 86 | 364 | 90983986.4 | 342 | 85500000 |
| 716750 | 4270750 | 150 | 89 | 361 | 90276499.4 | 300 | 75000000 |
| 716750 | 4270250 | 235 | 89 | 361 | 90250000 | 215 | 53837647.7 |
| 717250 | 4273750 | 250 | 156 | 294 | 73577524.8 | 200 | 50000000 |
| 717250 | 4273250 | 161 | 111 | 339 | 84651478.6 | 289 | 72151486.4 |
| 717250 | 4272750 | 150 | 100 | 350 | 87500018.3 | 300 | 75000000.9 |
| 717250 | 4272250 | 144 | 94 | 356 | 88994403.8 | 306 | 76494404.8 |
| 717250 | 4271750 | 186 | 136 | 314 | 78621879.4 | 264 | 66121866.3 |
| 717250 | 4271250 | 181 | 131 | 319 | 79701417.1 | 269 | 67201420.1 |
| 717250 | 4270750 | 144 | 94 | 356 | 88921322 | 306 | 76421317.2 |
| 717750 | 4274250 | 235 | 185 | 265 | 66142325.2 | 215 | 53642337.9 |
| 717750 | 4273750 | 225 | 175 | 275 | 68808289.6 | 225 | 56308289.5 |
| 717750 | 4273250 | 176 | 126 | 324 | 81070124.8 | 274 | 68570124.1 |
| 717750 | 4272750 | 168 | 118 | 332 | 82946649.8 | 282 | 70446682.4 |
| 717750 | 4272250 | 230 | 190 | 260 | 65000000 | 220 | 55000000 |
| 717750 | 4271750 | 230 | 190 | 260 | 65000000 | 220 | 55000000 |
| 717750 | 4271250 | 190 | 150 | 300 | 75000000 | 260 | 65000000 |
| 717750 | 4270750 | 170 | 120 | 330 | 82465334.8 | 280 | 69965350 |
| 718250 | 4274250 | 380 | 330 | 120 | 30052882.6 | 70 | 17552937.7 |
| 718250 | 4273750 | 335 | 242 | 208 | 52047468.7 | 115 | 28750000 |
| 718250 | 4273250 | 250 | 175 | 275 | 68844377.5 | 200 | 50000000 |
| 718250 | 4272750 | 246 | 196 | 254 | 63376509 | 204 | 50876517.5 |
| 718250 | 4272250 | 240 | 200 | 250 | 62500000 | 210 | 52500000 |
| 718250 | 4271750 | 240 | 200 | 250 | 62500000 | 210 | 52500000 |
| 718250 | 4271250 | 230 | 180 | 270 | 67500000 | 220 | 55000000 |
| 718250 | 4270750 | 228 | 178 | 272 | 67990243.3 | 222 | 55490283.7 |
| 718750 | 4273750 | 440 | 360 | 90 | 22481951.2 | 10 | 2500000 |
| 718750 | 4273250 | 270 | 217 | 233 | 58343010.9 | 180 | 45000000 |
| 718750 | 4272750 | 229 | 179 | 271 | 67757229.3 | 221 | 55257234.5 |
| 718750 | 4272250 | 222 | 172 | 278 | 69589810 | 228 | 57089794.6 |
| 718750 | 4271750 | 250 | 190 | 260 | 65000000 | 200 | 50000000 |
| 719250 | 4273750 | 463 | 413 | 37 | 9245347.54 | -13 | -3254659.3 |
| 719250 | 4273250 | 420 | 350 | 100 | 25000000 | 30 | 7500000 |
| 719250 | 4272750 | 275 | 180 | 270 | 67500000 | 175 | 43750000 |
| 719250 | 4272250 | 230 | 170 | 280 | 70000000 | 220 | 55000000 |
| 719750 | 4273750 | 440 | 400 | 50 | 12500000 | 10 | 2500000 |
| 719750 | 4273250 | 350 | 300 | 150 | 37500000 | 100 | 25000000 |
| 720250 | 4273750 | 450 | 400 | 50 | 12500000 | 0 | 0 |

Tabla 26. – Volumen de roca saturada obtenido para la hipótesis 2 (acuífero confinado) para cada una de las celdas del modelo numérico por debajo de la cota 463 m (V_1 = volumen resultante de restar una determinada cota el muro del acuífero; V_2 = volumen resultante de estar la misma cota al techo del acuífero).

| XUTM | YUTM | PIEZO 1996 | MURO | V_1 | V_1 (m ³) | V_2 | V_2 (m ³) |
|--------|---------|------------|------|-------|-------------------------|-------|-------------------------|
| 715250 | 4270750 | 425 | 385 | 78 | 19500000 | 38 | 9500000 |
| 715250 | 4270250 | 420 | 385 | 78 | 19500000 | 43 | 10750000 |
| 715750 | 4271250 | 425 | 310 | 153 | 38250000 | 38 | 9500000 |
| 715750 | 4270750 | 275 | 235 | 228 | 57000000 | 188 | 47000000 |
| 715750 | 4270250 | 316 | 276 | 187 | 46750000 | 147 | 36750000 |
| 715750 | 4269750 | 392 | 300 | 163 | 40750000 | 71 | 17750000 |
| 716250 | 4271750 | 400 | 200 | 263 | 65750000 | 63 | 15750000 |
| 716250 | 4271250 | 325 | 176 | 287 | 71662166.1 | 138 | 34500000 |
| 716250 | 4270750 | 223 | 153 | 310 | 77571943 | 240 | 60000000 |
| 716250 | 4270250 | 278 | 208 | 255 | 63721450.7 | 185 | 46250000 |
| 716750 | 4273250 | 375 | 189 | 274 | 68534025.2 | 88 | 22000000 |
| 716750 | 4272750 | 310 | 112 | 351 | 87663966.4 | 153 | 38250000 |
| 716750 | 4272250 | 300 | 84 | 379 | 94793671.4 | 163 | 40750000 |
| 716750 | 4271750 | 205 | 84 | 379 | 94796226.4 | 258 | 64500000 |
| 716750 | 4271250 | 108 | 86 | 377 | 94233986.4 | 355 | 88750000 |
| 716750 | 4270750 | 150 | 89 | 374 | 93526499.4 | 313 | 78250000 |
| 716750 | 4270250 | 235 | 89 | 374 | 93500000 | 228 | 57087647.7 |
| 717250 | 4273750 | 250 | 156 | 307 | 76827524.8 | 213 | 53250000 |
| 717250 | 4273250 | 161 | 111 | 352 | 87901478.6 | 302 | 75401486.4 |
| 717250 | 4272750 | 150 | 100 | 363 | 90750018.3 | 313 | 78250000.9 |
| 717250 | 4272250 | 144 | 94 | 369 | 92244403.8 | 319 | 79744404.8 |
| 717250 | 4271750 | 186 | 136 | 327 | 81871879.4 | 277 | 69371866.3 |
| 717250 | 4271250 | 181 | 131 | 332 | 82951417.1 | 282 | 70451420.1 |
| 717250 | 4270750 | 144 | 94 | 369 | 92171322 | 319 | 79671317.2 |
| 717750 | 4274250 | 235 | 185 | 278 | 69392325.2 | 228 | 56892337.9 |
| 717750 | 4273750 | 225 | 175 | 288 | 72058289.6 | 238 | 59558289.5 |
| 717750 | 4273250 | 176 | 126 | 337 | 84320124.8 | 287 | 71820124.1 |
| 717750 | 4272750 | 168 | 118 | 345 | 86196649.8 | 295 | 73696682.4 |
| 717750 | 4272250 | 230 | 190 | 273 | 68250000 | 233 | 58250000 |
| 717750 | 4271750 | 230 | 190 | 273 | 68250000 | 233 | 58250000 |
| 717750 | 4271250 | 190 | 150 | 313 | 78250000 | 273 | 68250000 |
| 717750 | 4270750 | 170 | 120 | 343 | 85715334.8 | 293 | 73215350 |
| 718250 | 4274250 | 380 | 330 | 133 | 33302882.6 | 83 | 20802937.7 |
| 718250 | 4273750 | 335 | 242 | 221 | 55297468.7 | 128 | 32000000 |
| 718250 | 4273250 | 250 | 175 | 288 | 72094377.5 | 213 | 53250000 |
| 718250 | 4272750 | 246 | 196 | 267 | 66626509 | 217 | 54126517.5 |
| 718250 | 4272250 | 240 | 200 | 263 | 65750000 | 223 | 55750000 |
| 718250 | 4271750 | 240 | 200 | 263 | 65750000 | 223 | 55750000 |
| 718250 | 4271250 | 230 | 180 | 283 | 70750000 | 233 | 58250000 |
| 718250 | 4270750 | 228 | 178 | 285 | 71240243.3 | 235 | 58740283.7 |
| 718750 | 4273750 | 440 | 360 | 103 | 25731951.2 | 23 | 5750000 |
| 718750 | 4273250 | 270 | 217 | 246 | 61593010.9 | 193 | 48250000 |
| 718750 | 4272750 | 229 | 179 | 284 | 71007229.3 | 234 | 58507234.5 |
| 718750 | 4272250 | 222 | 172 | 291 | 72839810 | 241 | 60339794.6 |
| 718750 | 4271750 | 250 | 190 | 273 | 68250000 | 213 | 53250000 |
| 719250 | 4273750 | 463 | 413 | 50 | 12495347.5 | 0 | -4659.2717 |
| 719250 | 4273250 | 420 | 350 | 113 | 28250000 | 43 | 10750000 |
| 719250 | 4272750 | 275 | 180 | 283 | 70750000 | 188 | 47000000 |
| 719250 | 4272250 | 230 | 170 | 293 | 73250000 | 233 | 58250000 |
| 719750 | 4273750 | 440 | 400 | 63 | 15750000 | 23 | 5750000 |
| 719750 | 4273250 | 350 | 300 | 163 | 40750000 | 113 | 28250000 |
| 720250 | 4273750 | 450 | 400 | 63 | 15750000 | 13 | 3250000 |